



საქართველოს სსრ
აკადემიის განაცხადის

АМЕДДЕС
СООБЩЕНИЯ

АКАДЕМИИ НАУК
ГРУЗИНСКОЙ ССР

BULLETIN
OF THE ACADEMY OF SCIENCES
OF THE GEORGIAN SSR

ტომ 67 თომ

№ 1

03 1972 იЮЛЬ



საქართველოს სსრ
აკადემიური გადაცემის

ერკებული

СООБЩЕНИЯ

АКАДЕМИИ НАУК
ГРУЗИНСКОЙ ССР

BULLETIN

OF THE ACADEMY OF SCIENCES
OF THE GEORGIAN SSR

11794

ტომი 67 თომ

1972

თბილისი * TBILISI



ՅԱՅԵԼԱՆԻ ՊԱՐԱՍԵԿՑՈՒՅԱ 1940 ԴԱԼՆ
ЖУРНАЛ ОСНОВАН В 1940 ГОДУ

ՅԱՅԵԼԱՆԻ ՊԱՐԱՍԵԿՑՈՒՅԱ
ВЫХОДИТ ОДИН РАЗ В МЕСЯЦ

ՀՅԱՅԵԼԱՆԻ ՊԱՐԱՍԵԿՑՈՒՅԱ „ՄԵՅԲՈՅԹԵՅՑԱ“
Издательство „Мечниереба“



საქართველოს სსრ
აკადემიის აკადემიუ

გთავაზე

СООБЩЕНИЯ

АКАДЕМИИ НАУК
ГРУЗИНСКОЙ ССР

BULLETIN
OF THE ACADEMY OF SCIENCES
OF THE GEORGIAN SSR

ტომი 67 თომ

№ 1

03 1972 იული

თბილისი * ТБИЛИСИ * TBILISI

სარედაციო ძოლები

ა. ბოჭორიშვილი, პ. გამყრელიძე, ღ. გელევანიშვილი, ი. გიგინეიშვილი (მთ. რედაქტორის
მოადგილე), თ. დავთაძე, რ. დვალი, ს. დურმიშვილი, ი. ვეკუა, ნ. კეცხოველი,
ვ. ჯავახაძე, ნ. ლანდია (მთ. რედაქტორის მოადგილე), ვ. მამასახლისოვი, ვ. მახალდიანი,
გ. მელიქიშვილი, ნ. მუსხელიშვილი, მ. საბაშვილი, გ. ციცაშვილი, გ. წერეთელი,
ე. ხარაძე (მთავარი რედაქტორი), ა. ჯანელიძე

РЕДАКЦИОННАЯ КОЛЛЕГИЯ

ა. Т. Бочоришвили, И. Н. Векуа, П. Д. Гамкелидзе, Д. М. Гедеванишвили,
И. М. Гигинейшвили (зам. главного редактора), Ф. Ф. Давитая, Р. Р. Двали,
А. И. Джанелидзе, С. В. Дурмишидзе, Н. Н. Кецховели, В. Д. Купрадзе,
Н. А. Ландия (зам. главного редактора), В. И. Мамасахлисова,
В. В. Махалдiani, Г. А. Меликишвили, Н. И. Мусхелишвили,
М. Н. Сабашвили, Е. К. Харадзе (главный редактор), Г. В. Церетели,
Г. В. Цицишвили

პასუხისმგებელი მდინარი ქ. აბგანდაძე
Ответственный секретарь К. З. Абжандадзе

ხელმოწერილია დასაბეჭდად 2.6.1972; ჟუკ. № 1187; ანაზობის ზომა 7×12;
ქაღალდის ზომა 70×108; ფიზიკური ფურცელი 16; საალტიკებო-სავამომცველო
ფურცელი 18,5; ნაბეჭდი ფურცელი 22,4; უკ 01013; ტარაფი 1800

* * *

Подписано к печати 2.6.1972; зак. № 1187; размер набора 7×12; размер
бумаги 70×108; физический лист 16; уч.-издательский лист 18,5; печатный
лист 22,4; УК 01013; тираж 1800

* * *

გამომცემლობა „მეცნიერება“, თბილისი, 60, კუტებოვის ქ., 19
საფოსტო ინდექსი 380060

Издательство «Мецнериба», Тбилиси, 60, ул. Кутузова, 19
Почтовый индекс 380060

* * *

საქ. სსრ მეცნიერებათა აკადემიის სტამბა, თბილისი, 60, კუტებოვის 19
Типография Академии наук ГССР, Тбилиси, 60, ул. Кутузова, 19
Почтовый индекс 380060

შ ი ნ ა რ ს ი

მათემატიკა

• ლ უ დ უ ჩ ი ვ ა . ვ ი ნ ე რ - ჰ ი მ ფ ი ს ღ ი ს კ რ ე ტ უ ლ ი გ ა ნ ტ ი ლ ე ბ ე ბ ი ს 1 პ ს ი ვ რ ც ე შ ი წ ი ნ ი თ	20
* ლ . ზ ა მ ბ ა ხ ი ძ ე . ტ ო პ ი ლ ი გ ი უ რ ს ი ვ რ ც ე თ ა ზ გ ა ნ ტ ი მ ი ლ ე ბ ი ს შ ე ს ა ხ ე ბ 24	24
* ი . მ ე ლ ა მ ე დ ი . უ ც ნ ი ბ ი ს ს ი მ კ ე რ ი ვ ი ს წ ე რ ტ ი ლ ი ლ ვ ა ნ ი შ ე ფ ა ს ე ბ ი ს ე რ თ ი მ ე თ ი დ ი 28	28
* გ . ი უ რ კ ი ნ ი . ო რ ი ც ე ლ ა დ ი ფ უ ნ ქ ც ი ს კ რ ი ნ რ ი ლ ა ს ა დ ა ტ რ ნ ე ლ ი ს ა ზ რ ი თ ბ რ ტ ყ ე ლ ა ვ ა რ ი ა ც ი ს შ ე ს ა ხ ე ბ 31	31
* ლ . გ ო გ ი ლ ა ძ ე . ე რ თ ი კ ლ ა ს ი ს ჭ ე რ ა დ ი ფ უ ნ ქ ც ი ნ ა ლ უ რ ი მ წ ე რ ი ვ ე ბ ი ს ზ ო გ ი ე რ თ ი კ რ ე ბ ა დ ი ს ა შ უ ა ლ ი ლ ე ბ ი ს შ ე მ ი ს ა ზ ლ ვ რ უ ლ ი ბ ი ს შ ე ს ა ხ ე ბ 35	35
* ი . მ ა კ ი ა ვ ა რ ი ა ნ ი . გ ა ნ ს ა კ უ რ ი ტ რ ე ბ უ ლ ი ი ნ ტ ე გ რ ა ლ ი ს ე რ თ ი გ ა ნ ტ ი გ ა დ ე ბ ი ს შ ე ს ა ხ ე ბ დ ა შ ი ს ი ზ ო გ ი ე რ თ ი თ ვ ი ს ე ბ ა 39	39
* ვ . ლ ა ბ კ რ ვ ს კ ი . ა ხ ა ლ ი ზ ღ ლ უ ლ ი თ ე რ ე მ ე ბ ი მ ა რ კ ი ვ ი ს ჭ ა ჭ ე ვ ი ს მ ი ე რ ს ა ზ ლ ვ რ ი ს პ ი ლ ვ ე ლ ი მ ი ლ ვ ე ვ ი ს დ რ ი ს ი ს შ ე ს ა ხ ე ბ 43	43

პ ი გ ი რ ი ნ ი ტ ი კ ა

* კ . კ ვ ი ნ ი ხ ი ძ ე . თ ა მ ბ ა ქ ი ს მ თ ხ ა ი კ ი ს ი ნ ტ ა ტ უ რ კ ი რ უ ს შ ი ა მ ი ნ მ ე ვ ე ბ ი ს ლ ა ს ა შ ე ბ ჩ ა ნ ა ც ე ლ ე ბ ა თ ა გ ა ნ ს ა ზ დ ე რ ა კ ი რ ა ნ ს კ ი რ ი ს ს ა ფ უ ძ ე ლ ზ ე 48	48
* ვ . კ ვ ი კ ვ ი ნ ი ძ ე . (ს ა ქ ი ა რ ი ს ე ლ ი ს ს ს რ მ ე ც ნ ი . ა ვ ა ლ ე მ ი ი ს წ ე ვ რ კ ა რ ე ს პ ი ნ დ ე ნ ტ ი) . ს ტ რ უ ძ ტ რ უ ლ ი ჭ ა ვ უ რ ი პ რ ი ც ე ს ე ბ ი ს მ ო დ ე ლ ი რ ე ბ ა ი ნ ფ უ რ მ ა ც ი უ ლ ფ უ ნ ქ ც ი ა თ ა მ ე თ ი დ ი თ ე რ თ ი ე კ ი ლ ი გ ი უ რ ი ა მ ი ც ა ნ ი ს გ ა ა ნ გ ა რ ი შ ე ბ ი ს მ ა გ ა ლ ი თ ზ ე 51	51

ფ ი ზ ი ბ ი კ ა

* ა . ლ უ რ ჭ უ მ ე ლ ი ა . ჰ ა რ ტ რ ი — ფ ი ი ს რ ე ლ ა ტ ი ვ ი ს ტ უ რ კ ა ნ ტ ი ლ ე ბ შ ი დ ა გ ვ ი ა ნ ე ბ ი ს ს ტ ა ტ ი ს ტ ი კ უ რ ი გ ა თ ვ ა ლ ი ს ტ ი ნ ე ბ ა 56	56
* მ . ა მ ი რ ა ნ ი ძ ე . თ . ჭ ა ხ ს უ ტ ა შ ვ ი ლ ი , ს . ჭ უ მ ს ი შ ვ ი ლ ი , ზ . ლ ო ბ ჟ ა ნ ი ძ ე , ა . მ ი რ ც ხ ს ლ ა ვ ა , მ . მ ა ტ ი ნ თ ვ ა , ი . პ ე კ ა რ ი , ა . შ კ რ ლ ი კ ი . GaAs—AlAs მ ყ ა რ ი ს ს ნ ა რ ე ბ ი ს ფ ი ტ ი გ ა მ ტ ა რ ე ბ ლ ი ბ ა დ ა ლ უ მ ი ნ ე ს ც ე ნ ტ ი ა 59	59
* ლ . ს ა ვ ი ა რ ე ლ ი ძ ე , ა . მ ი რ ც ხ ს უ ლ ა ვ ა , ზ . ლ ო ბ ჟ ა ნ ი ძ ე . მ ე ტ ა ლ უ რ ი გ ა ლ ი უ მ ი ს გ ა შ მ ე ნ დ ი ს ხ ე რ ხ ი 63	63

ა ს ტ რ ი ნ ი მ ი ა

* გ . ჭ ე ვ ა ნ ი შ ვ ი ლ ი . A ს პ ე ტ რ უ ლ ი ტ ი პ ი ს ვ ა რ ს კ ე ლ ა ვ თ შ ე ჭ გ უ ფ ე ბ ე ბ ი ს გ ა მ ი კ ვ ლ ე ვ ა პ ე რ ს ე კ ს ი ს ა დ ა კ ა ს ი მ პ ე ა ს თ ა ნ ა რ ა რ ს კ ე ლ ა ვ ე დ ე ბ შ ი 68	68
--	----

გ ი მ ი ც ი ბ ი კ ა

* ა . ჩ ე ტ ი ა , ც . ფ ი რ ჩ ი ძ ე . გ ე მ ა გ ნ ი ტ უ რ ი ა ლ რ ე ვ ა თ ა მ ო რ ფ ი ლ ი გ ი ი ს კ ვ ლ ე ვ ი ს ს ა კ ი ტ ხ ი ს ა თ ვ ი ს 71	71
* ი . ს უ ლ ა ქ ვ ე ლ ი ძ ე . კ რ ნ ვ ე ტ ი უ რ ი ლ უ ბ ლ ე ბ ი ს წ ა რ მ ი ქ მ ი ს თ ე რ მ ი ღ ი ნ ი მ ი კ უ რ ი პ ი რ ი ბ ე ბ ი დ ა ნ ა ლ ე ქ ე ბ ი ს რ ა მ დ ე ნ ი ბ ი ს პ რ ი გ ნ ი ს მ ე თ ი დ ი 75	75

ზ ი რ ა დ ი დ ა ა რ ა მ რ გ ა ნ უ ლ ი გ ი მ ი ა

* ე . დ ა ვ ი თ ა შ ვ ი ლ ი , მ . მ ი დ ე ბ ა ძ ე , ნ . შ ე ლ ი ა . ტ ე რ ბ ი უ მ ი ს კ მ პ ლ ე ქ ს უ რ ი ი ქ ს ა ლ ა ტ ე ბ ი ს გ ა მ ი კ ვ ლ ე ვ ა 79	79
--	----

ფიზიკური მიმდა

*ო. მდივანიშვილი. თერმული ონალიზის მეთოდით მონტმორილონიტში სტრუქტურული ჰიდროქსილების გამოკვლევა

83

ელექტროქიმიდა

*ი. ბაირამაშვილი, ჩ. ფირცხავილი. ლლობილი მარილების ელექტროლიზის დროს KBF₄ დაშლის პოტენციალის განსაზღვრა

87

*რ. აგლაძე (საქართველოს სსრ მეცნ. აკადემიის აკადემიკოსი), ქ. ჭარჩივა, ჩ. კვარაცხელია. HNO₃—CH₃COOH—H₂O სისტემაში Hg, Pb და Sn კათოდებზე ნიტრატ-იონის აღდგენის შესახებ

92

მიმდა ტერმოლოგია

*ქ. ჭაფარიძე, ვ. ადესი, ს. ხაგიოვი. პიროლიტური ნახშირბალის გაულენა კოქსის ფორმულა სტრუქტურაზე

95

ფიზიკური გეოგრაფია

*შ. ცხოვრებაშვილი, ქ. ხარიტონაშვილი. მასალები მეშჩერიაკოვის მეთოდით არაგვის ხეობის ბოლო მონაკვეთის თანამედროვე ტექტონიკურ მოძრაობათა დახსასიათებისათვის

97

*რ. გობეგიშვილი. თანამედროვე გამყინვარება ცენტრალური კავკასიონის სამხრეთ ფერდობზე (რაჭის ფარგლებში)

103

*გ. ჭევიშვილი. მთიანი ჭევუნის ტერიტორიის ფართობის გაზომევის საკითხისათვის

105

გეოლოგია

*გ. ჩიხრაძე. პატარა ნაოქებისმნიშვნელობის შესახებ ყაზბეგის რაიონის ქვედა და შუალენული ნალექების სიმძლავრეთა დაღვენისას

111

ლითოლოგია

*ი. გასარაძე. საქართველოს ბელტის ზედა ეოცენურ და მარგანების შემცველობების ნალექებში ექსპლოზური ვულკანიზმის პროცესების არსებობის შესახებ

116

სამუნიციპალიტეტი მიმართვა

*ლ. ჩირაძე. დამრეცი გარსის ანგარიში ლოკალური დატვირთვის დროს

119

საპალიტა დამუშავება და გამდიდრება

*დ. ჩილოუაშვილი. სკრეპერო-რანტზე მწევი ორგანოს ჩაბმის წერტილის გავლენა სანგრევის ხაზის სიმრუდეზე

123

ეოტალურიტი

*ქ. ოგანეზოვი, ი. ბაირამაშვილი, ვ. ჩირაძე ლევი. მკარი სხეულის ზედაპირზე და მოცულობაში არსებული უანგბალის განცალკევებული განსაზღვრის საკითხისათვის

127

განკარათობოდენება

*ა. პოზდევივი, ვ. ბათკაშვილი. მათემატიკური მოდელი ლითონის ცხლად წნევით დამუშავების დროს

131

*6. დავითაშვილი. ხუთრგოლა სფერულსახსრიან მექანიზმში ორი მრუდმხარას არსებობის პირობები	136
*8. ხვინგია. ხახახული ლეროს გრძივ-ბრუნვითი პარამეტრული რჩევები ლერ-ძული აღგზნების მოქმედებით	140
კიდეროტმინიბა	
*8. ღოლბერიძე, ნ. კავთუაშვილი, ა. ჭანტურია. თამაშთა თეორიის გამოყენება ჰესების წყალსაცემ ნაგებობებზე კავიტური გადამწოდების განლაგებისათვის ნატურულ პილავლიურ გამოკვლევებში	144
*9. ჭანტურია. ცვალებადი კვეთის დაწნევითი პილროტექნიკური გვირაბების გარშემო მდებარე მთის ქანების დრეკადი წინალობის ხვედრითი კოეფიციენტის განსაზღვრის საკითხისათვის	148
ენერგეტიკა	
*8. ედიბერიძე. ჰესების სეზონური რეემბების პროგნოზირებისა და საშუალო მჩავალწლიური ელექტროენერგიის გამომუშავების განაწილების ფუნქციების შეფასების საკითხები	151
ელექტროტექნიკა	
*7. ლეკოშვილი. ასინქრონულ ძრავებზე ძაბვის მოღულაციის გავლენის შეწავლის ექსპრიმენტული დანადგარი	156
ავტომატური მართვა და გამოთვლითი ტექნიკა	
*7. წულია. თვითაწყობად სისტემებში ცხმ გამოყენების ზოგიერთი საკითხი	159
*8. კლემენტივი, ა. ორქოდაშვილი, ი. ფალაგაშვილი, ო. ხომერიკი, ა. შანანოვი. კაუბადის მიერომინატურული პოლის გადამწოდები	164
*9. ცირამუა, გ. გაბაშვილი. IV თაობის ციფრული გამომოვლელი მანქანების კომპონენტების — დიდი ინტერალური სერვების ირერაციულობის შესახებ	168
ნიაზაგოდენისათვის	
8. პეტრიაშვილი. ახალი ქანების ქვებულის მთა-ტყეთა და ტყე-ველის ნიაზაგების მინერალოგიური შედეგებისათვის	169
გეოარაონა და ცისიოლოგია	
9. წერეთელი. რენტგენის სხივებითა და მიეროლემენტ მოლიბდენით თესლებზე ერთდროული ზემოქმედების გავლენა ლობიორი ასკორბინებას შემცველობასა და კატალზის აქტივობაზე	173
ადამიანისა და ცხოველთა ცისიოლოგია	
*9. ასათიანი, ა. ბაკურაძე (საქართველოს სსრ მეცნიერებათა აკადემიის წევრ-კორესპონდენტი). თავის ტვინის ლეროს როლი კვებითს მოქმედებაში	179
*8. კავკასიძე, თ. ონიანი (საქართველოს სსრ მეცნ. აკადემიის წევრ-კორესპონდენტი). ახალი ქერქის სხევალის უბნის ელექტრული აქტივობის დინამიკა ლევადისა და ძილის ცილის დრო	183
გიოგიზიგია	
*8. ერისთავი, ზ. ზურაბაშვილი, გ. ცანავა, მ. დვალი. სტრიქის ზოგიერთი თავისებურების შესახებ ორსულთა გვიანი ტოქსიკოზების დროს	187
გიოგიზიგია	
*8. ალტშული, [ვ. ასათიანი] (საქართველოს სსრ მეცნიერებათა აკადემიის აკადემიკოსი), ვ. ჭანტურია, ლ. სილაგაძე. სხვადასხვა პირობებში კურდლის ქსოვილების ფერმენტების აქტივობის შესახებ	191



*6. ალექსიძე, გ. მეშვეობიშვილი, რ. ბელეცკაია. მონომინიჭითი ზურ აქტიობაზე და ლაბირინთში ვირთავას ფსქონერულ ქცევაზე ტრანსა- მინის გავლენის შესახებ .	194
*6. ბებურიშვილი, თ. ნერსესოვა. პანგამის მეავას გავლენა ნაყოფის ჰი- პოქსიაზე	199
*6. ლეზავა. თორმეტგვა ნაწლავის წყლულოვანი დაავადებით შეპყრობილ ივალ- მყოფთა სისხლის პლაზმისა და შარდის 17-პილროქსიკორტიკოსტეროიდების და პეპსინოგენის შესახებ	203
*ლ. დვალი, გ. ჭულაია. ზოგიერთი ფერმენტის აქტივობის შესწავლის მნიშვნე- ლობა ავთვისებიანი სიმსივნის შორეულ პერიოდში	206
*რ. ახალგაცი, ნ. ღოლიძე, დ. ჭოხაძე. სხვადასხვა ქსოვილთა უჯრედე- ბის იზოლირებული ბირთვების გლუტამინაზური აქტივობის შესახებ	211
მიკროგიოლოგია	
*ე. კირთაძე. ორგანული მეავების წარმოშობის ზოგიერთი წყარო მეორეული სპილტული დუღილის პროცესში	215
ჰითოპათოლოგია	
*გ. ყალიბიავა. ახალი ტიპის თავისუფალრადიკალური ცენტრების დადგენა მცენა- რეულ ქსოვილში	219
ჰისტოლოგია	
*გ. სამსონიძე. ბიოლოგიური სტრუქტურების ფართობის განსაზღვრის მეთოდი	223
ციტოლოგია	
*ო. ხარებეიშვილი. ნერვული ქსოვილის მიტოზური უჯრედების ზოგიერთი მეტ- რიული თავისებურებები ქათმის ემბრიონის განვითარების სხვადასხვა ეტაპზე	227
მჩსამრივენტული მორფოლოგია	
*ლ. ძაგნიძე, პ. კრასნიანსკაია. გადამწვარი ცხიმების კანცეროგენული და კრიანცეროგენული თვისებების შესწავლის საკითხისათვის	230
*ზიგ. ზურაბაშვილი, დ. ელიავა. შიზოფრენიით დაავადებულთა სისხლის პლაზმის მოქმედება პემოკულტურაზე	235
მჩსამრივენტული გადიცენა	
*ი. ლაზარიშვილი, ე. ვეინბერგი, რ. ხუნტუა. ნარკოზისა და მისი შემდგომი პერიოდის შესწავლა ტოტალური ადრენალინგრამის დროს	240
ლიტერატურის ისტორია	
*ლ. ლორია. ლოტრემონის „მალდორორის სიმღერების“ ფორმის, აგებულებისა და მხატვრული ერთიანობის პრობლემების შესახებ	243
ისტორია	
გ. მამულია. ფარნევაზიანთა და ბაგრატიონთა სახლთა ურთიერთობა VIII—IX საუკუნეთა მიჯნაზე	245
მთხოვნაული	
ნ. ბრეგაძე. სიტყვის — „ყანა“ — ერთი მნიშვნელობის შესახებ	249

СОДЕРЖАНИЕ

МАТЕМАТИКА

Р. В. Дудучава. Дискретные уравнения Винера—Хопфа в пространствах l_p с весом	17
Л. Г. Замбахидзе. О γ -размерности топологических пространств	21
И. А. Меламед. Один метод оценивания неизвестной плотности в точке	25
Г. И. Юркин. О плоской вариации А. С. Кронрода и вариации Тонелли функции двух переменных $Z=w(x, y)$	29
Л. Д. Гоголадзе. Об ограниченности некоторых сходящихся средних кратных функциональных рядов одного класса	33
И. Д. Мачавариани. Об одном обобщении особого интеграла и его некоторые свойства	37
В. А. Лабковский. Новые предельные теоремы о времени первого достижения границы цепью Маркова	41

КИБЕРНЕТИКА

К. С. Квинихидзе. Определение разрешенных замещений аминокислот в интактином вирусе табачной мозаики на основе кода Корана	45
Б. В. Чавчанидзе (член-корреспондент АН ГССР). Моделирование стохастических цепных процессов методом информационных функций на примере расчета экологической задачи	49

ФИЗИКА

А. Д. Гурчумелия. Статистический учет запаздывания в релятивистских уравнениях Хартри—Фока	53
М. Д. Амиранидзе, Т. В. Джакуташвили, С. Н. Кумсишвили, З. В. Лобжанидзе, М. С. Матинова, А. А. Мирцихулава, И. Е. Пекар, А. Л. Школьник. Фотопроводимость и люминесценция твердых растворов GaAs—AlAs	57
Л. Г. Сакварелидзе, А. А. Мирцихулава, З. В. Лобжанидзе. Способ очистки металлического галлия	61

АСТРОНОМИЯ

Г. Ф. Кеванишвили. Исследование сгущений звезд типа А в созвездиях Персея и Кассиопеи	65
---	----

ГЕОФИЗИКА

А. М. Чхетия, Ц. Д. Порчхидзе. К вопросу исследования морфологии геомагнитных возмущений	69
Я. Г. Сулаквелидзе. Термодинамические условия развития конвективных облаков и метод прогноза количества ливневых осадков	73

ОБЩАЯ И НЕОРГАНИЧЕСКАЯ ХИМИЯ

- Е. Г. Давиташвили, М. Е. Модебадзе, Н. Г. Шелия. Исследование комплексных оксалатов тербия 77

ОРГАНИЧЕСКАЯ ХИМИЯ

- О. М. Мдивнишвили. Исследование структурных гидроксилов в монтмориллоните методом термического анализа 81

ЭЛЕКТРОХИМИЯ

- И. А. Байрамашвили, Р. М. Пирцхалаишвили. Определение потенциала разложения KBF_4 при электролизе расплавленных солей 85

- Р. И. Агладзе (академик АН ГССР), Д. Е. Караваева, Р. К. Каурацхелия. О восстановимости нитрат-иона на катодах из Hg, Pb и Sn в системе $\text{HNO}_3-\text{CH}_3\text{COOH}-\text{H}_2\text{O}$ 89

ХИМИЧЕСКАЯ ТЕХНОЛОГИЯ

- П. Н. Джапаридзе, В. И. Адэс, С. Н. Хаджиеев. Влияние пиролитического углерода на пористую структуру кокса 93

ФИЗИЧЕСКАЯ ГЕОГРАФИЯ

- * Ш. А. Чхоребашвили, Д. А. Харитонашвили. Материалы для характеристики современных тектонических движений нижней части долины Арагви по методу Мещерякова 99

- Р. Г. Гобеджишвили. Современное оледенение рачинской части южного склона Центрального Кавказа 101

- * В. И. Чешвили. К вопросу об измерении площадей горных территорий 107

ГЕОЛОГИЯ

- Г. А. Чихрадзе. О значении мелких складок при установлении мощности нижне- и среднеднеурских осадочных толщ Казбекского района 109

ЛИТОЛОГИЯ

- А. И. Махарадзе. О присутствии продуктов эксплозивного вулканизма в верхнеэоценовых и марганцевосных олигоценовых отложениях грузинской глыбы 113

СТРОИТЕЛЬНАЯ МЕХАНИКА

- Л. В. Чирадзе. К расчету пологих оболочек при локальном нагружении 117

РАЗРАБОТКА МЕСТОРОЖДЕНИЙ И ОБОГАЩЕНИЕ

- Д. К. Чолокашвили. Влияние на кривизну забоя положения точки подсоединения тягового органа скреперо-струга 121

МЕТАЛЛУРГИЯ

- К. А. Оганезов, И. А. Байрамашвили, В. В. Чепелев. К вопросу о различном определении поверхностной и объемной составляющих кислорода в твердых телах 125

МАШИНОВЕДЕНИЕ

- А. А. Поздеев, В. С. Баакашвили. Математическая модель металла при горячей обработке давлением 129

Н. С. Давиташвили. Условия существования двух кривошипов в пятизвездном сферическом шарнирном механизме	133
М. В. Хвингия. Продольно-крутильные параметрические колебания винтового стержня под действием осевого возбуждения	137
 ГИДРОТЕХНИКА	
М. И. Гогоберидзе, Н. В. Кавтуашвили, А. Г. Чантuria. Применение теории игр в натурных гидравлических исследованиях при размещении датчиков кавитации на водосбросных сооружениях ГЭС	141
А. Г. Чантuria. К вопросу определения коэффициента удельного упругого отпора горных пород вокруг напорных гидротехнических туннелей переменных сечений	145
 ЭНЕРГЕТИКА	
М. Г. Эдаберидзе. Вопросы прогнозирования сезонных режимов ГЭС и оценок функций распределения среднемноголетней выработки электроэнергии	149
 ЭЛЕКТРОТЕХНИКА	
Т. Г. Лекишвили. Экспериментальная установка для исследования влияния колебаний напряжения на асинхронные двигатели	153
 АВТОМАТИЧЕСКОЕ УПРАВЛЕНИЕ И ВЫЧИСЛИТ. ТЕХНИКА	
Д. И. Цулая. Некоторые вопросы применения ЦВМ в самонастраивающихся системах	157
М. М. Клементьев, Ю. М. Оркодашвили, Я. Ш. Палагашвили, О. К. Хомерики, А. Н. Шаанов. Микроминиатюрные кремниевые датчики Холла	161
Г. С. Циркума, Г. Н. Габашвили. К вопросу итерации компонентов ЦВМ IV поколения — больших интегральных схем (БИС)	165
 ПОЧВОВЕДЕНИЕ	
* Р. А. Петриашвили. Минералогический состав горнолесных и лесостепенных почв Ахалцихской котловины	171
 ФИЗИОЛОГИЯ РАСТЕНИЙ	
* Ц. Г. Церетели. Влияние рентгеновых лучей, молибдена и их совместного применения на содержание аскорбиновой кислоты и активность каталазы в фасоли	175
 ФИЗИОЛОГИЯ ЧЕЛОВЕКА И ЖИВОТНЫХ	
А. В. Асатиани, А. Н. Бакурадзе (член-корреспондент АН ГССР). О роли ствола мозга в регуляции пищевой деятельности	177
М. Г. Кавказидзе, Т. Н. Ониани (член-корреспондент АН ГССР). Динамика электрической активности различных областей новой коры при цикле бодрствование — сон	181

БИОФИЗИКА



3. А. Эристави, З. А. Зурабашвили, Г. Г. Цанава, М. Л. Двали.
К характеру течения стрикции плазмы при позднем токсикозе беременности 185

БИОХИМИЯ

- М. А. Альтшуль, [В. С. Асатиани] (академик АН ГССР), В. П. Чантурая, Л. С. Силагадзе. Об активности ферментов в сердце и печени кроликов в различных условиях 189
 Н. Г. Алексидзе, Д. Ф. Мешвелишвили, Р. П. Белецкая. О влиянии трансамина наmonoаминоксидазную активность и на психонервное поведение крыс в лабиринте 193
 Н. А. Бебуришвили, Т. Б. Нерсесова. Влияние пангамовой кислоты на гипоксию плода 197
 Я. П. Лежава. О 17-гидрокортикоистероидах и пепсиногене плазмы крови и мочи больных язвенной болезнью двенадцатиперстной кишки 201
 Л. Н. Двали, Г. Е. Цулая. Значение изучения активности некоторых ферментов при злокачественных новообразованиях в более поздние периоды 205
 Р. Г. Ахалкаци, Н. И. Долидзе, Д. И. Джохадзе. О глутаминазной активности изолированных клеточных ядер различных тканей 209

МИКРОБИОЛОГИЯ

- Э. Г. Киртадзе. Некоторые источники образования органических кислот в процессе вторичного спиртового брожения 213

ФИТОПАТОЛОГИЯ

- Г. С. Каличава. Новый комплекс свободнорадикальных центров, обнаруженный в растительных тканях 217

ГИСТОЛОГИЯ

- Г. Г. Самсонидзе. Метод определения площади биологических структур 221

ЦИТОЛОГИЯ

- О. М. Хардзенишвили. Некоторые метрические особенности клеток нервной ткани, претерпевающих митоз на разных этапах развития эмбриона курицы 225

ЭКСПЕРИМЕНТАЛЬНАЯ МОРФОЛОГИЯ

- Л. И. Дзагнидзе, П. Н. Красянская. Изучение возможных канцерогенных и коканцерогенных свойств пережаренных масел 229
 Зиг. А. Зурабашвили, Л. А. Элиава. Влияние плазмы крови больных шизофренией на гемокульттуру 233

ЭКСПЕРИМЕНТАЛЬНАЯ МЕДИЦИНА

- И. Л. Лазаришивили, Э. Г. Вайнберг, Р. Ш. Хунтуа. Наркоз и ведение посленаркозного периода при тотальной адреналэктомии 237

ИСТОРИЯ ЛИТЕРАТУРЫ

- Л. А. Лория. О проблемах формы, построения и художественного единства «Песен Мальдорора» Лотреамона 241

ИСТОРИЯ

- * Г. С. Мамулия. Взаимоотношения Фарнавазидов и Багратидов на рубеже VIII—IX вв. 247

ЭТНОГРАФИЯ

- * Н. А. Брегадзе. Об одном значении слова «каны» 250

C O N T E N T S *

MATHEMATICS

R. V. Duduchava. On Wiener-Hopf discrete equations in spaces l_p with weight	20
L. G. Zambakhidze. On the γ -dimension of topological spaces	24
I. A. Melamed. One method of estimation of a density function at a point	28
G. I. Yurkin. On the plane variation in the sense of Cronrod and Tonnelli	31
L. D. Gogoladze. On the boundedness of some convergent means of one class of multiple functional series	35
I. D. Machavariani. On a generalization of a singular integral and some of its properties	40
V. A. Labkovski. New limit theorems on the time of the first reaching of the boundary by the Markov chain	44

CYBERNETICS

K. S. Kvinkhidze. Determination of permissible substitutions of amino acid in the intact virus of tobacco mosaic on the basis of the Khorana code	48
V. V. Chavchavadze. Simulation of stochastic chain processes by the method of informational functions as exemplified by ecological problem computation	52

PHYSICS

A. D. Gurchumelia. Statistical consideration of retardation in relativistic Hartree-Fock equations	56
M. D. Amiranidze, T. V. Jakhutashvili, S. N. Kumishvili, Z. V. Lobzhanidze, M. S. Matinova, A. A. Mirtskhulava, I. E. Pekar, A. L. Shkolnik. Photoconductivity and luminescence of GaAs-AlAs solid solutions	59
L. G. Sakvarelidze, A. A. Mirtskhulava, Z. V. Lobzhanidze. A method of metallic gallium purification	63

ASTRONOMY

G. F. Kevanishvili. An investigation of A-type star groupings in the Perseus and Cassiopeia	68
---	----

GEOPHYSICS

A. M. Chkhetia, Ts. D. Porchkhidze. Concerning the study of the morphology of geomagnetic disturbance	72
Ya. G. Sulakvelidze. Thermodynamic conditions of the formation of convective clouds and a method for predicting rainfall	76

GENERAL AND INORGANIC CHEMISTRY

E. G. Davitashvili, M. E. Modebadze, N. G. Shelia. A study of the complex oxalates of terbium	80
---	----

* The list of titles comprises the summaries in English.


 PHYSICAL CHEMISTRY

- O. M. Mdivnishvili. Investigation of structural hydroxyls in montmorillonite by the method of thermal analysis 84

ELECTROCHEMISTRY

- I. A. Bairamashvili, R. M. Pirtskhalavaishvili. Determination of the decomposition potential of KBF_4 at the electrolysis of its molten salts 87
- R. I. Agladze, J. E. Karchava, R. K. Kvaratskhelia. On the reducibility of nitrate-ion on the Hg, Pb and Sn cathodes in the HNO_3 — CH_3COOH — H_2O system 92

CHEMICAL TECHNOLOGY

- P. N. Japaridze, V. I. Ades, S. N. Khadjiev. The effect of pyrolytic carbon on the porous structure of coke 96

PHYSICAL GEOGRAPHY

- Sh. A. Tskhovrebashvili, J. A. Kharitonashvili. Materials for the description of the present tectonic movements of the lower part of the Aragvi valley using Meshcheryakov's method 100
- R. G. Gobejishvili. Recent glaciation of the southern slope of the Central Caucasus (Racha) 104
- V. I. Cheishvili. On the measurement of areas of mountain territories 107

GEOLOGY

- G. A. Chikhradze. On the significance of minor folds in ascertaining the thickness of the Lower- and Middle Jurassic sedimentary strata of the Kazbegi area 111

LITHOLOGY

- A. I. Makharadze. On the presence of products of explosive volcanism in the Upper Eocene and Lower Oligocene manganese-bearing deposits of the Georgian Block 116

STRUCTURAL MECHANICS

- L. V. Chiradze. Calculation of a gently sloping shell with local loading 120

EXPLOITATION OF DEPOSITS AND CONCENTRATION

- D. K. Cholokashvili. The effect of the position of the coupling point of a scraper-plough hauling member on the curvature of a coal face 123

METALLURGY

- K. A. Oganezov, I. A. Bairamashvili, V. V. Chepelev. On the problem of the separate determination of surface and bulk components of oxygen in solid bodies 127

MACHINE BUILDING SCIENCE

- A. A. Pozdeev, V. S. Baakashvili. A mathematical model of metal in hot shaping under pressure 132
- N. S. Davitashvili. Conditions for the existence of two cranks in a five-link spherical hinged mechanism 136
- M. V. Khvingia. Longitudinally-torsional parametric vibrations of a helical bar under axial excitation 140

HYDRAULIC ENGINEERING

- | | |
|--|------|
| M. I. Gogoberidze, N. V. Kavtashvili, A. G. Chanturia. The use of the theory of games in field hydraulic investigations when cavitation transducers are placed on the wasteweirs of hydroelectric power stations | 144 |
| A. G. Chanturia. On the determination of the specific elastic counterpressure coefficient of rocks around hydraulic pressure tunnels of variable sections | 148. |

POWER ENGINEERING

- | | |
|---|-----|
| M. G. Ediberidze. Problems of predicting the seasonal regimes of power stations and of assessments of the distribution functions of long-term average annual output of electric power | 151 |
|---|-----|

ELECTROTECHNICS

- | | |
|---|------|
| T. G. Lekishvili. An experimental installation for studying the effect of voltage fluctuation on induction motors | 156. |
|---|------|

AUTOMATIC CONTROL AND COMPUTER ENGINEERING

- | | |
|---|------|
| D. I. Tsulaia. Some problems related to the application of digital computers in self-aligning systems | 159. |
| M. M. Klementiev, Yu. M. Orkodashvili, Ya. Sh. Palagashvili, O. K. Khomeriki, A. N. Shaanov. Microminiature silicon Hall generators | 164 |
| G. S. Tsiramua, G. N. Gabashvili. On the iteration of big integrated circuits of digital computer components of the 4th generation | 168. |

SOIL SCIENCE

- | | |
|---|-----|
| R. A. Petriashvili. Mineral composition of mountain-woodland and woodland-steppe soils from the Akhaltsikhe basin | 172 |
|---|-----|

PLANT PHYSIOLOGY

- | | |
|--|-----|
| Ts. G. Tsereteli. The effect of X-rays and molybdenum and their joint use on the content of ascorbic acid and the activity of catalase in the haricot-bean | 175 |
|--|-----|

HUMAN AND ANIMAL PHYSIOLOGY

- | | |
|---|-----|
| A. V. Asatiani, A. N. Bakuradze. On the role of the brain stem in the alimentary activity | 179 |
| M. G. Kavkaside, T. N. Oniani. Dynamics of the electrical activity of different neocortical areas in the waking-sleep continuum | 184 |

BIOPHYSICS

- | | |
|---|-----|
| Z. A. Eristavi, Z. A. Zurabashvili, G. G. Tsanava, M. L. Dvali. On the character of the plasma striction course in late pregnancy toxicosis | 187 |
|---|-----|

BIOCHEMISTRY

- | | |
|--|-----|
| M. A. Altshul, [V. S. Asatiani], V. P. Chanturaia, L. S. Silagadze. On the activity of the rabbit tissue enzymes under various conditions | 191 |
| N. G. Aleksidze, D. F. Meshvelishvili, R. P. Beletskaia. Concerning the effect of transamine on the monoaminoxidase activity and psycho-neural behaviour of rats | 195 |



N. A. Beburishvili, T. B. Nersesova. The effect of pangamic acid on foetal hypoxia	199
Ya. P. Lezhava. On the 17-hydroxycorticosteroids and pepsinogen of the blood plasma and urine of patients with duodenal ulcer	203
L. N. Dvali, G. E. Tsulaia. The significance of studying some enzymes in patients with malignant tumours in some later period after treatment	206
R. G. Akhalkatsi, N. I. Dolidze, D. I. Jokhadze. On the glutaminase activity of isolated cell nuclei of various tissues	211
MICROBIOLOGY	
E. G. Kirtadze. Some sources of the formation of organic acids in the secondary alcoholic fermentation	215
PHYTOPATHOLOGY	
G. S. Kalichava. A new type of free radical centres detected in plant tissue	219
HISTOLOGY	
G. G. Samsonidze. A method for determining the area of biological structures	223
CYTOTOLOGY	
O. M. Khardzeishvili. Some metric peculiarities of mitotic cells of the nervous tissue in various stages of hen embryo development	227
EXPERIMENTAL MORPHOLOGY	
L. J. Dzagnidze, P. N. Krasnyanskaya. A study of possible cancerogenic and cocancerogenic properties of overfried oils	231
Zig. A. Zurabashvili, L. A. Eliava. The action of the blood plasma of schizophrenic patients on hemoculture	236
EXPERIMENTAL MEDICINE	
I. L. Lazarishvili, E. G. Veinberg, R. Sh. Khuntua. A study of narcosis and the postnarcosis period in total adrenalectomy	240
HISTORY OF LITERATURE	
L. A. Loria. The problems of form, composition and artistic unity in <i>Les Chants de Maldoror</i> by Lautréamont	243
HISTORY	
G. S. Mamulia. Relations between the Pharnavazids and the Bagratids at the turn of the 8th-9th centuries	248
ETHNOGRAPHY	
N. A. Bregadze. On the meaning of the word <i>Qana</i>	251

Р. В. ДУДУЧАВА

ДИСКРЕТНЫЕ УРАВНЕНИЯ ВИНЕРА—ХОПФА В ПРОСТРАНСТВАХ l_p С ВЕСОМ

(Представлено членом-корреспондентом Академии Б. В. Хведелидзе 20.1.1972)

Пусть $N = \{n_k\}_{k=1}^{\infty}$. Через $l_p(N)$ ($1 \leq p < \infty$) обозначим банахово пространство последовательностей $\xi = \{\xi_k\}_{k=1}^{\infty}$ с нормой

$$\|\xi\|_{l_p(N)} = \left(\sum_{k=1}^{\infty} |n_k \xi_k|^p \right)^{1/p}.$$

$l_p(N)$ будем называть пространством l_p с весом N .

Множество функций вида $a(\zeta) = \sum_{k=1}^n a_k(\zeta) \chi_k(\zeta)$ ($|\zeta| = 1$), где $a_k(\zeta)$ —

функция, непрерывная по Гельдеру, с показателем μ ($0 < \mu \leq 1$), а $\chi_k(\zeta)$ — характеристическая функция дуги единичной окружности, обозначим через ΠH_{μ} .

В настоящем сообщении исследуются дискретные уравнения Винера — Хопфа

$$\sum_{k=1}^{\infty} a_{j-k} \xi_k = \eta_j \quad (j = 1, 2, \dots)$$

в пространстве $l_p(N)$ в предположении, что $N = \{k^{\alpha}\}_{k=1}^{\infty}$,

$$1 < p < \infty, \quad -\frac{1}{p} < \alpha < \frac{1}{q} \quad \left(q = \frac{p}{p-1} \right) \quad (1)$$

и $\{a_k\}_{k=-\infty}^{\infty}$ — коэффициенты Фурье функции $a(\zeta) \in \Pi H_{\mu}$, где

$$0 \leq 1 - \mu < \min \left(\frac{1 + \alpha p}{2}, \frac{1 - \alpha q}{2} \right). \quad (2)$$

1°. Пусть $\{a_k\}_{k=-\infty}^{\infty}$ — коэффициенты Фурье функции $a(\zeta) \in \Pi H_{\mu}$. Через T_a будем обозначать теплицеву матрицу $T_a = \|a_{j-k}\|_{j, k=1}^{\infty}$.

Теорема 1. Пусть $a(\zeta) \in \Pi H_{\mu}$ и числа α , p и μ удовлетворяют соотношениям (1) и (2). Тогда T_a является линейным ограниченным оператором в пространстве $l_p(N)$ с весом $N = \{k^{\alpha}\}_{k=1}^{\infty}$.

Доказательство сформулированной теоремы опирается на теорему М. Рисса и Е. Титчмарша (см. [1]) об ограниченности оператора $T = \left\| \left(j - k + \frac{1}{2} \right)^{-1} \right\|_{j, k=1}^{\infty}$ в пространстве l_p ($1 < p < \infty$), а также на следующую лемму:



Лемма 1. Если элементы матрицы $A = [a_{jk}]_{j,k=1}^{\infty}$ имеют вид

$$a_{jk} = \frac{j^\alpha}{k^\alpha(j-k+\beta)} \quad (0 < \beta < 1),$$

где числа α и p удовлетворяют соотношениям (1), то A является линейным ограниченным оператором в пространстве ${}^1 l_p$.

Сформулированная лемма является дискретным аналогом теоремы Б. В. Хведелидзе о весах (см. [2]).

Всюду в дальнейшем будем считать, что числа α , p и μ удовлетворяют соотношениям (1) и (2) и $N = [k]_{k=1}^{\infty}$.

Теорема 2. Пусть функция $a(\zeta)$ удовлетворяет условию Гельдера с показателем μ . Для того чтобы оператор T_a был Φ_+ - или Φ_- -оператором⁽²⁾ в пространстве $l_p(N)$, необходимо и достаточно, чтобы $a(\zeta) \neq 0$ ($|a| = 1$). Если это условие выполнено, то обратимость оператора A согласована с числом⁽³⁾ $\text{ind } a = (1/2\pi) [\arg a(e^{i\theta})]_{0}^{\pm\pi}$ и $\text{Ind } T_a = -\text{ind } a$.

В случае пространства l_p без веса и произвольной винеровской функции $a(\zeta)$ теорема 2 установлена в [4, 5]. В доказательстве теоремы 2 важную роль играет следующая

Лемма 2. Если оператор T_a , где $a(\zeta) \in \Pi H_\mu$ и $a(\zeta) \neq 0$ ($|\zeta| = 1$), является Φ -оператором в пространстве $l_p(N)$, то обратимость оператора T_a согласована с числом $x = -\text{Ind } T_a$.

Сформулированная лемма является дискретным аналогом теоремы А. Кобурна (см. [6]), который рассматривал операторы Винера—Хопфа в пространстве Харди H_2 .

2°. Пусть $a(\zeta) \in \Pi H_\mu$. Функции $a(\zeta)$ и числам α и p сопоставим функцию

$$a_{a,p}(\zeta, x) = a(\zeta - 0)g(x) + a(\zeta + 0)[1 - g(x)] \quad (\|\zeta\| = 1; \quad 0 \leq x \leq 1),$$

где $g(x) = e^{i\theta(x-1)} \sin \theta x / \sin \theta$, при $\theta \neq 0$ и $g(x) = x$ при $\theta = 0$, а $\theta = \pi - 2\pi \left(\frac{p-1}{p} - \alpha \right)$. Через $\text{ind}_{a,p} a$ обозначим приращение функции $(1/2\pi)[\arg a_{a,p}(e^{i\theta}, x)]$, когда θ пробегает интервал $[0, 2\pi]$ и в точках разрыва функции $a(e^{i\theta})$ параметр x изменяется от 0 до 1.

Теорема 3. Пусть $a(\zeta) \in \Pi H_\mu$. Для того чтобы оператор A был Φ_+ -или Φ_- -оператором в пространстве $l_p(N)$, необходимо и достаточно, чтобы $a_{n,p}(\zeta, x) \neq 0$ ($|\zeta| = 1; 0 \leq x \leq 1$). Если это условие выполнено, то обратимость оператора A согласована с числом $\text{ind}_{n,p} a$ и

$$\text{Ind } T_a = - \text{ ind}_{a, p} a.$$

Для пространства l_2 и кусочно-непрерывных функций $a(\zeta)$ теорема 3 установлена в [7]. Метод доказательства теоремы 3 отличается от метода,

⁽¹⁾ Если $N = \{k^\alpha\}_{k=1}^\infty$ и $\alpha = 0$, то вместо $l_p(N)$ будем писать l_p^0 .

⁽²⁾ Определение Φ_{\pm} - и Φ -операторов, а также индекса (Ind A) Φ -операторов см. в [3].

⁽³⁾ Говорят (см. [4]), что обратимость оператора A согласована с числом α , если A обратим, обратим только слева или обратим только справа в зависимости от того, является ли число α разным нулю, положительным или отрицательным.

предложенного в [7], и опирается на леммы 1 и 2, а также на следующие леммы:

Лемма 3. Если функции $a(\zeta)$, $b(\zeta) \in \Pi H_\mu$ не имеют общих точек разрыва, то оператор $T_a T_b - T_{ab}$ вполне непрерывен в $l_p(N)$.

Лемма 4. Пусть $a(\zeta)$, $b(\zeta) \in \Pi H_\mu$. Оператор $T_a T_b - T_b T_a$ вполне непрерывен в пространстве $l_p(N)$.

Леммы 3 и 4 для пространства l_2 и кусочно-непрерывных функций $a(\zeta)$ и $b(\zeta)$ установлены ранее в [8].

3°. Через \mathfrak{H} обозначим алгебру операторов вида $A = \sum_{j=1}^r T_{a_{j1}} \cdots T_{a_{js}}$, где $a_{jk}(\zeta) \in \Pi H_\mu$. Символом оператора A назовем функцию

$$A_{a, p}(\zeta, x) = \sum_{j=1}^r (a_{j1})_{a, p}(\zeta, x) \cdots (a_{js})_{a, p}(\zeta, x) \quad (\|\zeta\| = 1; 0 \leq x \leq 1).$$

Нетрудно доказать следующую лемму:

Лемма 5. Пусть $A \in \mathfrak{H}$ и $A_{a, p}(\zeta, x)$ —символ оператора A . Тогда

$$\max_{|\zeta|=1; 0 \leq x \leq 1} |A_{a, p}(\zeta, x)| \leq \inf_{T \in \mathfrak{K}} \|A + T\|_{l_p(N)}, \quad (3)$$

где \mathfrak{K} —множество всех вполне непрерывных сператоров в пространстве $l_p(N)$.

Из леммы следует, что символ сператора $A \in \mathfrak{H}$ не зависит от его представления в виде $A = \sum_{j=1}^r T_{a_{j1}} \cdots T_{a_{js}}$ и что символ вполне непрерывного оператора $A \in \mathfrak{H}$ тождественно равен нулю.

Обозначим через $\mathfrak{A}_{a, p}$ замыкание алгебры \mathfrak{H} по норме операторов, действующих в пространстве $l_p(N)$. В силу ссстнсшения (3) каждому оператору $A \in \mathfrak{A}_{a, p}$ однозначно сопоставляется функция $A_{a, p}(\zeta, x)$, которую назовем символом оператора A .

Теорема 4. Для того чтобы оператор $A \in \mathfrak{A}_{a, p}$ был Φ_+ - или Φ_- -оператором в пространстве $l_p(N)$, необходимо и достаточно, чтобы $A_{a, p}(\zeta, x) \neq 0$ ($|\zeta| = 1; 0 \leq x \leq 1$). Если это условие выполнено, то A является Φ -оператором в пространстве $l_p(N)$ и

$$\text{Ind } A = -\text{ind } A_{a, p}(\zeta, x).$$

Для пространства l_2 без веса теорема установлена в [8].

Отметим, что $\mathfrak{K} \subset \mathfrak{A}_{a, p}$ и в силу леммы 4 фактор-алгебра $\mathfrak{A}_{a, p}/\mathfrak{K}$ является коммутативной. Множество максимальных идеалов алгебры $\mathfrak{A}_{a, p}/\mathfrak{K}$ гомесмсрфно цилинду $\mathfrak{M} = \{(\zeta, x): |\zeta| = 1; 0 \leq x \leq 1\}$, который наделен специальной топологией, указанной в [8]; функцией на бикомпакте максимальных идеалов от элемента $\widehat{A} \in \mathfrak{A}_{a, p}/\mathfrak{K}$ является символ оператора $A \in \widehat{A}$.

4°. Исследованы теплицевые операторы, составленные из коэффициентов Фурье матриц-функций, а также парные дискретные операторы Вине-

ра—Хопфа и алгебра, порожденная парными операторами в векторных пространствах последовательностей с весом.

Автор признателен И. Ц. Гохбергу и Б. В. Хведелидзе за полезные обсуждения результатов настоящей заметки.

Академия наук Грузинской ССР
 Тбилисский математический институт
 им. А. М. Размадзе

(Поступило 4.2.1972)

გათხოვაზის

რ. დუდუჩავა

ვინერ—ჰოპფის დისკრეტული განტოლებები l_p სივრცეები წონით
 რეზიუმე

განსაზღვრულია l_p სივრცე წონით და განხილულია ვინერ—ჰოპფის დისკრეტულ განტოლებათა სისტემა, შედგენილი უბან-უბან ვინერის ფუნქციის ფურიეს კოეფიციენტებით.

MATHEMATICS

R. V. DUDUCHAVA

ON WIENER-HOPF DISCRETE EQUATIONS IN SPACES l_p
 WITH WEIGHT

Summary

The definition of spaces l_p with weight is introduced and the Wiener-Hopf discrete equations system composed of Fourier coefficients of piecewise Wiener functions is considered.

ლიტერატურა — REFERENCES

1. В. И. Мацаев. ДАН СССР, 139, № 4, 1961.
2. Б. В. Хведелидзе. Труды Тбилисского мат. ин-та АН ГССР, т. XXIII, 1957.
3. И. Ц. Гохберг, М. Г. Крейн. УМН, 12, вып. 2, 1957.
4. И. Ц. Гохберг, И. А. Фельдман. Уравнения в свертках и проекционные методы их решения. М., 1971.
5. М. Г. Крейн. УМН, 13, вып. 5, 1958.
6. А. Соболев. Mich. Math. J., v. 13, 1966.
7. И. Ц. Гохберг. Функциональный анализ и его приложения, т. 1, вып. 2, 1967.
8. И. Ц. Гохберг, Н. Я. Крупник. Функциональный анализ и его приложения, т. 3, вып. 2, 1969.

Д. Г. ЗАМБАХИДЗЕ

О γ -РАЗМЕРНОСТИ ТОПОЛОГИЧЕСКИХ ПРОСТРАНСТВ

(Представлено академиком Г. С. Чогошвили 9.2.1972

Нами изучается поведение размерности γX , основанной на системе всех бикомпактных подмножеств топологического пространства, некоторые основные свойства которой, выводимые из свойств общей размерностной функции $\text{Dim}^P X$, приведены в [1]. Можно построить пример такого метризуемого пространства X , что $\gamma X \neq \text{Ind} X$, бикомпактного пространства Y , для которого $\gamma Y \neq \text{ind} Y$, и локально бикомпактного и нормального пространства Z , для которого $\gamma Z \neq \dim Z$.

Невыясненными остались следующие вопросы: 1) справедливо или нет равенство $\text{ind } X = \gamma X$ для метризуемых пространств; 2) справедливо или нет равенство $\text{ind } X = \gamma X$ для каждого наследственно нормального и локально бикомпактного пространства X ; 3) существует или нет такое нормальное (или даже вполне регулярное) пространство X , для которого

инд $X = m_1$, $\gamma X = m_2$, $\dim X = m_3$, $\text{Ind } X = m_4$, $m_i \neq m_j$
где $i \neq j$ ($i, j = 1, 2, 3, 4$).

Ясно, что для произвольного пространства X $\text{ind } X \leqslant \gamma X$. Если X — хаусдорфовское пространство, то $\text{ind } X \leqslant \gamma X \leqslant \text{Ind } X$, а для бикомпактов $\text{Ind } X = \gamma X$. Можно показать, что если в пространстве X справедлива теорема суммы для конечного числа замкнутых слагаемых для размерности ind , то $\text{ind } X = \gamma X$.

В дальнейшем нам понадобятся такие наследственно нормальные пространства X , каждое открытое подмножество которых можно представить как сумму точечно-конечной системы открытых множеств типа F_σ в X . Эти пространства в работе [2] называются пространствами даукеровского типа.

Мы их будем называть слабототально нормальными, как мы это делали в нашей дипломной работе и в докладе на I Тираспольском симпозиуме по общей топологии в 1966 г., где эти пространства и некоторые из указанных ниже их свойств были впервые рассмотрены. Поведение размерности $IndX$ в этих пространствах подробно исследовано в [2] и [3].

Ясно, что каждое totally нормальное пространство [4] слабо-тотально нормально. Для выяснения места слабототально нормальных пространств среди прочих полезны следующие примеры:

1. Пример слабототально нормального, но не totally нормального пространства. В работе [5] Е. Майкл построил пример нормального, слабопаракомпактного, но неколлективно нормального пространства X . Из конструкции этого примера следует, что



$X = A \cup B$, $A \cap B = \emptyset$, где A —замкнуто в X и дискретно в индуцированной топологии, B дискретно в индуцированной топологии. Можно показать, что X в силу вышеперечисленных его свойств наследственно нормально, наследственно с табораракомпактно и локально паракомпактно. Так как X локально паракомпактно, то в силу теоремы Мруджи существует одноточечное паракомпактное расширение pX пространства X . Можно показать, что полученное пространство pX с таботально нормально, но не totally-нормально.

2. Пример бикомпактного наследственно слабопаракомпактного, но не наследственно нормального пространства. Пусть Oxy некоторая прямоугольная система координат на плоскости и в первом квадранте задан единичный квадрат $K = \{0 \leq x \leq 1, 0 \leq y \leq 1\}$. Рассмотрим его подмножество $I = K \setminus \{(0, 0) \cup K_1 \cup K_2\}$, где $K_1 = \{x = 1, 0 \leq y \leq 1\}$, $K_2 = \{0 \leq x \leq 1, y = 1\}$. Введем в множество I следующую топологию: каждая точка $M(x, y) \in I$, для которой $x > 0$ и $y > 0$, является изолированной. Если точка $M(x, y) \in I$ и лежит на оси Ox , то ее окрестности определяются по формуле $OM = I_M \setminus B$, где I_M —вертикальный луч, выходящий из точки M ; B —либо конечное, либо пустое множество. Если же точка $M(x, y) \in I$ лежит на сси Oy , то ее окрестности определяются по формуле $OM = I'_M \setminus B$, где I'_M —горизонтальный луч, выходящий из точки M ; B —либо конечное, либо пустое множество. Можно показать, что I —в этой топологии хаусдорфово локально бикомпактное пространство. По теореме П. С. Александрова существует одноточечная бикомпактификация pI пристранства I . Можно показать, что pI наследственно слабопаракомпактно, но не наследственно нормально.

Замечание 1. Пример 2 дает отрицательный ответ на вопрос Б. А. Пасынкова и И. К. Лифанова, поставленный ими в работе [3].

3. Пример счетно-нормального, регулярного, наследственно слабопаракомпактного, но не вполне регулярного пространства. Напомним, что пространство X счетно-нормально, если каждую пару непересекающихся замкнутых подмножеств, одно из которых есть счетное расходящееся множество, можно отделить открытыми непересекающимися окрестностями.

Пусть m и n кардинальные числа, такие, что $\aleph_0 < m < n$. Пусть, далее, X и Y —дискретные пространства, такие, что $\bar{X} = m$ и $\bar{Y} = n$ (\bar{A} —мощность множества A). Образуем новые пространства $\tilde{X} = x_0 \cup X$, $x_0 \notin X$ и $\tilde{Y} = y_0 \cup Y$, $y_0 \notin Y$ со следующей топологией: каждая точка $x \in X$ ($y \in Y$) изолирована в \tilde{X} (\tilde{Y}). Окрестности точки $x_0 \in \tilde{X}$ (точки $y_0 \in \tilde{Y}$) получаются по формуле $Ox_0 = x_0 \cup (X \setminus A)$ ($Oy_0 = y_0 \cup (Y \setminus A)$), где A —произвольное счетное либо пустое подмножество X (в Y). Можно показать, что \tilde{X} и \tilde{Y} —нормальные финально-компактные пространства. Пусть $Z = (\tilde{X} \times \tilde{Y}) \setminus (x_0, y_0)$ с топологией, индуцированной из $\tilde{X} \times \tilde{Y}$. Можно показать, что тогда Z —вполне регулярное, но ненормальное пространство. Применяя известный

прием Ю. М. Смирнова [6] построения из вполне регулярного, но не нормального пространства, регулярного, но не вполне регулярного пространства, можно построить пространство \tilde{Z} , обладающее всеми нужными нам свойствами.

Замечание 2. Пример 3 дает отрицательный ответ на вопрос П. С. Александрова, поставленный в [7] (см. [7], стр. 132).

В связи с построенными примерами приобретают интерес следующие теоремы:

Теорема 1. Наследственно нормальное и слабопаракомпактное пространство X наследственно слабопаракомпактно тогда и только тогда, когда X слабототально нормально.

Теорема 2. Пусть X —слабототально нормальное пространство. Тогда для каждого $A \subseteq X$ $\dim A \leq \dim X$.

В нижеследующих предложениях используются результаты работ [8] и [9] относительно пространств Инасадидзе порядков n , т. е. пространств, имеющих наросты конечных порядков. Имеют место следующие предложения, дающие ряд основных свойств введенной нами γ -размерности, доказательства которых не приводим за неимением места.

Теорема 3. Пусть X —слабототально нормальное пространство, имеющее нарост конечного порядка, тогда $\gamma X = \text{Ind}X$.

Следствие. Если пространство X есть сумма счетного числа замкнутых подмножеств, каждое из которых имеет нарост конечного порядка и X слабототально нормально то $\gamma X = \text{Ind}X$.

Теорема 4. Если X и Y —такие пространства, что X и Y имеют наросты конечных порядков, а $X \times Y$ слабототально нормально, то

$$\gamma(X \times Y) \leq \gamma X + \gamma Y.$$

Теорема 5. Пусть X —слабототально нормальное пространство, имеющее слабую топологию относительно семейства замкнутых множеств $\{A_\alpha\}_{\alpha \in M}$, где каждое A_α имеет нарост конечного порядка и $\gamma A_\alpha \leq n$. Тогда

$$\text{Ind}X = \gamma X = \sup_{\alpha \in M} \{\gamma A_\alpha\}.$$

Теорема 6. Если X —наследственно нормальное и паракомпактное пространство, то $\text{loc Ind}X \leq \text{Ind}X \leq \text{loc Ind}X + 1$.

Теорема 7. Если X —наследственно нормальное, паракомпактное пространство счетного типа, имеющее нарост конечного порядка, то $\gamma X \leq \text{Ind}X \leq \gamma X + 1$.

Следствие. Если наследственно нормальное пространство $X = A \cup B$, где A и B в индуцированной топологии паракомпактны, имеют счетный тип и наросты конечных порядков, то $\gamma X \leq \text{Ind}X \leq \gamma A + \gamma B + 3$.

Теорема 8. Пусть $f: X \rightarrow Y$ —разбивающее отображение (см. [10]) пространства X на пространство Y со счетной базой. Тогда

$$\gamma X \leq \text{ind} Y = \gamma Y.$$

Теорема 9. Пусть X —наследственно нормальное и слабопаракомпактное Z -пространство, имеющее нарост конечного порядка. Тогда $\dim X = \gamma X$.



Теорема 10. Пусть X —локально бикомпактное пространство и bX —произвольное бикомпактное расширение с нумерным (в смысле ind) наростом. Тогда $\gamma(bX) = \gamma X$.

Замечание. Теорема 10 перестает быть справедливой, если в ее формулировке размерность γX заменить размерностями ind либо Ind. Кроме того, существует локально бикомпактное пространство X [11], для которого $\gamma(\beta X) \neq \gamma X$, где βX —чеховское расширение X .

Тбилисский государственный университет

(Поступило 10.2.1972)

მათემატიკა

ლ. ზამბახიძე

ტოპოლოგიურ სივრცეთა γ -განზომილების შესახებ

რეზიუმე

შესწავლითა γ -განზომილების ფუნქცია, რომლის განსაზღვრება მოცემულია [1]-ში. დადგენილია ამ განზომილების ფუნქციის ძირითადი თვისებები სივრცეთა სპეციალურ კლასებში, მისი კავშირი კლასიფირ განზომილებათა ფუნქციებს შორის, ყოფაქცევა კომპაქტიფიკაციების დროს და სხვ. გარდა ამისა, ზემოაღნიშნულ საკითხებთან დაკავშირებით აგებულია მაგალითები, რომლებიც ავტოვე სსნიან ლიტერატურაში დასმულ რამდენიმე საკითხს.

MATHEMATICS

L. G. ZAMBAKHIDZE

ON THE γ -DIMENSION OF TOPOLOGICAL SPACES

Summary

The γ -dimension function [1] is studied. The main properties of this function in special classes of spaces, its relations to the classical dimension functions, its behaviour on compactifications and so on are given. In this connection, several examples are constructed, some of which solve problems raised in [3] and [7].

ლიტერატურა — ЛИТЕРАТУРА — REFERENCES

- Л. Г. Замбахидзе. Сообщения АН ГССР, т. 53, № 3, 1969.
- Б. А. Пасынков. ДАН СССР, т. 175, № 2, 1967.
- Б. А. Пасынков, И. К. Лифанов. Вестник МГУ, сер. мат. и мех., № 3, 1970.
- C. H. Dowker. Quart. J. Math., 6, 1955, 101—120.
- E. Michael. Canad. J. Math., 7 (1955), p. 275—279.
- Ю. М. Смирнов. Ученые записки Моск. гос. университета, вып. 155, т. V, 1952.
- П. С. Александров, П. С. Урысон. Мемуар о компактных топологических пространствах. М., 1971.
- Л. Г. Замбахидзе. ДАН СССР, т. 191, № 2, 1970.
- Х. Н. Иласаридзе. ДАН СССР, т. 166, № 5, 1966.
- А. В. Зарелуа. ДАН СССР, т. 144, № 4, 1962.
- Ю. М. Смирнов. Мат. сб., 29, 1951.

И. А. МЕЛАМЕД

ОДИН МЕТОД ОЦЕНИВАНИЯ НЕИЗВЕСТНОЙ ПЛОТНОСТИ В ТОЧКЕ

(Представлено членом-корреспондентом Л. П. Гокиели 10.2.1972)

Данная работа касается сгущивания функции плотности вероятностей в точке. В ней получены обобщения результатов [1].

1. Общие замечания. Пусть $X_i = (X_1^{(i)}, \dots, X_s^{(i)}), i=1, \overline{n}$ есть независимые и одинаково распределенные s -мерные случайные величины с неизвестной плотностью f . Пусть $A = (A_1, A_2, \dots, A_s)$ — произвольная точка в s -мерном евклидовом пространстве. Поставим задачу оценивания $f(A)$ при различных допущениях относительно f в окрестности точки A . Будем считать, что выполнены допущения (I), (II) из [1] о классе приемлемых оценок ($\text{с } (A-\varepsilon_n, A+\varepsilon_n) = \prod_{i=1}^s (A_i - \varepsilon_n, A_i + \varepsilon_n), \varepsilon_n = n^{-\alpha}, \alpha > 0$). Рассмотрим следующие классы плотностей.

1) Класс $W_2^{(s)}$. Любая плотность $g \in W_2^{(s)}$ удовлетворяет двум условиям:

$$a'_1 \leq g(A) \leq a''_1; \quad (1.1)$$

в интервале $I^* = \prod_{i=1}^s (A_i - h, A_i + h)$ существуют все частные производные второго порядка плотности g , причем в точке A они все по абсолютной величине меньше некоторой константы $a'_2 > 0$ и $\forall y = (y_1, \dots, y_s) \in I^*$

$$g(y) = g(A) + \sum_{i=1}^s (y_i - A_i) \frac{\partial g(A)}{\partial y_i} + \frac{1}{2} \left[\sum_{i>j=1}^s 2(y_i - A_i)(y_j - A_j) \frac{\partial^2 g(A)}{\partial y_i \partial y_j} + \right. \\ \left. + \sum_{i=1}^s (y_i - A_i)^2 \frac{\partial^2 g(A)}{\partial y_i^2} \right] + \bar{g}(y) \left[\sum_{i=1}^s |y_i - A_i|^{2+a_i} + \sum_{i>j=1}^s |y_i - A_i|^{1+b_i} |y_j - A_j|^{1+b_j} \right], \quad (1.2)$$

где $0 < a_i, b_i < 1, i=1, \overline{s}; |\bar{g}(y)| \leq a'_4$.

2) Класс $W_1^{(s)}$. Любая плотность $g \in W_1^{(s)}$ удовлетворяет (1.1), в интервале I^* существуют все частные производные первого порядка плотности g , и $\forall y \in I^*$

$$g(y) = g(A) + \sum_{i=1}^s (y_i - A_i) \frac{\partial g(A)}{\partial y_i} + \bar{g}(y) \sum_{i=1}^s |y_i - A_i|^{1+a_i}, \quad (1.3)$$

где $0 < a_i < 1, i=1, \overline{s}; |\bar{g}(y)| \leq a'_4$.

3) Класс $W_3^{(s)}$. Любая плотность $g \in W_3^{(s)}$ удовлетворяет (1.1), в интервале I^* существуют все частные производные третьего порядка плотности g , которые в точке A по абсолютной величине меньше некоторой константы $a'_3 > 0$, а все частные производные второго порядка плотности g' в точке A меньше по абсолютной величине, чем некоторая константа $a'_2 > 0$ и $\forall y \in I^*$

$$g(y) = g(A) + \sum_{i=1}^s (y_i - A_i) \frac{\partial g(A)}{\partial y_i} + \frac{1}{2} \left[\sum_{i>j=1}^s 2(y_i - A_i)(y_j - A_j) \frac{\partial^2 g(A)}{\partial y_i \partial y_j} + \right. \\ \left. + \sum_{i=1}^s (y_i - A_i)^2 \frac{\partial^2 g(A)}{\partial y_i^2} \right] + \frac{1}{6} \left[\sum_{j>i=1}^s 3(y_i - A_i)(y_j - A_j)^2 \frac{\partial^3 g(A)}{\partial y_i \partial y_j^2} + \right]$$

$$+ \sum_{j>i=1}^s 3(y_i - A_i)^2 (y_j - A_j) \frac{\partial^3 g(A)}{\partial y_i^2 \partial y_j} + \sum_{i=1}^s (y_i - A_i)^3 \frac{\partial^3 g(A)}{\partial y_i^3} \Big] + \\ + \bar{g}(y) \left[\sum_{i=1}^s |y_i - A_i|^{3+a_i} + \sum_{j+i=1}^s |y_i - A_i|^{1+b_i} |y_j - A_j|^{2+b_j} \right], \quad (1.4)$$

где $0 < a_i, b_i < 1, i = \overline{1, s}; |\bar{g}(y)| \leq a'_i$.

Примечание. Сделанное в [1] замечание о константах, определяющих классы W , в полной мере сохраняет свою силу и здесь.

2. Случай $W_2^{(s)}$. Пусть $f \in W_2^{(s)}$. В интервале I^* напишем $f(x) = f(A)[1+k(x_1 - A_1, \dots, x_s - A_s)]$ ($x = (x_1, \dots, x_s)$) и

$$K(\varepsilon_n) = \int_{-\varepsilon_n}^{\varepsilon_n} \dots \int_{-\varepsilon_n}^{\varepsilon_n} k(y_1, \dots, y_s) dy_1, \dots, dy_s \quad (2.1)$$

для n , таких, что $n^{-a} < h$.

Если $K(\varepsilon_n)$ известно, обозначим Y_1, \dots, Y_N те из $X_i, i = \overline{1, n}$, которые лежат в $\prod_{i=1}^s (A_i - \varepsilon_n, A_i + \varepsilon_n)$. Тогда оценка максимального правдоподобия $f(A)$ есть

$$\widehat{f}_n = \frac{N}{n [2^s \varepsilon_n^s + K(\varepsilon_n)]}, \quad (2.2)$$

где $N = \Omega_p(n^{1-sa})$.

Ясно, что $E \widehat{f}_n = f(A)$, а

$$\sigma^2(\widehat{f}_n) = \Omega(n^{sa-1}). \quad (2.3)$$

Примечание. Определения O, o, Ω , а также O_p, o_p, Ω_p даны в [1]. Можно показать (см. [2]), что \widehat{f}_n асимптотически эффективна в том смысле, что для всех конкурирующих оценок T_n , удовлетворяющих

$$\lim_{n \rightarrow \infty} \left[P \left\{ k(n) (T_n - \theta) \leq -\frac{r}{2} \mid \theta \right\} - P \left\{ k(n) \left(T_n - \theta - \frac{r}{k(n)} \right) \leq -\frac{r}{2} \mid \theta + \frac{r}{k(n)} \right\} \right] = 0 \quad (2.4)$$

с $k(n) = n^{-(sa-1)/2}$ и допущениям (I), (II), и для любого фиксированного $r > 0$ имеем

$$\lim_{n \rightarrow \infty} P \{-rn^{(sa-1)/2} < \widehat{f}_n - f(A) < rn^{(sa-1)/2}\} \geq \limsup_{n \rightarrow \infty} P \{-rn^{(sa-1)/2} < T_n - f(A) < rn^{(sa-1)/2}\}. \quad (2.5)$$

Теперь рассмотрим проблему, возникающую в том случае, когда $K(\varepsilon_n)$ неизвестно. Так как $f \in W_2^{(s)}$, для $y \in \prod_{i=1}^s (-h, h)$ имеем

$$k(y) = \sum_{i=1}^s k_i y_i + \sum_{i=1}^s l_i y_i^2 + \sum_{i>j=1}^s m_{ij} y_i y_j + \sum_{i=1}^s O(y_i^{2+a_i}) + \sum_{i>j=1}^s O(y_i^{1+b_i} y_j^{1+b_j})$$

и $l_i = O(1), i = \overline{1, s}$.

$$\text{Тогда } K(\varepsilon_n) = \frac{2^s}{3} \sum_{i=1}^s l_i \varepsilon_n^{s+2} + O(\varepsilon_n^{s+2+a}), \text{ где } a = \min(a_i, b_i + b_j, i, j = \overline{1, s}).$$

Допуская, что оценки неизвестных коэффициентов $l_i, i = \overline{1, s}$, имеются, напишем

$$\widehat{K}(\varepsilon_n) = \frac{2^s}{3} \sum_{i=1}^s \widehat{l}_i \varepsilon_n^{s+2} \quad \text{и} \quad \widehat{f}'_n = \frac{N}{n [2^s \varepsilon_n^s + \widehat{K}(\varepsilon_n)]}. \quad (2.6)$$

Обозначим $D_n = K(\varepsilon_n) - \widehat{K}(\varepsilon_n) = \left[\frac{2^s}{3} \sum_{i=1}^s (l_i - \widehat{l}_i) + O(\varepsilon_n^a) \right] \varepsilon_n^{s+2}$. Тогда

$$\widehat{f}'_n - \widehat{f}_n = \frac{ND_n}{n} [2^s \varepsilon_n^s + K(\varepsilon_n)]^{-1} [2^s \varepsilon_n^s + K(\varepsilon_n) - D_n]^{-1}.$$

Пусть $J = \prod_{i=1}^s (A_i - n^{-\beta}, A_i + n^{-\beta})$, $0 < \beta < \frac{1}{s+4}$.

Пусть $Z_1, \dots, Z_{M(n)}$ — те из векторов X_i , $i = \overline{1, n}$, которые попали в J . Обозначим

$$Q_{nj} = \frac{1}{M(n)} \sum_{i=1}^{M(n)} |Z_j^{(i)} - A_j|, \quad \widehat{l}_j = 12n^{2\beta} \left(n^\beta Q_{nj} - \frac{1}{2} \right), \quad j = \overline{1, s}. \quad (2.7)$$

Тогда $\widehat{f}'_n - \widehat{f}_n = \Omega_p(n^{((s+4)\beta-1)/2-2a}) + O_p(n^{-(a\beta+2a)}) + O_p(n^{-a(2+a)})$.

Рассмотрим проблему выбора α , с которым будем вычислять \widehat{f}'_n . Оптимальное α берется равным $1/(s+4) - d$, $0 < d < 1/(s+4)$, причем в случае, когда a известно, d и β выбираются так, чтобы выполнялись неравенства

$$\beta < \alpha, \quad d < \frac{2a\beta}{s+4}, \quad d < \frac{2a}{(s+4)(s+4+2a)}.$$

Если a неизвестно, берем $d = 0$, $0 < \beta < 1/(s+4)$.

Замечание. В условиях $W_2^{(s)}$ проверяется, что сценка $\widehat{f}_n = N/2^s n \varepsilon_n^s$ в большинстве случаев хуже \widehat{f}'_n .

Случай $W_1^{(s)}$ и $W_3^{(s)}$ исследуются аналогичным образом. Можно показать, что для $W_1^{(s)}$ при $\widehat{f}_n = \widehat{f}'_n$ (для $W_3^{(s)}$ \widehat{f}'_n то же, что и выше) оптимальное α в практически интересных ситуациях равно $1/(s+2)$ (для $W_3^{(s)}$ α берут чуть большим $1/(s+6)$, а β таким, что $\alpha > \beta > 1/(s+6)$).

3. Случай W_4 . Рассмотрим класс плотностей W_4 в одномерном случае. Для $f \in W_4$ выполняются следующие условия:

$$1) \quad a_1 \leqslant f(A) \leqslant a'_1; \quad (3.1)$$

2) в интервале $I^* = (A-h, A+h)$ четвертая производная плотности f существует, $|f^{IV}(A)| < a_4$, $|f''(A)| < a_2$ и для всех $y \in I^*$

$$f(y) = f(A) + (y-A)f'(A) + \frac{1}{2}(y-A)^2 f''(A) + \frac{1}{6}(y-A)^3 f'''(A) + \\ + \frac{1}{24}(y-A)^4 f^{IV}(A) + |\widehat{f}(y)|y^{-1-a}, \quad 0 < a < 1, \quad |\widehat{f}(y)| \leqslant a_6. \quad (3.2)$$

Поэтому для $x \in I^*$ можно написать

$$f(x) = f(A)[1 + k(x-A)], \quad (3.3)$$

где $k(y) = k_1 y + k_2 y^2 + k_3 y^3 + k_4 y^4 + O(y^{4+a})$ для $y \in (-h, h)$, $k_2 = O(1)$, $k_4 = O(1)$.

Обозначим $K(\varepsilon_n) = \int_{-\varepsilon_n}^{\varepsilon_n} k(y) dy$ для n таких, что $\varepsilon_n = n^{-a} < h$. Допустим, что $K(\varepsilon_n)$ известно. Тогда получим сценку максимального правдоподобия $\widehat{f}(A)$:

$$\widehat{f}_n = \frac{N}{n [2\varepsilon_n^s + K(\varepsilon_n)]}, \quad (3.4)$$

где N — число X_i , $i = \overline{1, n}$, попавших в $(A - \varepsilon_n, A + \varepsilon_n)$. В силу [2] \widehat{f}_n асимптотически эффективна, т. е. для любой конкурирующей оценки



T_n , удовлетворяющей (2.4) с $k(n) = n^{(1-\alpha)/2}$ и допущениям (I), (II) о классе приемлемых оценок, и для любого фиксированного $r > 0$ выполняется (2.5) с $s=1$.

Теперь рассмотрим случай, когда $K(\varepsilon_n)$ неизвестно. Положим

$$\widehat{K}(\varepsilon_n) = \frac{2}{3} \widehat{k}_2 \varepsilon_n^3 + \frac{2}{5} \widehat{k}_4 \varepsilon_n^5 \quad \text{и} \quad \widehat{f}_n = \frac{N}{n [2\varepsilon_n + \widehat{K}(\varepsilon_n)]}. \quad (3.5)$$

Обозначим $D_n = K(\varepsilon_n) - \widehat{K}(\varepsilon_n) = \frac{2}{3} (k_2 - \widehat{k}_2) \varepsilon_n^3 + \frac{2}{5} (k_4 - \widehat{k}_4) \varepsilon_n^5 + O(\varepsilon_n^{5+\alpha})$.

$$\text{Тогда } \widehat{f}_n - f_n = \frac{ND_n}{n} [2\varepsilon_n + K(\varepsilon_n)]^{-1} [2\varepsilon_n + K(\varepsilon_n) - D_n]^{-1}.$$

Чтобы получить \widehat{k}_2 и \widehat{k}_4 рассмотрим интервал $J = (A - n^{-\beta}, A + n^{-\beta})$, $0 < \beta < \alpha$. Пусть $Z_1, \dots, Z_{M(n)}$ — те из наблюдений X_1, \dots, X_n ($X_i, i = \overline{1, n}$ — выборка из случайной величины X с плотностью $f \in W_4$), которые попали в J . Обозначим $Q_1 = \frac{1}{M(n)} \sum_1^{M(n)} |Z_i - A|$, $Q_2 = \frac{1}{M(n)} \sum_1^{M(n)} (Z_i - A)^2$;

$$T_1 = 12n^{2\beta} \left(n^\beta Q_1 - \frac{1}{2} \right), \quad T_2 = \frac{45}{4} n^{2\beta} \left(n^{2\beta} Q_2 - \frac{1}{3} \right), \quad T_3 = n^{2\beta} (T_2 - T_1). \quad (3.6)$$

Положим

$$\widehat{k}_2 = \frac{3}{2} n^{2\beta} \left[1 - \sqrt{1 - \frac{4}{3} n^{-2\beta} (T_1 - 14n^{-2\beta} T_3)} \right], \quad \widehat{k}_4 = \frac{35}{2} T_3. \quad (3.7)$$

Тогда

$$\widehat{f}_n - \widehat{f}_n = \Omega_p(n^{-(1-5\beta)/2-2\alpha}) + \Omega_p(n^{-(1-9\beta)/2-4\alpha}) + O_p(n^{-\beta(2+\alpha)-2\alpha}) + O_p(n^{-\alpha\beta-4\alpha}) + O_p(n^{-(4+\alpha)\alpha}). \quad (3.8)$$

За оптимальное значение α возьмем то его наименьшее значение, для которого $\widehat{f}_n - f_n = o_p(n^{(\alpha-1)/2})$. Из (3.8) следует, что

$$\beta < \alpha, 5\alpha + 4\beta > 1 - 2\alpha\beta, 9\alpha + 2\alpha\beta > 1, 9\alpha > 1 - 2\alpha\alpha. \quad (3.9)$$

Если a неизвестно, удовлетворительным выбором α является число чуть больше $1/9$, а β выбираем так, чтобы $1/9 < \beta < \alpha$. Если a известно, выбираем α и β так, чтобы выполнялись условия (3.9).

Тбилисский государственный университет

Институт прикладной математики

(Поступило 11.2.1972)

გვარების სახელი

ი. მელამედი

რეზიუმე

განხოვადებულია ლ. ვეისისა და ჸ. ვოლფოვიცის [1] შედეგები მრავალ-განხომილებიანი განაწილების სიმკვრივეებისათვის.

MATHEMATICS

I. A. MELAMED

ONE METHOD OF ESTIMATION OF A DENSITY FUNCTION AT A POINT

Summary

The results of L. Weiss and J. Wolfowitz are generalized for a multi-dimensional case and for the case when the IVth derivative of density exists.

ლიტერატურა — ЛИТЕРАТУРА — REFERENCES

1. L. Weiss, J. Wolfowitz. Z. Wahrscheinlichkeitstheorie verw. Geb., 7, 1967.
2. L. Weiss, J. Wolfowitz. Теория вероятностей и ее применения, 9, 1966, 68–99.

МАТЕМАТИКА

Г. И. ЮРКИН

О ПЛОСКОЙ ВАРИАЦИИ А. С. КРОНРОДА И ВАРИАЦИИ
ТОНЕЛЛИ ФУНКЦИИ ДВУХ ПЕРЕМЕННЫХ $Z = \omega(x, y)$

(Представлено членом-корреспондентом Академии В. Г. Челидзе 22.2.1972)

В настоящей статье понятие плоской вариации А. С. Кронрода и вариации Тонелли обобщается на функции двух действительных переменных, не являющиеся непрерывными и названные нами L -непрерывными функциями. Функции эти определяются следующим образом:

Определение 1. Функцию двух действительных переменных $Z = \omega(x, y)$, определенную на сегменте $J_0 = E \{a_1 \leq x \leq b_1, a_2 \leq y \leq b_2\}$,

(xy)

будем называть L -непрерывной на этом сегменте, если для любого положительного числа ε существует конечная или счетная система открытых множеств $\{G_i\}$, сумма диаметров которых менее ε и на дополнении к сумме которых, т. е. на множестве $J_0 - \sum G_i$, функция $\omega(x, y)$ непрерывна.

Множество точек $E \{(x, y) \in J_0; z = \omega(x, y)\}$ будем называть L -непрерывной поверхностью $\omega(J_0)$.

Как известно [1], площадь L -непрерывной поверхности тесно связана с вариацией Тонелли функции $\omega(x, y)$. Именно из ограниченности вариации Тонелли следует ограниченность площади L -непрерывной поверхности и наоборот.

Так как вариация Тонелли существенно зависит от выбора системы прямоугольных координат, в то время как площадь поверхности не зависит от выбора системы координат, то естественно возникает задача показать, что свойство функции быть с ограниченной вариацией в смысле Тонелли не зависит от выбранной системы координат.

Эта задача решается в настоящей статье с помощью так называемой плоской вариации Кронрода, определение которой не связано с выбранной системой координат.

В работе А. С. Кронрода рассматривается плоская вариация непрерывной функции двух переменных, определяемая через линейную меру множества уровня. Там же показано, что в случае непрерывной функции $z = f(x, y)$, заданной на единичном квадрате, из ограниченности плоской вариации следует ограниченность вариации Тонелли и наоборот.

Мы покажем, что подобное соотношение будет справедливо и в случае L -непрерывной функции, заданной на сегменте J_0 .



Определение 2. Пусть $\omega(x, y)$ —функция двух действительных переменных, заданная на сегменте J_0 . Множеством уровня ε_t функции $\omega(x, y)$ называется множество точек $(x, y) \in J_0$, в которых $\omega(x, y) = t$.

Если $\omega(x, y)$ —непрерывная функция, то ее множества уровня, как показано в [2], суть замкнутые множества, не имеющие попарно общих точек.

В случае L -непрерывных функций множества уровня не являются замкнутыми множествами. Однако установлено, что для каждого t множество уровня ε_t является суммой замкнутых множеств и некоторого множества H , линейная мера которого равна нулю.

Определение 3. Пусть $\omega(x, y)$ — L -непрерывная функция двух действительных переменных, заданная на сегменте J_0 . Плоской вариацией

$W(\omega)$ функции $\omega(x, y)$ будем называть число $W(\omega) = \int_{-\infty}^{\infty} \lambda(\varepsilon_t) dt$, где в

правой части имеем интеграл Лебега, а $\lambda(\varepsilon_t)$ есть линейная мера множества уровня по Хаусдорфу.

Вариация Тонелли $V_T(\omega)$ L -непрерывной функции $\omega(x, y)$, заданной на интервале J_0 , определяется формулой

$$V_T(\omega) = \int_{a_1}^{b_1} W(\xi, a_2, b_2) d\xi + \int_{a_2}^{b_2} W(\eta, a_1, b_1) d\eta,$$

где $W(\xi, a_2, b_2)$ и $W(\eta, a_1, b_1)$ —полные вариации на отрезках $[a_2, b_2]$ и $[a_1, b_1]$ для $\xi([a_1, b_1])$ ($\eta \in [a_2, b_2]$).

Для того чтобы установить сопоставление между плоской вариацией L -непрерывной на J_0 функции $\omega(x, y)$ и ее вариацией в смысле Тонелли, рассмотрим так называемые функции кратности для данной функции, которые определяются следующим образом:

Определение 4. Пусть $\varphi(x, y)$ —функция двух действительных переменных, заданная в плоскости xy , и M —замкнутое множество, лежащее в этой плоскости. Пусть R —плоскость, проходящая через ось ox и пересекающая плоскость xy по некоторой прямой ol . Тогда функцией кратности $\Phi_R(\varphi, M, l_0, t_0)$ назовем функцию, равную числу точек графика функции $z = \varphi(x, y)$, лежащих над M и ортогонально проектирующихся на плоскость xy в точку (l_0, t_0) .

Иначе говоря, функция кратности $\Phi_R(\varphi, M, l_0, t_0)$ равна числу точек множества уровня $(\varepsilon_t \cdot M)$, ортогонально проектирующихся в точку l_0 прямой ol .

При помощи функции кратности вариация Тонелли определяется формулой

$$V_T(\omega) = \int_{-\infty}^{\infty} \int_{a_1}^{b_1} \Phi_{R_x}(\omega, J_0, x, t) dx dt + \int_{-\infty}^{\infty} \int_{a_2}^{b_2} \Phi_R(\omega, J_0, y, t) dy dt,$$

где $\Phi_{R_x}(\omega, J_0, x_0, t_0)$ — функция кратности, равная числу точек множества уровня ε_t L -непрерывной функции $\omega(x, y)$, ортогонально проектирующихся в точку x_0 оси ox .

Лемма 1 (Об измеримости функции кратности). Пусть $\omega(x, y)$ — L -непрерывная функция, заданная на интервале J_0 , и R — плоскость, проходящая через ось oy и пересекающая плоскость xy по прямой ol . Если $\Phi_R(\omega, J_0, l, t)$ — функция кратности функции $\omega(x, y)$, то она измерима относительно переменных l и t .

Лемма 2. Для всякой L -непрерывной функции $\omega(x, y)$, заданной на интервале J_0 и имеющей на этом интервале ограниченную плоскую вариацию, выполняются неравенства

$$\int_{-\infty}^{\infty} \Phi_R(\omega, J_0, l, t) dl \leq \lambda(\varepsilon_t),$$

$$\int_{-\infty}^{\infty} \int_{-\infty}^{\infty} \Phi_R(\omega, J_0, l, t) dl dt \leq W(\omega).$$

Теорема. Пусть $Z = \omega(x, y)$ — L -непрерывная функция, заданная на интервале J_0 . Для того чтобы функция $\omega(x, y)$ имела ограниченную вариацию Тонелли, необходимо и достаточно, чтобы плоская вариация $W(\omega)$ этой функции была ограничена на интервале J_0 .

Всесоюзный заочный
машиностроительный институт

(Поступило 2.3.1972)

БАТАЯНДИКА

З. ЮРКИН

МНОГОЗНАЧНАЯ ОБЩЕСТВОВЕННАЯ ФУНКЦИЯ И ЕЕ ТОНЕЛЛИЕВА ОГРАНИЧЕННОСТЬ
ЗАКОНОВЫХ УЧЕБНИКОВ

КРУПНОГО

МНОГОЗНАЧНАЯ ОБЩЕСТВОВЕННАЯ ФУНКЦИЯ И ЕЕ ТОНЕЛЛИЕВА ОГРАНИЧЕННОСТЬ
ЗАКОНОВЫХ УЧЕБНИКОВ

MATHEMATICS

G. I. YURKIN

ON THE PLANE VARIATION IN THE SENSE OF CRONROD AND TONNELLI

Summary

Notions of Cronrod's variation and Tonnelli's variation are generalized over discontinuous functions. It is proved that both variations are bounded only simultaneously.

СПИСОК ЛИТЕРАТУРЫ — REFERENCES

- Г. И. Юркин. Материалы межвузовской физ.-мат. науч. конфер. Дальнего Востока, т. 2, 1967.
- А. С. Кронрод. УМН, вып. V, 1950, 24—134.

Л. Д. ГОГОЛАДЗЕ

ОБ ОГРАНИЧЕННОСТИ НЕКОТОРЫХ СХОДЯЩИХСЯ СРЕДНИХ КРАТНЫХ ФУНКЦИОНАЛЬНЫХ РЯДОВ ОДНОГО КЛАССА

(Представлено членом-корреспондентом Академии В. Г. Челидзе 1.3.1972)

Хорошо известно [1], что из суммируемости n ($n \geq 2$)-кратного числового ряда методом $(C, \alpha_1, \dots, \alpha_n)$, $\alpha_j > -1$, ($j = 1, \dots, n$), вообще говоря, не следует его суммируемость методами $(C, \alpha'_1, \dots, \alpha'_n)$, $\alpha'_j \geq \alpha_j$ ($j = 1, \dots, n$) и Абеля—Пуассона (A^*).

Возникает вопрос: если n ($n \geq 2$)-кратный функциональный ряд суммируется методом $(C, \alpha_1, \dots, \alpha_n)$ на множестве E_n , $\mu E_n > 0$, то будет ли он суммируем методами $(C, \alpha'_1, \dots, \alpha'_n)$, $\alpha'_j \geq \alpha_j$, ($j = 1, \dots, n$) и Абеля—Пуассона (A^*) почти всюду на E_n ?

Ниже будут приведены утверждения, дающие, в частности, ответ на этот вопрос для достаточно широкого класса функциональных рядов.

Пусть дана конечная в каждой точке $x \in [-1, 1]$ система функций $\{\omega_k(x)\}_{k=0}^{\infty}$.

Определение 1. Назовем систему функций $\{\omega_k(x)\}_{k=0}^{\infty}$ μ -линейно-независимой (μ -линейно-независимой) на $[-1, 1]$, если всякая ее конечная часть линейно-независима на любом несчетном множестве $E \subset [-1, 1]$ (на любом множестве $E \subset [-1, 1]$ $\mu E > 0$).

Будем рассматривать такие мультипликативные системы функций $\{u_{k_1}^{(1)}(x_1) \cdot u_{k_2}^{(2)}(x_2) \cdots u_{k_n}^{(n)}(x_n)\}_{k_j=0}^{\infty}$ ($j = 1, \dots, n$), что для каждого $j = 1, \dots, n$ система функций $\{u_{k_j}^{(j)}(x_j)\}_{k_j=0}^{\infty}$ является μ -линейно-независимой или μ -линейно-независимой на $[-1, 1]$.

Рассмотрим мультипликативную матрицу

$A = (a_{m_1, k_1}^{(1)} \cdot a_{m_2, k_2}^{(2)} \cdots a_{m_n, k_n}^{(n)})$. Матрицы $A_j = (a_{m_j, k_j}^{(j)})$, ($j = 1, \dots, n$) назовем составляющими матрицами A . Будем предполагать, что матрицы A_j конечно-строчные.

Определение 2. Матрицу A назовем матрицей типа L , если элементы каждой составляющей матрицы A_j ($j = 1, \dots, n$) для любого фиксированного k_j удовлетворяют одному из следующих условий: $a_{m_j, k_j}^{(j)} \neq 0$ для бесконечно многих значений m_j или $a_{m_j, k_j}^{(j)} \equiv 0$.

Теперь рассмотрим n ($n \geq 2$)-кратный ряд

$$\sum_{k_1, \dots, k_n=0}^{\infty} c_{k_1, \dots, k_n} u_{k_1}^{(1)}(x_1) \cdots u_{k_n}^{(n)}(x_n), \quad (x_1, \dots, x_n) \in E_n \subset I_n, \quad (1)$$



где $I_n = [-1, 1] \times \cdots \times [-1, 1]$ — n -мерный куб. С помощью матрицы A составим средние

$$T_{k_1, \dots, k_n}(x_1, \dots, x_n) = \sum_{k_1=0}^{\varphi_1(m_1)} \cdots \sum_{k_n=0}^{\varphi_n(m_n)} c_{k_1, \dots, k_n} \times \\ \times a_{m_1, k_1}^{(1)} \cdots a_{m_n, k_n}^{(n)} \cdot u_{k_1}^{(1)}(x_1) \cdots u_{k_n}^{(n)}(x_n), \quad (2)$$

где $\varphi_j(m_j)$, ($j = 1, \dots, n$)—номер последнего отличного от нуля члена в строке m_j составляющей матрицы A_j .

Справедлива

Теорема 1. Пусть системы функций $\{u_{k_j}^{(j)}(x_j)\}_{k_j=0}^{\infty}$, ($j = 1, \dots, n$), \aleph -линейно-независимы (μ -линейно-независимы) на $[-1, 1]$ и ряд (1) суммируется матрицей типа L на множестве E_n , т. е.

$$\lim_{m_1, \dots, m_n \rightarrow \infty} T_{m_1, \dots, m_n}(x_1, \dots, x_n) = T(x_1, \dots, x_n), \quad (x_1, \dots, x_n) \in E_n. \quad (3)$$

Тогда почти всюду на E_n

$$\sup_{m_1, \dots, m_n} |T_{m_1, \dots, m_n}(x_1, \dots, x_n)| < \infty. \quad (4)$$

Если же $E_n = E^{(1)} \times E^{(2)} \times \cdots \times E^{(n)}$ и каждое из $E^{(j)} \subset [-1, 1]$, ($j = 1, \dots, n$)—несчетное множество (множество положительной μ -меры), то неравенство (4) будет выполняться в каждой точке множества E_n .

Заметим, что можно было бы указать точки, в которых имеет место (4), однако эти условия для $n > 2$ имеют громоздкий вид. Более просто эти точки указываются для случая, когда $n = 2$. Для этого нам понадобится

Определение 3. Точку (x_1^0, x_2^0) назовем K_{\aleph} -точкой (K_{μ} -точкой) множества E_2 , если $E_2 \cap B_j$, ($j = 1, 2$)—несчетное множество (множество положительной μ -меры), где $B_j = \{(x_1, x_2) : x_j = x_j^0\}$, ($j = 1, 2$).

Теорема 2. Пусть системы функций $\{u_{k_j}^{(j)}(x_j)\}_{k_j=0}^{\infty}$, ($j = 1, 2$) \aleph -линейно-независимы (μ -линейно-независимы) на $[-1, 1]$ и

$$\lim_{m_1, m_2 \rightarrow \infty} T_{m_1, m_2}(x_1, x_2) = T(x_1, x_2) \quad (5)$$

на множестве E_2 . Если

- 1) матрица $A = (a_{m_1, k_1}^{(1)} \cdot a_{m_2, k_2}^{(2)})$ является матрицей типа L ,
- 2) точка (x_1^0, x_2^0) является K_{\aleph} -точкой (K_{μ} -точкой) множества E_2 , то

$$\sup_{m_1, m_2} |T_{m_1, m_2}(x_1^0, x_2^0)| < \infty. \quad (6)$$

Следует заметить, что если одно из условий 1) или 2) не выполнено, то теорема, вообще говоря, не будет справедливой.

Рассмотрим некоторые частные случаи теоремы 1. Сначала заметим, что условию, наложенному на системы функций $\{u_{k_j}^{(j)}(x_j)\}_{k_j=0}^{\infty}$, удовлет-

воряют многие классические системы. Например, в качестве $\{u_{k_j}^{(j)}(x_j)\}_{k_j=0}^{\infty}$ можно взять систему функций Якоби (Лежандра, Чебышева), а также любую полиномиальную систему $\{P_{k_j}(x_j)\}_{k_j=0}^{\infty}$, где $P_{k_j}(x_j)$ — алгебраические или тригонометрические полиномы линейно-независимые на $[-1, 1]$ в обычном смысле. Кроме того, условиям, наложенным на составляющие матрицы A_j , удовлетворяют, например, матрицы, соответствующие средним Хаусдорфа (Чезаро, Эйлера и др.). Случай, когда $u_{k_j}^{(j)}(x_j) = e^{i\pi k_j x_j}$ и матрица A соответствует частичным суммам, был рассмотрен в работе [2].

Применением приведенных теорем можно получить разные утверждения, относящиеся к взаимосвязи некоторых методов суммирования (тесремы Тайбера типа) для n ($n \geq 2$)-кратных функциональных рядов, в частности положительный ответ на вышепоставленный вопрос.

Тбилисский государственный университет

Институт прикладной математики

(Поступило 2.3.1972)

გათხმატიანი

ლ. გოგოლაძე

რეზიუმე

ერთი კლასის ჯერადი ფუნქციონალური მატრივების ზოგიერთი პრემია დამუშავდების უმცირესობის შესახებ

მოყვანილია საკმარისი პირობები, რომლებსაც უნდა აქმაყოფილებდეს ფუნქციათა სისტემა $\{u_{k_1}^{(1)}(x_1) \cdot u_{k_2}^{(2)}(x_2) \cdots u_{k_n}^{(n)}(x_n)\}_{k_j=0}^{\infty}$ ($j = 1, \dots, n$) და მატრიცა $A = (a_{m_1, k_1}^{(1)}, k_1 \cdot a_{m_2, k_2}^{(2)}, \dots, a_{m_n, k_n}^{(n)})$, რათა მოცემული სისტემის მიმართ აღებული მუჯრივის A მატრიცით შედგენილი კრებადი საშუალოები იყოს შემოსზღვრული.

MATHEMATICS

L. D. GOGOLADZE

ON THE BOUNDEDNESS OF SOME CONVERGENT MEANS OF ONE CLASS OF MULTIPLE FUNCTIONAL SERIES

Summary

The sufficient conditions are given which are imposed on the system of functions $\{u_{k_1}^{(1)}(x_1) \cdot u_{k_2}^{(2)}(x_2), \dots, u_{k_n}^{(n)}(x_n)\}_{k_j=0}^{\infty}$ ($j = 1, \dots, n$) and the matrix $A = (a_{m_1, k_1}^{(1)} \cdot a_{m_2, k_2}^{(2)} \dots, a_{m_n, k_n}^{(n)})$ for the boundedness of the convergent means of the series with respect to the given system corresponding to the matrix A .

ლიტერატურა — ЛИТЕРАТУРА — REFERENCES

1. В. Г. Челидзе. Труды Тбилисского мат. ин-та им. А. М. Размадзе АН ГССР, XVI, 1948.
2. J. M. Ash, G. V. Welland. Bull. Am. Math. Soc., v. 77, № 1, 1971.



МАТЕМАТИКА

И. Д. МАЧАВАРИАНИ

ОБ ОДНОМ ОБОВЩЕНИИ ОСОБОГО ИНТЕГРАЛА И ЕГО
НЕКОТОРЫЕ СВОЙСТВА

(Представлено академиком В. Д. Купрадзе 23.2.1972)

Рассмотрим простые спрямляемые кривые $\Gamma: t = t(s)$, где s —дуговая абсцисса, $0 \leq s \leq 2\pi$. На Γ выберем положительное направление, совпадающее с направлением возрастания дуговой абсциссы.

Интервалом (t_1, t_2) назовем часть кривой Γ , которую описывает точка t , движаясь в положительном направлении от точки t_1 вдоль Γ до точки t_2 .

Положим

$$R = \{ \Gamma : f \in L_p(\Gamma), p > 1, \|S(f, t)\|_{L_p} \leq A_p(\Gamma) \|f\|_{L_p} \},$$

где $A_p(\Gamma)$ —положительная, не зависящая от функции f постоянная, а $S(f, t)$ —обычный осесимметричный интеграл (см. напр. [1], стр. 72).

Обобщенным сингулярным, или особым, интегралом назовем предел

$$\frac{1}{\pi i} \lim_{\substack{t_1, t_2 \rightarrow t_0 \\ |t_2 - t_0| \rightarrow \mu(t_0)}} \int_{\Gamma \setminus (t_1, t_2)} \frac{f(t)}{t - t_0} dt = (v. p. \mu) \int_{\Gamma} \frac{f(t)}{t - t_0} dt, \quad t_0 = t(s_0) \in (t_1, t_2)$$

и по определению положим

$$\frac{1}{\pi i} (v. p. \mu) \int_{\Gamma} \frac{f(t)}{t - t_0} dt = S_{\mu}(f, t_0).$$

Нетрудно заметить, что при $\mu(t) = 1$ получаем обычный осесимметричный интеграл $S(f, t)$.

Теперь приведем теоремы, которые представляют собой аналоги хорошо известных результатов М. Рисса, Пуанкаре—Бертрана, А. Н. Колмогорова и др. Сперва подчиним функцию $\mu(t)$ вполне естественно требованию $0 < \mu(t) < \infty$ п. в. на Γ .

Теорема 1. Пусть $f \in L(\Gamma)$, $\Gamma \in R$. Тогда почти для всех $t \in \Gamma$ существует особый интеграл $S_{\mu}(f, t)$.

Эта теорема доказывается при помощи теорем 1, 2 из работы [1].

Теорема 2. Пусть $f \in L_p(\Gamma)$, $p > 1$, $\Gamma \in R$. Тогда справедливо неравенство

$$\int_{\Gamma} |S_{\mu}(f, t)|^p ds \leq A_p(\Gamma) \int_{\Gamma} (1 + |\log \mu(t)|^p) |f(t)|^p ds,$$

где $A_p(\Gamma)$ —положительная постоянная, не зависящая от функций f и μ .



Следствие 1. Пусть $f \in L_p(\Gamma)$, $f \log \mu \in L_p(\Gamma)$, $p > 1$, $\Gamma \in R$. Тогда $S_\mu(f, t) \in L_p(\Gamma)$.

С помощью теоремы 2 можно показать справедливость следующих предложений:

Теорема 3. Пусть $f \in L_p(\Gamma)$, $g \in L_q(\Gamma)$, $p^{-1} + q^{-1} = 1$, $\Gamma \in R$. Тогда справедливо равенство

$$\int_{\Gamma} S_\mu(f, t) g(t) dt = - \int_{\Gamma} S_\mu(g, t) f(t) dt - 2 \int_{\Gamma} f(t) g(t) \log \mu(t) dt.$$

Следствие 2. Если $f \in L_p(\Gamma)$, $p > 1$, $f \log \mu \in L(\Gamma)$, $\Gamma \in R$, то $S_\mu(f, t) \in L(\Gamma)$.

Теорема 4. Пусть $f \in L(\Gamma)$, $\Gamma \in R$, тогда для любого $\varepsilon \in (0, 1)$ справедливо неравенство

$$\left\{ \int_E |S_\mu(f, t)|^\varepsilon ds \right\}^{1/\varepsilon} \leq \frac{A_\varepsilon(\Gamma)}{1-\varepsilon} |E|^{1-\varepsilon} \int_{\Gamma} (1 + |\log \mu(t)|) |f(t)| ds,$$

где $E \subset \Gamma$, а $A_\varepsilon(\Gamma)$ не зависит от функций f и μ .

Следствие 3. Если $f \in L(\Gamma)$, $f \log \mu \in L(\Gamma)$, $\Gamma \in R$, то $S_\mu(f, t) \in L_\varepsilon(\Gamma)$, $\forall \varepsilon \in (0, 1)$.

Теорема 5. При условиях теоремы 3 имеет место формула

$$(v. p. \mu) \int_{\Gamma} \frac{f(t)}{t-t_0} dt (v. p. \mu) \int_{\Gamma} \frac{g(\tau)}{\tau-t} d\tau = - [\pi^2 + \log^2 \mu(t_0)] f(t_0) g(t_0) - \\ - 2(v. p. \mu) \int_{\Gamma} \frac{f(t) g(t) \log \mu(t)}{t-t_0} dt + (v. p. \mu) \int_{\Gamma} g(\tau) d\tau \int_{\Gamma} \frac{f(t)}{(t-t_0)(\tau-t)} dt.$$

Привлекая понятие A -интеграла, получаем следующую теорему:

Теорема 6. Пусть $f \in L(\Gamma)$, $\Gamma \in R$, $|g| \leq M$, $|S(g, t)| \leq M$. Тогда справедливо равенство

$$(A) \int_{\Gamma} S_\mu(f, t) g(t) dt = - \int_{\Gamma} S_\mu(g, t) f(t) dt - (A) \int_{\Gamma} f(t) g(t) \log \mu(t) dt - \\ - \int_{\Gamma} f(t) g(t) \log \mu(t) dt.$$

Этот результат является аналогом одной теоремы, доказанной для сопряженных функций П. Л. Ульяновым [2].

Следствие 4. Пусть $f \in L(\Gamma)$, $f \log \mu \in L(\Gamma)$, $\Gamma \in R$. Тогда особый интеграл $S_\mu(f, t)$ A -интегрируем на Γ .

В работе [3] В. П. Хавин высказал предположение о возможной справедливости следующего предложения:

Если при любой $f \in L_p(\Gamma)$, $p > 1$ особый интеграл $S(f, t)$ существует п. в. на Γ и $S(f, t) \in L_p(\Gamma)$, то оператор непрерывен из $L_p(\Gamma)$ в $L_p(\Gamma)$.

В. А. Пааташвили в работе [4] дал доказательство указанного предложения. Мы здесь приведем аналог этой теоремы для особого интеграла $S_\mu(f, t)$, который получается применением леммы из [5] (стр. 136).

Теорема 7. Пусть при любом $f \in L_p(\Gamma)$, $p > 1$ особый интеграл $S_\mu(f, t)$ принадлежит классу $L_p(\Gamma)$. Тогда справедливо неравенство

$$\int_{\Gamma} |S_\mu(f, t)|^p ds \leq A_p(\Gamma, \mu) \int_{\Gamma} |f(t)|^p ds,$$

где $A_p(\Gamma, \mu)$ — положительная постоянная, не зависящая от функции f .

Вышеприведенные результаты применяются для изучения граничного поведения интегралов типа Коши

$$F(z) = \frac{1}{2\pi i} \int_{\Gamma} \frac{f(t)}{t-z} dt.$$

Теорема 8. Пусть $f \in L(\Gamma)$. Тогда н. в. на Γ функция $F(z)$ имеет угловые граничные значения $F^\pm(t_0)$ и

$$F^\pm(t_0) = \left\{ \frac{1}{2} \pm \frac{1}{2} - \frac{1}{2}\pi a_{t_0} + \frac{\log \mu(t_0)}{2\pi i} \right\} f(t_0) + \frac{1}{2} S_\mu(f, t_0),$$

где

$$a_{t_0} = \lim_{t_1, t_2 \rightarrow t_0} \arg \left(\frac{t_1 - t_0}{t_2 - t_0} \right).$$

Справедливы аналогичные теоремы и для обобщенных кратных особых интегралов $S_\mu(f, t_1, \dots, t_n)$, $M = (\mu_1, \mu_2, \dots, \mu_n)$. При этом теорему 1 можно спасти только для $f \in L_p(\Gamma^n)$, $p > 1$, $\Gamma^n \in R$. Теорема 4, как показал Л. В. Жижиашвили (см. [6]), несправедлива даже тогда, когда $\mu_1 = \mu_2 = \dots = \mu_n = 1$, а $\Gamma^n = [0, 2\pi] \times \dots \times [0, 2\pi]$. Теоремы 2, 3, 7 доказываются аналогично с помощью теоремы 1 из [7], а теорема 5 — применением схемы доказательства (соответствующей теоремы), предложенной В. Д. Купрадзе [8]. Имеет место также многомерный аналог теоремы 8 при $f \in L_p(\Gamma)$, $p > 1$.

Наконец заметим, что для более специальных классов функций теоремы 5, 8 рассматривали Заковский [9] и Д. Ф. Гахов [10].

Академия наук Грузинской ССР

Вычислительный центр

(Поступило 2.3.1972)

გვთხავაზე

ი. მაკავარიანი

განსაკუთრებული ინტეგრალის ერთი განხოგვადების შესახებ და მისი ზოგიერთი თვისება

რეზიუმე

შემოდებულია განხოგადებული განსაკუთრებული ინტეგრალი, რომელიც კერძო შემთხვევაში ემთხვევა განსაკუთრებულ ინტეგრალს, კონტინუუმის მთავარი



მნიშვნელობის აზრით. ამ სინგულარული ინტეგრალისათვის მოყვანილია გ. რისის, პუნქარე — ბერტრანის, ა. კოლმოგოროვისა და სხვათა შედეგების ანალოგები.

MATHEMATICS

I. D. MACHAVARIANI

ON A GENERALIZATION OF A SINGULAR INTEGRAL AND SOME OF ITS PROPERTIES

Summary

A generalized singular integral is introduced, which, in a special case, coincides with the singular integral in Cauchy's principal meaning value. For this singular integral analogues of the well-known theorems of M. Riesz, Poincare-Bertrand, A. N. Kolmogorov and others are given.

ლიტერატურა — ЛИТЕРАТУРА — REFERENCES

1. А. Г. Джвариშвили. Труды Тбилисского мат. ин-та им. А. М. Размадзе АН ГССР, XXXX, 1966, 71—90.
2. П. Л. Ульянов. Уч. зап. МГУ, вып. 181, Математика, т. VIII, 1956, 139—157.
3. В. П. Хавин. Мат. сб. т. 68 (110), 4, 1965.
4. В. А. Пааташвили. Сообщения АН ГССР, 53, № 3, 1969.
5. Л. А. Люстерник, В. И. Соболев. Элементы функционального анализа. М., 1965.
6. Л. В. Жижиашвили. Сопряженные функции и тригонометрические ряды. Тбилиси, 1969.
7. А. Г. Джвариშвили. Rev. Roumaine de Mathematiques pures et appl., т. IX, 5, 1964.
8. В. Д. Купрадзе. Граничные задачи теории колебаний и интегральные уравнения. М., 1950.
9. W. Zakoński. Bull. Acad. Polon. Sci. ser. math. astr. et phys. vol. VIII, 8, 1960.
10. Ф. Д. Гахов. Краевые задачи. М., 1963.

МАТЕМАТИКА

В. А. ЛАБКОВСКИЙ

НОВЫЕ ПРЕДЕЛЬНЫЕ ТЕОРЕМЫ О ВРЕМЕНИ ПЕРВОГО
ДОСТИЖЕНИЯ ГРАНИЦЫ ЦЕПЬЮ МАРКОВА

(Представлено академиком Г. С. Чогошвили 20.2.1972)

1. Рассмотрим случайное блуждание на множестве нестрицательных целых чисел $0, 1, 2, \dots$ с условием отражения в нуле и постоянными вероятностями перехода $P\{i \rightarrow i+1\} = p$, $P\{i \rightarrow i-1\} = q > p$. Для частицы, начавшей блуждание из нуля, среднее значение времени T_N первого достижения уровня N может быть легко вычислено, например, с помощью разностных уравнений (ср. [1], гл. XIV). При этом оказывается, что существует

$$\lim_{N \rightarrow \infty} [E T_N]^{1/N} = q/p \text{ т. е. } \ln E T_N = \frac{q}{p} [N + o(N)]$$

при $N \rightarrow \infty$, где E означает математическое ожидание. Другой аналогичный пример доставляет известная модель Эренфестов (две урны, в начальный момент содержащие $[x_0/N]$ и соответственно $N - [x_0/N]$ шаров, $[x]$ — целая часть x , причем в каждый целочисленный момент времени наудачу выбирается один из N имеющихся шаров и перекладывается в другую урну): здесь также идет речь о цепи Маркова, редко уходящей от „состояния равновесия“ (отвечающего равенству шаров в обеих урнах), причем можно показать, что для времени $\tau_{x_0}^{(N)}$ первого опорожнения одной из урн при фиксированном $0 \leq x_0 \leq 1$ и $N \rightarrow \infty$ справедливо предельное соотношение $\lim_{N \rightarrow \infty} (E \tau_{x_0}^{(N)})^{1/N} = 2$ (ср. [2]).

Наконец, в работах [3, 4] рассматривался класс одномерных цепей Маркова, родственных ветвящимся случайнм процессам, и для них исследовалось время $\tau_{x_0}^{(N)}$ выхода процесса, начинающегося в точке x_0 , за фиксированные границы a_1 и a_2 при бесконечном „измельчении шага“ (т. е. при $N \rightarrow \infty$ в случае, когда множество состояний изучаемой цепи есть множество точек вида $\{y_k : y_k = k/N, k = 0, 1, 2, \dots\}$). В этих работах также было показано, что при широких условиях существует

$$\lim_{N \rightarrow \infty} [E \tau_{x_0}^{(N)}]^{1/N} = \gamma,$$

где γ — некоторая постоянная, $1 < \gamma < \infty$. Ясно, что различие в определении величин T_N и $\tau_{x_0}^{(N)}$ для случайного блуждания и модели Эренфестов, с одной стороны, и процессов, рассматривавшихся в [3, 4], с другой, не



является принципиальным — в случае первых двух примеров также достаточно заменить состояния $k = 0, 1, 2, \dots, N$ изучаемой цепи Маркова на $y_k = k/N$ и затем рассматривать время первого достижения границы $b = 1$ или границ $a = 0, b = 1$ для последовательности цепей Маркова $Y^{(N)}(t)$ с множествами состояний $R^{(N)} = \{k/N : k = 0, 1, \dots, N\}$. При такой переформулировке все упомянутые выше примеры обращаются в примеры предельных теорем о времени первого достижения фиксированной границы (или границ) цепью Маркова при бесконечном „измельчении шага“. Ниже будет сформулирована общая предельная теорема подобного типа, включающая указанные здесь результаты для случайного блуждания и для модели Эренфестов (но не для „управляемых ветвящихся процессов“ работ [3, 4]) в качестве простейших частных случаев.

2. Рассмотрим семейство одномерных случайных блужданий $Y_{x_0}^{(N)}(t)$, $t = 0, 1, 2, \dots$, зависящих от целого положительного параметра N , которое определяется следующим образом. Положим $h = (b-a)/N$, где (a, b) — фиксированный интервал вещественной оси с рациональными концами, и примем за пространство состояний блуждания $Y_{x_0}^{(N)}(t)$ множество чисел $R^{(N)} = \{a + kh; k = 0, 1, \dots, N\}$. Примем, далее, что

$$Y_{x_0}^{(N)}(0) = a + [(x_0 - a)/h] h$$

и

$$\begin{aligned} P\{Y_{x_0}^{(N)}(t+1) = x + y / Y_{x_0}^{(N)}(t) = x\} &= \\ &= \begin{cases} p(x) & \text{при } y = h, \\ q(x) & \text{при } y = -h, \\ 1-p(x)-q(x) & \text{при } y = 0, \\ 0 & \text{в остальных случаях} \end{cases} \end{aligned}$$

при $a < x < b$, где $[x]$, как обычно, означает целую часть числа x , а $p(x)$ и $q(x)$ — неотрицательные функции, определенные при всех рациональных x , таких, что $a \leq x \leq b$, и удовлетворяющие при $a < x < b$ условиям $p(x) > 0, q(x) > 0, p(x) + q(x) \leq 1$. Определим функцию $\psi(x)$ равенствами $\psi(x) = \ln(q(x)/p(x))$ при рациональном x и $\psi(x) = \lim_{y \rightarrow x} \psi(y)$ при x

иррациональном, где предел берется по какой-то произвольной последовательности рациональных y (и, вообще говоря, может даже зависеть от выбранной последовательности).

Начнем со случая задачи о времени $\tau_{x_0}^{(N)}(b)$ достижения одной границы $x = b$. Здесь естественно считать, что в точке $x = a$ имеет место „условие отражения“, т. е. что $P\{a \rightarrow a + h\} = p(a) + q(a), P\{a \rightarrow a\} = 1 - p(a) - q(a)$ в случае всех цепей $Y_{x_0}^{(N)}(t)$. Обозначим через $\tau_{x_0}^{(N)}(b)$ время первого достижения цепью $Y_{x_0}^{(N)}(t)$ границы b . В таком случае имеет место

Теорема 1. Если существует отрезок $[c, d] \subseteq [a, b]$, такой, что $\psi(x)$ ограничена и интегрируема в смысле Римана на $[c, d]$ и монотонна на каждом из интервалов (a, c) и (d, b) , то

$$\lim_{N \rightarrow \infty} \left(\frac{1}{N} \ln (E \tau_{x_0}^{(N)}(b)) \right) = \frac{1}{b-a} \sup_{\substack{a \leq u \leq v \leq b \\ v \geq x_0}} \int_u^v \psi(x) dx = \gamma_{x_0}(b) \leq \infty,$$

•де добавление справа неравенства $\leqslant \infty$, как обычно, означает, что левая часть обрашается в бесконечность одновременно со средней частью.

Замечания. г) Если один или оба из „интервалов“ (a, c) и (d, b) нулевые, то, разумеется, функция $\psi(x)$ на них всегда может считаться монотонной. б) Возможная неоднозначность в определении функции $\psi(x)$ не сказывается на существовании и значении предела γ , так как все точки неоднозначности, очевидно, являются точками разрыва $\psi(x)$ и вследствие R -интегрируемости $\psi(x)$ имеют меру нуль.

Пусть теперь $\tau_{x_0}^{(N)}(a, b)$ есть время первого достижения одной из границ: $x = a$ или $x = b$. Тогда имеет место

Теорема 2. Если $\phi(x)$ удовлетворяет условиям, указанным в формулировке теоремы 1, то из конечности интеграла (быть может, несоб-

-ственного) $\int_a^b |\psi(x)| dx$ следует существование конечного предела

$$\gamma_{x_0}(a, b) = \lim_{N \rightarrow \infty} \left(\frac{1}{N} \ln \left(E \tau_{x_0}^{(N)}(a, b) \right) \right) =$$

$$= \frac{1}{b-a} \left(\sup_{\substack{a \leq w \leq u \leq v \leq b \\ w \leq x_0 \leq v}} \left\{ \int_a^w \psi(x) dx + \int_u^v \psi(x) dx \right\} - \sup_{a \leq z \leq b} \int_a^z \psi(r) dx \right).$$

Для рассмотренного в начале заметки случайного блуждания, очевидно, $\psi(x) = \ln q/p$, $a = 0$, $b = 1$, так, что $\lim_{N \rightarrow \infty} T_N = \gamma_0(1) = \ln(q/p)$. В случае модели Эренфестов имеем $q(x) = x$, $p(x) = 1-x$, $a = 0$, $b = 1$, следовательно, $\gamma_x(a, b) = \gamma_x(b) = \ln 2$.

Московский государственный университет им. М. В. Ломоносова

(Поступило 23.3.1972)

ମାତ୍ରାମାତ୍ରିକୀ

3. მაგალითები

ଆବ୍ୟନ୍ତି କାହାରେ କାହାରୁ ପାଇଲା କାହାରୁ କାହାରୁ କାହାରୁ କାହାରୁ କାହାରୁ

၁၃၈

ფორმულირებულია ორი ზღვრული თეორემა უსასრულოდ ქლებადი ნაბიჯების შესაბამისი შემთხვევით ხეტიალის მიერ საზღვრის პირველი მიღწევის საშუალო დროის შესახებ.



V. A. LABKOVSKI

NEW LIMIT THEOREMS ON THE TIME OF THE FIRST REACHING OF THE BOUNDARY BY THE MARKOV CHAIN

Summary

Two limit theorems are formulated concerning the mean passage time for some sequence of random walks corresponding to infinite decreasing steps.

ЛІТЕРАТУРА — REFERENCES

1. В. Феллер. Введение в теорию вероятностей и ее применения, т. 1. М., 1967.
2. М. Кас. Am. Math. Monly, 54, 1947, 369—391.
3. Л. В. Левина, А. М. Леонтьевич, И. И. Пятницкий-Шапиро. Проблемы передачи информации, 4, № 2, 1968, 72—82.
4. В. А. Лабковский. Теория вероятностей и ее применения, 17, № 1, 1972..

КИБЕРНЕТИКА

К. С. КВИНИХИДЗЕ

ОПРЕДЕЛЕНИЕ РАЗРЕШЕННЫХ ЗАМЕЩЕНИЙ АМИНОКИСЛОТ
В ИНТАКТНОМ ВИРУСЕ ТАБАЧНОЙ МОЗАИКИ НА ОСНОВЕ
КОДА КОРАНА

(Представлено членом-корреспондентом Академии В. В. Чавчанидзе 14.1.1972)

В статье [1] был описан общий метод определения разрешенных точечных мутаций в белках. В настоящей работе этот метод применяется для случая нитритных мутаций в интактном вирусе табачной мозаики (BTM).

Как известно, при обработке РНК азотистой кислотой все состояния системы (триплеты) распадаются на восемь не связанных друг с другом групп (октеты Гирера). Каждая группа представляет собой простую цепь Маркова с одним абсорбционным состоянием (UUU , $UUG\dots$ или GGG). Эти цепи могут рассматриваться независимо друг от друга.

Если обозначить вероятность транзиций $p(C \rightarrow U) = p_1$ и $p(A \rightarrow G) = p_2$, вероятности обратных транзиций $p(U \rightarrow C) = r_1$ и $p(G \rightarrow A) = r_2$, вероятность трансверсии пуринов в пиримидины $p(A, G \rightarrow C, U) = s$, а вероятность обратной трансверсии $p(U, C \rightarrow A, G) = t$, вероятность того, что основание C останется неизменным, q_1 , а вероятность неизменности A q_2 , вероятность того, что G не изменится, q_3 , а вероятность неизменности U q_4 , то полные вероятности превращений каждого из четырех азотистых оснований запишутся в виде следующей системы уравнений:

$$r_2 + s + q_3 = 1 \text{ для } G,$$

$$p_2 + s + q_2 = 1 \text{ для } A,$$

$$p_1 + t + q_1 = 1 \text{ для } C,$$

$$r_1 + t + q_4 = 1 \text{ для } U.$$

В случае нитритных мутаций эта система принимает вид:

$$p_2 + q_2 = 1 \text{ для } A,$$

$$p_1 + q_1 = 1 \text{ для } C.$$

Вероятности остальных превращений оснований r_1, r_2, s, t равны нулю, а вероятности неизменности G и U становятся равными 1.

Стochasticная матрица P (64) [1] в этом случае распадается на восемь подматриц P_1, P_2, \dots, P_8 , имеющих размеры 8×8 . Остальные элементы P -матрицы равны нулю.

Фундаментальная матрица для абсорбционной цепи Маркова определяется несколько иначе [2]:

$$Z_i = (I - Q_i)^{-1},$$

где I — единичная матрица, а Q_i — подматрица P_i , т. е. матрица, описывающая транзитивные состояния системы (триплеты), содержащие хотя бы



одно C или A). Ранг матрицы Q_i на один порядок (число абсорбционных состояний) ниже ранга матрицы P_i .

Элементы матрицы $Z_i - z_{\alpha\beta}^i$ дают среднее время, в течение которого будет оставаться неизменным состояние Ψ_β , если система пришла в него из состояния Ψ_α ($\alpha, \beta = 1, 7$).

Согласно введенному в [1] определению устойчивости состояний, устойчивость $\Psi_\alpha - C_\alpha$ в данном полинуклеотиде при наличии абсорбционного состояния будет следующей:

$$C_\alpha = \sum_{\beta=1}^7 P(\Psi_\beta) z_{\beta\alpha}^i.$$

Абсорбционные состояния системы, соответствующие триплетам, содержащим только U или G , можно считать бесконечно устойчивыми относительно данного мутагена.

В качестве примера рассматриваются нитритные мутации в интактном ВТМ. Нуклеотиды, образующие РНК вируса, включаются в следующем соотношении [3]:

$$A:G:C:U = 1,13:1,00:0,77:1,10.$$

Нормируя эти соотношения, получаем вероятности встречи оснований: $P(A) = 0,28$; $P(G) = 0,25$; $P(C) = 0,19$; $P(U) = 0,28$. Зная вероятности встречи нуклеотидов и учитывая статистическую независимость нуклеотидов в триплетах, легко найти вероятности встречи всех 64 триплетов.

Устойчивость аминокислот и среднее число переходов между аминокислотами вычисляются на основании матриц P_t и Z_t . Так, например, в коде Корана [4] устойчивость аспарагина, которому соответствуют триплеты AAU и AAC , определится так:

$$C_{acnN} = C_{AAU} + C_{AAC}.$$

Вероятности встречи триплетов AAU и AAC , согласно [3], равны соответственно 0,022 и 0,014. Подставляя эти значения и соответствующие элементы матрицы Z_{AAC} в выражение для устойчивости триплетов, получаем

$$\begin{aligned} C_{AAU} &= P(AAC) Z_{AAC, AAU} + P(AAU) Z_{AAU, AAU} = \\ &= 0,014 \frac{p_1 q_2^2}{(1 - q_1 q_2)(1 - q_1 q_2^2)} + 0,022 \frac{1}{1 - q_2^2}, \\ C_{AAC} &= 0,014 \frac{1}{1 - q_1 q_2^2}. \end{aligned}$$

Устойчивость аспарагина равна

$$C_{acnN} = 0,036 \frac{1}{1 - q_2^2}.$$

Устойчивость остальных аминокислот может быть вычислена аналогичным образом. Устойчивыми к нитритным мутациям в коде Корана являются следующие аминокислоты: фенилаланин, глицин, триптофан, валин и цистein. Лейцин в коде Корана является устойчивым по триплетам CUA , CUG и UUG и неустойчивым по триплетам CUU и CUC .

Учитывая, что реакционная способность HNO_2 в интактном ВТМ относительно цитозина $R(C)$ вдвое больше, чем относительно аденина $R(A)$ [5], можно считать, что отношение вероятностей дезаминирования C и A равно отношению соответствующих реакционных способностей:

$$\frac{P_1}{P_2} = \frac{R(C)}{R(A)} = 1,9.$$

Аминокислоты	Устойчивость аминокислот для кода Корана
Пролин	$0,036 \frac{1}{1-q_1^2}$
Гистидин	$0,024 \frac{1}{1-q_1 q_2}$
Глутамин	$0,027 \frac{1}{1-q_1 q_2}$
Тreonин	$0,051 \frac{1}{1-q_1 q_2}$
Аспарагин	$0,036 \frac{1}{1-q_2^2}$
Лизин	$0,042 \frac{q_2}{1-q_2^2} + 0,038 \frac{1}{p_2}$
Аланин	$0,027 \frac{q_1}{1-q_1 q_2} + 0,047 \frac{1}{p_1}$
Аспарагиновая к-та	$0,036 \frac{q_2}{1-q_2^2} + 0,033 \frac{1}{p_2}$
Изолейцин, тирозин	$0,046 \frac{q_2}{1-q_1 q_2} + 0,036 \frac{1}{p_2}$
Глутаминовая к-та	$0,042 \frac{q_2}{1-q_2^2} + 0,038 \frac{1}{p_2}$
Метионин	$0,002 \frac{1}{p_2} + 0,026 \frac{q_2(1-q_1 q_2^2)}{(1+q_2)(1-q_1 q_2)(1-q_1 q_2^2)} +$ $+ 0,025 \frac{q_2}{1-q_1 q_2} + 0,022 \frac{q_2}{1-q_2^2}$
Серин	$0,036 \frac{q_1}{1-q_1^2} + 0,051 \frac{1}{p_1} + 0,036 \frac{q_2}{1-q_2^2} + 0,033 \frac{1}{p_2}$
Аргинин	$0,027 \frac{q_1}{1-q_1 q_2} + 0,047 \frac{1}{p_1} + 0,042 \frac{q_2}{1-q_2^2} + 0,036 \frac{1}{p_2}$
Лейцин	$C_{uuG} + 0,017 \frac{q_1}{1-q_1^2} + 0,024 \frac{1}{p_1} + 0,019 \frac{q_1}{1-q_1^2} + 0,027 \frac{1}{p_1}$
Цистеин Глицин Триптофан Валин Фенилаланин	{ устойчивые}



Учитывая это соотношение, можно упростить выражение для устойчивости аминокислот в ВТМ по коду Корана и сравнить их по величине. Результаты расчетов приведены в таблице. Аминокислоты расположены в порядке возрастания их устойчивости относительно нитритных мутаций. Полученные результаты находятся в хорошем соответствии с данными, приведенными в работах [3, 6]. Несоответствие теоретических и экспериментальных данных для мутации аргинин-лизин позволяет нам предположить, что эта мутация не является нитритной.

Академия наук Грузинской ССР
Институт кибернетики

(Поступило 20.1.1972)

კიბერნეტიკა

ბ. გვ0606080

თამაშოს მოზაიკის ინტაქტურ ვირუსი ამინოაციების დასაზღვრა
ჩანაცვლებათა განსაზღვრა კორანის პოლის საფუძველზე

რეზიუმე

განხილულია წერტილოვანი მუტაციების კერძო შემთხვევა — აზოტოვანი მჟავის მიერ გამოწვეული მუტაციები. ჩატარებულია გამოთვლები ამინომჟავების მდგრადობისა თამაჯოს მოზაიკის ინტაქტურ ვირუსში, რომლისთვის ცნობილია ფუძეების შემადგენლობა და ციტოზინისა და ადენინის რეაქციული უნარიანობის შეფარდება.

CYBERNETICS

K. S. KVINKHIDZE

DETERMINATION OF PERMISSIBLE SUBSTITUTIONS OF AMINO ACID IN THE INTACT VIRUS OF TOBACCO MOSAIC ON THE BASIS OF THE KHORANA CODE

Summary

A special case of point mutations, i. e. nitrite mutations is considered. The steady state of amino acids in the intact virus of the tobacco mosaic is calculated, for which the base composition and the reactivity relation of cytosine and adenine are known.

ლიტერატურა — ЛИТЕРАТУРА — REFERENCES

1. В. В. Чавчанидзе, К. С. Квинихидзе. Сообщения АН ГССР, 66, № 1, 1972.
2. Дж. Дж. Кемени, Дж. Л. Снелл. Конечные цепи Маркова. М., 1971.
3. Г. Г. Виттман. Сб. «Информационные макромолекулы». М., 1965.
4. Г. Корана. Сб. «Ферменты и синтез биополимеров». М., 1967.
5. R. Shapigo, H. P. Stenley. Biochemistry, v. 7, № 1, 1968, 448.
6. А. Цугита, Г. Френкель-Конрат. Сб. «Молекулярная генетика». М., 1964.

В. В. ЧАВЧАНИДЗЕ
(член-корреспондент АН ГССР)

МОДЕЛИРОВАНИЕ СТОХАСТИЧЕСКИХ ЦЕПНЫХ ПРОЦЕССОВ МЕТОДОМ ИНФОРМАЦИОННЫХ ФУНКЦИЙ НА ПРИМЕРЕ РАСЧЕТА ЭКОЛОГИЧЕСКОЙ ЗАДАЧИ

В работах [1—5] рассматривались вопросы дискретной стохастики и разработанный автором метод информационных функций [5] на основе обобщения метода Маркова—Чандрасекара. Здесь этот метод применен к задаче расчета стохастического цепного процесса — динамики смены состояний популяции конкретной биосистемы (общественная полевка) в заданной среде обитания [6—11]. Хотя метод информационных функций [5, 11—15] достаточно общий и имеется возможность логического, количественного и качественного анализа развития многих стохастических цепных процессов, в этой работе мы не будем уклоняться от конкретных особенностей изучаемого цепного процесса в сторону сильной математической абстракции.

Модель конкретной биосистемы в заданной среде обитания зададим в форме постулатов:

Постулат I. На численность популяции в данной среде обитания влияют: а) климатические условия, б) количество и качество кормов, в) количество и сила хищников, г) эпизоотии внутривидового происхождения.

Постулат II. Состояние среды R задается не отдельными факторами, а глобальным определением трех логически возможных состояний: хорошее, среднее, плохое. Поэтому состояние среды R в заданном промежутке времени может быть задано в форме трехкомпонентного вектора

$$\Psi = \begin{pmatrix} P(a) \\ P(b) \\ P(c) \end{pmatrix},$$

где $P(a)$, $P(b)$, $P(c)$ — вероятности наступления состояний среды: a — хорошего, b — среднего, c — плохого.

Постулат III. В заданной среде R на динамику популяций данного вида M другие виды влияют опосредованно через состояние среды R в целом.

Постулат IV. Единственной и решающей скалярной оценкой состояния вида M в заданной среде обитания считается число особей вида N_M .



Постулат V. Каждому состоянию среды соответствует свое среднее значение коэффициента прироста вида за данный интервал (шаг), которое определяется соотношением полов, средним числом эмбрионов, средним приростом самок [6—10] и т. п.

Постулат VI. За какой-то период состояния среды считается неизменным, что позволяет процесс цепного роста рассматривать как многошаговый. (Для общественной полевки этот период равен 2 месяцам, за которые успевает заканчиваться один цикл размножения семьи).

Постулат VII. Каждому состоянию среды сопоставляется своя функция прироста («функция взносов» [1, 2, 5, 15]), пропорциональная коэффициенту прироста вида и наличному среднему числу самок, участвующих в размножении.

Постулат VIII. Для каждого состояния среды (при заданном шаге) компоненты вектора состояния среды задаются вероятностно.

Расчетный аппарат дан в работах [1, 2, 5, 12—16]. Определим вероятность достижения численностью N_M заданного вида M в среде R за n шагов наперед заданного значения N_0 , если схема вероятностей событий со взносами для i -го периода задана в форме

$$[A(M)]_i = \begin{bmatrix} a & b & c \\ P(a) & P(b) & P(c) \\ \varphi(a) & \varphi(b) & \varphi(c) \end{bmatrix}_i,$$

где a —хорошее состояние среды обитания, b —среднее, а c —плохое; $P_i(a)$, $P_i(b)$, $P_i(c)$ —соответственно вероятности наступления одного из состояний при соблюдении условия нормировки для любого периода: $P_i(a)+P_i(b)+P_i(c)=1$ ($i=1, 2, \dots, n$). Функция прироста $\varphi_i(a)$ определяется как прирост численности популяции за i -й период. Функции φ_i задаются численно или аналитически. Вероятность того, что за n периодов численность вида достигнет заданного значения N , определяется по формуле [5]

$$W_n(N) = \frac{1}{2\pi} \int_{-\pi}^{\pi} e^{i\rho N_0} A_n(\rho) d\rho,$$

где характеристическая функция дискретного случайного процесса $A_n(\rho)$ равна [1, 2, 5]

$$A_n(\rho) = \prod_{i=1}^n (P_i(a) e^{i\rho \varphi_i(a)} + P_i(b) e^{i\rho \varphi_i(b)} + P_i(c) e^{i\rho \varphi_i(c)}).$$

Рассмотрим частный случай, опирающийся на результаты машинного расчета динамики популяций общественной полевки [6—10], хорошо согласующиеся с экспериментальными данными. Допустим, что вероятности наступления тех или иных состояний среды и соответствующие функции прироста не зависят от i . Тогда при $n=6$ имеем

$$A_6(\rho) = [P(a) e^{i\rho \varphi(a)} + P(b) e^{i\rho \varphi(b)} + P(c) e^{i\rho \varphi(c)}]^6 =$$



$$= P(a)^6 e^{i\rho 6 \varphi(a)} + P(b)^6 e^{i\rho 6 \varphi(b)} + P(c)^6 e^{i\rho 6 \varphi(c)} + \\ + 6 P(a)^5 P(b) e^{i\rho \dots} + \dots \dots$$

Всего будем иметь 128 существенно различных последовательностей состояний. Машинный анализ [9, 10] явно выделил эти различные состояния. Так что не оправдались интуитивные соображения о том, что три различные оценки состояния среды — «слишком бедно». Этим можно объяснить затруднения исследователей, связанные с непредсказуемостью роста численности вида в следующем сезоне в форме возможной «траектории» состояния среды, например, типа $c(1) c(2) b(3) b(4) b(5) a(6)$. В нашем случае знание «траектории» на участке предыдущего сезона позволяет достаточно уверенно предсказать рост популяции за два следующих ожидаемых «шага». Ожидаемый средний прирост численности на части «траектории» (уже совершившиеся изменения среды), например, типа $a(1) b(2) b(3) a(4)$ и на части прогнозируемой „траектории“ типа $b(5) \cdot a(6)$ будет равен

$$\Delta N_M(6) = \varphi(a(1)) + \varphi(b(2)) + \varphi(b(3)) + \varphi(a(4)) + \\ + P(b(5)) \varphi(b(5)) + P(a(6)) \varphi(a(6)).$$

Таким образом, практик-наблюдатель получает возможность довольно точно подсчитать ожидаемый средний прирост численности за два «шага» (т. е. за 4 месяца) до кризисной ситуации и принять соответствующие меры. Численные данные, полученные в работах [8—11], согласуются с ретроспективными экспериментальными данными [6—11] и говорят о том, что $P_i(a)$, $P_i(b)$, $P_i(c)$ не зависят от i и по величине близки друг к другу. Ясно, что способ логической оценки возможных состояний среды пригоден во всех случаях, когда наблюдатель умеет достаточно четко различать состояния. Метод аналитического логико-количественного прогноза «страшно» запутанных стохастических цепных процессов весьма прост и эффективен по сравнению со сложными теоретическими или машинными методами, особенно если учесть возможность оценки ситуаций в логических глобальных предикатах (т. е. a , b , c).

Академия наук Грузинской ССР

Институт кибернетики

(Поступило 10.3.1972)

კიბერნეტიკა

8. მაცხადი

(საქართველოს სსრ მეცნ. ფალემის წევრ-კორესპონდენტი)

სტრუქტურული ჯაჭვის პროცესების მოდელირება ინფორმაციულ
ცუნაციათა მეთოდით ერთი ეპოლოგიური აზოვანის
განვითარების მაგალითზე

ჩ ე ზ ი უ მ ე

განხილულია ინფორმაციულ ფუნქციათა მეთოდის გამოყენება კონკრე-
ტული სტრუქტური გაჟევური პროცესის განვითარების ამოცანისათვის, რო-



გელიც აღმურს *Microtus socialis* Pall.-ის პოპულაციის ზრდის დინამიკას. მოცემულია პოპულაციის რაოდენობის განსაზღვრის მეთოდი პროცესის ყოველ ბიჭისათვის.

CYBERNETICS

V. V. CHAVCHANIDZE

SIMULATION OF STOCHASTIC CHAIN PROCESSES BY THE METHOD OF INFORMATIONAL FUNCTIONS AS EXEMPLIFIED BY ECOLOGICAL PROBLEM COMPUTATION

Summary

Application of the method of informational functions to the problem of specific stochastic chain process computation of the population growth dynamics of the vole, *Microtus soc.* Pall. is considered. A method is given for population number determination at every step.

ლიტერატურა — REFERENCES

1. В. В. Чавчанидзе. ЖЭТФ, XXXVI, вып. 2, 1954.
2. В. В. Чавчанидзе. Труды Ин-та физики АН ГССР, 11, 1964.
3. В. В. Чавчанидзе. Сб. «Применение вычислительной техники для автоматизации производства». М., 1961.
4. Е. В. Чавчанидзе. Труды Ин-та кибернетики АН ГССР, 1, 1963.
5. В. В. Чавчанидзе. Сообщения АН ГССР, XXXII, № 2, 1963.
6. Н. В. Башенина. Экология обыкновенной полевки. М., 1962.
7. Д. Лэк. Численность животных и ее регуляция в природе. М., 1957.
8. Д. Г. Цкипуршвили. Сообщения АН ГССР, 49, № 2, 1966.
9. Д. Г. Цкипуршвили. Сообщения АН ГССР, 42, № 1, 1966.
10. Д. Г. Цкипуршвили. Сообщения АН ГССР, 58, № 3, 1970.
11. В. В. Чавчанидзе. Тез. докл. Всесоюзного совещания по теории вероятностей и математической статистике. Тбилиси, 1963.
12. В. В. Чавчанидзе. Самоорганизация дискретных систем. Деп. ВИНИТИ 2081—70.
13. В. В. Чавчанидзе. Сообщения АН ГССР, 58, № 2, 1970.
14. В. В. Чавчанидзе. Стохастика дискретных ошибок с учетом сопоставленных взносов. Деп. ВИНИТИ, 23—64.
15. В. В. Чавчанидзе. Сообщения АН ГССР, 59, № 3, 1970.

ФИЗИКА

А. Д. ГУРЧУМЕЛИЯ

СТАТИСТИЧЕСКИЙ УЧЕТ ЗАПАЗДЫВАНИЯ
В РЕЛЯТИВИСТСКИХ УРАВНЕНИЯХ ХАРТРИ—ФОКА

(Представлено членом-корреспондентом Академии М. М. Мирианавиши 24.1.1972)

Обычный способ релятивистского описания многоэлектронного атома состоит в построении релятивистского варианта самосогласованного поля Хартри—Фока (ССП ХФ) [1]. Исходным является полурелятивистское уравнение типа Брейта. Уравнения ССП ХФ были получены как без учета поправок Брейта к кулоновскому взаимодействию электронов, так и с их учетом [2—4].

В данной работе мы будем исходить из следующего выражения для полной энергии системы [5] (в ат. ед.):

$$E = \sum_A I(A) + \frac{1}{2} \sum_{A, B} [U_{AB, AB} - U_{AB, BA}], \quad (1)$$

где

$$I(A) = \langle A | H_D | A \rangle, \quad H_D = C \left(\vec{\alpha} \vec{P} - \frac{1}{C} \vec{A} \right) + \beta C^2 + \Phi(r),$$

$$U_{AB, CD} = \int \psi_C^*(1) \psi_D^*(2) \frac{1 - \vec{\alpha}(1) \vec{\alpha}(2)}{r_{12}} \exp(i\omega_{AC} r_{12}) \psi_A(1) \psi_B(2) d\tau, \quad (2)$$

$\vec{\alpha}$, β —матрица Дирака, \vec{A} и Φ —соответственно векторный и скалярный потенциалы, C —скорость света,

$$\omega_{AC} = \frac{1}{C} |E_A - E_C|,$$

E_A —энергия электрона в состоянии A .

Особенностью матричного элемента эффективной энергии взаимодействия двух электронов $U_{AB, CD}$ является то, что он содержит как оператор, зависящий от координат и спинов обоих электронов, так и множитель запаздывания, который, в свою очередь, зависит от начальной и конечной энергий. Поэтому нельзя в общем виде ввести гамильтониан взаимодействия двух электронов [5].

В приближении ХФ, как следует из (1), эффект запаздывания появляется только в обменном члене $U_{AB, BA}$. Ниже дан расчет $U_{AB, BA}$ в квазиднородном приближении, состоящем в том [6], что обменный потенциал системы электронов с плотностью $\rho(r)$ стождествляется с соответствующим потенциалом газа свободных электронов той же плотности.

В соответствии с (2) $U_{AB, BA}$ разделим на две части: $U'_{AB, BA}$, зависящий только от эффекта запаздывания, и $U''_{AB, BA}$, который, кроме запаздывания содержит также спиновые координаты.



Расчет этих матричных элементов при помощи релятивистских ядерных волн дает

$$U'_{AB, BA} = 4\pi \frac{1}{|\vec{P}_A - \vec{P}_B|^2 - \omega_{AB}^2}, \quad (3)$$

$$U''_{AB, BA} = -4\pi \frac{\vec{P}_A \cdot \vec{P}_B}{V P_A^2 + C^2 V P_B^2 + C^2} \frac{1}{|\vec{P}_A - \vec{P}_B|^2 - \omega_{AB}^2}. \quad (4)$$

Для того чтобы найти суммы по занятым состояниям A и B , воспользуемся правилом $\sum_i \rightarrow g \int d\vec{P}$ (на единицу объема), где g — статвес. Будем иметь

$$U'_A = \frac{1}{2} \sum_B U'_{AB, BA} = \frac{1}{2\pi P_A} \int_0^{P_F} P_B \ln \frac{a+b}{a-b} dP_B, \quad (5)$$

$$U''_A = \frac{1}{2} \sum_B U''_{AB, BA} = -\frac{1}{4\pi P_A} \int_0^{P_F} \frac{P_B}{\left(\frac{a}{2} + C^2\right)} \left[a \ln \frac{a+b}{a-b} - 2b \right] dP_B, \quad (6)$$

где P_F — фермиевский импульс, $a = 2 [V P_A^2 + C^2 V P_B^2 + C^2]^{1/2}$, $b = 2 P_A P_B$. Подынтегральные выражения в (5) и (6) разложим в ряд по степеням α^2 (α — постоянная тонкой структуры).

Заметим, что в большинстве задач достаточен учет членов порядка α^2 . Если в этих разложениях также ограничиться членами порядка α^2 , то эффект запаздывания будет появляться только в U'_A , первый член разложения которого дает нерелятивистское приближение, а разложение U''_A начинается с члена, имеющего порядок α^2 . С учетом сказанного (5) и (6) примут вид

$$U'_A = \frac{1}{2\pi} \left[2P_F + \frac{P_F^2 - P_A^2}{P_A} \ln \left| \frac{P_A + P_F}{P_F - P_A} \right| \right] + \frac{\alpha^2}{6\pi} P_F^3 + O\left(\frac{1}{C^4}\right), \quad (7)$$

$$U''_A = -\frac{\alpha^2}{4\pi} \left\{ \frac{3}{2} P_A^2 P_F - \frac{7}{6} P_F^3 + \left[\frac{P_F^4}{4P_A} + \frac{P_A P_F^2}{2} - \frac{3}{4} P_A^3 \right] \times \right. \\ \left. \times \ln \left| \frac{P_A + P_F}{P_A - P_F} \right| \right\} + O\left(\frac{1}{C^4}\right). \quad (8)$$

В принятом приближении вклад запаздывания в обменное взаимодействие электрона с импульсом P_A со всеми остальными электронами равен

$$U_R = \frac{\alpha^2}{6\pi} P_F^3. \quad (9)$$

Так как в модели ХФ эффект запаздывания появляется только в обменном члене, вклад в полную энергию атома этого эффекта получается суммированием (9) по всем электронам. Выражение (10) не зависит от состояния рассматриваемого электрона, в котором он находится, а зависит только от импульса Ферми P_F , который связан с плотностью электронов соотношением $P_F = (3\pi^2 \rho)^{1/3}$. Для суммарного по всем элек-

tronам вклада, если в разложении (7) сохранить член порядка α^4 , получим следующее выражение:

$$E'_R = \frac{\alpha^2}{36\pi^3} \int P_F^6 d\tau - \frac{\alpha^4}{60\pi^3} \int P_F^8 d\tau. \quad (10)$$

Вклад от U_A'' в полную энергию можно получить, если просуммировать (8) по всем электронам. В результате этого будем иметь

$$E''_a = -\frac{\alpha^2}{72\pi^3} \int P_F^6 d\tau + O\left(\frac{1}{C^4}\right). \quad (11)$$

Полный вклад релятивистских эффектов в обменную энергию будет равен

$$E_R = \frac{\alpha^2\pi}{8} \int \rho^2 d\tau + O\left(\frac{1}{C^4}\right). \quad (12)$$

Варьируя плотность в (12), получаем, что потенциал ХФ должен быть дополнен выражением

$$V_R(r) = \frac{\pi}{4} \alpha^2 \rho(r) + O\left(\frac{1}{C^4}\right), \quad (13)$$

среднее значение которого по одноэлектронным состояниям дает вклад запаздывания в энергетические уровни в атоме. Зависимость этого вклада от заряда ядра Z получается, если P_F выразить через

$$r_s \left(r_s = \frac{1}{dP_F}, \quad d = \left(\frac{4}{9\pi}\right)^{1/3} \right)$$

и положить

$$r_s = \langle nk | r | nk \rangle \sim \frac{1}{Z}. \quad (14)$$

Тогда из (9) следует, что $E'_R \sim \alpha^2 Z^3$. Таким путем можно получить также следующий член разложения порядок $\alpha^4 Z^5$. Следовательно, применимость (13) ограничена условием $\alpha Z \ll 1$.

При более точном расчете вклада запаздывания r_s следует считать функцией расстояния от ядра, что снова возвращает нас к формуле (13).

В заключение рассмотрим ультрарелятивистский случай, когда энергия электрона $E = cp$. Легко получить, что для таких электронов

$$U_{AB, BA} = 2\pi \frac{1}{P_A P_B}. \quad (15)$$

Далее,

$$U_A = \frac{1}{2} \sum_B U_{AB, BA} = \frac{1}{2\pi P_A} P_F^2, \quad (16)$$

$$\sum_A U_A = \frac{1}{4\pi^3} P_F^4. \quad (17)$$

Для энергии, отнесенной к одному электрону, получим

$$\varepsilon = \frac{3}{4\pi} P_F, \quad (18)$$



что в 2 раза меньше соответствующего результата, если ограничиться нерелятивистским рассмотрением.

Грузинский политехнический институт
им. В. И. Ленина

(Поступило 21.1.1972)

ფიზიკა

ა. ღურჯუმელია

პერტრი — ფოკის რელატივისტურ განთოლებებში დაგვიანების სტატისტიკური გათვალისწინება

რეზიუმე

პარტრი — ფოკის მეთოდით ატომის რელატივისტურად განხილვისას დაგვიანება შედის გაცვლითს ენერგიაში, რომლის სტატისტიკური გამოთვლა არის ჩატარებული. დადგენილია, რომ დაგვიანების წვლილი პარტრი — ფოკის პოტენციალში შეადგენს $\frac{\pi}{2} \alpha^2 \rho$, სადაც ρ არის ელექტრონების სიმკვრივე, α — ნაზის სტრუქტურის მუდმივა. შეფასებულია, რომ დაგვიანებას ატომის ენერგეტიკულ დონეებში შეაქვს $\alpha^2 z^3$ რიგის წვლილი, სადაც z ატომბირთვის მუხტია. გამოთვლილია აგრეთვე ულტრარელატივისტური ელექტრონების გაცვლილი ურთიერთქმედების ენერგია.

PHYSICS

A. D. GURCHUMELIA

STATISTICAL CONSIDERATION OF RETARDATION IN RELATIVISTIC HARTREE-FOCK EQUATIONS

Summary

The paper presents a statistical calculation of exchange energy in which retardation appears when the atom is described in relativistic terms by the Hartree-Fock method. The contribution of retardation to the Hartree-Fock potential has been found to equal $\frac{\pi}{2} \alpha^2 \rho$, which leads to correlations of the order of $\alpha^2 z^3$ for energy-term values of atoms. The ultrarelativistic limit is also considered.

ლიტერატურა — ЛИТЕРАТУРА — REFERENCES

1. B. Swirles. Proc. Roy. Soc., A 152, 1935, 625.
2. I. P. Grant. Proc. Roy. Soc., A 262, 1961, 555.
3. Y. K. Kim. Phys. Rev., 154, 1967, 17.
4. D. A. Liberman, J. T. Waber, D. T. Cromer. Phys. Rev., A 137, 1965, 27.
5. А. И. Ахиезер, В. Б. Берестецкий. Квантовая электродинамика. М., 1969.
6. J. C. Slater. Phys. Rev., 81, 1951, 385.

ФИЗИКА

М. Д. АМИРАНИДЗЕ, Т. В. ДЖАХУТАШВИЛИ, С. Н. КУМСИШВИЛИ,
З. В. ЛОБЖАНИДЗЕ, М. С. МАТИНОВА, А. А. МИРЦХУЛАВА,
И. Е. ПЕКАР, А. Л. ШКОЛЬНИК

ФОТОПРОВОДИМОСТЬ И ЛЮМИНЕСЦЕНЦИЯ ТВЕРДЫХ
РАСТВОРОВ GaAs—AlAs

(Представлено членом-корреспондентом Академии Г. Г. Хуцишвили 17.1.1972)

Исследования фотоэлектрических и люминесцентных явлений являются важными методами изучения полупроводников и представляют практический интерес в связи с созданием на их основе полупроводниковых приборов.

Фотоэлектрические свойства твердых растворов GaAs—AlAs почти не изучены, если не считать нескольких работ по исследованию гетеропереходов $\text{Ga}_{1-x}\text{Al}_x\text{As}$ —GaAs [1, 2] и фотоэлементов на их основе [3—5]. Однако в этом случае контактные явления, играющие значительную роль в механизме переноса, превалируют над процессами, протекающими непосредственно в слое $\text{Ga}_{1-x}\text{Al}_x\text{As}$, обычно эпитаксиально наращенном на подложку из GaAs. Исследованы фотолюминесценция [6, 7] и электролюминесценция [8—10] аналогичных слоев. Особый интерес представляет изучение фотопроводимости и люминесценции объемных образцов (позволяющее исключить влияние подложки, поверхности и другие чисто пленочные эффекты).

Несмотря на малое различие в параметрах решетки конечных компонент (GaAs и AlAs), получение совершенных образцов затруднено рядом специфических технологических факторов. В литературе нет данных по исследованию монокристаллов $\text{Ga}_{1-x}\text{Al}_x\text{As}$, а поликристаллы изучены крайне мало.

Объектами исследования настоящей работы являются полученные методом направленной кристаллизации достаточно однородные крупноблочные поликристаллы $\text{Ga}_{1-x}\text{Al}_x\text{As}$.

Все кристаллы имели п-тип проводимости с концентрацией свободных носителей $(6 \cdot 10^{17}—4 \cdot 10^{18}) \text{ см}^{-3}$. В достаточно широком температурном интервале $(78—420)^\circ\text{K}$ изучалась фотопроводимость образцов различных составов ($x=0,03; 0,25; 0,3$), близких к первой компоненте. Состав определялся рентгеновским микроанализатором. Фотолюминесценция фиксировалась при комнатной и азотной температурах.

Для исследования электролюминесценции изготавливались диффузионные диоды путем введения примеси Zn в исследуемый п-материал тех же составов.

В спектральных распределениях фотопроводимости и фотолюминесценции обращает на себя внимание наличие двух хорошо разрешенных максимумов, плавно смещающихся с изменением температуры. Длинноволновый максимум обычно наблюдается также в образцах специально

нелегированного арсенида галлия и приписывается примеси Cu, постоянно присутствующей в образцах. Положение его неизменно при малых x , в то время как коротковолновый максимум связан с твердым раствором и плавно смещается с увеличением содержания Al. Соответствующие значения энергии, рассчитанные по данным фотопроводимости ($E_{\text{Фп}}$) и фотолюминесценции ($E_{\text{Фл}}$), сведены в таблицу. Здесь же представлены результаты параллельных исследований оптических ($E_{\text{п}}$) и электролюминесцентных ($E_{\text{эл}}$) характеристик. Фоточувствительность диффузионных диодов была весьма незначительной и не поддавалась количественной оценке.

Обращает на себя внимание различие в энергиях, рассчитанных по данным фотопроводимости и фотолюминесценции, с одной стороны, и оптического поглощения и электролюминесценции, с другой.

Образец	Состав	78°К		300°К			420°К	
		$E_{\text{Фп}}$	$E_{\text{Фл}}$	$E_{\text{Фп}}$	$E_{\text{Фл}}$	$E_{\text{эл}}$	$E_{\text{п}}$	$E_{\text{Фп}}$
231—50	0,3	1,88	1,89	1,78	1,77	1,65	1,67	1,71
231—51	0,25	1,82	1,82	1,73	1,72	1,64	1,64	1,65
224—11	0,03	1,63	1,64	1,53	1,53	1,44	1,45	—

Полуширина максимумов фотолюминесценции несколько больше, чем электролюминесценции, и она практически не меняется с увеличением содержания Al в твердом растворе.

Меньшая энергия пика электролюминесценции, чем фотолюминесценции и фотопроводимости, связана с тем, что излучение происходит из р-области п—р-структуры, куда инжектируются электроны из п-области. Эти электроны чаще всего рекомбинируют с дырками примесных уровней (введенных диффузией), предварительно сваливаясь в «хвосты» плотностей состояния зоны проводимости. Эти же «хвосты» проявляются и в меньших значениях энергии, полученных из оптических данных. «Хвосты» возникают за счет некоторого беспорядка в кристаллической решетке, вызванного введением второго компонента и сравнительно большим уровнем легирования.

Наличие «хвостов» не сказывается на фотолюминесценции и фотопроводимости — процессах, идущих непосредственно из зоны в зону.

Факт, что полосы фотолюминесценции шире полос электролюминесценции, связан с тем, что фотолюминесценция наблюдается в п-материале, в котором количество рекомбинирующих электронов больше, чем в р-материале, где фиксируется электролюминесценция.

Зная зависимости от состава образцов положения максимумов фото- и электролюминесценции, а также энергий, рассчитанных по данным фотопроводимости и оптического поглощения, можно построить кривые энергия — состав для определения состава твердых растворов.

ა. ამირანიძე, თ. ჯახუთაშვილი, ს. ქუმშიშვილი, ჭ. ლოგშანიძე, ა. მირცხლავა,
გ. ბატინოვა, ი. ვერარი, ა. ჰერლიძე

GaAs—AlAs მყარი ხსნარების ფოტოგამტარებლობა და ლუმინესცენცია

ჩემი მე

შესწავლილია მიმართული კრისტალიზაციის მეთოდით მიღებული GaAs—AlAs მყარ ხსნართა პოლიქრისტალების ოპტიკური შთანთქმის, ფოტოგამტარებლობის, ელექტრო- და ფოტოლუმინესცენციის სპექტრალური განაწილება. სპექტრების მახვილი გამოთვლილია შესაბამისი ენერგიის მნიშვნელობები. დადგენილია კორელაცია ოპტიკურ, ფოტოელექტრულ და ლუმინესცენტურ გაზომვათა შედეგებს შორის.

PHYSICS

M. D. AMIRANIDZE, T. V. JAKHUTASHVILI, S. N. KUMSISHVILI,
Z. V. LOBZHANIDZE, M. S. MATINOVA, A. A. MIRTSKHULAVA,
I. E. PEKAR, A. L. SHKOLNIK

PHOTOCOCONDUCTIVITY AND LUMINESCENCE of GaAs- AlAs SOLID SOLUTIONS

Summary

Spectral distributions of optical absorption, photoconductivity, electro- and photoluminescence of polycrystals of GaAs—AlAs solid solutions prepared by the method of directed crystallization have been studied. The values of corresponding energy have been calculated from the spectra. A correlation has been found between the results of optical, photoelectric and luminescent measurements.

ლიტერატურა — ЛИТЕРАТУРА — REFERENCES

1. Ж. И. Алферов, В. М. Андреев и др. ФТП, 3, 1969, 1634.
2. Ж. И. Алферов, Н. С. Зимогорова и др. ФТП, 1, 1967, 283.
3. Ж. И. Алферов, В. М. Андреев и др. ФТП, 3, 1969, 1342.
4. Ж. И. Алферов, В. М. Андреев и др. ФТП, 4, 1970, 2378.
5. Ж. И. Алферов, О. А. Нинуа и др. ФТП, 5, 1971, 988.
6. Ж. И. Алферов, О. А. Нинуа. ФТП, № 4, 1970, 618.
7. K. Sugiyama, H. Saito. Jap. J. Appl. Phys., 10, 1971, 395.
8. A. I. Linden. J. Appl. Phys., 40, 1969, 2325.
9. H. Kressel, F. Z. Hawrylo, N. Almeleh. J. Appl. Phys., 40, 1969, 2248.
10. E. G. Dierschke, L. E. Stone, R. W. Haisty. Appl. Phys. Lett., 19, 1971, 98.

ФИЗИКА

Л. Г. САКВАРЕЛИДЗЕ, А. А. МИРЦХУЛАВА, З. В. ЛОБЖАНИДЗЕ

СПОСОБ ОЧИСТКИ МЕТАЛЛИЧЕСКОГО ГАЛЛИЯ

(Представлено членом-корреспондентом Академии М. М. Мирианашвили 5.1.1972)

Металлический галлий является одним из основных компонентов многих полупроводниковых соединений, имеющих широкое применение в электронной технике. Поэтому получение этого материала полупроводниковой степени чистоты, несомненно, имеет большое значение.

Известно несколько методов очистки галлия от примесей: 1) методы, в которых проводится непосредственная обработка металлического галлия, например кислотная обработка и фильтрация [1], обработка кислородом или другими газами, нагревание под вакуумом [2], кристаллизация [3]; 2) методы, в которых используется обработка соединений галлия: электролиз [4, 5], избирательная экстракция GaCl_3 , дистилляция галлоидных соединений, зонная очистка GAl_3 и др.

Однако необходимо отметить, что очистка галлия — весьма сложная и трудоемкая задача, включающая в себя, как правило, несколько операций.

Остановимся подробнее на методе очистки галлия нагреванием в вакууме. Известно, что давление пара галлия при температуре 1000°C составляет всего 0,001 мм рт. ст. Это обстоятельство позволяет удалять различные летучие примеси [6—8], а также галлонды и растворенные газы.

Авторы работы [9] применяли «холодный палец», помещая его в процессе вакуумного отжига при 650°C и вакууме 10^{-7} мм рт. ст. над поверхностью галлия с целью осаждения на нем испаряющихся примесей. Таким путем галлий очищался от ртути, цинка, магния, кальция, меди, свинца, серебра, железа и кремния. В работе [9] авторы отмечают, что процесс очистки галлия более эффективен при относительно низкой температуре с высоким вакуумом и за более длительный период, чем при высоких температурах (800 — 1000°C), объясняя это явление загрязнением галлия материалом контейнера при высоких температурах.

С целью повышения чистоты галлия нами разработан способ его очистки путем усовершенствования метода вакуумного отжига. Метод представляет собой комбинацию вакуумного отжига и плавки в гарниаже. Сущность и преимущество метода заключается в полном исключении контакта нагреваемого галлия с материалом контейнера и, таким образом, в препятствии проникновению примесей из него. Контейнер, представляющий собой двойной тигель из оптического кварца, внутренние стенки которого постоянно омывались непрерывным потоком паров жидкого азота, изображен на рис. 1.

После травления в течение 2 часов в «царской водке» и последующей промывки в дешевом воде тигель высушивался под вакуумом. Затем галлий марки ГЛ 000 закладывали в тигель (1) и всю систему помещали в реакционную камеру установки. При достиже-

нии высокого вакуума, порядка $2 \cdot 10^{-6}$ мм рт. ст. включали высокочастотный нагрев, доводили температуру до 800°C и одновременно начинали пропускать пары жидкого азота через отверстие (2). Через от-

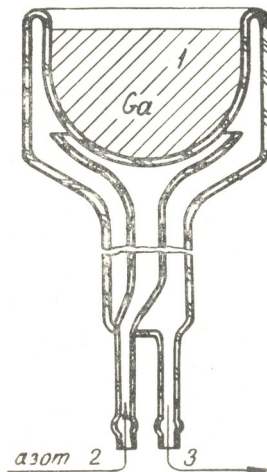


Рис. 1

верстие (3) пар выходил наружу. Пары жидкого азота, циркулирующие в системе, обеспечивали образование на всей площади контакта с тиглем тонкую корку твердого галлия, которая полностью исключала контакт расплавленного галлия с квартцем. Отжиг продолжали в течение 6—7 часов. Очищенный таким образом галлий исследовали на чистоту путем спектрального анализа. В таблице даны результаты спектрального анализа галлия до очистки и после нее. Данные приведены по абсолютной величине погрешности линий следующих элементов: Al, Fe, Si, Mg.

Элементы	ΔS до очистки	ΔS после очистки	Примечания
Алюминий	192	48	
Железо	51	23	
Кремний	68	28	
Магний	143	95	Линии других элементов не обнаружены (ниже чувствительности анализа)

ΔS —абсолютная величина погрешности линии.

Кроме того,косвенным подтверждением эффективности нашего способа очистки является тот факт, что пленки арсенида галлия, полученные методом газотранспортной реакции из очищенного показанным выше способом галлия, имели повышенные электрофизические параметры ($\rho = 0,475$ ом·см, $p = 2,89 \cdot 10^{16}$ см $^{-3}$, $\mu = 455$ см $^2/\text{в.сек}$).

(Поступило 13.1.1972)

ს. სავარელიძე, ა. მირტხულავა, ზ. ლობჯანიძე

მეთალური გალიუმის გაფანციას ხერხი

რეზიუმე

დამუშავებულია მეტალური გალიუმის გაწმენდის ხერხი. არსი აღნიშნული მეთოდისა მდგომარეობს შემდეგში: სრულად გამორიცხულია გასურებული გალიუმის კონტაქტი კონტეინერთან ვაკუუმის ქვეშ გარნისაუში გამოწევის გზით. მოყვანილია სპექტრალური ანალიზის შედეგი გაწმენდის შემდეგ და ელექტროფიზიკური მონაცემები დარიშხანოვანი გალიუმის ფირებისა, რაც მიღებულია გაზის ტრანსპორტული რეაქციის მეთოდით და გაწმენდილი გალიუმის გამოყენებით.

PHYSICS

L. G. SAKVARELIDZE, A. A. MIRTSKHULAVA, Z. V. LOBZHANIDZE

A METHOD OF METALLIC GALLIUM PURIFICATION

Summary

A method of metallic gallium purification has been developed. The essence of the method lies in complete elimination of any contacts between the heated gallium and the container material due to the vacuum annealing of the former in the crust. The results of spectral analysis carried out after the purification are presented as well as the data on electro-physical properties of gallium arsenide films obtained by the method of chemical transport reaction from the gallium under study.

ლიტერატურა — ЛИТЕРАТУРА — REFERENCES

1. Sebba, W. Pugh. J. Chem. Soc. London, 1937, 1371.
2. Merkel (Siemens). U. S. Patent, 2927,853, March, 8, 1960.
3. T. W. Richards, S. Boyer. J. Am. Chem. Soc., 43, 1921, 274, 45, 1923, 1155.
4. L. M. Dennis, J. A. Bridgman. J. Am. Chem. Soc., 110, 1918, 1531.
5. L. M. Dennis, J. A. Bridgman. Chem. News, 118, 1919, 156.
6. W. W. Craig, G. W. Drake. J. Am. Chem. Soc., 56, 1934, 584.
7. E. S. Gilfillan, H. E. Bent. J. Am. Chem. Soc., 56, 1934, 166, 1.
8. R. Reinmann. Schweiz. Arch., 1960, 1, 39.
9. F. D. Rosi, D. Meyerhofer, R. V. Jensen. J. Appl. Phys., 31, 1960, 1105.



АСТРОНОМИЯ

Г. Ф. ქევანიშვილი

ИССЛЕДОВАНИЕ СГУЩЕНИЙ ЗВЕЗД ТИПА А В СОЗВЕЗДИЯХ ПЕРСЕЯ И КАССИОПЕИ

(Представлено академиком Е. К. Харадзе 10.3.1972)

На основе изучения (по методике, изложенной в [1]) пространственного распределения звезд спектрального класса А в созвездиях Персия и Кассиопеи были выявлены сгущения названных звезд с координатами центров ($\alpha_{1900}=2^h06^m5, \delta_{1900}=+57^\circ00'$) и ($\alpha_{1900}=23^h25^m0, \delta_{1900}=+52^\circ00'$) соответственно.

Сгущение в Персее содержит 93 звезды, а в Кассиопее — 59. Распределение этих звезд по подклассам, размеры сгущений и их расстояния от Солнца приведены в табл. 1.

Таблица 1

Сгущение	B 8	B 9	A 0	A 2	A 3	A 5	A	Размеры, град	Размеры, пс	R пс
Персей	2	12	60	7	4	1	7	8×8	60×60	410
Кассиопея	—	8	37	—	6	—	8	6,5×6,5	44×44	370

Для выяснения вопроса, являются ли эти сгущения действительными или же они представляют собой результат случайных флюктуаций, была применена формула Пуассона

$$P(n, v) = e^{-v} \frac{v^n}{n!},$$

где n — плотность звезд в сгущении, v — усредненная плотность звезд в сгущении и вокруг него, $P(n, v)$ — вероятность того, что участок с плотностью n содержится в поле, где средняя плотность равна v . Для сгущений в Персее и Кассиопее эти вероятности довольно малы и равны 10^{-6} и 10^{-7} соответственно.

Интересно проверить реальность существования этих сгущений и по другим признакам, в частности по лучевым скоростям и собственным движениям входящих в них звезд. Представляет также интерес установление в сгущениях присутствия эмиссионных звезд и других объектов.

При просмотре каталога Вокерлинга [2] оказалось, что сгущение в Персее содержит одну эмиссионную звезду (HD 13322, „მთამბე“, ф. 67, № 1, 1972).

BD+57°511), удаленную от центра на расстоянии 1 градуса и имеющую звездную величину 9,3.

В каталоге AGK-3 [3] приведены данные о собственных движениях для 79 звезд из сгущения Персея и 44 звезд из сгущения Кассиопеи.

Выражая компоненты собственного движения по галактической долготе и широте через $\mu_a \cos \delta$, μ_δ , получаем

$$\mu_l = \mu_a \cos \delta \cos i + \mu_\delta \sin i, \quad \mu_b = -\mu_a \cos \delta \sin i + \mu_\delta \cos i. \quad (1)$$

Поскольку все рассматриваемые звезды расположены вблизи галактического экватора, то для них можно принять $\cos b \approx 1$.

Для каждой звезды сгущения и поля можно написать следующие выражения:

$$\mu_l = \mu_{lg} + \mu'_l + \Delta\mu_l + \varepsilon_l, \quad (2)$$

$$\mu_b = \mu_{bg} + \mu'_b + \varepsilon_b, \quad (3)$$

где

$$\Delta\mu_l = \frac{A}{4,74} \cos 2l + \frac{B}{4,74}. \quad (4)$$

Здесь μ_{lg} и μ_{bg} —компоненты группового собственного движения, μ'_l и μ'_b —компоненты пекуллярного собственного движения, $\Delta\mu_l$ —эффект галактического вращения, ε_l и ε_b —соответствующие ошибки определения μ_l и μ_b , а величины A и B —известные постоянные Оорта.

В результате усреднения этих равенств по всем звездам сгущения и поля получаем

$$\mu_{lg} = \overline{\mu_l} - \overline{\Delta\mu_l}, \quad (5)$$

$$\mu_{bg} = \overline{\mu_b}. \quad (6)$$

Пользуясь этими соотношениями, можно вычислить разности между групповыми собственными движениями звезд сгущения и поля, для которых удобно применить обозначения $\Delta\mu_{lg}$ и $\Delta\mu_{bg}$. Интересно выяснить вопрос о реальности или случайности этих разностей. С этой целью можно использовать критерий Стьюдента о равенстве двух центров распределения, выражаящийся формулой

$$q\% = 2 B_k \int_{tqk}^{\infty} \left(1 + \frac{t^2}{k}\right)^{-\frac{k+1}{2}} dt, \quad (7)$$

где $q\%$ —вероятность того, что разности $\Delta\mu_{lg}$ и $\Delta\mu_{bg}$ являются случайными. Для параметра t соответственно имеем

$$|t| = \frac{\Delta\mu_{lg}}{\sqrt{n_1 \sigma_1^2 + n_2 \sigma_2^2}} \sqrt{\frac{n_1 n_2 (n_1 + n_2 - 2)}{n_1 + n_2}}, \quad (8)$$

или

$$|t| = \frac{\Delta \mu_{bg}}{\sqrt{n_1 \sigma_3^2 + n_2 \sigma_4^2}} \sqrt{\frac{n_1 n_2 (n_1 + n_2 - 2)}{n_1 + n_2}}. \quad (9)$$

Здесь n_1, n_2 — числа звезд сгущения и поля, σ_1, σ_2 — дисперсия компонентов собственного движения по l и b для звезд сгущения, σ_3, σ_4 — те же величины для звезд поля.

Нами выполнены вычисления по формулам (2) — (6).

На основе данных табл. 2 и 3 и с помощью формул (7), (8), и (9) мы вычислили вероятности того, что получаемые разности $\Delta \mu_{lg}$ и $\Delta \mu_{bg}$ являются действительными. Эти вероятности равны 80% для каждого сгущения.

Таблица 2

Сгущение, поле	μ_{lg}	μ_{bg}	$\Delta \mu_{lg}$	$\Delta \mu_{bg}$
Персей	-0"0017 ($\pm 0"0009$)	-0"0028 ($\pm 0"0009$)	-0"0024 ($\pm 0"0009$)	-0"0033 ($\pm 0"0009$)
Поле	+0,0007 ($\pm 0,0009$)	+0,0005 ($\pm 0,0009$)		
Кассиопея	+0,0116 ($\pm 0,0012$)	+0,0002 ($\pm 0,0012$)	+0,0086	+0,0009
Поле	+0,0030 ($\pm 0,0015$)	-0,0007 ($\pm 0,0015$)	($\pm 0,0019$)	($\pm 0,0019$)

Таблица 3

Сгущение, поле	$n_1 \sigma_1^2$	$n_2 \sigma_2^2$	$n_1 \sigma_3^2$	$n_2 \sigma_4^2$	n_1	n_2
Персей	0,0049		0,0158		76	
Поле		0,0015		0,0038		76
Кассиопея	0,0034		0,0043		44	
Поле		0,0010		0,0025		29

Затем были определены степени расширения сгущений в Персее и Кассиопеи по l и по b .

Для вычисления степени расширения по l звезды сгущения были разделены на две подгруппы. К первой подгруппе относились звезды, для которых $l < l_0$, а ко второй — звезды, для которых $l > l_0$ (l_0 — галактическая долгота центра сгущения). Далее были найдены средние групповые собственные движения для каждой подгруппы $\mu_l(I)$ и $\mu_l(II)$, и наконец, разность между ними, т. е. степень расширения (см. табл. 4).

Таблица 4

Сгущение	$\mu_l(I)$	$\mu_l(II)$	$\mu_l(I) - \mu_l(II)$	n_1	n_2
Персей	-0"0018 $\pm 0"0012$	+0"0022 $\pm 0"0013$	0"0040 $\pm 0"0018$	42	34
Кассиопея	-0,0017 $\pm 0,0018$	+0,0014 $\pm 0,0016$	0,0031 $\pm 0,0024$	20	24

Из табл. 4 видно, что сгущение в Персее расширяется по 1° со скоростью $0'',0040 \pm 0'',0018$ в год, а сгущение в Кассиопее — $0'',0031 \pm 0'',0024$. С помощью того же критерия Стьюдента были вычислены вероятности получаемых разностей групповых собственных движений между этими подгруппами. Эти вероятности оказались равными 80% для каждого сгущения.

При исследовании эффекта расширения сгущений по галактической широте в обоих случаях получилась противоположная картина. Сгущения как бы сжимаются. Этот эффект заслуживает особого изучения, что мы и предполагаем выполнить в дальнейшем.

Тбилисский государственный университет

(Поступило 10.3.1972)

ასტრონომია

გ. კევანიშვილი

ა სპეციალული ტიპის ვარსკვლავთ ზეჯგუფებების გამოკვლევა
პირსევსისა და კასიოპეას თანავარსკვლავიდებული

რეზიუმე

ა სპეციალული ტიპის ვარსკვლავების სივრცული განაწილების შესწავლის საფუძველზე შემჩნეულია მათი შეჯგუფება პერსევსისა ($\alpha_{1900} = 2^h 06^m .5$, $\delta_{1900} = +57^{\circ}00'$) და კასიოპეას ($\alpha_{1900} = 23^h 25^m .0$, $\delta_{1900} = +52^{\circ}00'$) თანავარსკვლავებული. შეჯგუფებაში შემავალი ვარსკვლავების საკუთარი მოძრაობის შესწავლითა და მათემატიკური სტატისტიკის მეთოდების გამოყენებით დადგენილა ამ შეჯგუფებების არსებობა და გაფართოება გალაქტიკური გრძელის მიმართულებით.

ASTRONOMY

G. F. KEVANISHVILI

AN INVESTIGATION OF A-TYPE STAR GROUPINGS IN THE PERSEUS AND CASSIOPEIA

Summary

The existence of the grouping of A-type stars in the Perseus ($\alpha_{1900} = 2^h 06^m .5$, $\delta_{1900} = +57^{\circ}00'$) and Cassiopeia ($\alpha_{1900} = 23^h 25^m .0$, $\delta_{1900} = +52^{\circ}00'$) has been revealed on the basis of a study of their spatial distribution. The existence of the above groupings and of their expansion in the direction of galactic longitude has been ascertained with the help of the methods of mathematical statistics and proper motion analysis.

ლიტერატურა — REFERENCES

1. Г. Ф. Кеванишвили. Бюлл. Абастуманской обсерватории, 37, 1969.
2. R. Wackerling. Catalogue of Early-type Stars Whose Spectra Have Shown Emission Lines. Oxford and Edinburgh, 1970.
3. Dritter Katalog der Astronomischen Gesellschaft. Hamburg-Bergedorf, Bd. 1—15, 1970.

ГЕОФИЗИКА

А. М. ЧХЕТИЯ, Ц. Д. ПОРЧХИДЗЕ

К ВОПРОСУ ИССЛЕДОВАНИЯ МОРФОЛОГИИ ГЕОМАГНИТНЫХ ВОЗМУЩЕНИЙ

(Представлено членом-корреспондентом Академии Б. К. Балавадзе 14.1.1972)

С первыми исследованиями природы магнитных возмущений делались попытки их классификации по характеру протекания [1—3], с учетом физических процессов [4—8], интенсивности (амплитуды) [2] и пространственного распределения [9]. Однако эти исследования ограничивались анализом горизонтальной составляющей геомагнитного поля. В настоящей работе, которая также посвящена исследованию морфологии геомагнитных возмущений, основное внимание уделено вариации вертикальной составляющей геомагнитного поля Z и сопоставлению ее с изменениями горизонтальной составляющей H .

В работе был использован материал за 11-летний цикл солнечной активности, с января 1955 г. по декабрь 1967 г., по станциям Ниемегк — составляющая Z и Тбилиси (Душети) — составляющая H . Выбор этих станций был обусловлен тем, что возмущения геомагнитного поля во время бури наиболее четко и интенсивно проявляются в составляющей H на станции Тбилиси (Душети) и в составляющей Z на станции Ниемегк. Координаты этих станций приведены в таблице.

Станции	Геомагнитные координаты		Географические координаты	
	Широта Φ	Долгота L	Широта φ	Долгота λ
Нилемек	52°15'N	96°34'	52°04'	12°41'E
Тбилиси	36°42'N	122°6'	42°05'	44°42'E

Сопоставление кривых вариаций магнитного поля по среднечасовым значениям вертикальной Z и горизонтальной H составляющим за исследуемый период во время умеренных, больших и очень больших бурь выявило сложную картину. Чтобы легче было разобраться в ней, в характер связи изменений составляющих Z и H мы ввели классификацию случаев по типам. Все рассмотренные случаи сводятся к шести типам.

К I типу относятся случаи, когда при уменьшении и постепенном возвращении напряженности составляющей H к своему обычному невоз-

мущенному состоянию $\left(\frac{\partial^2 H}{\partial t^2} > 0\right)$ вертикальная компонента Z претерпевает увеличение $\left(\frac{\partial^2 Z}{\partial t^2} < 0\right)$. Бури, у которых вариации составляющих Z и H имеют почти одинаковые амплитуду и противофазные изменения, можно назвать антифазными бурями.

Ко II типу относятся случаи, когда при уменьшении и постепенном возвращении составляющей H к своему невозмущенному состоянию $\left(\frac{\partial^2 H}{\partial t^2} > 0\right)$ вертикальная компонента претерпевает уменьшение $\left(\frac{\partial^2 Z}{\partial t^2} > 0\right)$. Бури, у которых вариации составляющих Z и H протекают почти одинаково, как по фазе, так и по соотношению амплитуд, можно назвать синфазными бурями.

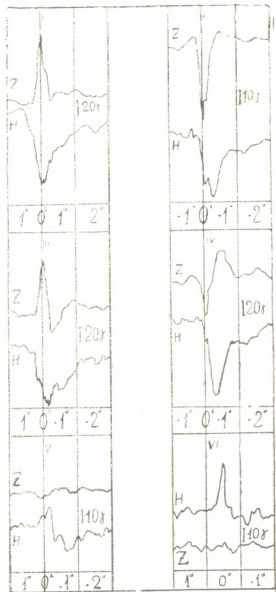


Рис. 1. Осредненные кривые шести типов магнитных бурь

К III типу относятся случаи, когда при уменьшении и постепенном возвращении составляющей H к своему обычному невозмущенному состоянию $\left(\frac{\partial^2 H}{\partial t^2} > 0\right)$ вертикальная компонента Z претерпевает изменение, переходящее от антифазного к синфазному $\left(\frac{\partial^2 Z}{\partial t^2} < 0 \rightarrow \frac{\partial^2 Z}{\partial t^2} > 0\right)$.

К IV типу относятся случаи, когда при уменьшении и постепенном возвращении составляющей H к своему обычному невозмущенному состоянию $\left(\frac{\partial^2 H}{\partial t^2} > 0\right)$ вертикальная компонента Z претерпевает изменение, переходящее от синфазного к антифазному $\left(\frac{\partial^2 Z}{\partial t^2} > 0 \rightarrow \frac{\partial^2 Z}{\partial t^2} < 0\right)$.

К V типу относятся случаи, когда при уменьшении и постепенном возвращении составляющей H к своему обычному состоянию $\left(\frac{\partial^2 H}{\partial t^2} > 0\right)$ вертикальная компонента не отражает эффекта магнитных бурь, или отражает его весьма слабо.

К VI типу относятся случаи, когда при увеличении составляющей H $\left(\frac{\partial^2 H}{\partial t^2} < 0\right)$ вертикальная компонента не отражает эффекта магнитных бурь или отражает его весьма слабо. Нарушения типичного развития вариации D_{st} и хорошо выраженная начальная фаза бури объясняются, согласно современной теории, обжатием магнитосферы Земли без последующего образования экваториального кольцевого тока.

На рис. 1 приводятся кривые шести вышеуказанных типов магнитных бурь, полученных осреднением однотипных магнитных бурь.

Из рис. 1 следует, что наличие качественно разных типов бурь может указывать на существование также качественно разных типов солнечных корпускулярных потоков. Для выяснения механизмов, вызывающих эти возмущения, необходимо оценить физические параметры потоков плазмы во время разных типов магнитных бурь — напряженность вмороженных полей, плотность ионов, скорость и характер попадания Земли в корпускулярный поток и рассчитать также токовые системы внутреннего и внешнего происхождения. Однако для решения поставленной задачи необходимо исследование пространственно-временных распределений отдельных геомагнитных возмущений на основе всех параметров напряженности поля по данным мировой сети геомагнитных обсерваторий, спутниковых, межпланетных станций.

Академия наук Грузинской ССР

Институт геофизики

(Поступило 4.2.1972)

გეოფიზიკა

ა. ჩხერიძე, ვ. ჭორბაძე

გეომაგნიტურ აღრევათა გორევოლობის პლატფორმის საკითხებისათვის

რეზოუნდ

1955—1967 წლებში მომხდარი ყველა — ზომიერი, დიდი და ძლიერ დიდი — გეომაგნიტური ქარიშხლის დროს, მაგნიტური ვალის H გლემენტისა —



თბილისი (დუშეთი) და Z ელემენტის — ნიემეგვის საათიერ მნიშვნელობების ცვლილებების შედარების საფუძველზე მიღებულია, რომ გეომაგნიტური ქარიშხლები შეიძლება დაიყოს ექვს ძირითად ტიპად. მაგნატურ აღრევათა ექვსი ტიპის დაკვირვება მიუთითებს მზიდან ამოფრქვეული, ფიზიკური პარამეტრებით განსხვავებული ნაკადის ტიპების არსებობაზე.

GEOPHYSICS

A. M. CHKETIA, Ts. D. PORCHKHIDZE

CONCERNING THE STUDY OF THE MORPHOLOGY OF GEOMAGNETIC DISTURBANCE

Summary

An analysis of comparison data on the hourly-value changes of the H- and Z components of the geomagnetic field for the Tbilisi (Dusheti) and the Niemegk stations, respectively, during moderate, large and very large magnetic storms occurring within the 1955—1967 period has enabled the subdivision of all the cases of magnetic storms studied into 6 types.

The presence of qualitatively different types of magnetic storms may be indicative of the existence of qualitatively different types of solar corpuscular fluxes differing in respect of their physical parameters.

ლიტერატურა — ЛИТЕРАТУРА — REFERENCES

1. S. Chapman. Studia Geophys. et Geodet., 5, № 1, 30, 1961.
2. S. Chapman, J. Bartels. Geomagnetism, vol. I, II, Clarendon Press. Oxford, 1940.
3. А. Д. Десслер. Околоземное космическое пространство. М., 1966.
4. S. Chapman, V. C. Ferraro. Nature., 126, 129, 1930. Terr. Magn. Atmos. Electr., 36, 77, 1931; 37, 147, 421, 1932; 38, 79, 1933.
5. S. Chapman, V. C. Ferraro. Terr. Magn. Atmos. Electr., 45, 245, 1940.
6. E. N. Parker. On the geomagnetic storm effect. J. Geophys., Rer., 61, 625—637, 1956.
7. E. N. Parker. Interaction of the solar wind with the geomagnetic field Phys. Fluids, 1, 171—187, 1958.
8. Т. Обояши. Солнечно-земная физика. М., 1968.
9. М. С. Бобров. Солнечная активность, № 1, 1961.

ГЕОФИЗИКА

Я. Г. СУЛАКВЕЛИДЗЕ

ТЕРМОДИНАМИЧЕСКИЕ УСЛОВИЯ РАЗВИТИЯ
КОНВЕКТИВНЫХ ОБЛАКОВ И МЕТОД ПРОГНОЗА
КОЛИЧЕСТВА ЛИВНЕВЫХ ОСАДКОВ

(Представлено академиком Ф. Ф. Давитая 17.2.1972)

Исходя из критерия В. Бьёркнеса и данных Н. С. Шишкина [1, 2] можно получить, что конвекция возникает лишь в тех случаях, когда выполняется условие

$$\gamma > \gamma_b + (\gamma_c - \gamma_b) S, \quad (1)$$

где γ , γ_c и γ_b — фактический, сухо- и влажноадиабатические градиенты температуры, S — относительная площадь, занятая восходящими потоками, которая, согласно расчетам Н. С. Шишкина и данным экспериментальных наблюдений для Кавказа [3], при $\gamma_b < \gamma < \gamma_c$ равна

$$S = 0,65 \left(1 - \sqrt{\frac{\gamma_c - \gamma}{\gamma_c - \gamma_b}} \right). \quad (2)$$

Предельное значение величины градиента температуры, при котором прекращается конвекция, определяемое из неравенства (1) с учетом (2), названо «критическим градиентом» γ^* .

Подъем воздушных масс с потенциально более теплого «активного слоя» (так же как и опускание) будет продолжаться до тех пор, пока температурный градиент в нижнем активном слое не уменьшится до величины γ^* . Исходя из условия теплообмена между верхним и нижним слоями воздуха определяется количество массы воздуха Δm , которое должно подняться в вертикальном столбе с единичным поперечным сечением из активного слоя в верхний, для того чтобы температурный градиент в активном слое достиг значения γ^* :

$$\Delta m = M_1 \frac{\gamma - \gamma^*}{\gamma - \gamma_b}, \quad (3)$$

где M_1 — масса в столбе воздуха с единичным поперечным сечением активного слоя, определяемая из соотношения

$$M_1 = \frac{1}{g} (P_h - P_m) \cdot 10^3 \text{ г} \cdot \text{см}^{-2}. \quad (4)$$

Подставляя значения γ^* , M_1 и S из уравнения (1), (2) и (4) в (3), получаем

$$\Delta m = \frac{\left\{ \gamma - \left[\gamma_b + (\gamma_c - \gamma_b) 0,65 \left(1 - \sqrt{\frac{\gamma_c - \gamma}{\gamma_c - \gamma_b}} \right) \right] \right\} (P_k - P_m) \cdot 10^3}{g(\gamma - \gamma_b)} \cdot \quad (5)$$

Для того чтобы оценить среднее количество водяного пара, сконденсированного над площадью единичного поперечного сечения, величину Δm из уравнения (5) следует умножить на разность удельной влажности ΔS между уровнем конденсации S_k и вершиной облака S_b :

$$q_p = \frac{\left\{ \gamma - \left[\gamma_b + 0,65 (\gamma_c - \gamma_b) \left(1 - \sqrt{\frac{\gamma_c - \gamma}{\gamma_c - \gamma_b}} \right) \right] \right\} (P_k - P_m) 10^3 \Delta S}{g(\gamma - \gamma_b)}. \quad (6)$$

Используя данные экспериментальных и теоретических исследований Х. Р. Байерса, Р. Р. Брагама и Н. И. Вульфсона [4, 5] о величине средней скорости восходящих потоков в облаке \bar{w} на уровне z_m , определяя плотность воздуха на этом уровне ρ_m и внося величину S , можно рассчитать Δm и из соотношения

$$\Delta m = \tau \rho_m \bar{w} S, \quad (7)$$

где τ — продолжительность разрешения неустойчивости (продолжительность конвекции).

Решая совместно уравнения (5) и (7), находим величину τ :

$$\tau = \frac{\left\{ \gamma_1 - \left[\gamma_b + 0,65 (\gamma_c - \gamma_b) \left(1 - \sqrt{\frac{\gamma_c - \gamma}{\gamma_c - \gamma_b}} \right) \right] \right\} (P_k - P_m) 10^3}{g(\gamma_1 - \gamma_b) \rho_m \left[0,65 \left(1 - \sqrt{\frac{\gamma_c - \gamma}{\gamma_c - \gamma_b}} \right) \right]^2 \bar{w}^2}. \quad (8)$$

Тепловая энергия, выделяемая в результате фазовых переходов воды во время разрешения неустойчивости, в столбе единичного поперечного сечения облака представлена следующим выражением:

$$\Theta' = L q_p \frac{1}{S} = \frac{L \left\{ \gamma_1 - \left[\gamma_b + 0,65 (\gamma_c - \gamma_b) \left(1 - \sqrt{\frac{\gamma_c - \gamma}{\gamma_c - \gamma_b}} \right) \right] \right\} (P_k - P_m) 10^3 \Delta S}{g(\gamma - \gamma_b) 0,65 \left(1 - \sqrt{\frac{\gamma_c - \gamma}{\gamma_c - \gamma_b}} \right)}, \quad (9)$$

где L — скрытая теплота фазовых переходов.

Для получения тепловой энергии Θ всего конвективного процесса величину Θ' надо умножить на площадь репрезентативности радиозондирования πR^2 .

Расчеты, проведенные по уравнению [2], показали, что для среднего количества энергии конвективных процессов, рассчитанных по 42 случаям, величина Θ' оказывается равной $\Theta' = 1530$ кал/см и соответственно для всей площади репрезентативности радиозондирования

$\Theta = 4,8 \cdot 10^{14}$ ккал = $2 \cdot 10^{15}$ кдж. Эти результаты совпадают с данными, приводимыми Е. К. Федоровым, М. А. Петросянцем и др. [6, 7].

Результаты расчетов сконденсированного водяного пара в конвективном облаке сопоставлялись с данными о выпавших осадках для тех же 42 случаев. Было составлено уравнение регрессии в логарифмическом виде. При этом коэффициент корреляции между количеством выпавших осадков и величиной сконденсированного в облаке водяного пара оказался равным 0,85. Связь между q_{ϕ} и q_p имеет следующий вид:

$$q_{\phi} = 0,522 q_p^{0.9}. \quad (10)$$

Из уравнения (10) следует, что примерно половина сконденсированного в облаке водяного пара выпадает на землю в виде осадков, а остальная часть в виде мелких капель и кристаллов остается в атмосфере. Примерно такую же величину получил для слоистых облаков на Украине Н. И. Половина [8].

Анализ полученных уравнений показывает, что средняя величина ошибки при расчете количества выпавших осадков по значению сконденсированного в облаке водяного пара, согласно уравнению (10), составляет примерно 20% от измеренной величины, иначе говоря, лежит в пределах тех ошибок, которые систематически допускаются при измерении осадков существующей аппаратурой [9].

Этот результат позволяет высказать предположение, что для средних широт микрофизические процессы в конвективном облаке не оказывают существенного влияния на среднее количество выпадающих из облака осадков, которое в основном зависит от термодинамического состояния — стратификации атмосферы.

Для использования уравнения (10) в других районах СССР при прогнозе количества осадков предварительно необходимо составить аналогичное уравнение регрессии по имеющимся материалам для этих районов и рассчитать коэффициенты, которые, возможно, окажутся различными для районов с разными физико-географическими условиями.

Полученные уравнения дают хороший результат при расчете внутримассовых процессов. В случае фронтальных процессов в данные радиозондирования необходимо внести поправки на адвекцию воздушных масс и составить прогностическую стратификацию атмосферы.

Тбилисский государственный университет

(Поступило 18.2.1972)

გვოვისძება

0. სულაბალიძე

კონვექტიული დრუგლების ზარმოქმნის თარაოდინამიკური პირობები
და ნალექების რაოდენობის პროგნოზის გეთოდე

რეზიუმე

თერმოდინამიკის ძირითადი კანონებისა და ატმოსფეროს სტრატიფიკაციის
მიხედვით გამოთვლილია კონვექტიული ღრუბლებიდან მიღებული ნალიქების
რაოდენობა.

Ya. G. SULAKVELIDZE

THERMODYNAMIC CONDITIONS OF THE FORMATION OF CONVECTIVE CLOUDS AND A METHOD FOR PREDICTING RAINFALL

Summary

The quantity of rainfall from convective clouds has been calculated on the basis of the fundamental laws of thermodynamics and the stratification of the atmosphere.

ЛІТЕРАТУРА — REFERENCES

1. Н. С. Шишкін. Облака, осадки и грозовое электричество. Л., 1964.
2. I. Bierknes, Q. I. Roy. Met. Soc., 64, 11, 1938, 75.
3. Г. К. Сулаквелидзе и др. Прогноз града, гроз и ливневых осадков. Л., 1971.
4. H. R. Byers, R. R. Graham. Thunderstorm structure and circulation. J. Met., 5, № 3, 1948.
5. Н. И. Вульфсон. Сб. «Исследование облаков и грозового электричества». М., 1961.
6. Г. К. Сулаквелидзе, М. А. Петросянц. Метеорология и гидрол., 3, 1970.
7. Е. К. Федоров. Часовые погоды. Л., 1970.
8. И. П. Половина. Воздействие на внутримассовые облака слоистых форм. Л., 1971.
9. Л. П. Струзэр. Изв. АН СССР, сер. геофиз., 3, 1967.

ОБЩАЯ И НЕОРГАНИЧЕСКАЯ ХИМИЯ

Е. Г. ДАВИТАШВИЛИ, М. Е. МОДЕБАДЗЕ, Н. Г. ШЕЛИЯ

ИССЛЕДОВАНИЕ КОМПЛЕКСНЫХ ОКСАЛАТОВ ТЕРБИЯ

(Представлено членом-корреспондентом Академии Н. А. Ландия 10.2.1972)

Приведены результаты исследования взаимодействия в водном растворе нитрата тербия с $\text{Me}_2\text{C}_2\text{O}_4$ (где Me=Na, K, NH_4 , Cs) методом растворимости при 25°C. Системы изучены при исходной концентрации $\text{Tb}(\text{NO}_3)_3 \cdot 6 \text{H}_2\text{O}$, равной 0,02 мол/л, в пределах отношений между реагирующими компонентами (n) от 0,5 до 10. Выделенные в системах твердые фазы изучены химически и термогравиметрически. Методика исследования и анализа равновесных растворов и твердых фаз приведена в работах [1,2]. Данные, полученные при исследовании систем $\text{Tb}(\text{NO}_3)_3 - \text{Me}_2\text{C}_2\text{O}_4 - \text{H}_2\text{O}$, где Me=Na, K, NH_4 , показывают, что во всех системах в интервале $n = 0,5 - 1,5$ образуется нормальная соль $\text{Tb}_2(\text{C}_2\text{O}_4)_3 \cdot x \text{H}_2\text{O}$. В эквивалентной точке ($n = 1,5$) происходит полное осаждение ионов тербия, о чем свидетельствует отсутствие ионов тербия в равновесных растворах. При $n > 1,5$ наблюдается взаимодействие между сбрасывавшимся нормальным оксалатом тербия, находившимся в осадке, и избытком $\text{Me}_2\text{C}_2\text{O}_4$, вследствие чего сперва выпадают твердые фазы переменного состава, в которых отношение оксалата к тербию изменяется от 1,5 до 2, а затем при $n \geq 2$ во всех трех системах заканчивается формирование комплексной соли типа $\text{Me}[\text{Tb}(\text{C}_2\text{O}_4)_2] \cdot x \text{H}_2\text{O}$. Состав осадка не изменяется даже при больших значениях n , доказательством чего служит постоянство соотношения $\text{C}_2\text{O}_4^{2-}$ и Tb^{3+} в твердых фазах, равно о 2.

Состав выделенных соединений подтверждается также химическим анализом, результаты которого приведены ниже.

При $n = 4,0$ найдено, %:

$\text{Tb}^{3+} - 38,56$; $\text{C}_2\text{O}_4^{2-} - 42,90$; $\text{Na}^+ - 5,29$; $\text{H}_2\text{O} - 13,25$.

Вычислено для $\text{Na}[\text{Tb}(\text{C}_2\text{O}_4)_2] \cdot 3 \text{H}_2\text{O}$, %:

$\text{Tb}^{3+} - 38,58$; $\text{C}_2\text{O}_4^{2-} - 42,70$; $\text{Na}^+ - 5,58$; $\text{H}_2\text{O} - 13,10$.

Найдено, %:

$\text{Tb}^{3+} - 36,24$; $\text{C}_2\text{O}_4^{2-} - 39,95$; $\text{K}^+ - 9,16$; $\text{H}_2\text{O} - 14,22$.

Вычислено для $\text{K}[\text{Tb}(\text{C}_2\text{O}_4)_2] \cdot 3,5 \text{H}_2\text{O}$, %:

$\text{Tb}^{3+} - 36,36$; $\text{C}_2\text{O}_4^{2-} - 40,27$; $\text{K}^+ - 8,94$; $\text{H}_2\text{O} - 14,41$.

Найдено, %:

$\text{Tb}^{3+} - 42,31$; $\text{C}_2\text{O}_4^{2-} - 47,66$; $\text{NH}_4^+ - 4,58$; $\text{H}_2\text{O} - 5,05$;

Вычислено для $\text{NH}_4[\text{Tb}(\text{C}_2\text{O}_4)_2] \cdot \text{H}_2\text{O}$, %:

$\text{Tb}^{3+} - 42,84$; $\text{C}_2\text{O}_4^{2-} - 47,45$; $\text{NH}_4^+ - 4,85$; $\text{H}_2\text{O} - 4,86$.

Диоксалатотербиаты натрия, калия и аммония — кристаллические соединения белого цвета, инконгруэнтно растворимые в воде. Тер-

мическое разложение этих соединений протекает в основном в двух стадиях. На первой стадии происходит дегидратация, а на второй — разложение солей с образованием различных оксалато-карбонатных и оксикарбонатных промежуточных соединений, конечным продуктом которых в зависимости от температуры нагревания являются или тербиаты щелочных металлов, или окись тербия.

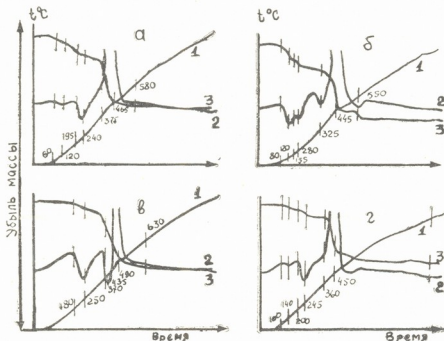


Рис. 1. Термогравиограммы:
 а— $\text{Na}[\text{Tb}(\text{C}_2\text{O}_4)_2] \cdot 3\text{H}_2\text{O}$;
 б— $\text{K}[\text{Tb}(\text{C}_2\text{O}_4)_2] \cdot 3,5\text{H}_2\text{O}$;
 в— $\text{NH}_4[\text{Tb}(\text{C}_2\text{O}_4)_2] \cdot \text{H}_2\text{O}$;
 г— $\text{Cs}[\text{Tb}(\text{C}_2\text{O}_4)_2] \cdot 1,5\text{H}_2\text{O}$;
 1—кривая изменения температуры; 2—дифференциальноптермическая кривая; 3—Кривая изменения массы

На рис. 1,а представлена термогравиограмма $\text{Na}[\text{Tb}(\text{C}_2\text{O}_4)_2] \cdot 3\text{H}_2\text{O}$. Эндотермические эффекты в интервале температур 60—120°C, 120—190°C, 195—240°C показывают ступенчатую потерю кристаллизационной воды. По гравиметрической кривой убыль массы при этих температурах составляет 4,43; 6,64; 13,28, т. е. 1; 1,5; 3 H_2O .

Образующаяся безводная кристаллическая соль устойчива при 240—375°C, и, наконец, в диапазоне 375—600°C происходит разложение безводного диоксалатотербиата натрия до NaTbO_2 . Чистая окись тербия получается при температуре ~1200°C.

На термогравиограмме $\text{K}[\text{Tb}(\text{C}_2\text{O}_4)_2] \cdot 3,5\text{H}_2\text{O}$ (рис. 1,б) эндотермические эффекты с минимумами 120 и 180°C соответствуют дегидратации соли. По результатам химического анализа и расчету по гравиметрической кривой убыль массы составляет 8,19% ($2\text{H}_2\text{O}$) и 13,95% ($3,5\text{H}_2\text{O}$) соответственно. Безводная $\text{K}[\text{Tb}(\text{C}_2\text{O}_4)_2]$ устойчива до 325°C, после чего начинается разложение соли. При 550—600°C остаток отвечает формуле KTbO_2 , который выше 1100—1200°C превращается в окись тербия.

На термогравиограмме $\text{NH}_4[\text{Tb}(\text{C}_2\text{O}_4)_2] \cdot \text{H}_2\text{O}$ (рис. 1 в) эндоэффект с минимумом 250°C показывает потерю кристаллизационной воды. (Убыль массы при этом равна 5, 88 %). Эндоэффект с минимумом 435°C и экзоэффект с максимумом 490°C соответствуют удалению NH_4 и разложению оксалат-иона. При 600—650°C продуктом термического разложения $\text{NH}_4[\text{Tb}(\text{C}_2\text{O}_4)_2] \cdot \text{H}_2\text{O}$ является Tb_2O_7 .

В системе с оксалатом цезия взаимодействие между компонентами носит несколько иной характер, чем в предыдущих системах. В данном случае взаимодействие нормального оксалата тербия с избытком

осадителя начинается несколько раньше — до окончания осаждения ионов тербия (присутствие ионов тербия в равновесном растворе), т. е. нормальная соль в этой системе существует только до $n < 1,5$. От $n = 1,5$ до $n = 2$ осадок представляет смешанную соль, а при $n \geq 2$ до $n = 10$ состав осадка отвечает формуле $Cs[Tb(C_2O_4)_2] \cdot xH_2O$. Химический анализ, приведенный ниже, указывает на существование в этой соли 1,5 молекулы кристаллизационной воды.

При $n = 4,0$ найдено, %:

Tb^{3+} — 32,28; $C_2O_4^{2-}$ — 35,66; Cs^+ — 26,35; H_2O — 5,62.

Вычислено для $Cs[Tb(C_2O_4)_2] \cdot 1,5 H_2O$, %:

Tb^{3+} — 32,12; $C_2O_4^{2-}$ — 35,56; Cs^+ — 26,86; H_2O — 5,46.

На термогравиограмме (рис. 1,г) отчетливо видны две ступени потери кристаллизационной воды. При 100 — 140°C и 200 — 245°C $Cs[Tb(C_2O_4)_2] \cdot 1,5 H_2O$ теряет 1,75% (0,5 H_2O) и 5,24% (1,5 H_2O) своей массы. Безводная соль существует до 360°C, после чего начинается разложение оксалатного комплекса, которому на термогравиограмме соответствует экзоэффект с максимумом 450°C. Потеря при этом составляет 26,22%. С увеличением температуры до 550—600°C убыль массы достигает 30,77%, что соответствует образованию $CsTbO_2$. Выше 900°C $CsTbO_2$ полностью превращается в Tb_4O_7 .

Следует отметить, что комплексные оксалаты тербия, так же как и оксалаты других тяжелых РЗЭ, характеризуются некоторой растворимостью в избытке соответствующего оксалата щелочного металла. Так, растворимость тербия при $n=20$ в системе с $K_2C_2O_4$ составляет $4,0 \cdot 10^{-4}$ г-ион/л Tb^{3+} , а в системе $Cs_2C_2O_4$ — $6,0 \cdot 10^{-4}$ г-ион/л Tb^{3+} . При $n=40$ растворимость увеличивается до $3,2 \cdot 10^{-3}$ г-ион/л Tb^{3+} в системе с $K_2C_2O_4$ и $3,9 \cdot 10^{-3}$ г-ион/л Tb^{3+} в системе с $Cs_2C_2O_4$.

Как видно из экспериментальных данных, тербий в водных растворах с оксалатами щелочных металлов и аммония образует труднорастворимые соединения двух типов: нормальный $Tb_2(C_2O_4)_3 \cdot 10 H_2O$ и комплексные оксалаты $Me[Tb(C_2O_4)_2] \cdot xH_2O$, где $Me = Na, K, NH_4, Cs$; $x = 3; 3,5; 1; 1,5$ соответственно.

Академия наук Грузинской ССР
Институт физической и органической химии
им. П. Г. Меликишвили

(Поступило 11.2.1972)

ზოგადი და არაორგანული ქიმია

გ. დავითავაშვილი, გ. მოძველები. ნ. ჯელია

ტერბიუმის კომპლექსური ოქსალატების გამოკვლევა

რეზიუმე

ხსნადობის მეთოდით 25°C გამოსავალ ხსნარში მორქეაგირუ ნივთიერებათა ფარდობის ფართო ზღვრებში შესწავლილია სისტემები $Tb(NO_3)_3 \cdot Me_2C_2O_4 \cdot H_2O$, სადაც $Me = Na, K, NH_4, Cs$. ნაჩვენებია, რომ აზოტმჟევა ტერბი-



უმსა და ტუტე ლითონებისა და ამონიუმის ოქსალატებს შორის ურთიერთფერ-დების რეაქცია მიმღინარეობს ორ სტადიად—ტერბიუმის ნორმალური— $Tb_2(C_2O_4)_3 \cdot 10 H_2O$ და კომპლექსური— $Me[Tb(C_2O_4)_2] \cdot xH_2O$ ოქსალატების წარმოქმნით. გამოყოფილია მყარ მდგომარეობაში და შესწავლილია ქიმიური და თერმოგრავიმეტრული მეთოდებით $Na[Tb(C_2O_4)_2] \cdot 3H_2O$, $K[Tb(C_2O_4)_2] \cdot 3,5H_2O$, $NH_4[Tb(C_2O_4)_2] \cdot H_2O$, $Cs[Tb(C_2O_4)_2] \cdot 1,5H_2O$.

GENERAL AND INORGANIC CHEMISTRY

E. G. DAVITASHVILI, M. E. MODEBADZE, N. G. SHELIA

A STUDY OF THE COMPLEX OXALATES OF TERBIUM

Summary

The $Tb(NO_3)_3 - Me_2C_2O_4 - H_2O$ (where $Me = Na, K, NH_4, Cs$) systems have been studied by the method of solubility at 25°C and in a wide range of the ratios of reacting components. It has been established that in the initial mixture interaction of $Tb(NO_3)_3$ and $Me_2C_2O_4$ with the ratio of $C_2O_4^{2-} : Tb^{3+}$ proceeds stepwise, with the formation of normal $Tb_2(C_2O_4)_3 \cdot 10 H_2O$ and complex— $Me[Tb(C_2O_4)_2] \cdot xH_2O$ oxalates (where $Me = Na, K, NH_4, Cs; x = 3; 3.5; 1; 1.5$ respectively).

ლიტერატურა — REFERENCES

1. Е. Г. Давиташвили, М. Е. Модебадзе. Сообщения АН ГССР, 38, 2, 1965.
2. Е. Г. Давиташвили, Н. Г. Шелия, М. Е. Модебадзе. Сообщения АН ГССР, 51, № 3, 1968.



ФИЗИЧЕСКАЯ ХИМИЯ

О. М. МДИВНИШВИЛИ

ИССЛЕДОВАНИЕ СТРУКТУРНЫХ ГИДРОКСИЛОВ В МОНТМОРИЛЛОНИТЕ МЕТОДОМ ТЕРМИЧЕСКОГО АНАЛИЗА

(Представлено академиком Г. В. Цицишвили 10.2.1972)

Закономерности удаления связанный воды в глинах при изменении количества тепла в системе исследовались многими авторами [1—8], однако большинство работ посвящено изучению форм сорбированной воды и очень мало внимания уделено структурным гидроксилам, различное положение которых в кристаллической решетке обуславливает различную энергию дегидроксилирования структурных элементов, что при соответствующей методике анализа должно фиксироваться на дифференциальных термических кривых (ДТА) и кривых потери веса (TG и DTG).

Объектом исследования служила в основном натриевая форма монтмориллонита, исследовались также его кальциевая и алюминиевая формы. Кривые термовесового анализа были записаны на дериватографе фирмы МОМ (Венгрия). Известно, что термограмма монтмориллонита характеризуется тремя эндотермическими эффектами в интервалах температур 100—200, 600—700 и 800—900°. Первая эндотермическая реакция связана с потерей адсорбированной воды, вторая — с дегидроксилированием октаэдрического слоя, а третья — с разрушением кристаллической решетки минерала. Однако ряд авторов [9, 10] считает, что третий эндотермический эффект связан либо с потерей гидроксилов, связанных в октаэдрах с магнием (Пейдж), либо с дегидроксилированием гидроксильных тетраэдров в кремнекислородных слоях (Мак-Конелл).

С целью исключения влияния сорбированной воды навески глины (0,4 г) нагревались в дериватографе до 300°C и выдерживались при этой температуре в течение 3 часов. После этого нагрев прекращался и образец остывал, оставаясь в закрытой печи. После достижения нормальной температуры снимались дифференциальная термокривая и кривая потери веса в интервале температур 20—1000°C. Как видно на рис. 1,а, б, обработка Na-монтмориллонита при 300°C меняет форму дифференциальной кривой в области температур 700—1000°C. Вместо двух эндотермических эффектов с максимумами при 700 и 835° в обработанном образце фиксируются три эндотермических эффекта с максимумами при 690, 760 и 830°.

Разобъем высокотемпературную часть кривой на два участка с интервалами температур 450—730° (AB) и 730—900° (BC). Для Na-монтмориллонита, не подвергнутого обработке при 300°C, потеря веса на участке AB составляет 6,1%, а на участке BC — 0,8%. После обработки потеря веса на участке AB составляет 5,6%, а на участке BC — 1,35%. Если суммировать потерю веса на участках AB и BC, то для обоих случаев эта сумма будет равна 6,9—6,95%. Таким образом, можно считать, что появление нового эндотермического эффекта не связано

с третьим эндотермическим эффектом, а является следствием дифференциации второго эндотермического эффекта.

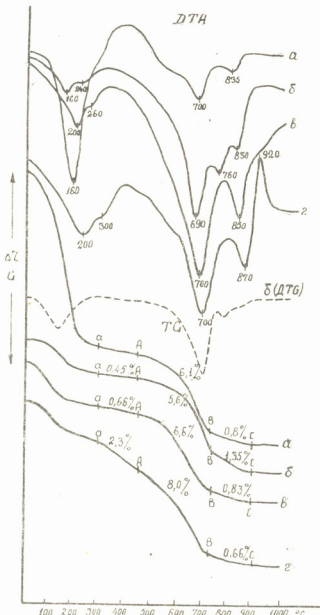


Рис. 1.4. Дифференциальные кривые нагревания (ДТА) и кривые потери веса (TG) монтмориллонита, модифицированного различными катионами: а—исходный Na-монтмориллонит; б, в, г—Na-, Ca- и Al-монтмориллониты, предварительно нагретые до 300° С

Анализ кривых потери веса (TG) на участках аА, АВ и ВС показывает, что образцы Na-, Ca- и Al-монтмориллонита существенно отличаются друг от друга. С увеличением заряда обменного катиона увеличивается потеря веса в интервале температур 300—730° и уменьшается потеря веса в интервале температур 730—900°.

Вода гидратации обменных катионов, количество которой зависит от природы катиона, должна практически полностью удаляться из глины в результате 3-часовой выдержки при температуре 300° и последующем нагреве. Выше 300° вклад в общую величину потери веса могут дать гидроокиси металлов, которые дегидратируются в интервале температур 300—400°. Однако ни на одной кривой термические эффекты гидроокисей не фиксируются. Возможно, что основания находятся на поверхности минералов глин в виде поверхностных соединений, которые образуются за счет кристаллизационного структурообразования, протекающего при температурах до 300° [11].

Активными центрами, участвующими в таком взаимодействии, могут быть гидроксильные группы поверхности, которые проявляют кислотные свойства. Возможно, что вначале это только адсорбционное взаимодействие, однако при нагреве оно может переходить в прочное поверхностное соединение:



Такое поверхностное соединение подвергается дегидроксилированию, по-видимому, немного раньше (300 — 450°C), чем происходит дегидроксилирование октаэдрического слоя (450 — 700°C), и тем самым завышает потерю веса на участке аА. В то же время потеря в весе на участке ВС должна уменьшаться на то количество гидроксильных групп, которое вступает во взаимодействие с основными формами алюминия. Необходимо отметить, что в результате дегидроксилирования рассмотренных выше поверхностных соединений на поверхности глинистых минералов могут возникать ненасыщенные атомы, а следовательно, новые активные центры. Их активность будет тем больше, чем больше заряд поверхности атома. Таким образом, количество воды, выделяемой монтмориллонитом между 700 и 900° , может колебаться в пределах 0.6 — 1.3% H_2O .

Наши данные подтверждают данные Мак-Конелла, который для того же температурного интервала дает значение потери веса, равное 0,5—1,0% H_2O , однако мы считаем, что эта потеря веса связана не с гидроксилами, расположенными в кремнекислородном слое в тетраэдрической координации, а с свободными гидроксилами на границах тетраэдрического слоя. Оставшиеся свободными (0,6% H_2O) нереакционноспособные гидроксильные группы на границах структурных слоев удаляются с поверхности при более высокой температуре (800—850°). Полученные данные позволяют предположить, что третий эндотермический эффект на кривой нагревания монтмориллонита в интервале температур 800—900°C связан не только с разрушением кристаллической решетки минерала, но и с его дегидроксилированием.

Таким образом, на основании проведенного термогравиметрического исследования можно заключить, что дегидроксилирование кристаллической решетки монтмориллонита включает в себя дегидроксилирование поверхностных соединений, связанных гидроксилов алюмо-кислородного слоя и свободных гидроксилов, связанных с атомами кремния на границах кремнекислородного слоя.

Кавказский институт минерального сырья

(Поступило 11.2.1972)

ଓଡ଼ିଆ ଶବ୍ଦାଳ୍ପିନୀ

三 8503503030

၁၇၀၈

О. М. MDIVNISHVILI

INVESTIGATION OF STRUCTURAL HYDROXYLS IN MONTMORILLONITE BY THE METHOD OF THERMAL ANALYSIS

Summary

A second endothermal effect has been differentiated in the thermal curve of Na-montmorillonite. It is suggested that the effect results from dehydroxylation of the octahedral structural layer and from a partial dehydroxylation of the tetrahedral layers. It is also shown that the third endothermal effect of montmorillonite is connected with the destruction of the crystal lattice, as well as with the final dehydroxylation.

©0606303 — ЛИТЕРАТУРА — REFERENCES

1. Ф. Д. Овчаренко. Гидрофильность глин и глинистых минералов. Киев, 1961.
2. Ц. М. Райтбурд, М. В. Слонимская. ДАН СССР, 163, № 1, 1965.
3. Г. Д. Багратишивили, Г. В. Цицишвили, Б. В. Пайлодзе. Сб. «Поверхностные явления на алюмосиликатах». Тбилиси, 1965.
4. Е. А. Шурыгина. Сб. «Исследование и использование глины». Львов, 1958.
5. М. В. Эриш. Изв. вузов, Химия и химическая технология, 3, № 4, 1960.
6. S. B. Hendricks, R. A. Nelson, L. T. Alexander. J. Am. Chem. Soc., 62, 1940, 1457.
7. R. C. Mackenzie. Mineral Soc., 4, 1957.
8. Н. И. Горбунов, И. Г. Цюрупа, Е. А. Шурыгина. Рентгенограммы, термограммы и кривые обезвоживания минералов, встречающихся в почвах и глинах. М., 1952.
9. J. B. Page. Soil Sci., 56, 1943, 273.
10. D. McCoppin. Am. Miner., 35, 1950, 166.
11. О. М. Мдивнишвили. Труды КИМСа, вып. V (7), сер. технол., 1963.

ЭЛЕКТРОХИМИЯ

И. А. БАЙРАМАШВИЛИ, Р. М. ПИРЦХАЛАШВИЛИ

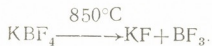
ОПРЕДЕЛЕНИЕ ПОТЕНЦИАЛА РАЗЛОЖЕНИЯ KBF_4 ПРИ ЭЛЕКТРОЛИЗЕ РАСПЛАВЛЕННЫХ СОЛЕЙ

(Представлено академиком Р. И. Агладзе 9.2.1972)

Вопрос о характере электродных процессов, протекающих при электролизе расплава $\text{KCl} + \text{KBF}_4$, решить однозначно затруднительно, так как не установлены величины потенциалов разряда присутствующих ионов, а также характер и концентрации этих ионов [1, 2].

Согласно литературным данным [3, 4], при производстве элементарного бора процесс электролиза начинается с напряжения 4 в.

В настоящей работе напряжение разложения для солей KBF_4 определялось следующими методами: по термодинамическим данным для соответствующей реакции, по обратной э. д. с. и снятием кривой I—U. Соль фторобората калия выше точки плавления (547°C) [5] разлагается с отщеплением фтористого бора по реакции



В дальнейшем BF_3 диссоциирует на B^{3+} и 3F^- . В растворе фторобората калия ион бора забирает три электрона с катода и восстанавливается до атома бора:



Если анод представляет собой химический инертный (в данном электролите) материал, например графит, то электроны должны появляться в результате разряда анионов с последующей рекомбинацией до газообразного фтора [6]:



Известно [7], что если процесс ведется при постоянном давлении и температуре, то согласно уравнению Томсона, произведенная им работа равна убыли свободной энергии:

$$\Delta G^\circ = -n 23050 E, \quad (1)$$

где E — э.д.с. численно равная напряжению разложения, в; n — число электронов, участвующих в реакции (в нашем случае $n=3$).



Для рассматриваемой нами реакции $B\ddot{F}_3 \rightarrow B + 3/2 F_2 + \Delta G^\circ$ при температуре 827°C $\Delta G^\circ = -257600$ кал [8]. Подставив значение ΔG° в уравнение (1), получим напряжение разложения $E = 3,725$ в.

Метод определения обратной э.д.с. при электролизе путем замера напряжения ячейки применяется в том случае, если электроды свое обратимое значение потенциала сохраняют достаточно длительное время [2].

В результате наших наблюдений напряжение на клеммах ячейки (обратная э.д.с.) в обеспеченном состоянии составляет 2 в. Сила тока при нашем электролизе 450 а.

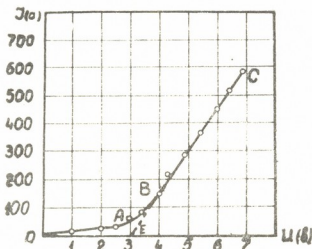


Рис. 1. Кригая I—U для расплавленной соли KBF_4

В случае применения инертных электродов (никелевые, графитовые) процесс электролиза ведется при постепенно повышающемся напряжении. Зависимость силы тока от напряжения на ячейке и представляет собой кривую I—U (рис. 1). Кривая состоит из двух участков — ОА, на котором наблюдается наибольшее повышение силы тока при значительном росте напряжения, и почти прямолинейном ВС, на котором значительно повышается сила тока при относительно медленном росте напряжения. На втором участке, называемом омической ветвью кривой, можно наблюдать выделение на электродах продуктов электролиза. На рис. 1 омическая ветвь кривой складывается из напряжения разложения соли и из падения напряжения на омических сопротивлениях. Экстраполяция омической ветви до оси абсцисс дает отрезок ОЕ, равный напряжению разложения [2]. В нашем случае оно составляет 3,04 в.

Несовпадение значения напряжения разложения, полученное нами методом кривой U—I (3,04 в) и термодинамическим расчетом (3,725 в), указывает на недопустимость использования в нашем случае уравнения Томсона.

Для расчета необходимо, видимо, использовать более точные уравнения Джипбса—Гельмгольца, которые учитывают изменение значения температурного коэффициента э.д.с. Работы в этом направлении проводятся.

ი. ბაირამაშვილი, რ. პირტსხალაიშვილი

ელექტროლიზი

ლილობილი მარილების ელექტროლიზის დროს KBF_4 დაშლის
პოტენციალის განსაზღვრულია

რეზიუმე

ნაშრომში ლილობილი მარილების ელექტროლიზის დროს KBF_4 დაშლის
პოტენციალი განსაზღვრულია შემდეგი საში მეთოდით: თერმოდინამიკური მო-
ნაცემებით, დენის ამორფუისას უკუგაზომვით და I—U მრუდის აგებით.
ექსპერიმენტული მონაცემების საფუძველზე დადგენილია, რომ ლილობილი
მარილების ელექტროლიზის დროს KBF_4 დაშლის პოტენციალი შეადგენს
3,04 v.

ELECTROCHEMISTRY

I. A. BAIRAMASHVILI, R.M. PIRTSKHALAIASHVILI

DETERMINATION OF THE DECOMPOSITION POTENTIAL OF KBF_4 AT THE ELECTROLYSIS OF ITS MOLTEN SALTS

Summary

The decomposition potential of KBF_4 by electrolysis of its molten salts was calculated by a number of methods: (a) by using the thermodynamic data for the reaction, (b) by the inverse E. M. F., and (c) by plotting the I—U curve. An analysis of the data shows that the decomposition potential of KBF_4 can be taken to be 3.04 v.

ლიტერატურა — REFERENCES

- Г. Е. Каплан, Г. Ф. Силина, Ю. И. Остроушко. Электролиз в металлургии редких металлов. М., 1963.
- Ю. В. Баймаков, М. М. Ветюков. Электролиз расплавленных солей. М., 1966.
- Производство бора в США. Доклад на Женевской конференции, № 1836, 1958.
- G. Miller. J. Electrochem. Soc., 106, 815, 1959.
- Справочник химика, т. II. М., 1951.
- В. С. Глестон. Введение в электрохимию. М., 1951.
- А. А. Жуховицкий, Л. А. Шварцман. Физическая химия. М., 1963.
- К. Е. Уикс, Ф. Е. Блок. Термодинамические свойства 65 элементов, их окислов, галогенидов, карбидов и нитридов. М., 1965.

ЭЛЕКТРОХИМИЯ

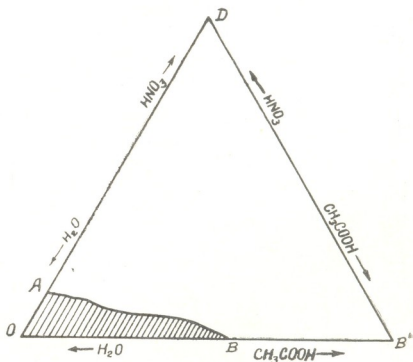
Р. И. АГЛАДЗЕ (академик АН ГССР), Д. Е. КАРЧАВА,
Р. К. КВАРАЦХЕЛИЯ

О ВОССТАНОВИМОСТИ НИТРАТ-ИОНА НА КАТОДАХ
ИЗ Hg, Pb И Sn В СИСТЕМЕ $\text{HNO}_3\text{—CH}_3\text{COOH}\text{—H}_2\text{O}$

На основе имеющихся в литературе данных по электрохимическому восстановлению HNO_3 [1, 2] нами было изучено восстановление последней в тройной смеси $\text{HNO}_3\text{—CH}_3\text{COOH}\text{—H}_2\text{O}$ на катодах из Hg, Pb и Sn при соблюдении экспериментальных условий, описанных нами ранее [3].

Полученные нами экспериментальные данные представлены на рис. 1—3. Подобная диаграмма восстановимости нитрат-иона была получена ранее в системе $\text{HNO}_3\text{—H}_2\text{SO}_4\text{—H}_2\text{O}$ для ртутного и медного катодов [1, 2]. Рассчитанные с помощью формулы Симпсона области OABO, OA"BV"O и AA"BV"BA характеризуют восстановимость нитрат-иона (с образованием NH_2OH или NH_3) в данных экспериментальных условиях на данном катоде. Оказалось, что только 7,46% всех составов смеси $\text{HNO}_3\text{—H}_2\text{SO}_4\text{—H}_2\text{O}$ дают возможность осуществления процесса $\text{HNO}_3 \rightarrow \text{NH}_2\text{OH}$ на ртутном катоде [2], в то время как, согласно рис. 1,

Рис. 1. Область электрохимического восстановления HNO_3 на ртутном катоде в NH_2OH в системе $\text{HNO}_3\text{—CH}_3\text{COOH}\text{—H}_2\text{O}$. Катодная плотность тока 10 а/дм², температура католита 20°C



для этого же катода в системе $\text{HNO}_3\text{—CH}_3\text{COOH}\text{—H}_2\text{O}$ область восстановимости, по сравнению с сернокислыми растворами, увеличилась на 16,7%, составляя 8,7% от всех возможных составов смеси $\text{HNO}_3\text{—CH}_3\text{COOH}\text{—H}_2\text{O}$.

Известно, что в процессе восстановления HNO_3 большое значение, наряду с материалом катода, имеют природа и концентрация присутствующей в католите кислоты [2—4]. Увеличение области образования NH_2OH , очевидно, можно объяснить меньшей агрессивностью смеси $\text{HNO}_3\text{—CH}_3\text{COOH}\text{—H}_2\text{O}$, по сравнению со смесью $\text{HNO}_3\text{—H}_2\text{SO}_4\text{—H}_2\text{O}$.



Примечательно, что область восстановимости нитрат-иона характеризуется невысокими концентрациями HNO_3 . То обстоятельство, что выше кривой АВ гидроксиламин в конечном католите не обнаруживается, объясняется, по нашему мнению, разрушением самого гидроксиламина по реакции [5]



Известно [5], что азотистая кислота также способна разрушить гидроксиламин:



Химическое разрушение NH_2OH в данной агрессивной среде можно, следовательно, представить следующим образом:



В осуществлении этих окислительно-восстановительных процессов, по всей вероятности, главную роль играет рост концентрации HNO_3 в тройной смеси, а также рост общей агрессивности смеси с ростом содержания обеих кислот в данной тройной смеси. Ясно, что основной причиной исчезновения гидроксиламина в отработанном католите во всех рассмотренных нами случаях можно считать процессы (1)–(3), а не изменение характера и направления восстановления [4].

Восстановлению HNO_3 на медном катоде (при плотности тока 2 а/дм²) в смеси $\text{HNO}_3\text{—H}_2\text{SO}_4\text{—H}_2\text{O}$ с образованием аммиака соответствует 9% всех составов тройной смеси, а при всех других составах наблюдается химическое растворение катода, что связывается [1] с возможным изменением состояния HNO_3 в смеси согласно равновесию [6]



Именно с молекулярной формой HNO_3 связывается растворение медного катода [7], а равновесие (4) смешается слева направо с ростом концентраций обеих кислот тройной смеси, т. е. с ростом общей агрессивности смеси. Появление молекулярной HNO_3 наблюдается уже с 20%-ной концентрации H_2SO_4 [6].

Надо отметить, что анализ электрохимического поведения катодов из Hg , Pb и Sn осложняется недостаточностью данных по тройной смеси $\text{HNO}_3\text{—CH}_3\text{COOH}\text{—H}_2\text{O}$; очевидно, с ростом концентраций обеих кислот можно допустить возможность осуществления превращений, аналогичным превращениям, представленным равновесием (4). С другой стороны, известно, что с ростом концентрации CH_3COOH в двойной смеси $\text{CH}_3\text{COOH}\text{—H}_2\text{O}$ наблюдаются ассоциация ацетат-анионов и образование гидратов уксусной кислоты. Эти явления сильно выражены в двойной смеси $\text{CH}_3\text{COOH}\text{—H}_2\text{O}$, в особенности с 60%-ной концентрацией CH_3COOH [8]. В осуществлении реакций (1)–(3) и в смеси $\text{HNO}_3\text{—CH}_3\text{COOH}\text{—H}_2\text{O}$ большую роль играет рост концентрации обеих кислот и в особенности HNO_3 , а растворение катода при данной поляризации объясняется, очевидно, ростом общей агрессивности смеси.

В случае свинцового катода в системе $\text{HNO}_3\text{—CH}_3\text{COOH}\text{—H}_2\text{O}$ (рис. 2) 8, 68% всех составов смеси дают возможность осуществления процесса $\text{HNO}_3 \rightarrow \text{NH}_2\text{OH}$. Выше кривой АВ происходит разрушение NH_2OH согласно реакциям (1)–(3).

На оловянном катоде (рис. 3) образованию NH_2OH соответствует 8,69% (кривая AB) всех возможных составов тройной смеси, а образо-

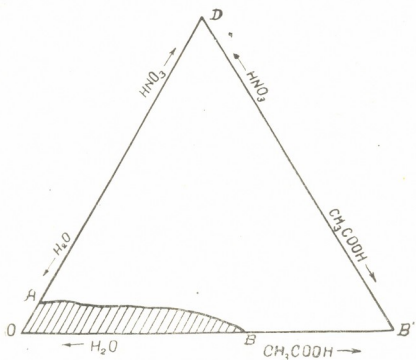
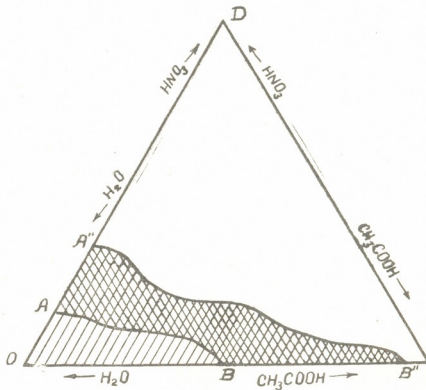


Рис. 2. Область электрохимического восстановления HNO_3 на свинцовом катоде в NH_2OH в системе $\text{HNO}_3-\text{CH}_3\text{COOH}-\text{H}_2\text{O}$. Катодная плотность тока 20 а/дм², температура католита 20°C

ванию HN_3 (до растворения катода) — 28,6% (кривая A''B''). Области, где NH_2OH не обнаруживается и образуется только NH_3 (AA''B''BA), соответствует 28,6% — 8,69% = 19,91% всех составов смеси.

Рис. 3. Области электрохимического восстановления HNO_3 на оловянном катоде в NH_2OH и NH_3 в системе $\text{HNO}_3-\text{CH}_3\text{COOH}-\text{H}_2\text{O}$. Катодная плотность тока 20 а/дм², температура католита 20°C



Полученные данные показывают, что на стадии образования NH_2OH влияние катодного материала в ряду $\text{Hg}-\text{Pb}-\text{Sn}$ в одной и той же тройной смеси ($\text{HNO}_3-\text{CH}_3\text{COOH}-\text{H}_2\text{O}$) незначительно. Такое сходство не является неожиданным с учетом определенного сходства основных физико-химических характеристик ртути, свинца и олова. Большее отличие электрохимического поведения катодов в сернокис-



льых и уксуснокислых смесях обусловлено, очевидно, различным воздействием этих смесей на реакции (1)–(3) и на растворение катодов при данной поляризации.

Академия наук Грузинской ССР
Институт неорганической химии
и электрохимии

(Поступило 23.1.1972)

მდგრადი კონტაქტი

6. აბლაძე (საქონთველოს სსრ მეცნ. აკადემიის აკადემიკოსი), ჯ. შარჩაბა, რ. კვარაცხელია

$\text{HNO}_3 - \text{CH}_3\text{COOH} - \text{H}_2\text{O}$ სისტემაზე Hg, Pb და Sn
კათოდებზე ნიტრატ-იონის აღდგენის უსახებ

რეზიუმე

შესწავლითა Hg, Pb და Sn კათოდებზე კათოდის მასალისა და კათოლიტის შედგენილობის გავლენა ნიტრატ-იონის აღდგენისას. აღნიშნული კათოდებისათვის აგებული და ნაანგარიშევია ნიტრატ-იონის აღდგენის უბრინი $\text{HNO}_3 - \text{CH}_3\text{COOH} - \text{H}_2\text{O}$ სისტემაში.

ELECTROCHEMISTRY

R. I. AGLADZE, J. E. KARJAVA, R. K. KVARATSKHELIA

ON THE REDUCIBILITY OF NITRATE-ION ON THE Hg, Pb AND Sn CATHODES IN THE $\text{HNO}_3 - \text{CH}_3\text{COOH} - \text{H}_2\text{O}$ SYSTEM

Summary

The influence of the cathodic material and composition of catholyte on the reducibility of nitrate-ion on the Hg, Pb, and Sn cathodes has been studied. The sections of nitrate-ion reduction in the $\text{HNO}_3 - \text{CH}_3\text{COON} - \text{H}_2\text{O}$ system has been plotted and calculated for the cathodes in question

ლიტერატურა — REFERENCES

1. Р. К. Кварацхелия. ЖПХ, 44, 10, 1971.
2. Р. К. Кварацхелия. Об электрохимическом получении гидроксиламина. Автoreферат, Тбилиси, 1965.
3. Р. И. Агладзе, Д. Е. Карчава, Р. К. Кварацхелия. Сообщения АН ГССР, 51, 1, 1968.
4. В. Г. Хомяков, М. Я. Фиошин. Хим. пром., 6, 1958, 335.
5. G. W. Mellor. A Comprehensive Treatise on Inorganic and Theoretical Chemistry, VIII, 1940, 279.
6. N. S. Bayliss, D. W. Watts. Australian J. Chem., 16, 6, 1963.
7. E. A. Travnick, J. H. Weber. J. Phys. Chem., 65, 2, 1961.
8. Е. Мюллер. Новые воззрения в органической химии, М., 1960, 346.

ХИМИЧЕСКАЯ ТЕХНОЛОГИЯ

П. Н. ДЖАПАРИДЗЕ, В. И. АДЭС, С. Н. ХАДЖИЕВ

ВЛИЯНИЕ ПИРОЛИТИЧЕСКОГО УГЛЕРОДА НА ПОРИСТУЮ СТРУКТУРУ КОКСА

(Представлено членом-корреспондентом Академии Н. А. Ландия 9.2.1972)

Процесс термического разложения углеводородного газа на поверхности металлургического кокса, идущий с образованием пиролитического углерода, имеет большое практическое значение. Он позволяет регулировать такие важнейшие свойства кокса, как реакционная способность и механическая прочность, повышает выход твердого остатка и т. д. В предыдущих работах было рассмотрено влияние пироуглерода на некоторые физико-механические [1] и физико-химические [2] свойства доменного топлива. Настоящее сообщение посвящено вопросу изменения пористой структуры кокса в процессе науглероживания.

Пористая структура исходных и науглероженных образцов изучалась методом ртутной порометрии [3], по которому связь между внешним давлением p и эффективным радиусом R наименьших пор, заполняемых ртутью, определяется соотношением

$$R = \frac{2\sigma \cdot \cos \Theta}{p},$$

где σ — поверхностное натяжение ртути, Θ — краевой угол смачивания стенки поры ртутью. С помощью приведенного уравнения и экспериментальных данных по объему V всей зашедшей в поры ртути при различных давлениях можно вычислить распределение пор по размерам.

Опыты были проведены на ртутном поромере модели AG/65, позволяющем проводить измерения в интервале внешнего давления от 0,1 до 1000 ата, т. е. определять поры от 100 мк до 75 Å. В качестве исходных образцов были взяты формованный кокс Харьковского коксохимического завода (ХКЗ) и обычный кокс Руставского металлургического завода (РМЗ). Их характеристика дана в табл. 1.

Предварительно прокаленные при 1100°C образцы кокса науглероживались на установке [1] при температуре 1030°C и подаче газовой смеси, содержащей 80% CH₄ и 20% H₂. Для уменьшения искажений, связанных с неравномерностью осаждения пироуглерода по глубине пористой структуры, размеры образцов не превышали 7—10 мм.

Кокс	Технический анализ, %		Плотность, г/см ³		Пористость, %
	Ac	Vr	истинная	кажущаяся	
ХКЗ	10,78	2,95	1,655	0,796	51,9
РМЗ	15,30	0,96	1,799	0,920	48,9

На рис. 1 представлены кривые распределения удельного объема пор в координатах V , $\lg R$. Вычисленные по этим кривым удельные объемы пор различных эквивалентных радиусов исходных и науглероженных образцов сведены в табл. 2.

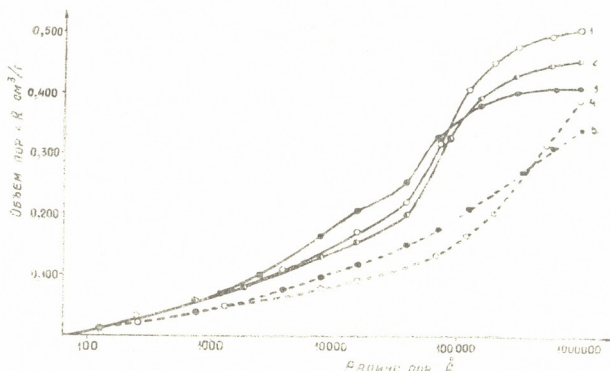


Рис. 1. Интегральные кривые распределения пор по размерам для формованного (сплошная линия) и металлургического (пунктирная линия) кокса. Образцы: 1, 4—исходные, 2—5, 1% C, 3—12,2% C, 5—7,2% C

Предварительно произведем оценку представительности измеряемой порометром части пор. Расчет общего объема пор по данным истинного и кажущегося удельных весов для формованного и металлургического кокса дает соответственно 0,652 и 0,531 см³/г. В то же время разрешающая способность порометра, согласно табл. 2, позволяет охватить объем пор, равный соответственно 0,515 и 0,398 см³/г, что составляет 75—80% общего объема.

Полученные данные позволяют выяснить характер и особенности науглероживания кокса. Отложение пироуглерода в порах различных размеров протекает неравномерно. Наиболее интенсивное образование пироуглерода наблюдается в макропорах (более 75000 Å), степень уменьшения этих пор приблизительно в 1,5 раза превышает уменьшение общего объема пор для формованного и в 1,3 раза для металлургического кокса. С другой стороны, проникновения пироуглерода в мик-

ропоры (менее 2000 Å) вообще не наблюдается, характер распределения этих пор остается без изменения при любой степени науглероживания. Что же касается промежуточных пор (75000—2000 Å), то на их поверхности также образуется пироуглерод. Однако необходимо учитывать, что наблюдаемый при этом эффект уменьшения объема может оказаться заниженным за счет крупных пор, перешедших в процессе науглероживания в разряд более мелких. Высказанное предположение подтверждается наличием аномалии у наиболее науглероженных образцов в области пор 15000—1500 Å, которая заключается в увеличении объема этих пор по сравнению с исходным значением. Расположение данной аномалии указывает также на то, что по мере науглероживания происходит смещение нижнего предела доступных для пироуглерода пор в сторону более крупных. При этом микропоры, будучи недоступными для проникновения пироуглерода, не остаются открытыми, так как происходит постепенное зарастание их входов.

Таблица 2

Кокс	Размеры пор, Å										общий
	1000000—300000		300000—75000		75000—15000		15000—1250		1250—75		
	см ³ /г	%	см ³ /г								
ХК3											
исходный	0,041	7,9	0,139	27,0	0,163	31,6	0,101	19,7	0,071	13,8	0,515
+ 5,1% C	0,026	5,7	0,120	26,2	0,156	34,1	0,085	18,5	0,071	15,5	0,458
+ 12,2% C	0,009	2,2	0,069	16,6	0,127	30,7	0,134	32,4	0,075	18,1	0,414
PM3											
исходный	0,143	35,9	0,117	29,4	0,042	10,6	0,049	12,3	0,047	11,8	0,398
+ 7,2% C	0,069	20,1	0,087	25,4	0,067	19,5	0,072	21,0	0,048	14,0	0,343

Характер образования пироуглерода на поверхности кокса позволяет понять некоторые причины изменения свойств материала по мере науглероживания. Так, наблюдаемое в [2] снижение реакционной способности науглероженных образцов объясняется не только образованием более стойкого к окислению пиролитического покрытия, но и уменьшением активной поверхности кокса в основном за счет блокировки мелких пор пироуглеродом, что затрудняет к ним доступ окислителя.

Сравнение пористой структуры исходных образцов металлургического и формованного кокса позволяет также объяснить причину повышенной реакционной способности последнего. Как видно из рис. 1, доля мелких и промежуточных пор, составляющих основную часть внутренней поверхности материала, в формованном коксе намного выше, чем в металлургическом (~ в 2,5 раз), а это означает, что должна быть выше и реакционная способность — величина, пропорциональная удельной поверхности.

Академия наук Грузинской ССР
 Институт неорганической химии
 и электрохимии

(Поступило 10.2.1972)

პ. ჯაფარიძე, ვ. ადესი, ს. ხაჯიევი

პიროლიზური ნახშირბადის გავლენა კოქსის ფორმის სტრუქტურაზე

რეზიუმე

ვერცხლისწყლის ფორმეტრიის მეთოდით შესწავლილია დაყალიბებული და ჩვეულებრივი კოქსის საწყისი და დანაშირებული ნიმუშების სტრუქტურა. დადგენილია, რომ პიროლიზური ნახშირბადის წარმოქმნა განსაკუთრებით აქტიურად მიღის მიკროფორების ზედაპირზე ($> 75000 \text{ \AA}$) და საერთოდ ვერც აღწევს მიკროფორებში ($< 1500 \text{ \AA}$). შემჩნეულია ფორებას განაწილების სხვადასხვა ხასიათი ზომების მიხედვით საწყის ნიმუშებში, რაც ხსნის დაყალიბებული და მეტალურგიული კოქსების თვისებებში ზოგიერთ განსხვავებას.

CHEMICAL TECHNOLOGY

P. N. JAPARIDZE, V. I. ADES, S. N. KHADJIEV

THE EFFECT OF PYROLYTIC CARBON ON THE POROUS STRUCTURE OF COKE

Summary

The structure of carbonized samples of both formed and metallurgical coke has been investigated by the method of porosity measurement using mercury. The most intensive formation of pyrocarbon was observed at the surface of macropores ($> 75000 \text{ \AA}$). On the other hand, it does not enter micropores (1500 \AA) at all.

ლიტერატურა — ЛИТЕРАТУРА — REFERENCES

1. П. Н. Джапаридзе, В. И. Адэс. Кокс и химия, № 10, 1969.
2. П. Н. Джапаридзе, В. И. Адэс. Химия твердого топлива, № 4, 1971.
3. И. П. Оглоблина. Сб. «Конструкционные углеррафитовые материалы». М., 1964.

შ. ცხოვრიშვილი, პ. ხარიტონევი

მასალები მუშაორიაკოვის მეთოდით არაგვის ხეობის გოლო
მონაკვეთის თანამდეროვე ტექტონიკურ მოძრაობათა
დახასიათებისათვის

(წარმოადგინა აკადემიკოს ა. ჯავახიშვილმა 21.1.1972)

ნეოტექტონიკური მოძრაობების შესწავლა თანამედროვე რეგიონული
გეომორფოლოგიური კვლევის ერთ-ერთი მნიშვნელოვანი ამოცანაა. უკანასკ-
ნელი ათონდე წლის განმავლობაში მასზე არაერთ შეკვეთი მიმდინარე-
ბა შეჩერებული. ამჟამად აღნიშნულ მოძრაობათა შესწავლისას მარტო მისი
არსებობის ფაქტისა და ნიშნის დადგენა არა საკმარისი და საჭიროა თუნდაც
მიახლოებითი რაოდენობრივი დახსიათება. ეს ითქმის როგორც ნეოტექ-
ტონიკური მოძრაობების ადრეული, ისე მოძრევნო ეტაპების შესახებ, რომ-
ლებიც უახლოეს და თანამედროვე ტექტონიკურ მოძრაობებად იწოდება.

ქვემოთ, ვიდრე მკითხველის ყურადღებას შევაჩერებთ არაგვის ხეობის
ბოლო მონაკვეთში მიმდინარე ტექტონიკურ მოძრაობებზე, რომლებიც პროფ.
ი. მეშჩერიაკოვის მეთოდით იქნა შესწავლილი, საჭიროა წინასწარ თვით მე-
თოდის არსისა და იმ მცირე კორექტივის შესახებ ვილაპარაკოთ, რომელიც
მასში ჩვენ შევიტანეთ. ამის საჭიროებას გვიკრახახებს ის გარემოება, რომ
რამდენადაც ჩვენთვის ცნობილია, ეს პირველი შემთხვევაა მისი გამოყენებისა
საქართველოში.

აღნიშნულ მეთოდს საფუძვლად უდევს ხეობის ძირისა და ჭალისზედა
პირველი ტერასის მორფოლოგიურ და ფაციალურ ნიშნებზე დაკირვება. სწორედ კომპლექსური ნიშნების ანალიზი წარმოადგენს მეშჩერიაკოვის მეთო-
დის ძირითად უპირატესობას სხვებთან შედარებით. უფრო ზუსტად თუ ვიტყ-
ვით, აღნიშნული მეთოდით რთული თანამედროვე ტექტონიკური მოძრაობის (E)
ხასიათისა და სიდიდის გაშიფვრა ხდება ხეობის ოთხი (g, h, i და m) მორ-
ფო-ფაციალური ელემენტების ანალიზით მიღებულ შედეგთა ჯამით. მათ შორის
g ჭალის აგებულებაში მონაწილე ფაციესების (კალაპოტების და ჭალის) ფრაქ-
ციული შედეგის მონაბეჭდის ხასიათია, h — ჭალისზედა 1 ტერასისა და ჭალის სი-
მაღლეთა შეფარდების სიდიდე, 1 — ჭალის სიგანის მახასიათებელი, ხოლო
m — ჭალის დაჭაობების ხარისხი.

ზემოაღნიშნული თთოვეული ელემენტის რაოდენობრივი შეფასება ხდება
ბალებში, წინასწარ შემუშავებული სკალის მიხედვით, რომელიც ჩვენ მიერ
შეტანილი ზოგიერთი ცვლილებებით და დამატებით* შემდეგი სახისაა.

აღნიშნული მეთოდით შესწავლილ იქნა არაგვის ხეობის ბოლო მონაკ-
ვეთი სოფ. უინვალიდან ქ. მცხეთამედე. დაკირვებები ჩატარდა რვა აღგილზე,
რომელთავან ქვემოთ ცნობები ხუთი მათგანის შესახებ გვექნება.

1. არაგვის ხეობა წიწამურის ხილთან. აქ წარმოდგენილია აკუმულაციუ-
რი ტიპის ჭალისა და ჭალისზედა 1 ტერასა, რომელთა შეფარდებითი სი-
მაღლე შესაბამისად 1 და 7 მეტრია. ჭალის ტერასის ფაციესი მდინარის საშუა-
ლო დონის ზემოთ რიყნარით არის წარმოდგენილი, ხოლო ხეობის ძირი თით-
ქმის მთლიანად მდინარის კალაპოტს უკავია. აღნიშნულიდან გამომდინარე,

* აღნიშნულ შეტანილ ცვლილებებს.



g-ს მახასიათებელი შეიძლება შეფასდეს +1 ბალით, h +4, 1 +1, k ხოლო m +1 ბალით. მაშასადამე, აქ E=+7 ბალს.

1	ჭალის აგებულების თავისებურება	g (ბალებში)
	მდინარის საშუალო დონის ზემოთ ქრონიული ჭალა ჭალაპოტის ფაციესი საშუალო დონის ზემოთ, კალმულაციური ჭალა კალაპოტისა და ჭალის ფაციესი საშუალო დონეზე სილის აშერა სიჭარე საშუალო დონის ზემოთ ლაშის " " " " "	+3* +2* +1* 0 -1 -2
2	ჭალის სიმაღლითი მდგრადებელის თავისებურება $\left(k = \frac{\text{ჭალის ზემოთი მდგრადებელი}}{\text{ჭალის სიმაღლე}} \right)$	h (ბალებში)
	k-ს მაჩვენებელი > 5-ზე " " 4-5 " " 3-4 " " 2-3 " " 1-2 1 " ტერასა " სულ არა 1	+4* +3* +2* +1* 0 -1* -2*
3	ჭალის სიგანის მახასიათებელი	1 (ბალებში)
	ჭალა არაა და მდინარე ჩქერიანია სწრაფი დინებისა ჭალაპოტის სიგანე რამდენჯერზე მეტია ჭალის სიგანეზე ჭალის სიგანე კალაპოტის სიგანის ნახევარია ჭალისა და ჭალაპოტის სიგანე დაახლოებით თანაბარია ჭალის სიგანე 2-ჯერ აღემატება ჭალაპოტის სიგანეს ჭალის სიგანე რამდენჯერმე აღემატება კალაპოტის ასეთივე მაჩვენებელს	+4* +3* +2* +1* 0 -1* -2*
4	ჭალის ტერასის დაჭაობების მაჩვენებელი	m (ბალებში)
	ჭალა შეტალია ჭალა სუსტადაა დაჭაობებული ჭალა ძლიერ არის დაჭაობებული	+1 -1 -2

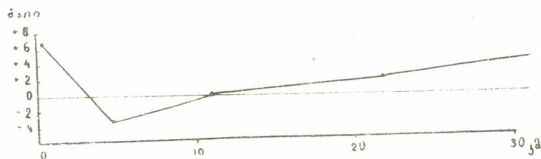
2. არაგვის ხეობა გაზაფრინი ტრასის გადაკვეთის აღგილზე. აქაც გვაჭვს აკუმულაციური ტიპის როგორც ჭალის, ისე ჭალისზედა 1 ტერასა შესაბამისად 1,3 და 3,5 მეტრის სიმაღლისა. მდინარის საშუალო დონის ზემოთ ჭალის აგებულებაში მოსჩანს ძირში კალაპოტის ფაციესი (რიყნარი), ზემოთ კი სილი. ჭალის სიგანე რამდენჯერმე აღემატება კალაპოტისას და სუსტადა დაჭაობებული. ყოველივე ეს საფუძველს იძლევა ე შევაფასოთ -1, h +1, 1 -2 და 3 -1 ბალით. აქედან გამომდინარე, E = -3 ბალს.

3. არაგვის ხეობა სოფ. ნატახტარის ჩრდილოეთით. ამ უბანზე ჭალისა და ჭალისზედა პირველი ტერასის სიმაღლე შესაბამისად 1,5 და 5 მეტრია. ჭალი ალუვიონით (რიყით) არის აგებული, რომელსაც დაჭაობების ნიშნები აქვთ. მისი სიგანე რამდენჯერმე მეტია კალაპოტის ასეთივე მაჩვენებელზე. აღნიშნულიდან გამომდინარე, აქ g = +1, h = +2, 1 = -2, m = -1 ბალს. მაშასადამე E = 0-ტ.

4. არაგვის ხეობა დუშეთის გზის დასაწყისთან. აქაც გვაქვს ჭალის და ჭალის სტედა 1 ტერასა შესაბამისად 1,5 და 5 მეტრზე. პირველი მათგანი მთლიანად ალუვიონით (რიყით) არის აგებული, ჭალის სიგანე რამდენერმე დიდია ჭალაპორტისაზე და დაჭაობების ნიშნები არა აქვს. მაშასადამე აქ ე შეიძლება შეფასდეს +1 ბალით, $h+2$, $l-2$, $m+1$, ე. ი. $F=+2$ ბალს.

5. არაგვის ხეობა უინვალის ახალშენთან. აქ ჭალის ტერასის სიმაღლე 1 მეტრია, პირველი ტერასისა კი 6. პირველი მათგანი რიყნარითა აგებული, მშრალი ზედაპირისაა და რამდენიმეჯერ მეტია კალაპოტის სიგანესთან შედარებით. აღნიშნულის გამო $g=+1$, $h=+4$, $l=-2$, $m=+1$. მათი ჯამი $E=+4$ ბალს.

ზემოაღნიშნული შედეგები გრაფიკულად შემდეგი სახით წარმოგვიდგება.



არაგვის ხეობის ბოლო მონაცემთა თანამეტროვა ტექტონიკური მოძრაობის ინტენსივობის გრაფიკი

როგორც გრაფიკიდან ჩანს, არაგვის ხეობის ბოლო მონაცემთში აღგილი აქვს როგორც აზევებითს, ისე დაძირვის მოძრაობებს. ამათგან პირველი მაქსიმალურ მაჩვენებელს აღწევს საგურამოს ქედის გაკვითის ზოლში, სოფ. მისაქციელის მიდამოს შემდეგ კი აზევება თანდათანობითა და არა მკვეთრი. მათ შორის მდებარე ზოლს დაძირვითი ტენდენცია აქვს, რომლის მაქსიმალური მაჩვენებელი სოფ. ნატახტარსა და საგურამოს შორისაა.

თბილისის სახელმწიფო უნივერსიტეტი

(შემოვიდა 4.2.1972)

ФИЗИЧЕСКАЯ ГЕОГРАФИЯ

Ш. А. ЦХОВРЕБАШВИЛИ, Д. А. ХАРИТОНАШВИЛИ

МАТЕРИАЛЫ ДЛЯ ХАРАКТЕРИСТИКИ СОВРЕМЕННЫХ ТЕКТОНИЧЕСКИХ ДВИЖЕНИЙ НИЖНЕЙ ЧАСТИ ДОЛИНЫ АРАГВИ ПО МЕТОДУ МЕЩЕРЯКОВА

Резюме

Как показывают результаты наших наблюдений, ниже с. Жинвали на 35-километровом отрезке долины р. Арагви в настоящее время происходит как вздымание, так и опускание. Максимальный показатель вздымания (+7 баллов) наблюдается на северном склоне Сагурамского хребта у Ццамури, а максимум опускания (-3 балла) — между сс. Натахтари и Сагурамо. Выше с. Мисакциели восходящие тектонические движения постепенно увеличиваются и в окрестностях с. Жинвали достигают +4 балла.



Sh. A. TSKHOVREBASHVILI, J. A. KHARITONASHVILI

MATERIALS FOR THE DESCRIPTION OF THE PRESENT TECTONIC MOVEMENTS OF THE LOWER PART OF THE ARAGVI VALLEY USING MESHCHERYAKOV'S METHOD

Summary

The results of observations conducted southward of the village of Zhinvali over a 25 km section of the Aragvi valley show that the area in question is at present characterized both by rise and subsidence. The maximum of uplift is observed on the northern slope of the Saguramo ridge near Tsitsamuri, amounting to +7, and the maximum of subsidence (-3) is between the villages of Natakhtari and Saguramo. Above the village of Misaktsieli ascensive tectonic movements gradually increase, reaching +4 in the vicinity of Zhinvali.

ლიტერატურა — REFERENCES

1. Ю. А. Мещеряков, В. А. Филькин. Изв. АН СССР, сер. географ., № 1, 1965.

ФИЗИЧЕСКАЯ ГЕОГРАФИЯ

Р. Г. ГОБЕДЖИШВИЛИ

СОВРЕМЕННОЕ ОЛЕДЕНЕНИЕ РАЧИНСКОЙ ЧАСТИ ЮЖНОГО СКЛОНА ЦЕНТРАЛЬНОГО КАВКАСИОНИ

(Представлено академиком Ф. Ф. Давитая 14.1.1972)

Исследуемый район охватывает южный склон Центрального Кавкасиони между горами Пасис-мта и Козы-Хох, выше с. Уцера, в бассейне р. Риони. В данном районе ледники довольно широко распространены, что и обуславливает большую значимость их изучения не только для данной территории, но и вообще с точки зрения современного оледенения. В пределах южного склона Кавкасиони бассейн р. Риони по количеству ледников и их площади уступает лишь бассейну Ингури и намного превосходит все прочие бассейны. По данным К. И. Подозерского, здесь насчитывается 45 ледников, среди которых по занимаемой площади особо выделяются Эдена, Зопхито, Киртишо, Боко, Буба, Тбилиси и др.

Бассейн р. Риони расположен между хребтами Шода-Кедела и Центральный Кавкасиони, высота которых превосходит 3000 м. Здесь находятся такие вершины, как Чанчахи, Тбилисисцвери, Бурчула, Цихварга, Лабода и др. Таким образом, распространение ледникового покрова, наряду с другими факторами, обусловлено гипсометрическими и морфологическими особенностями рельефа.

Изучение ледников бассейна р. Риони началось еще в прошлом веке. В частности, в трудах известного исследователя Кавказа Н. И. Динника [1] описаны некоторые ледники (Зопхито, Эдена), хотя и без количественных показателей.

В 1890—1911 гг. была проведена топографическая съемка Кавказа. На основе полученных карт К. И. Подозерский [2] составил первый подробный каталог ледников, который и ныне не потерял своего значения.

В 1917 г. А. Л. Рейнгард [3] определил положение снеговой линии для бассейна р. Риони и его притоков. Он же дал и некоторые сведения о ледниках.

В 1930 г. была опубликована работа Л. А. Варданянича [4], в которой охарактеризован ледник Чанчахи и вычислена величина депрессии снеговой линии для разных стадий оледенения.

В 1959 г. на основе обработки аэрофотоснимков П. А. Иванковым [5] были даны общая численность и площадь ледников бассейна р. Риони.

Большая работа по изучению ледников исследуемого района проделана Д. В. Церетели [6]. В 1937 г. им была проведена маркировка ледников Зопхито и Киртишо, а в 1957 г. после повторных наблюдений были получены очень интересные сведения об изменчивости ледников этого бассейна.

В 1968—1971 г. нами были предприняты гляцио-геоморфологические работы на Рачинском Кавкасиони. Фототеодолитным методом про-



водилась съемка самых крупных ледников бассейна — Зопхито, Лабода, Киртишо, Тбилиси. В период аблляции мы вели наблюдения за скоростью таяния ледников, а для ледника Тбилиси геодезическим методом были определены скорости движения. Остальные ледники бассейна изучались путем полевого дешифрирования аэрофотоснимков. Для наиболее крупных ледников бассейна был составлен каталог (табл. 1).

В бассейне р. Риони ледники распределены крайне неравномерно. Основным очагом оледенения является бассейн р. Чвешура, включающий 40,8% числа всех ледников бассейна Риони и 31,7% их площади. Здесь расположен самый крупный ледник Рачи—Киртишо.

На бассейн р. Чанчахи приходится 20,4% числа ледников и 28,3% их площади. Чанчахские ледники (Боко, Тбилиси) фирновой перемычкой соединяются с фирмовым полем самого крупного ледника северного склона Кавказионаи — Карагум (группа горы Уилпата).

На отдельных притоках р. Риони оледенение распределено почти равномерно (Эденура, Зопхитура, Ноцарула). Эти притоки уступают рр. Чанчахи и Чвешура по степени оледенения и площадям своих бассейнов.

По сравнению с 1917 г., количество ледников увеличилось, площади же их уменьшились (табл. 2). Количественный рост ледников вызван их разделением в период деградации, а уменьшение площади — отступлением. Так, например, ледник Зопхито разделился надвое: западное ответвление — Зопхито и восточное ответвление — Лабода. Общая площадь, таким образом, уменьшилась на 0,35 км².

Ледники бассейна р. Риони морфологически относятся к разным типам. В частности, встречаются долинные каровые и висячие типы ледников (табл. 1).

Таблица 1

Основные характеристики наиболее крупных ледников бассейна р. Риони

Название ледника	Название притока, в бассейне которого расположен ледник	Морфологический тип ледника	Экспозиция	Длина, км	Площадь, км ²	Абсолютная высота
						высшей точки бассейна ледника
						нижней точки конца ледника
Большая Эдена	Большая Эденура	Долинный	ЮЗ	4,15	5,28	4009,0 2480,0
Малая Эдена	Малая Эденура	Висячий	Ю	1,76	1,40	3878,0 3065,0
Зопхито	Зопхитура	Долинный	ЮВ	4,20	2,88	4009,0 2432,0
Лабода	Зопхитура	Висячо-долинный	З	3,30	2,60	4313,7 2410,0
Цители	Чвешура	Висячий	Ю	2,65	1,20	4258,5 2709,0
Киртишо	Чвешура	Долинный	С3	4,80	5,33	3840,5 2425,0
Хваргула	Чвешура	Долинный	ЮЗ	2,91	1,90	4132,4 2665,0
Ноцара левая	Ноцарула	Висячо-долинный	С3	2,51	1,50	4364,5 2967,5
Ноцара правая	Ноцарула	Висячо-долинный	ЮЗ	1,85	1,30	4011,0 3005,0
Боко	Бокосцкали	Долинный	ЮЗ	4,70	5,02	4364,5 2440,0
Тбилиси	Бубисцкали	Долинный	ЮЗ	2,96	3,70	4428,6 2820,0
Буба	Бубисцкали	Долинный	ЮЗ	3,09	2,80	4461,5 2815,0
Чанчахи	Чанчахи	Карово-долинный	Ю	1,99	1,98	4461,5 3000,0

Поскольку ледники расположены на южном склоне центральной части Главного Кавказского хребта, то и их экспозиция в основном южная или юго-западная.

Мы не проводили непосредственного наблюдения над положением фирмовой линии на Рачинском Кавказиони, но для отдельных притоков

Распределение оледенения по отдельным притокам р. Риони

Наименование притоков	Число ледников		Площадь, км ²	
	по А. Л. Рейнгарду (1917)	по Р. Г. Гобеджишвили (1971)	По А. Л. Рейнгарду (1917)	по Р. Г. Гобеджишвили (1971)
Эденура	4	4	7,05	7,06
Золхитура	7	9	7,81	7,91
Чвешура	16	20	20,99	16,26
Ноцарула	6	6	7,05	5,45
Чанчахи	7	10	16,05	14,50
Всего	40	49	58,95	51,18

р. Риони оно было определено А. Л. Рейнгардом [3]. Нами же положение фирмовой линии как для всего бассейна р. Риони, так и для отдельных его притоков было установлено на основе новых топокарт методом Гефера (табл. 3).

Таблица 3

Высота фирмовой линии бассейнов притоков р. Риони

Название притока	На 1917 г. по А. Л. Рейнгарду (м)	1971 г. по Р. Г. Гобеджишвили (м)	Измененная высота фирмовой линии (м)
Эденура	3180,0	3365,0	+185,0
Золхитура	3180,0	3333,0	+153,0
Чвешура	3140,0	3370,0	+230,0
Ноцарула	3140,0	3345,0	+205,0
Чанчахи	3370,0	3494,0	+124,0
Ср. бассейна	3200,0	3380,0	+180,0

Как показывает табл. 3, фирмовая линия в бассейне р. Риони за 1917—1971 гг. в среднем поднялась на 180 м.

Несмотря на то что Рачинский Кавкасиони имеет сравнительно небольшое пространственное распространение (45—50 км), тем не менее явственно прослеживается повышение фирмовой линии с запада на восток. Это изменение вполне согласуется с закономерностями изменения фирмовой линии для всего Кавкасиони.

Академия наук Грузинской ССР

Институт географии им. Вахушти

(Поступило 4.2.1972)

ვიზუალური გეოგრაფია

რ. გოგიავაძე

თანამედროვე გამყინვარება ცენტრალური კავკასიონის სამხრეთ
ფრინველი (რაჭის ვარგლები)

რ ე ზ ი უ გ ე

მოცემულია ჩვენ მიერ 1968—1971 წლებში ჩატარებული გლაციო-გეო-
მორფოლოგიური კვლევის შედეგები; დაზუსტებულია მყინვარების რაოდენო-
ბა და ფართობი; მოცემულია მყინვარების მორფოლოგიური დახსათება;

გამოთვლილია ფირნის ხაზის მდებარეობა მდ. რიონის აუზისა და მისი ცალქე-
 ული შენაკადებისათვის. ჩვენი მასალები შედარებულია პ. ი. რეინჰარდის
 (1917 წ.) მონაცემებთან.

 PHYSICAL GEOGRAPHY

R. G. GOBEJISHVILI

 RECENT GLACIATION OF THE SOUTHERN SLOPE OF THE
 CENTRAL CAUCASUS (RACHA)

Summary

The paper deals with the results of a glacio-geomorphologic study carried out during 1968-1971.

The number of glaciers and their areas have been defined more exactly and their morphographical characteristics given. The position of the névé line has been calculated for the Rioni river basin and its tributaries. The author has compared his data with those obtained by Reinhard in 1917.

ლიტერატურა — ЛИТЕРАТУРА — REFERENCES

1. Н. Я. Динник. Записки КОИРГО, т. XIII, вып. I. Тбилиси, 1884.
2. К. И. Подозерский. Записки КОИРГО, т. XXIX, вып. I. Тбилиси, 1911.
3. А. Л. Рейнгард. Изв. КОИРГО, т. XXV, вып. 1—3. Тбилиси, 1917.
4. В. А. Варданянц. Изв. Гос. рус. геогр. о-ва, т. XII, вып. 2, 1930.
5. П. А. Иванков. Изв. ВГО, т. 91, вып. I, 1959.
6. Д. В. Церетели. Сообщения АН ГССР, т. XXII, № 6, 1959.

3. პირზოგი

მოიანი ქვეყნის რელიეფის შესწავლა და სამუშაოებისათვეს
გამოყენება მოითხოვს არამარტო ზედაპირის პორიზონტული პროექციის ფარ-
თობის ცოდნას, არამედ თუთ ფიზიკური (ტოპოგრაფიული) ზედაპირის ფარ-
თობის ცოდნასაც.

(წარმოადგინა აკადემიისმა ა. ცაგარელმა 23.2.1972)

მთანი ქვეყნის რელიეფის შესწავლა და სამუშაოებისათვეს
გამოყენება მოითხოვს არამარტო ზედაპირის პორიზონტული პროექციის ფარ-
თობის ცოდნას, არამედ თუთ ფიზიკური (ტოპოგრაფიული) ზედაპირის ფარ-
თობის ცოდნასაც.

როგორც ცნობილია, ფართობი იზომება ძირითადად მსხვილმასშტაბინ
ტოპოგრაფიულ რუკებზე, სადაც რელიეფის ფორმების მხოლოდ პორიზონ-
ტული პროექციაა მოცემული. ეს არის ფართობის განსაზღვრის ძირითადი
მეთოდი. მაგრამ, ამავე დროს, რელიეფის ფორმების ტოპოგრაფიული ზე-
დაპირის ფართობის ცოდნას უთულდ აქვს როგორც მეცნიერული, ისე პრაქ-
ტიკული მნიშვნელობა. მეცნიერული მნიშვნელობა მდგომარეობს იმაში, რომ
ტოპოგრაფიული ზედაპირისა და მისი პორიზონტული პროექციის ფართობე-
ბის შეფარდების მნიშვნელოვანი .გარკვეული აზრით, მორფოგრაფიული თავი-
სებურებებით არის განვითარებული და სწორ ჩიცვითს წარმოდგენს გვაძ-
ლებს რელიეფის პორიზონტული და ვერტიკალური დანაწევრების ხარისხზე.
იმავე მაჩვენებელს გარკვეული მნიშვნელობა აქვს სოფლის მეურნეობისა და
სამშენებლო საქმის გაძოლაში.

ფიზიკური ზედაპირის გამოთვლის მეთოდს იძლევა ნ. ვოლკოვი ა.
გვი განიხილავს ამ მეთოდის თეორიის მხოლოდ ძირითად საყითხებს, რუკა-
ზე სამუშაოების შესრულების წესი კი არა აქვს მოცემული.

ჩვენ ვიძლევით აღნიშნული მეთოდის შევსებას და პრაქტიკული შესრუ-
ლების ნიმუშს კვერნავის სერიის ერთ მონაკვეთზე — სხალტბის სერჩე, რომე-
ლიც მოქცეულია მდ. ქსანსა და არაგვს შორის.

კვერნავის სერიის ამ მონაკვეთის ფართობი (პორიზონტული პროექცია)
შეადგენს 74 კვ. კმ. ფიზიკური ზედაპირის ფართობის გამოთვლა კი შემდგა-
თანამდებულობით შესრულდა.

1:25000 მასშტაბის რუკაზე შემოფარგლულ იქნა საკვლევი ტერიტორია,
შემდეგ ქვედებულის მასშტაბის გამოყენებით, ცხრილში მოყვანილი გრადა-
ციების შესაბამისად, საზომი ლუპის საშუალებით გამოიყო განსხვავებული
დახრილობის მქონე ფერდობების m რაოდენობა, რომელთა ფართობები (P_i)
იქნა გაზომილი (იხ. ცხრილი).

ამ ფართობების გადაყვანა შესაბამისი ფიზიკური ზედაპირის ფართობებ-
ში (P_f) მოხდა ნ. ვოლკოვის ცნობილი ფორმულით, რომელიც ჩვენი მაგალი-
თისათვის შემდეგ სახეს იღებს:

$$P_f = P_i \left(1 + \frac{2 H_i}{R} \right) \operatorname{Sec} \alpha_i,$$

სადაც α არის დახრის კუთხე i ფერდობისა, რომლის პროექციის ფართობი
(P_i) იქნა გაზომილი, ხოლო ფორმულაში შემავალი წევრი $1 + \frac{2 H_i}{R}$ წარ-



მოაფენს გამოსათვლელი ფართობის აბსოლუტური სიმაღლის შესაბამის შემაწორებელ კოეფიციენტს, Hi მოცემული i ფერდობის საშუალო აბსოლუტური სიმაღლეა, ხოლო R — დედამიწის სფეროს რადიუსი. ამ კოეფიციენტის სიდიდე H სხვადასხვა მნიშვნელობებისათვის მოცემულია ნ. ვოლკოვის აღნიშნულ წიგნში.

$N_{\#}$	ფერდობის დახრილობა, გრადუსებში (α_i)	ფართობი ჰორიზონტა- ლურ პროექ- ციაში, m^2 (P_i)	ფერდობის სა- შუალო აბსო- ლუტური სიმაღლე, m (H_i)	ფართობის სიმაღ- ლით შემაწორებე- ლი კოეფიციენტი $\left(1 + \frac{2H_i}{R}\right)$	ფერდობის ფიზი- კური (ტონგრა- ფიული) ზედაპირის ფართობი, m^2 (P_i^2)
1	1°-მდე	1,20	520	0,000157	1,887
2	1—2°	11,37	593	0,000188	21,3969
3	3—5°	10,97	642	0,000188	20,681
4	5—10°	12,34	705	0,000220	27,387
5	10—15°	8,25	715	0,000220	18,601
6	15—20°	6,03	681	0,000220	13,917
7	20—25°	5,14	775	0,000251	13,993
8	25—30°	6,55	781	0,000251	18,548
9	30—40°	8,79	813	0,000251	26,946
10	40—50°	3,19	773	0,000251	13,303
11	50—60°	0,32	613	0,000188	1,0485
12	60—70°	0,45	702	0,000220	2,342
13	70°-ზე მეტი	1,20	667	0,000220	15,203
		74,00		$\sum_{i=1}^m P_i^2 = 195,2534$	

ამრიგად, განისაზღვრა საკვლევი მონაკვეთის ჭერ სხვადასხვა დახრილობის მქონე ფერდობების ფიზიკური ზედაპირის ფართობები ცალ-ცალკე, შემდეგ კი მიღებულ იქნა მათი ჭამი — მთლიანი ზედაპირის ფართობი $\left(\sum_{i=1}^m P_i^2\right)$,

ამ ექსპერიმენტმა გვიჩვენა, რომ საკვლევი მონაკვეთის — სხალტბის სერის — ფართობი შეაფენს 74,0 კვ.მ, ხოლო ტოპოგრაფიული ზედაპირის ფართობი 195,8 კვ. კმ. ცხადია, რომ, რაც უფრო მეტია ქედის ძირსა და თხემს შორის სიმაღლეთა სხვაობა და ფერდობების დანაწევრების ხარისხი, მით უფრო მეტია განსხვავება ფიზიკური ზედაპირის ფართობსა და მისი ჰორიზონტული პროექტის ფართობს შორის. ამ ფართობების შეფარდებას გუწივდებთ რელიეფის დანაწევრების ხარისხის მაჩვენებელ კოეფიციენტს (K). ჩვენ მაგალითში $K = 195,8/74,0 = 2,632$. უნდა ვივარიუდოთ, რომ, ვინაიდან კვერნაკის სერის დანარჩენი ნაწილებიც ისეთივე მორფოგრაფიული თავისებურებებით ხასიათდება, როგორც საკვლევი მონაკვეთი, ამიტომ მისი დანაწევრების ხარისხის გაჩვენებელი კოეფიციენტის გასაშუალებული მნიშვნელობა 2,6-ით უნდა განისაზღვროს.

ამ მაგალითის შესაბამისად შეიძლება ითვეას, რომ მთიანი ქვეყნების მიმართ ტერიტორიის ფართობის ჩვეული ცნება, დაყვანილი ვაკე ქვეყნების ფართობის ცნებამდე, ერთგვარ პირობითობასთან არის დაკავშირებული და სინამდვილის მხოლოდ ერთ მხარეს ასახავს.

თბილისის სახელმწიფო უნივერსიტეტი

(შემოვიდა 2.3.1972)

В. И. ЧЕЙШВИЛИ

К ВОПРОСУ ОБ ИЗМЕРЕНИИ ПЛОЩАДЕЙ ГОРНЫХ ТЕРРИТОРИЙ

Резюме

Дана практическая разработка теории измерения площади топографической поверхности горных территорий по топографическим картам. Опыт измерения произведен на примере Схалтбского хребта (Грузия) по участкам склонов с определенными наклонами. Предложено назвать соотношение площадей топографической поверхности и ее горизонтальной проекции коэффициентом расчлененности рельефа и пользоваться им для численной характеристики генетических типов рельефа.

PHYSICAL GEOGRAPHY

V. I. CHEISHVILI

ON THE MEASUREMENT OF AREAS OF MOUNTAIN TERRITORIES

Summary

A theory of area measurement of the topographic surface of mountain territories according to topographic maps has been practically elaborated. An experimental measurement has been carried out on the example of the Skhalth ridge (Georgia) according to slope sections with definite inclinations. It is proposed that the ratio of the area of topographic-surface and its horizontal projection be called 'the coefficient of relief ruggedness', using it for the numerical description of genetic types of relief.

ГЕОЛОГИЯ

Г. А. ЧИХРАДЗЕ

О ЗНАЧЕНИИ МЕЛКИХ СКЛАДОК ПРИ УСТАНОВЛЕНИИ
МОЩНОСТИ НИЖНЕ- И СРЕДНЕЮРСКИХ ОСАДОЧНЫХ ТОЛЩ
ҚАЗБЕҚСКОГО РАЙОНА

(Представлено академиком П. Д. Гамкелидзе 2.2.1972)

В осадочных образованиях нижней и средней юры ущелья р. Терек В. П. Ренгартен [1, 2] выделил снизу вверх следующие свиты: кистинскую J_1^1 (400—500 м), циклаурскую J_1^2 (1000 м), казбекскую J_3^3 (1000 м), гудушаурсскую J_1^3 (1500 м) и бурсачирскую J_2 (1000 м). Суммарная мощность всех этих свит составляет 5000 м.

Такие значения мощностей данных свит принимались большинством исследователей Центрального Кавказа. В последнее время проявилась тенденция к увеличению мощностей указанных свит, причем без привлечения достоверного фактического материала, позволяющего отказаться от прежнего и обосновать новое представление.

Описывая разрез ниже- и среднеюрских отложений по ущелью р. Мнаисидон, Д. И. Панов и В. И. Шевченко [3, 4] указывают следующие мощности свит: для кистинской 1700—1800 м, циклаурской 2500—3000 м, казбекской 1500 м, гудушаурской 4700 м и бурсачирской 3000 м (по мнению этих авторов, по р. Мнаисидон обнажается только нижняя часть этой свиты — 1200 м). Суммарная мощность всех свит более 14000 м, т. е. почти в 3 раза больше, чем это следовало из данных В. П. Ренгартена. Столь большая разница в оценке мощностей одних и тех же отложений вызвана тем, что В. П. Ренгартен учитывает наличие складок, а Д. И. Панов и В. И. Шевченко игнорируют его, принимая за истинную мощность отложений ширину их выходов.

Предварительно следует заметить также, что кистинская свита ущелья р. Мнаисидон, описанная Д. И. Пановым и В. И. Шевченко, не только по мощности, но и литологически столь резко отличается от та-ковой Дарьальского ущелья, что вызывает сомнение идентичность этих свит. Кистинская свита окрестностей Дарьяля, по данным Д. С. Белянкина [5], В. П. Ренгартена [1, 2] и других исследователей, состоит из кварцевых конгломератов, гравелитов, кварцитов и кварцевых песчаников, чередующихся с глинистыми сланцами. Мощность слоев зернистых пород достигает 2—4 и более метров. В свите же, развитой в верховых р. Мнаисидон, описанной Д. И. Пановым и В. И. Шевченко как кистинская, из зернистых отложений отмечается наличие слоев 0,2—0,4 м мелкозернистых плитчатых кварцитовых песчаников, чередую-щихся с глинистыми сланцами. Эта свита по данной характеристике не похожа на кистинскую и выделение ее под этим названием к югу от широты г. Қазбек (3 на рис. 1) нельзя считать вполне обоснованным. Обращает на себя внимание также тот факт, что в циклаурской свите Дарьальского ущелья встречаются кварциты и песчаники. Одноименная же свита по ущелью р. Мнаисидон, по данным Д. И. Панова и В. И.

Шевченко, представлена однообразными глинистыми сланцами [3]. Судя по этим отрывочным литологическим данным, циклаурская свита Дарьальского ущелья более похожа на кистинскую свиту верховьев р. Мнаисидон, чем последняя на типичную кистинскую свиту. Поэтому можно предположить, что к югу от широты горы Казбек, вероятно, развита не кистинская, а циклаурская свита. Для окончательного решения этого вопроса нужно учесть возможность замещения кистинской свиты по простирианию породами, литологически не отличимыми от пород циклаурской свиты.

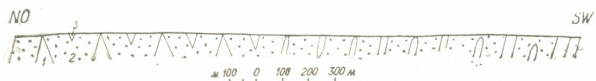


Рис. 1. Схематический профиль песчаниково-сланцевых отложений J_1^3 Казбекский район, ущелье р. Мнаисидон: 1—сланцевая толща, 2—песчаниково-сланцевая толща, 3—сланцевая толща

К югу от циклаурской свиты Д. И. Панов и В. И. Шевченко, описывая последовательно казбекскую, гудушаурскую и нижнюю часть бурсачирской свиты, выделяют в них более 30 пачек, не повторяющихся в разрезе и различающихся по составу, мощностям и характеру чередования песчаников и сланцев.

По мнению этих исследователей, все нижне- и среднеюрские толщи залегают моноклинально и поэтому нет никаких данных, позволяющих предполагать наличие сложной складчатой структуры и уменьшать наблюдаемые мощности свит. Мелкие складки, замеченные ими, считаются незначительными местными осложнениями на общем фоне опрокинутого моноклинального залегания пород [3]. Это мнение несколько уточняет В. И. Шевченко [4], отмечая, что упомянутые дислокации очень незначительны (обычно десятки метров) и захватывают лишь небольшие участки разреза. Такие складки отмечены ими в кистинской и казбекской свитах. О возможности наличия таких небольших складок в верхней части гудушаурской и в низах бурсачирской свит упоминается в этой же работе. Из этих данных и схемы (3 на рис. 1), видно, что складки образовались в толщах, включающих слои песчаников, и в карбонатной толще, а в чередующихся с ними однообразных глинистых сланцах складок почему-то нет.

Не задерживаясь на характеристике крупных структур и характере складчатости, отметим, что нижне- и среднеюрские осадочные толщи сжаты и в общем опрокинуты на юг, что в этих толщах много изоклинальных складок, установление которых часто затруднено в однообразных глинистых сланцах, особенно если мульды синклиналей не обнажены, а замки антиклинией эродированы.

Остановимся только на мелких складках, констатация которых в толщах или пачках, сложенных чередованием песчаников или алевролитов и глинистых сланцев, не представляет трудности. Такие складки весьма отчетливо выражены в казбекской свите Казбекского района, включая ущелье р. Мнаисидон. Ширина складок составляет обычно несколько десятков метров, но иногда достигает и 100—200 м. Этих складок довольно много, т. е. отложения смяты в мелкие складки. Поэтому игнорировать это явление при оценке истинной мощности толщ с ссылкой на то, что складки мелкие, дисгармоничные и т. п., по нашему мнению, недопустимо. В подтверждение сказанного приведем следующий факт.

На левом склоне ущелья р. Мнансидон на расстоянии около 2000 м нами совместно с геологом Л. А. Иараджули был составлен разрез в казбекской песчанико-сланцевой толще до погружения ее под глинистые сланцы с редкими, но характерными карбонатными конкрециями (вероятно, гудушаурская свита).

Как видно на схематическом профиле (рис. 1), северо-восточная половина разреза смята в прямые складки с азимутом падения крыльев на СВ 15—20°, Δ 70—75° и на ЮЗ 170—200°, Δ 70, 75°, а юго-западная половина разреза представлена изоклинальными опрокинутыми на юго-запад складками с азимутами падения крыльев на СВ 20°, Δ 75—80°. На расстоянии 2000 м зафиксировано девять мелких складок. Они сложены толщиной пород мощностью не более 100 м, где песчаники составляют 30—40 м, а глинистые сланцы — 60—70 м.

В однообразных, испытавших интенсивный кливаж глинистых сланцах, как было сказано выше, затруднено установление наличия складок. Но стоит в этих монотонных сланцах появиться признакам, позволяющим устанавливать слоистость пород (тонкие полоски алевролитов, ранне-диагенетические конкреции, более или менее четко выраженная ритмичность и пр.), как сразу появляются и складки. Таких примеров довольно много в Казбекском районе и в самом ущелье р. Мнансидон. На правом берегу этой реки в сланцевой толще гудушаурской свиты наблюдается структура из двух антиклиналей и одной синклинали. Высота ее около 40 м, а ширина 100 м; сложена она пачкой глинистых сланцев мощностью 15—20 м.

Приведенные примеры типичны для нижне- и среднеюрских толщ Казбекского района, поэтому нам кажется, что они являются объективными данными, на основании которых видимые мощности указанных толщ должны быть уменьшены в несколько раз, в среднем в 3—4 раза. Следовательно, суммарная мощность нижне- и среднеюрских осадочных толщ Казбекского района, оцененная В. П. Ренгарденом в 5000 м, по нашему мнению, является максимальной.

Академия наук Грузинской ССР

Геологический институт

(Поступило 2.3.1972)

გეოლოგია

მ. ჩიხრაძე

კატარა ნაოჭების მნიშვნელობის ზესახებ უაზების რაიონის ქვედა
და შუაიურული ნალექების სიმაღლავრცელის დაფარვისას
რეზიუმე

წვრილი ნაოჭების უცწავლის საფუძველზე დაზუსტებულია ყაზბეგის რაი-
ონის ქვედა- და შუაიურული ნალექების ჭრის მიმართი სიმძლავრე.

GEOLOGY

G. A. CHIKHRADZE

ON THE SIGNIFICANCE OF MINOR FOLDS IN ASCERTAINING
THE THICKNESS OF THE LOWER- AND MIDDLE JURASSIC
SEDIMENTARY STRATA OF THE KAZBEGI AREA

Summary

The presence of minor folds in the Jurassic sedimentary strata of the Kazbegi area is confirmed and the true thickness of the deposits is accordingly defined.

ლიტერატურა — ЛИТЕРАТУРА — REFERENCES

1. В. П. Ренгартен. Труды ВГРО, вып. 148, 1932.
2. В. П. Ренгартен. Военно-Грузинская дорога. М., 1937.
3. Д. И. Панов, В. И. Шевченко. ДАН СССР, т. 155, № 1, 1964.
4. В. И. Шевченко. Геотектоника, № 1, 1969.
5. Д. С. Белянкин. Изв. Геол. комитета, т. 43, № 3, 1924.



ЛИТОЛОГИЯ

А. И. МАХАРАДЗЕ

О ПРИСУТСТВИИ ПРОДУКТОВ ЭКСПЛОЗИВНОГО ВУЛКАНИЗМА В ВЕРХНЕЭОЦЕНОВЫХ И МАРГАНЦЕНОСНЫХ ОЛИГОЦЕНОВЫХ ОТЛОЖЕНИЯХ ГРУЗИНСКОЙ ГЛЫБЫ

(Представлено академиком Г. С. Дзоценидзе 8.2.1972)

Установление присутствия продуктов эксплозивного вулканизма в верхнеэоценовых и марганценосных нижнеолигоценовых отложениях Грузинской глыбы имеет большое значение для решения некоторых вопросов генезиса нижнеолигоценовых месторождений и проявлений марганца, железа, фосфоритов и силикатов.

Продукты эксплозивного вулканизма в верхнеэоценовых отложениях Грузинской глыбы выявлены в Мегрельской и Квирильской депрессиях и Рача-Лечхумской синклинали в пределах Лечхуми (рис. 1). В Мег-

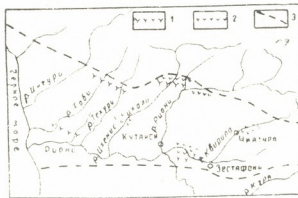


Рис. 1. Распределение вулканогенного материала в верхнеэоценовых и марганценосных нижнеолигоценовых отложениях Грузинской глыбы: 1—верхнеэоценовые туфы и туффиты среднего состава; 2—горизонт кремнисто-цеолитовых туфов и туффитов олигоцена; 3—граница Грузинской глыбы

рельской депрессии и Рача-Лечхумской синклинали вулканогенный материал имеет средний (андезитовый) состав. Он представлен витрическим материалом в виде пепловых частиц и более крупных обломков, зональным плагиоклазом андезинового и андезин-лабрадорового ряда, роговой обманкой, пироксеном, биотитом и кварцем, которые обычно примешаны к зеленоватым мергелям. Туфы распространены ограниченно и встречены на северной периферии Мегрельской депрессии в обнажениях по ущельям рр. Техури и Хоби. Представлены они кристаллокластическими, кристалло-витрокластическими и витрокластическими разновидностями. Мощность отдельных прослоев достигает 0,7 м. Витрический материал всегда бентонитизирован, но в пепловых разновидностях реликтовая пепловая структура хорошо сохранена. В последних, наряду с монтмориллонитом, обнаруживается также гейландин. Прослои такого же типа бентонитизированного витрического пепла мощностью до нескольких сантиметров встречены также среди майкопских глин Мегрельской депрессии.

В верхнеооценовых образованиях Квирильской депрессии продукты вулканизма несколько более кислые, в них плагиоклаз относится к андезиновому и олигоклаз-андезиновому ряду, железо-магнезиальный силикат представлен биотитом, появляется некоторое количество опала и клиноптиолита. В западной части осевой зоны депрессии верхнеоценовые образования представлены туфоаргиллитами псаммо-алевро-пелитовой структуры, которые в восточном направлении по простирации через туфомергели замещаются типичными мергелями.

Продукты вулканизма в нижнем олиоцене образуют горизонт кремнисто-цеолитовых туфов и туффитов, в котором цеолит представлен клиноптиолитом, а кремнезем — опалом, часто перекристаллизованным в халцедон. Отмеченный горизонт выделяется в юго-западной части Дзиурульского массива, на Чиатурском месторождении (мощность до 20 м), в Квирильской депрессии (мощность до 90 м), на южном крыле Рача-Лечхумской синклинали (мощность до 5 м) и в восточной части северного борта Мегрельской депрессии (мощность до 15 м) (рис. 1). В вертикальных разрезах горизонт кремнисто-цеолитовых туфов и туффитов постепенно сменяет разные типы осадочных пород (песчаники на Дзиурульском массиве, мергели, туфомергели и туфоаргиллиты в Рача-Лечхумской синклинали, в Квирильской и Мегрельской депрессиях) и, в свою очередь, столь же постепенно замещается майкопскими глинами.

Примечателен тот факт, что все нижнеолигоценовые месторождения и проявления марганца Грузии локализованы в нижней части кремнисто-цеолитовых туфов и туффитов, образуя отдельный рудный подгоризонт (исключение составляют проявления марганца Шкмерской группы, где продукты эксплозивного вулканизма пока не обнаружены). Каждое месторождение и проявление обнаруживает индивидуальный характер строения: Чиатурское месторождение монометаллическое — марганцевое; проявления Рача-Лечхумской синклинали биметаллические — железо-марганцевые; биметаллического характера также месторождение осевой зоны Квирильской депрессии, которое на северном крыле, в полосе Чхари-Аджамети переходит в монометаллическое — марганцевое. На некоторых участках Рача-Лечхумской синклинали, а также в Мегрельской депрессии рудный подгоризонт представлен исключительно минерализацией железа или вообще отсутствует. Марганцевое оруденение представлено окислами, гидроокислами и карбонатами, а железо — в основном глауконитом, образующим глаукониты и глауконитовые туффиты, в которых отмечается присутствие наиболее крупнообломочного пирокластического материала в виде обломков плагиоклаза размером до 0,5 мм. В Квирильской депрессии, наряду с глауконитом, довольно широким распространением пользуются оолитовые гидрогематит и гематит, образующие иногда отдельные слои мощностью до 1 м. Распространенные на Чиатурском месторождении тонкие прослои гетита и гидрогетита в основном являются продуктами изменения гематита, гидрогематита и глауконита.

Во всех районах распространения горизонта кремнисто-цеолитовых туфов и туффитов, в его нижней части отмечается также присутствие фосфоритов. В юго-западной части Чиатурского месторождения рудный подгоризонт подстилается прослоем желвакового фосфорита. В других районах фосфориты выступают в роли цемента глауконититов и глауконитовых туффитов и, помимо этого, образуют отдельные желваки, которые, в отличие от чиатурских, в большом количестве содержат глауконит.

Продукты вулканизма в нижней части рудного подгоризонта, за исключением Чиатурского месторождения, не отличаются от таковых



верхнеэоценовых образований Квирильской депрессии. Выше по разрезу они постепенно становятся более кислыми и в надрудных образованиях приобретают дацитовый состав. При этом размер и количество пирокластики уменьшаются и активизируются процессы кремненакопления и цеолитообразования. Что касается Чиатурского месторождения, здесь в горизонте кремнисто-цеолитовых туфов и туффитов вулканогенный материал исключительно дацитового состава.

Продукты кислого вулканизма представлены тончайшим витрическим пеплом и в резко подчиненном количестве обломками кварца и плагиоклаза. Пепел всегда замещен монтмориллонитом и опалом, реликтовая пепловая структура обычно полностью утрачена и формы частиц пепла наблюдаются лишь в редких случаях. Монтмориллонит, образовавшийся за счет замещения витрического материала, характеризуется крупночешуйчатым или волокнистым строением, чем и отличается от мелкочешуйчатого терригенного. Установлено, что содержание клиноптиолита в породе находится в прямо пропорциональной зависимости от содержания волокнистого и крупночешуйчатого монтмориллонита. Пепловый материал, помимо стекла, в незначительном количестве представлен также осколками кварца клиновидной и рогульчатой формы. Плагиоклаз в основном олигоклаз-андезинового ряда.

Горизонт кремнисто-цеолитовых туфов и туффитов представлен разнообразными типами пород, в которых содержание пирокластического материала, опала и клиноптиолита варьирует в широких пределах. В нижней части горизонта на Чиатурском месторождении в основном распространены туфопесчанники и туфоалевролиты, а в других районах — туфааргиллиты. В средней части горизонта широким распространением пользуются спонголиты, образующие отдельные линзы, прослои и пачки среди туфовых опалолитов и опаловых туфов и туффитов пелитовой, реже алевро-пелитовой и псаммо-алевро-пелитовой структуры. В последних в разном количестве содержится заполненные опалом или клиноптиолитом, редко глауконитом, спикулы губок. Встречены как чистые спонголиты, так и туфоспонголиты и спонголитовые туфы и туффиты, в которых пирокластический материал в основном псаммитовой и алевритовой размерности. По мере появления пелитового материала (как терригенного, так и вулканогенного) в спонголитах количество спикул уменьшается. В спонголитах наряду с массивной, широко развита слоистая текстура, выраженная чередованием прослоев с разным содержанием спикул и обломочных частиц. Иногда в чередовании участвуют также прослои хемогенного кремнезема (опала) и бентонитизированного витрического туфа.

Спонголиты по простианию и вертикально замещаются опаловыми туффитами пелитовой, реже алевро-пелитовой структуры, которые через опалистые туфааргиллиты переходят в майкопские глины.

Охарактеризованные типы пород слабокарбонатные, а на Дзиурульском массиве в них карбонат отсутствует. Карбонатное вещество представлено мелкокристаллическим кальцитом и доломитом.

Терригенный материал туффитов пелитовой, алевритовой и псаммитовой размерности и в разных районах имеет различный минеральный состав. Так, на Дзиурульском массиве терригенный материал аркозовый и кварц-аркозовый, а в Квирильской депрессии еще и граувакковый. В Мегрельской депрессии и в Рача-Лечхумской синклинали терригенный комплекс аркозово-грауваково-кварцевый.

Распределение кремнезема, марганца, железа, фосфора, бентонитов и цеолитов в горизонте кремнисто-цеолитовых туфов и туффитов не зависит от минерального и гранулометрического состава терригенного

материала. По-видимому, их накопление протекало независимо от обычного хода седиментации в бассейне и контролировалось вулканизмом; влияние терригенного материала выражается лишь в его разбавляющем действии.

Кавказский институт минерального сырья

(Поступило 2.3.1972)

ლითოლოგია

ა. მახარაძე

საქართველოს ბელტის ზედა ეოცენურ და მარგანევის უმცირეს ნალექებში ესპელოზური ვულკანიზმის პროცესების არსებობის შესახებ

რეზიუმე

დასავლეთ საქართველოში, საქართველოს ბელტის ზედა ეოცენურ და მარგანეცის შემცველ ქვედა ოლიგოცენურ ნალექებში აღინიშნება ექსპლოზური ვულკანიზმის პროცესების არსებობა, რომელიც ზედა ეოცენში ანდეზიტური, ხოლო ქვედა ოლიგოცენში — დაციტური შეღენილობისაა.

LITHOLOGY

A. I. MAKHARADZE

ON THE PRESENCE OF PRODUCTS OF EXPLOSIVE VOLCANISM IN THE UPPER EOCENE AND LOWER OLIGOCENE MANGANESE-BEARING DEPOSITS OF THE GEORGIAN BLOCK

Summary

In Western Georgia, in the Upper Eocene and Lower Oligocene manganese-bearing deposits of the Georgian Block products of explosive volcanism occur, being andesitic in the Upper Eocene and dacitic in the Lower Oligocene.

СТРОИТЕЛЬНАЯ МЕХАНИКА

Л. В. ЧИРАДЗЕ

К РАСЧЕТУ ПОЛОГИХ ОБОЛОЧЕК ПРИ ЛОКАЛЬНОМ НАГРУЖЕНИИ

(Представлено академиком К. С. Завриевым 28.2.1972)

Рассматривается пологая оболочка прямоугольного плана, часть поверхности которой нагружена равномерно распределенной нагрузкой, представляющей в плане прямоугольник с размерами c и d (рис. 1). Эта нагрузка представляется так:

$$q(x, y) = \sum_{m=1, 3, \dots}^{\infty} \sum_{n=1, 3, \dots}^{\infty} \alpha_{mn} \sin \frac{m\pi x}{a} \sin \frac{n\pi y}{b};$$

$$\xi + \frac{c}{2} \quad \eta + \frac{d}{2}$$

$$\alpha_{mn} = \frac{4P}{ab cd} \int_{\xi - \frac{c}{2}}^{\xi + \frac{c}{2}} \int_{\eta - \frac{d}{2}}^{\eta + \frac{d}{2}} \sin \frac{m\pi x}{a} \sin \frac{n\pi y}{b} dx dy = \quad (1)$$

$$= \frac{16P}{\pi^2 mn cd} \sin \frac{m\pi \xi}{a} \sin \frac{n\pi \eta}{b} \sin \frac{m\pi c}{2a} \sin \frac{n\pi d}{2b}.$$

Для решения поставленной задачи используется метод наложения фиктивных «ортотропных» систем, согласно которому работа действительного малого элемента оболочки рассматривается в виде совместной работы равновеликих с ним элементов двух фиктивных систем. При этом решение рассматриваемой двумерной задачи легко сводится к интегрированию обыкновенных и дифференциальных уравнений [1, 2]. Согласно этому методу уравнения равновесий пологих оболочек записываются в следующем виде:

а) первая фиктивная система

$$\frac{\partial S_1}{\partial x} + \frac{\partial T}{\partial y} = 0; \quad \frac{\partial Q_1}{\partial x} + \frac{S_1}{R_1} + q_n^{(1)} + P_n = 0; \quad \frac{\partial M_1}{\partial x} + \frac{\partial H}{\partial y} - Q_1 = 0; \quad (2)$$

б) вторая фиктивная система

$$\frac{\partial S_2}{\partial y} + \frac{\partial T}{\partial x} = 0; \quad \frac{\partial Q_2}{\partial y} + \frac{S_2}{R_2} + q_n^{(2)} - P_n = 0; \quad \frac{\partial M_2}{\partial y} + \frac{\partial H}{\partial x} - Q_2 = 0, \quad (3)$$

где $q_n^{(1)}$, $q_n^{(2)}$ —суммарные значения отдельных составляющих всех внешних воздействий, передаваемых соответственно на первую и вторую фиктивные системы; в нашей задаче внешняя нагрузка прикладывается ко второй фиктивной системе, т. е. $q_n^{(1)} = 0$; $q_n^{(2)} = q(x, y)$; R_1 , R_2 —радиусы кри-



визны срединной поверхности оболочек: P_n —радиальные реактивные усилия взаимодействия фиктивных систем; M_1, M_2 —внутренние изгибающие моменты; S_1, S_2 —внутренние нормальные силы; Q_1, Q_2 —внутренние поперечные силы; H, T —внутренние крутящие и сдвигающие усилия, которые с учетом их природы относятся к усилиям взаимодействия.

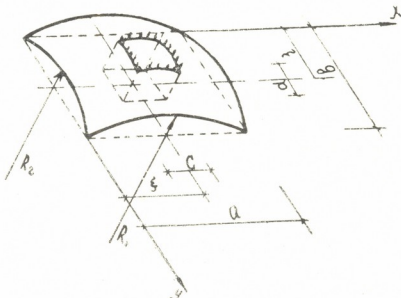


Рис. 1

Для свободно опертой пологой оболочки усилия взаимодействия подбираются в следующем виде:

$$P_n = \sum_{m=1, 3, \dots}^{\infty} \sum_{n=1, 3, \dots}^{\infty} A_{mn} \sin \frac{m\pi x}{a} \sin \frac{n\pi y}{b}; \quad (4)$$

$$H = \sum_{m=1, 3, \dots}^{\infty} \sum_{n=1, 3, \dots}^{\infty} B_{mn} \cos \frac{m\pi x}{a} \cos \frac{n\pi y}{b}; \quad (5)$$

$$T = \sum_{m=1, 3, \dots}^{\infty} \sum_{n=1, 3, \dots}^{\infty} C_{mn} \cos \frac{m\pi x}{a} \cos \frac{n\pi y}{b}, \quad (6)$$

где A_{mn} , B_{mn} , C_{mn} —искомые коэффициенты.

Эти искомые коэффициенты определяются из трех тождественных равенств:

$$W_1 \equiv W_2; \quad \tau \equiv -\frac{12(1+\nu)}{Eh^3} H; \quad \omega \equiv -\frac{2(1+\nu)}{Eh} T, \quad (7)$$

где h —толщина оболочки; E , ν —модуль упругости и коэффициент Пуассона; W_1, W_2 —компоненты радиальных перемещений точек первой и второй фиктивных систем; τ , ω —компоненты деформаций (кручение и сдвиг).

Деформации кручения и сдвига для пологих оболочек имеют вид

$$\tau = \frac{\partial^2 W}{\partial x \partial y}; \quad \omega = \frac{\partial v}{\partial x} + \frac{\partial u}{\partial y}, \quad (8)$$

где u, v —компоненты касательных перемещений точек срединной поверхности оболочки.

Непосредственно из уравнений равновесия (2), (3), которые благодаря выражениям (4)–(6) интегрируются как обыкновенные дифференциальные уравнения, определяются внутренние усилия M_1 , M_2 , S_1 , S_2 , Q_1 , Q_2 по A_{mn} , B_{mn} , C_{mn} и заданное внешнее воздействие.

Следовательно, остается определить A_{mn} , B_{mn} , C_{mn} исходя из равенств (7). Для составления этих равенств необходимо выразить компоненты перемещений через те же коэффициенты A_{mn} , B_{mn} , C_{mn} . Для этого используются следующие равенства:

$$\begin{aligned} \frac{\partial^2 W_1}{\partial x_2} &= -\frac{12}{Eh^3} (M_1 - \nu M_2); \quad \frac{\partial^2 W_2}{\partial y^2} = -\frac{12}{Eh^3} (M_2 - \nu M_1); \\ \frac{\partial u}{\partial x} - \frac{W_1}{R_1} &= \frac{1}{Eh} (S_1 - \nu S_2); \quad \frac{\partial v}{\partial y} - \frac{W_2}{R_2} = \frac{1}{Eh} (S_2 - \nu S_1). \end{aligned} \quad (9)$$

Подставляя в (9) найденные указанным выше путем значения усилий M_1 , M_2 , S_1 , S_2 , получаем систему из четырех обыкновенных дифференциальных уравнений, из которых легко определяем выражения для компонентов перемещений W_1 , W_2 , u , v . Подставляя эти значения в (7), получаем систему из трех алгебраических уравнений для определения искомых коэффициентов.

После определения значений этих коэффициентов задачу можно считать решенной, так как полученные выражения всех расчетных величин будут записаны только через эти коэффициенты и внешние воздействия. Следует только учесть, что до составления тождественных равенств (7) необходимо определить все интегрированные постоянные из граничных условий.

Комбинируя (путем наложения) найденные выше решения с ранее предложенными для возможных случаев загружения оболочки по контуру [3], легко получаем решения для пологой оболочки при различных граничных условиях.

Грузинский политехнический институт
им. В. И. Ленина

(Поступило 9.3.1972)

სამართლო მინისტრი

ლ. ჩირავა

დამრეცი გარსის ანგარიში ლოკალური დატვირთვის დროს

რეზიუმე

მოცემულია მართვულია ფორმის დამრეცი გარსის ანგარიში, რომლის ზე-დაპირის რაიმე ფრთაზე მოქმედებს თანაბრად განაწილებული დატვირთვა, რაც გეგმაში წარმოადგენს მართვულთხელს. ამოცანის ამოსახსნელად გამოყენებულია ფიქტურ „ორთოტროპულ“ სისტემათა შერწყმის მეთოდი.

L. V. CHIRADZE

CALCULATION OF A GENTLY SLOPING SHELL WITH LOCAL LOADING

Summary

The calculation is given of a rectangular-in-contour and rectangular-in-plan gently sloping shell with a part of its surface uniformly loaded. The method of superposition of fictitious "orthotropic" systems is used for solving the problem.

ЛიტეРАТУРА — REFERENCES

- 1 И. И. Гудушаури. Сообщения АН ГССР, 34, № 2, 1964.
2. И. И. Гудушаури, Л. В. Чирадзе. Изв. ТНИСГЭИ им. А. В. Винтера, т. 19, 1969.
3. Л. В. Чирадзе. Труды ГПИ им. В. И. Ленина, № 1 (121), 1968.



РАЗРАБОТКА МЕСТОРОЖДЕНИЙ И ОБОГАЩЕНИЕ

Д. К. ЧОЛОҚАШВИЛИ

ВЛИЯНИЕ НА КРИВИЗНУ ЗАБОЯ ПОЛОЖЕНИЯ ТОЧКИ ПОДСОЕДИНЕНИЯ ТЯГОВОГО ОРГАНА СКРЕПЕРО-СТРУГА

(Представлено академиком А. А. Дзидзигури 5.2.1972)

Одним из перспективных направлений комплексной механизации и автоматизации работ в очистных забоях маломощных пластов, создающих предпосылки для организации безлюдных способов добычи угля, является скреперо-струговая выемка, нашедшая широкое применение как у нас в стране, так и за рубежом.

В ранее опубликованных работах [1—3] показано, что при работе скреперо-струга угольный забой получает выпуклость в сторону отработанного пространства. Такая форма забоя затрудняет управление кровлей, увеличивает расход энергии и т. д.

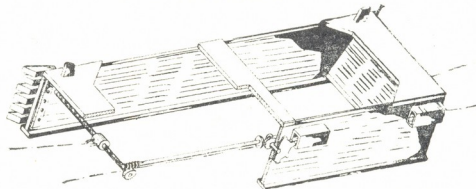


Рис. 1. Скреперо-струг с автоматическим регулятором силы прижатия резцов к груди забоя

На рис. 1 представлена конструкция скреперо-струга с автоматическим регулятором силы прижатия резцов к груди забоя. При движении скреперо-струга вдоль забоя в соответствии с его перемещением x будет изменяться координата b_x точки подсоединения тягового органа [4].

При нахождении скреперо-струга в середине лавы $\left(x = \frac{L}{2}\right)$ сила прижатия к груди забоя $Q = \frac{4 Tb}{\sqrt{4 b^2 + L^2}}$. Учитывая, что ширина скреперо-струга на практике не превышает 1—1,2 м и длина шпинделя b составляет величину того же порядка, а длина лавы L измеряется десятками метров, т. е. $L \gg b$, можно принять, что сила прижатия при $x = \frac{L}{2}$ составляет $Q = \frac{4 Tb}{L}$, где T — натяжение тяговой цепи.

Для сохранения постоянства силы прижатия по всей длине лавы необходимо соблюдение равенства

$$\frac{Tb_x}{\sqrt{b_x^2 + x^2}} + \frac{Tb_x}{\sqrt{b_x^2 + (L-x)^2}} = \frac{4 Tb}{L} \cdot \quad (1)$$

Учитывая также, что $b_x \ll x$ и $b_x \ll (L-x)$, условие сохранения силы прижатия постоянной (уравнение 1) получаем в виде

$$\frac{b_x}{x} + \frac{b_x}{L-x} = \frac{4 b}{L}, \quad (2)$$

откуда

$$b_x = \frac{4 b}{L} \left(x - \frac{1}{L} x^2 \right). \quad (3)$$

Уравнение (3) описывает параболу с максимумом при $x = \frac{L}{2}$, когда $b_x = b$.

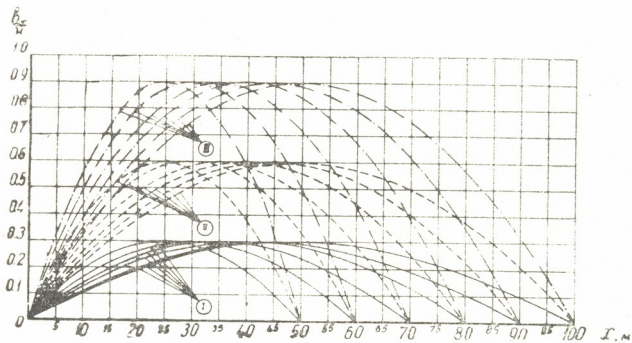


Рис. 2. Кривые для разных длин шпинделя и лавы

На рис. 2 представлены кривые, построенные по уравнению (3) при трех значениях длины шпинделя $b_1=0,3$ м (группа кривых I), $b_2=0,6$ м (группа кривых II) и $b_3=0,9$ м (группа кривых III) для различных значений длины лавы от 50 м до 100 м.

Согласно расчетам, прямолинейность забоя будет обеспечиваться при любой длине b шпинделя. Однако выбор оптимальной длины шпинделя зависит от различных факторов — длины и ширины призабойного пространства, размеров самого скреперо-струга и т. д. и должен производиться в соответствии с конкретными условиями.

Грузинский политехнический институт
им. В. И. Ленина

(Поступило 11.2.1972)

დ. ჩოლოკაშვილი

სპრეცერ-რანდზე მფევი ორგანოს ჩაბმის წერტილის გავლენა
 სანგრევის ხაზის სიმრუდის

რეზიუმე

განხილულია მოდერნიზებულ სკრეპერ-რანდის სანგრევის მკერდზე
 მიჭირის ძალის ანგარიში ლავის სწორხაზოვნობის შენარჩუნების მიზნით.

EXPLOITATION OF DEPOSITS AND CONCENTRATION

D. K. CHOLOKASHVILI

THE EFFECT OF THE POSITION OF THE COUPLING POINT OF A SCRAPER-PLOUGH HAULING MEMBER ON THE CURVATURE OF A COAL FACE

Summary

The force of pressure exerted by a modernized scraper-plough on the longwall face is calculated with a view to maintaining the rectilinearity of the coal face curvature.

ლიტერატურა — REFERENCES

1. В. И. Подружников. Применение скреперо-струговых установок новых конструкций на шахтах Бельгии и Франции. М., 1968.
2. С. А. Саратикиянц, Ю. К. Батманов, А. Ф. Остапенко. Оборудование и технология выемки тонких пластов на угольных шахтах ЧССР. Киев, 1968.
3. Д. К. Чолокашвили, Ю. Н. Киласония. Труды ГПИ им. В. И. Ленина, № 2 (142), 1971.
4. Д. К. Чолокашвили. Решение комитета по делам изобретений и открытий при Совете Министров СССР, № 1295264/22—3.

К. А. ОГАНЕЗОВ, И. А. БАЙРАМАШВИЛИ, В. В. ЧЕПЕЛЕВ

К ВОПРОСУ О РАЗДЕЛЬНОМ ОПРЕДЕЛЕНИИ ПОВЕРХНОСТНОЙ И ОБЪЕМНОЙ СОСТАВЛЯЮЩИХ КИСЛОРОДА В ТВЕРДЫХ ТЕЛАХ

(Представлено академиком Ф. Н. Тавадзе 20.1.1972)

В настоящее время существует ряд методов, которые позволяют определять в твердых телах общее количество газов. Однако часто требуется знание отдельных его составляющих, что не всегда возможно без каких-либо методических усовершенствований известных методов.

Как было показано нами на ряде материалов (рис. 1), весь газ, находящийся в твердом теле, экстрагируется постепенно с увеличением температуры нагрева вплоть до температуры плавления пробы, т. е. нет четкой границы между отдельными формами нахождения кислорода в твердом теле. Такое положение затрудняет количественную оценку кислорода на поверхности и в объеме.

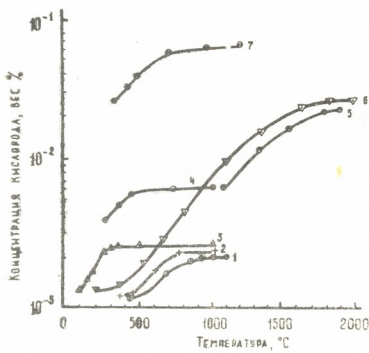


Рис. 1. Зависимость содержания кислорода от температуры нагрева проблемы: 1—бронза, 2—германий, 3—свинец, 4—теллур, 5—ниобий, 6—молибден, 7—сплав германий-теллур

В связи с этим можно привести работу [1], в которой поверхностный и объемный газ разделяются с помощью изменения плотности лу-чистой энергии ОКГ. Однако и этим методом нельзя строго разграни-чить объемные и поверхностные составляющие, так как в случае малой энергии может не произойти полного удаления газов с поверхности, а при увеличении энергии, помимо поверхностных газов, могут сыграть существенную роль и объемные.



В данной работе изучена возможность раздельного определения поверхностного и объемного кислорода в твердых телах с применением методики импульсного нагрева в потоке инертного газа [2]. Раздельное определение производится следующим образом: для количественного определения кислорода в весовых процентах используется формула

$$C\%_{\text{вес}} = k \frac{V}{P},$$

где k — некоторый коэффициент пропорциональности, зависящий от параметров исследуемого газа, V — общий объем газа, извлеченного из образца, P — вес пробы.

Если имеются два одинаковых образца с разными поверхностями (например, образцы с различной конфигурацией или же порошки разной дисперсности), то формулу можно преобразовать так, чтобы получить общую формулу для количественной оценки объемного кислорода. Для этого представим, что

$$V_{\text{общ}} = V_{\text{объем}} + V_{\text{пов}} \quad \text{и} \quad \frac{V^1_{\text{объем}}}{P_1} = \frac{V^2_{\text{объем}}}{P_2}.$$

Излишек газа (α), обусловленный разностью в поверхностях взятых проб (ΔS), можно выразить формулой

$$\alpha = V^1_{\text{общ}} - V^2_{\text{общ}} \frac{P_1}{P_2}.$$

Общая формула для объемного содержания газа будет иметь вид

$$V_{\text{объем}} = V_{\text{общ}} - \frac{S}{\Delta S} \alpha,$$

где S — общая поверхность взятой навески, определяемая геометрией образца, или же порошков, определяемая методов газопроницаемости с точностью до 5 %.

Образец	Поверхность образца S , cm^2	V -общий объем выделившегося газа, cm^3	α	V -количество газа на поверхности cm^3	V -количество газа в объеме, cm^3
Латунь	0,052	0,125	0,035	0,083	0,042
	0,030	0,090		0,045	0,045
Железо № 1	0,052	0,130	0,045	0,106	0,024
	0,030	0,085		0,061	0,024
Железо № 2	0,052	0,075	0,025	0,059	0,016
	0,030	0,050		0,034	0,016
В ₄ С порошок	8,54	0,85	0,4	0,15	0,70
В ₄ С порошок	30,45	1,25		0,55	0,70
В ₄ С порошок	44,50	1,50	0,25	0,77	0,72

Результаты некоторых измерений (для случая постоянного веса пробы 70 мг) представлены в таблице, из которой видно, что независимо от геометрической формы поверхности количество газа в объеме для данной пробы постоянно.

Таким образом, для определения поверхностного и объемного содержания газа достаточно иметь две пробы с разными поверхностями.

(Поступило 4.2.1972)

ମେଟାଲ୍‌ସରଗିର୍

კ. ოგანიზოვი, ი. ბაირამაშვილი, ვ. ჩეპელევი

- მყარი სხეულის ზედაპირზე და მოცელულგაში არსებული ჟანგების განვითარებისას განსაზღვრის საჭიროების

Հ Յ Ց Օ Ւ Յ Ե

მყარ სხეულებში გაზების განსაზღვრის წინათ დამუშავებული მეოთხის საფუძველზე მოცემულია მყარი სხეულის ზედაპირსა და მოცულობაში მყოფი უანგბალის ცალკეულად განსაზღვრის საშუალება. ეს მიიღწევა ზედაპირის სხვაობით ორი ერთნაირი ნიმუშისათვის.

METALLURGY

K. A. OGANEZOV, I. A. BAIRAMASHVILI, V. V. CHEPELEV

ON THE PROBLEM OF THE SEPARATE DETERMINATION OF SURFACE AND BULK COMPONENTS OF OXYGEN IN SOLID BODIES

Summary

On the basis of a previously developed technique for the determination of gases extracted from a solid body in a continuous stream of an inert gas a procedure has been elaborated for the separate determination of oxygen on the surface and in the interior of a sample.

ՀԱՅՈՐԱԺՄՆԱ – ЛИТЕРАТУРА – REFERENCES

1. А. А. Петров, Г. В. Скворцова. Ж. прикладной спектр., 14, вып. 5, 1971, 793.
 2. К. А. Оганезов, И. А. Байрамашвили, В. В. Чепелев, Л. И. Михайличенко. Сообщения АН ГССР, 63, вып. 3, 1971, 577.



МАШИНОВЕДЕНИЕ

А. А. ПОЗДЕЕВ, В. С. БААКАШВИЛИ

МАТЕМАТИЧЕСКАЯ МОДЕЛЬ МЕТАЛЛА ПРИ ГОРЯЧЕЙ ОБРАБОТКЕ ДАВЛЕНИЕМ

(Представлено членом-корреспондентом Академии Д. С. Тавхелидзе 24.1.1972)

Определение напряженно-деформированного состояния при обработке металлов давлением осуществляется методами механики сплошных сред.

Замкнутая система уравнений содержит три уравнения равновесия, шесть геометрических и шесть физических уравнений. Последние связывают между собой или напряжения и деформации, или напряжения и скорости деформаций, или напряжения, деформации и время. При этом, как правило, составление физических уравнений производится в рамках феноменологической теории.

Система уравнений должна быть дополнена уравнением теплопроводности, в котором мощность тепловых источников определяется мощностью деформации в единице объема:

$$\frac{\partial \Phi}{\partial t} + v_x \frac{\partial \Phi}{\partial x} + v_y \frac{\partial \Phi}{\partial y} + v_z \frac{\partial \Phi}{\partial z} = a \Delta \Phi + k T H. \quad (1)$$

Глубокое обсуждение вопросов о возможности постановки задачи в макроскопической форме можно найти в трудах А. А. Ильюшина и В. И. Феодосьева [1, 2].

Феноменологическая теория рассматривает взаимодействие тензорных объектов: тензора напряжений, тензора деформаций, тензора скоростей деформаций. Поэтому наиболее правильной является постановка задачи о выяснении соотношений между этими тензорами и их скалярными характеристиками (инвариантными).

Существует ряд способов составления физических уравнений. Используя любой из них, необходимо иметь в виду, что выясняются взаимодействия между тензорными величинами, поэтому следует удовлетворять правилам тензорной алгебры. Например, соотношения между компонентами тензора напряжений и деформаций должны быть такими, чтобы левые и правые части равенств при повороте координатных осей преобразовывались по однаковому закону. Имеются широкие возможности изменять вид этих соотношений, добиваясь наилучшего удовлетворения эксперимента. Следует заботиться и о том, чтобы получаемые соотношения были достаточно простыми для математической постановки задачи.

Устанавливая эти соотношения, имеет смысл ограничиться простым нагружением, так как по сложному нагружению (нагружению с большой кривизной и кручением траектории нагружения) не накоплено достаточного экспериментального материала.



В процессах, где напряжения изменяются во времени, а история нагружения является сложной, простейшие технические теории ползучести не дают достоверных результатов.

В дальнейшем под простой историей нагружения будем понимать такой путь изменения нагрузки, когда все напряжения во времени изменяются, однако это изменение происходит для всех напряжений в одинаковой мере. Таким образом, напряжение изменяется пропорционально одному параметру и вследствие оно будет простым. Последнее позволяет использовать уравнения деформационной теории, обобщая их для пространственных задач, а также существенно упрощает алгоритм решения, если привлекается теория течения. Простая история нагружения характерна для многих задач теории обработки металлов давлением. Например, при объемной штамповке по мере движения штампа напряжения возрастают, а характер напряженного состояния существенно не изменяется (преобладает деформация сдвига с наложенным отрицательным гидростатическим давлением).

В процессе свободной ковки при единичном нажатии напряжения изменяются в большей части очага деформации в одинаковой мере. Во многих стационарных процессах наблюдается подобная картина.

Наиболее полно изменение напряжений, вообще, история процесса, учитывается теорией наследственности. Воспользуемся развитыми А. А. Ильюшиным представлениями о скалярном и векторном поведении материала [1]. Считая металл несжимаемым, что при обработке металлов давлением вполне допустимо, получаем одно из уравнений, выражающее скалярные свойства

$$u_{i,i} = 0 \text{ или } v_{i,i} = 0. \quad (2)$$

Из известных соотношений имеем

$$\varepsilon_{ij} = \frac{\Gamma}{2T} \left(\sigma_{ij} - \frac{1}{3} \sigma_{ii} \delta_{ij} \right), \dots, \quad (3)$$

если предполагается использование деформационной теории. Привлекая теорию течения, будем иметь

$$\xi_{ij} = \frac{H}{2T} \left(\sigma_{ij} - \frac{1}{3} \sigma_{ii} \delta_{ij} \right), \dots \quad (4)$$

Уравнения (3) и (4) выражают векторные свойства материала.

При такой постановке заранее предполагается, что вторые инварианты девиаторов напряжений и деформаций или скоростей деформаций связаны между собой функциональной зависимостью, вид которой определяется только родом материала. Предположение о подобном поведении носит название «гипотезы единой кривой» [3]:

$$T = f_1(\Gamma), \quad \Gamma = \varphi_1(T) \quad (5)$$

или

$$T = f_2(H), \quad H = \varphi_2(T) \quad (6)$$

и выражает скалярные свойства материала.

Соотношение (5) позволяет замкнуть уравнения деформационной теории, а (6) — теории течения. Многие авторы считают более соответствующими поведению реального материала уравнения (4) и (6).

Определенный экспериментально-теоретический материал позволяет нам полагать вполне применимой систему (4) и (6) при условиях кратковременного нагружения и неизменяемости вида напряженного состояния вдоль траекторий движения частиц материала.

Рассмотрим характерные особенности процессов обработки металлов давлением, которые делают наиболее подходящим применение теории наследственности.

При горячей обработке процесс деформации является термодинамически неравновесным. Поэтому связь между напряжениями, деформациями и скоростями деформаций не может быть однозначной и определяется всей историей нагружения (во всяком случае за данный пропуск, обжатие).

Величина напряжений в значительной мере определяется тем путем, по которому происходило развитие деформаций во времени. Действительно, явления рекристаллизации, отдыха, упрочнения, релаксации, сопровождающие горячую и пластическую деформацию, влияют на уровень напряжений.

При обработке металлов давлением путь нагружения, как правило, задается скоростью движения инструмента и величиной его перемещения. Величина напряжений зависит в основном от того, в какой мере успевает протекать процесс рекристаллизации. Понятно, что чем выше скорость в предшествующих стадиях, тем выше значения напряжений в настоящий момент времени. Рассмотрим в качестве примера штамповку одной и той же детали из одной и той же заготовки на различном оборудовании. Пусть в первом случае процесс протекает с постоянной невысокой скоростью деформации, во втором — высокая скорость за счет увеличения давления резко падает к концу хода штампа и принимает те же значения, что и в первом случае. Прямой эксперимент показывает, что давление штамповки с постоянной и времененной скоростью может отличаться весьма существенно.

Очевидно, что пути проведения одного и того же процесса могут значительно отличаться по скоростям, что является причиной большого различия давлений на инструмент. Предсказать величины этих давлений современными методами теории обработки металлов давлением затруднительно. Развитие методов теории наследственности в теории обработки металлов давлением позволяет исключить эту неопределенность.

Грузинский политехнический институт
им. В. И. Ленина

(Поступило 4.2.1972)

მანქანიკური და გაერთიანებული

ა. პოზდევი, ვ. გაგავალიშვილი

მათემატიკური მოდელი ლითონის ცხლად წევით დამუშავების
დროს

რეზიუმე

ლითონის დაძლული და დეფორმირებული მდგრადული ანალიზისათვის
განტოლებათა სისტემაში შევყანილ უნდა იქნეს თბოგამტარებლობის განტო-
ლება, სადაც სითბოს წყაროების სიმბლავრე განისაზღვრება მოცულობის ერ-

თეულში განხორციელებული დეფორმაციის სიმძლავრით. ძაბვებისა და დეფორმაციების ტენზორთა კომპონენტებს შორის თანაფარდობის დადგნისას საჭიროა შემოვიფარგლოთ დატვირთვის მაჩტივი სახით, ვინაიდან ექსპერიმენტული მონაცემები რთულ დატვირთვაზე ძალზე ცოტაა; (3) და (6) განტოლებები ასახავენ სადეფორმირებელი მასალის ვექტორულ და სკალარულ თვისებებს.

MACHINE BUILDING SCIENCE

A. A. POZDEEV, V. S. BAAKASHVILI

A MATHEMATICAL MODEL OF METAL IN HOT SHAPING UNDER PRESSURE

Summary

It is shown that in order to analyze the stressed-strained state of a metal the equation of heat conductivity is to be introduced into the set of equations, where the capacity of heat sources is defined by the deformation capacity realized per unit of volume. In determining the relation between the components of the stress tensor and deformation it is desirable to use simple loading, for experimental data on complex loading are thus far inadequate. The equations (3) and (6) express the scalar and vectorial properties of the material to be deformed.

ლიტერატურა — ЛИТЕРАТУРА — REFERENCES

1. А. А. Ильюшин. Пластичность. Основы математической теории. М., 1963.
2. В. И. Феодосьев. Сопротивление материалов. М., 1962.
3. А. И. Качанов. Основы теории пластичности. М., 1956.

Н. С. ДАВИТАШВИЛИ

УСЛОВИЯ СУЩЕСТВОВАНИЯ ДВУХ КРИВОШИПОВ В ПЯТИЗВЕННОМ СФЕРИЧЕСКОМ ШАРНИРНОМ МЕХАНИЗМЕ

(Представлено членом-корреспондентом Академии Д. С. Тавхелидзе 3.2.1972)

Рассмотрим пятизвенный сферический шарнирный механизм ABCDE (рис. 1). Определим, каким условиям должны удовлетворить параметры механизма, чтобы ведущие звенья 2 и 5, прилегающие к стойке, могли совершать полный оборот, т. е. были кривошипами.

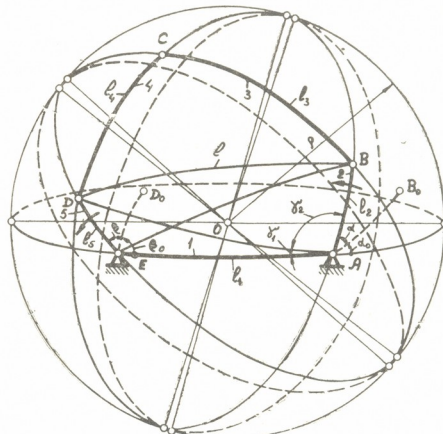


Рис. 1

В рассматриваемом механизме расстояние между кинематическими парами выражим сферическим расстоянием, т. е. дугами больших кругов.

Обозначим сферические расстояния между шарнирами звеньев через $AE = l_1$; $AB = l_2$; $BC = l_3$; $CD = l_4$; $DE = l_5$, а между подвижными шарнирами B и D через l . За начальное положение ведущего звена 2 примем положение AB_0 , когда звено со стойкой образует угол α_0 , а за начальное положение ведущего звена 5—положение ED_0 , когда звено со стойкой образует угол β_0 .



Пусть через определенное время ведущее звено 2 повернулось на угол α и заняло положение AB , а ведущее звено 5 повернулось на угол β и заняло положение ED . Для рассматриваемого интервала движения передаточное отношение

$$i_{52} = \frac{\beta}{\alpha}. \quad (1)$$

В пятизвенном сферическом шарнирном механизме $ABCDE$ при движении ведущих звеньев 2 и 5 расстояние l между подвижными шарнирами B и D —переменная величина, и если движение периодическое, тогда для одного полного цикла движения расстояние l принимает и какие-то максимальное и минимальное значения. При этом угол α , который соответствует повороту ведущего звена 2 за один полный цикл движения, равен [1]

$$\alpha_u = 2\pi m, \quad (2)$$

где m —знаменатель передаточного отношения i_{52} .

В результате исследования пятизвенных сферических шарнирных механизмов [2] установлено, что изменение расстояний l зависит от размеров звеньев механизма, направления движения ведущих звеньев, величины передаточного отношения между ними и их начального взаимного расположения.

Установим зависимость между расстоянием l и параметрами механизма. Для этого рассмотрим сферические треугольники ADE и ABD , откуда определится

$$l = \arccos k, \quad (3)$$

где

$$\begin{aligned} k = & \cos l_1 \cos l_2 \cos l_5 + \sin l_1 \sin l_5 \cos l_2 \cos (\beta_0 + i_{52} \alpha) - \\ & - \sin l_1 \sin l_2 \cos l_5 \cos (\alpha_0 + \alpha) + \sin l_2 \sin l_5 [\cos l_1 \cos (\alpha_0 + \alpha) \cos (\beta_0 + i_{52} \alpha) + \\ & + \sin (\alpha_0 + \alpha) \sin (\beta_0 + i_{52} \alpha)]. \end{aligned}$$

Выражение (3) дает возможность определить расстояние l для любого положения механизма.

Для того чтобы в пятизвенном сферическом шарнирном механизме ведущие звенья 2 и 5, прилегающие к стойке, могли совершать полный оборот, т. е. были кривошипами, необходимо размеры звеньев 3 и 4 подобрать так, чтобы удовлетворялись условия

$$l_3 + l_4 \geq l_{\max}, \quad (4)$$

$$|l_3 - l_4| \leq l_{\min}. \quad (5)$$

Максимальная l_{\max} и минимальная l_{\min} величины расстояний l между шарнирами B и D определяются с помощью экстремальных значений выражения (3) [3]. Для этого найдем первую и вторую производную выражения (3):

$$l' = -\frac{k'}{\sqrt{1-k^2}}, \quad (6)$$

$$l'' = -\frac{k(k')^2 + k''(1-k^2)}{(1-k^2)\sqrt{1-k^2}}. \quad (7)$$

Из выражения (6) определяются те значения α , при которых расстояние l принимает максимальное и минимальное значения. Для этого l' приравниваем к нулю, т. е. $l'=0$, а это будет иметь место тогда, когда

$$\begin{aligned} k' = & -i_{52} \sin l_1 \sin l_5 \cos l_2 \sin (\beta_0 + i_{52}\alpha) + \sin l_1 \sin l_2 \cos l_5 \sin (\alpha_0 + \alpha) + \\ & + \sin l_2 \sin l_5 [(i_{52} - \cos l_1) \sin (\alpha_0 + \alpha) \cos (\beta_0 + i_{52}\alpha) + \\ & + (1 - i_{52} \cos l_1) \cos (\alpha_0 + \alpha) \sin (\beta_0 + i_{52}\alpha)] = 0. \end{aligned} \quad (8)$$

Для определения нужного нам значения α полученные корни при решении уравнения (8) подставляются в выражение (7). При этом максимальное l_{\max} значение расстояния l будем иметь тогда, когда

$$l' = 0 \quad \text{и} \quad l'' < 0, \quad (9)$$

и минимальное l_{\min} , когда

$$l' = 0 \quad \text{и} \quad l'' > 0. \quad (10)$$

После определения максимума l_{\max} и минимума l_{\min} расстояний l с помощью неравенств (4) и (5) выяснится, позволяют ли размеры звеньев механизма, направление движения ведущих звеньев, величина передаточного отношения между ними и их начальное взаимное расположение, чтобы ведущие звенья, прилегающие к стойке, были кривошипами.

На основании рассмотренного приходим к заключению: в пятизвенном сферическом шарнирном механизме два звена, прилегающие к стойке, будут кривошипами тогда и только тогда, когда максимальное расстояние между шарнирами, образованными соединением ведущих звеньев и соответствующих шатунов, меньше суммы длин шатунов и минимальное расстояние больше разности этих длин.

Если сферические расстояния, входящие в полученные формулы, выразить радиусом сферы ρ и соответствующими хордами и перейти на предел, когда $\rho \rightarrow \infty$, тогда как частный случай можно получить формулы, с помощью которых определяются условия существования двух кривошипов в пятизвенном плоском шарнирном механизме.

Таким образом, полученные результаты носят общий характер и могут быть использованы при определении существования двух кривошипов как для сферических, так и для пятизвенных плоских шарнирных механизмов.

6. დავითაშვილი

ხუთორგოლა სფერულსახსრიან მექანიზმის თრი მრუდმხარას
 არსებობის პირობები

რეზიუმე

განხილულია ორი მრუდმხარას არსებობის პირობები ხუთორგოლა სფერულსახსრიან მექანიზმში. მიღებული შედეგები ზოგად ხსიათს ატარებს და შესაძლებელია გამოყენებულ ქენეს ორი მრუდმხარას არსებობის განსასაზღვრავად როგორც სფერული, ისე ბრტყელი სახსრიანი მექანიზმებისათვის.

MACHINE BUILDING SCIENCE

N. S. DAVITASHVILI

CONDITIONS FOR THE EXISTENCE OF TWO CRANKS IN A
FIVE-LINK SPHERICAL HINGED MECHANISM

Summary

Conditions for the existence of two cranks in a five-link spherical hinged mechanism are examined. The obtained results are of general nature and can be utilized in determining the existence of two cranks both for spherical and for plane hinged mechanisms.

ლიტერატურა — ЛИТЕРАТУРА — REFERENCES

1. И. И. Артоболевский. Теория механизмов. М., 1965.
2. Н. С. Давиташвили. Сообщения АН ГССР, т. 64, № 2, 1971.
3. В. И. Смирнов. Курс высшей математики, т. 1. М., 1967.

М. В. ХВИНГИЯ

ПРОДЛЬНО-КРУТИЛЬНЫЕ ПАРАМЕТРИЧЕСКИЕ КОЛЕБАНИЯ ВИНТОВОГО СТЕРЖНЯ ПОД ДЕЙСТВИЕМ ОСЕВОГО ВОЗБУЖДЕНИЯ

(Представлено академиком Р. Р. Двали 21.1.1972)

Особенности динамической устойчивости цилиндрической винтовой пружины как эквивалентного стержня исследованы для случая, когда нагружение продольной периодической силой вызывает параметрические колебания в поперечном направлении [1—3]. Однако в пружине, как и в тонком прямолинейном стержне некруглого сечения [4], могут возникнуть продольно-крутильные параметрические резонансы вследствие наличия геометрической связи между осевой деформацией и углом скручивания.

Принципиальное различие между механизмами возбуждения этих резонансов в моделях прямого стержня и пружины заключается в том, что изменение знака крутящего момента в первом случае не меняет знака осевой деформации-сжатия, а во втором случае имеет место растяжение-сжатие. Рассмотрим систему дифференциальных уравнений Кирхгофа—Клебша, описывающую малые колебания винтового стержня под действием продольной периодической силы. Возмущенное состояние принимаем начальным, а все параметры, характеризующие тонкий стержень двойкой кривизны, — зависящими от времени.

Пусть продольное вынужденное, например кинематическое, перемещение подвижного конца $v_n = \lambda_1 f(t)$, где $f(t)$ —периодическая функция, разлагаемая в ряд Фурье. Полная относительная деформация $m = m_0 + m_1 f(t)$, где $m_0 = \lambda_0/H_0$; $m_1 = \lambda_1/H_0$; H_0 —свободная высота пружины; λ_0 , λ_1 —постоянная и амплитуда переменной составляющей продольного перемещения подвижного конца. Углы подъема α_0 и α до и после деформации связаны с v_n соотношением

$$v_{\perp} = l(\sin \alpha_0 - \sin \alpha), \quad (1)$$

где l — длина винтовой спирали, а числа витков равны, т. е. $i = i_0$.

Из последнего соотношения получаем величину угла

$$\operatorname{tg} \alpha = \varepsilon = \frac{(1-m) \sin \alpha_0}{\sqrt{1 - (1-m)^2 \sin^2 \alpha_0}} \cong (1-m) \sin \alpha_0. \quad (2)$$

Действующая на подвижной конец периодическая сила P в безразмерном виде выражается так:

$$\frac{PR^2}{\varepsilon^2 C} = \frac{b}{C} = \frac{m}{1-m}, \quad (3)$$

где $R=D/2$ — радиус витка, равный

$$R = R_0 \frac{\cos \alpha}{\cos \alpha_0} \cong \frac{R_0}{\cos \alpha_0} (1 + m \sin^2 \alpha_0); \quad (4)$$

C — жесткость сечения на кручение.



Начальное ($j=0$) и текущее ($j=1$) значения компонентов кривизны при колебаниях равны

$$p_j = 0, \quad q_j = \frac{2 \cos^2 \alpha_j}{D_j}, \quad r_j = \frac{\sin 2 \alpha_j}{D_j}. \quad (5)$$

Для оценки ширин основных зон параметрического резонанса достаточно рассмотреть систему дифференциальных уравнений, суммарный порядок которых относительно производных по времени или по длине равен четырем. При этом в коэффициентах упруго-силовых слагаемых достаточно сохранить постоянные величины, приводящие к характеристикам эквивалентного бруса, и члены с минимальным порядком малости относительно ε или m_1 . Тем самым, мы будем пренебрегать влиянием форм колебаний кольца и поперечных колебаний пружины на продольно-крутильные колебания, т. е. получим уравнения, равносильные системе эквивалентного стержня, но с уточненными коэффициентами.

Пусть v, w — перемещения по направлению бинормали и касательной трехгранника Френе, а β — угол поворота сечения вокруг бинормали.

Для кинематического возмущения v и w можно искать в виде

$$v = T_1 v \sin \nu \xi / \sin \nu, \quad w = T_2 w \sin \nu \xi / \sin \nu, \quad (6)$$

где $\xi = \frac{x}{H_0}$; $\nu = n \pi \omega / \omega_0$; ω_0 — собственная частота.

Такая форма решения учитывает колебания с основной частотой возмущения ω . Окончательно уравнения имеют следующий вид:

$$\begin{aligned} f_{11} \ddot{T}_1 + f_{12} \ddot{T}_2 + f_{13} T_1 + f_{14} T_2 &= 0, \\ f_{21} \ddot{T}_1 + f_{23} T_1 + f_{24} T_2 &= 0, \end{aligned} \quad (7)$$

где

$$f_{11} = -[2(A+C)\varepsilon + 2b\varepsilon^3] \sigma \frac{i^2}{q_0^4};$$

$$f_{12} = [A+C+(b-C)\varepsilon^2] \sigma \frac{i^2}{q_0^4} \left(1 + \frac{\nu^2}{4\pi^2 i^2}\right);$$

$$f_{13} = [(A+C)(b-2A) + [(b-2A)(b+3A) - 2C(A-b)]\varepsilon^2] \nu^2 \varepsilon^2;$$

$$f_{14} = [A+C+(b-2A+C)\varepsilon^2] A \nu^2;$$

$$f_{21} = A + (b + \nu^2 C) \varepsilon^2 \frac{i^2}{q_0^4} \sigma;$$

$$f_{23} = [AC + [bC - A(2C - 4A + b)]\varepsilon^2] \nu^2;$$

$$f_{24} = [A(2C - 2A + b) + [2(C-A)(b-A) + b(b+A)]\varepsilon^2] \nu^2.$$

Для системы (7) можно написать функцию Гамильтона и, следовательно, неустойчивые параметрические колебания будут иметь место вблизи следующих частот продольного возмущения:

а) простые резонансы

$$\omega_{\text{крит}} = \omega_{01,2}/n; \quad \omega_{\text{крит}} = 2\omega_{01,2}/(1+2n); \quad (8)$$

б) комбинационные резонансы

$$\omega_{\text{крит}} = (\omega_{01} \pm \omega_{02})/n. \quad (9)$$

где $n=0, \pm 1, \pm 2, \dots$

$\omega_{01,2}$ — собственная частота связанных продольно-крутильных колебаний при $m_1=0$, $m=m_0$.

Рассмотрим уравнения параметрических колебаний, представляющих наибольшую опасность для реальных пружин в основной зоне, с учетом одной степени свободы.

Продольные колебания

$$\ddot{T}_1 + f_{23} T_1/f_{21} = 0. \quad (10)$$

Крутильные колебания

$$\ddot{T}_2 + f_{14} T_2/f_{12} = 0. \quad (11)$$

Переменные коэффициенты после упрощения и приведения их к первому порядку относительно малых величин имеют вид

$$f_{23}/f_{21} = k_1 F_1(t), \quad f_{14}/f_{12} = k_2 F_2(t), \quad (12)$$

где

$$k_1 = -C \gamma^2 \cos^4 \alpha_0 / \sigma i_0^2 R_0^4; \quad k_2 = A \gamma^2 \cos^4 \alpha_0 / \left(1 + \frac{\gamma^2}{4\pi^2 i_0^2} \right) \sigma R_0^4;$$

$$F_1(t) = 1 + [7\mu + 8\mu^2 - (1 - 2\gamma^2)] \sin^2 \alpha_0 \cdot m_1 / (1 + \mu);$$

$$F_2(t) = 2(3 + 2\mu) \sin^2 \alpha_0 \cdot m_1 / (2 + \mu).$$

Для простого возмущения типа $f(t) = \cos \omega t$ получаем уравнение Маттье, а в остальных случаях — уравнение Хилла.

Анализ формул (8) показывает, что при $n=0$, $\omega_{\text{крит}} = 2\omega_0$.

В основной зоне параметрического резонанса имеет место движение по закону

$$a_1 \sin \frac{\omega t}{2} + a_2 \cos \frac{\omega t}{2}.$$

Однако возмущающая частота $\omega = \omega_{\text{крит}}$ практически совпадает с частотой второй формы собственных колебаний пружины, имеющей одну узловую (неподвижную) точку. Поэтому экспериментальное обнаружение параметрического резонанса сопряжено с известными трудностями. При малых амплитудах возмущения свободного конца точка $\xi = 1/2$ неподвижна. Однако с увеличением m_1 зарождаются параметрические колебания с частотой $\omega_{\text{крит}}$. Это движение захватывает узловую точку, и, наконец, вся пружина колеблется по форме $\sin \nu \xi$, $\nu = \pi$.

Наряду с параметрическими, имеют место чисто вынужденные колебания с частотой $\omega = 2\omega_0$.

Таким образом, второй резонанс как бы переходит в первый с помощью параметрического механизма, а суммарное движение имеет составляющие с частотами $\omega/2$ и ω .

Экспериментальная проверка подтверждает правильность теоретических соображений. Испытывалась пружина с $D=55$ мм, $H_0=175$ мм, $d=1,5$ мм, $i=6,5$, $m_0=0$ на стенде ВЭДС-100 Б. При частоте возмущения $\omega=27-28$ Гц имеем продольный резонанс по первой форме. Далее, при $\omega=54-55$ Гц наступает резонанс по второй форме с одним узлом, который при ускорении подвижного конца $\geq 3,6$ g переходит в парамет-



рический по первой форме. Суммарное движение имеет составляющие с чисто вынужденной и параметрической составляющими, с частотами 54 и 27 гц.

Для крутильных колебаний имеем соответственно 32—33 и 62—63 гц и ускорение $\geq 7 g$.

Академия наук Грузинской ССР

Институт механики машин

(Поступило 11.2.1972)

მანქანიკური დოკუმენტი

მ. ხვინგია

ხრახნული დოკოს გრძივ-ბრუნვითი პარამეტრული რეზონა ღერძული
აღზების მოძრავითი

რეზიუმე

განხილული რხევები აღიწერება კირხბოფ — კლებშის დიფერენციალურ განტოლებათა სისტემით. ღერძის აღგზნებული მფლობარეობა მიღებულია რთვორც საჭყისი, ხოლო მისი პარამეტრები — როგორც დროის პერიოდული ფუნქციები. გამარტივებულ შემთხვევაში ერთობლივი პარამეტრული რხევებისათვის მიღებულია პილის განტოლებათა სისტემა, დამოუკიდებელი რხევებისათვის კი — მათიც თრი განტოლება. მოცემულია ამ განტოლებათა ანალიზი და ცდების შედეგები.

MACHINE BUILDING SCIENCE

M. V. KHVINGIA

LONGITUDINALLY-TORSIONAL PARAMETRIC VIBRATIONS OF A HELICAL BAR UNDER AXIAL EXCITATION

Summary

Coupled bar vibrations are described by a set of equations of Kirchhoff-Klebsch type.

The disturbed condition of the bar is assumed to be initial and its parameters to be periodic functions of time. In a simplified case the coupled longitudinally-torsional parametric vibrations are described by a set of Hill-type equations, whereas uncoupled vibrations are amenable to two Mathieu-type variational equations. An analysis of these equations and the findings of experimental verification are presented.

ლიტერატურა — ЛИТЕРАТУРА — REFERENCES

1. М. В. Хвингия. Изв. вузов, Машиностроение, № 4, 1963.
2. I. Junkichi, Araki Iosiaki, Urisizaki Iasumasa. Trans. JSME, 1966, № 241.
3. K. Mitio. Trans. JSME, 1969, № 35.
4. Цо. Труды Американского общества инженеров-механиков, № 1, 1968.
5. М. В. Хвингия. Вибрации пружин. М., 1969.

ГИДРОТЕХНИКА

М. И. ГОГОБЕРИДЗЕ, Н. В. КАВТУАШВИЛИ, А. Г. ЧАНТУРИЯ

**ПРИМЕНЕНИЕ ТЕОРИИ ИГР В НАТУРНЫХ ГИДРАВЛИЧЕСКИХ
ИССЛЕДОВАНИЯХ ПРИ РАЗМЕЩЕНИИ ДАТЧИКОВ
КАВИТАЦИИ НА ВОДОСБРОСНЫХ СООРУЖЕНИЯХ ГЭС**

(Представлено академиком К. С. Завриевым 18.1.1972)

Оптимальное количество воспринимающих устройств (датчиков) и их рациональное размещение на исследуемом сооружении в значительной степени определяют успех натурных кавитационных наблюдений. В настоящее время при установлении количества датчиков кавитации и их размещении на водосбросных сооружениях используются либо результаты лабораторных исследований, либо опыт эксплуатации аналогичных сооружений. Установленное таким образом количество датчиков оказывается неоптимальным, а их размещение — нерациональным [1, 2].

Научная постановка вопроса о выборе оптимальных решений на современном уровне развития науки и техники встречается в различных дисциплинах (военном деле, медицине, экономике, праве, технике и т. д.), где данный вопрос успешно решается применением новых разделов математики.

В данной работе делается попытка применения теории игр для установления оптимального количества датчиков и их рационального размещения на водосбросных сооружениях ГЭС. В частности, используется антагонистическая игра с нулевой суммой [3, 4], где противоположными сторонами являются датчик и кавитация. Для фиксации начала кавитации применяется электронно-акустическая аппаратура. В качестве примера рассматривается последний вариант водовыпусков I очереди арочной плотины Ингури-ГЭС (рис. 1) [5]. Тем не менее нам кажется, что предложенный метод можно использовать при размещении датчиков кавитации на различных напорных и безнапорных водосбросных сооружениях на разных характерных участках.

Формулировка задачи. Требуется найти такое равновесное положение, т. е. пару разумных (оптимальных) стратегий для датчиков кавитации, дальнейшее улучшение которых уже невозможно, и установить цену игры — в среднем максимальную вероятность обнаружения датчиками начала кавитации.

Для решения поставленной задачи допускаем, что обеспечивается устойчивость напорного режима течения потока в водовыпуске [6] и что выступы равномерной шероховатости по длине поверхности металлической облицовки не превышают угловатые (4 мм) и округлые (12 мм).



Точность установки внутренней поверхности отверстия сопровождающего кольца аварийно-ремонтного затвора (плоский гусеничный) в открытом положении уменьшается до ± 5 мм от стальных и до ± 10 мм от бетонных стенок водовыпуска.

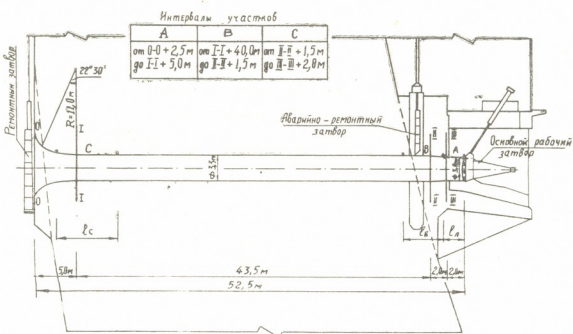


Рис. 1

Эти допущения дают возможность рассмотреть возникновение кавитации по длине водовыпуска как вызванное понижением давления на стенке, связанное с общей турбулентностью равномерного потока.

Устанавливая расчетную скорость, порог кавитации и обеспеченность (в зависимости от класса сооружения) [7], определяем значения актуальных давлений по длине водовыпуска, а исходя из этого, выделяем наиболее вероятные створы возникновения кавитации. В рассматриваемом случае такими являются конец входного участка (I—I), конец тракта водовыпуска (II—II) и конец переходного участка (III—III) (рис. 1).

Для дальнейшего хода задачи выделяем характерные участки в отмеченных створах A, B, C, ширину которых назначаем в зависимости от поперечных размеров водовыпуска и радиуса действия датчиков. Что же касается длин перечисленных участков, то они назначаются следующим образом. Длину A участка — l_a выбираем так, чтобы вероятность обнаружения датчиком начала кавитации, если в этом участке возникнет кавитация, была бы максимальной. При этом в отмеченном участке допускается расположение одного (n) или нескольких ($N = \Sigma n$) датчиков, в зависимости от площадки участка A, а также радиуса действия рассматриваемых датчиков кавитации. Длину участков l_b и l_c можно увеличить по сравнению с l_a . Поскольку количество датчиков в участках B и C оставляем таким же, как и в участке A, естественно, вероятности обнаружения начала кавитации соответственно уменьшаются.

Таблица 1

Участки водовыпуска	<i>A</i>	<i>B</i>	<i>C</i>
Вероятность обнаружения начала кавитации, когда система датчиков находится в рассмотренном участке и кавитация возникает там же	0,90	0,45	0,30

Решение задачи. Допускаем, что кавитация может возникнуть в двух различных участках, а начало кавитации ищем с помощью двух систем датчиков. При этом каждая система датчиков может быть расположена только в одном участке.

По табл. 1 составляем платежную матрицу в виде табл. 2, где даются всевозможные комбинации вероятности обнаружения [8, 9].

Таблица 2

Стратегия поиска	Стратегия кавитации			\min в каждой стратегии поиска α_i
	<i>AB</i>	<i>AC</i>	<i>BC</i>	
<i>AB</i>	0,945	0,900	0,450	0,450
<i>AC</i>	0,900	0,930	0,300	0,300
<i>BC</i>	0,450	0,300	0,615	0,300
max в каждой стратегии кавитации β_i	0,945	0,930	0,615	

Платежная матрица не имеет седловую точку, поэтому устанавливаем нижнюю и верхнюю цену игры с помощью принципа «минимакса»:

$$\alpha = \max \{ \min \alpha_{ij} \} = 0,450, \quad (1)$$

$$\beta = \min \{ \max \alpha_{ij} \} = 0,615. \quad (2)$$

Ввиду того что значения α и β не близки друг к другу, представляется необходимым найти оптимальную смешанную стратегию.

Для решения задачи применяем метод «линейного программирования» [9], на основе которого получаем, что цена игры $v \approx 0,574$, а оптимальная смешанная стратегия поиска

$$S_n^* = \begin{pmatrix} AB & AC & BC \\ 0,25 & 0 & 0,75 \end{pmatrix},$$

т. е. «полезные» стратегии *AB* и *BC* должны применяться с частотами 0,25 и 0,75.

В связи с тем что датчики кавитации устанавливают на водовыпуске стационарно, систему датчиков (*N*) устанавливаем в участках *A*, *B*



и С. В результате такого расположения гарантированная вероятность обнаружения кавитации составит примерно 57%.

Грузинский институт энергетики
и гидротехнических сооружений

(Поступило 10.2.1972)

30 000 000 000

ა. ღოლოგვირიძე, ნ. კავთუაშვილი, ა. ჭანტურია

თავაზობა თეორიის გამოყენება კესების ფულსაგდებ ნაგებობებზე
კავიტაციური გადამზოდების განლაგებისათვის ნატურულ
ჰიდრულიკურ გამოკვლევები

რეზიუმე

თამაშთა თეორიის გამოყენება საშუალებას იძლევა დადგენილ იქნეს კავიტაციის გადამზოდების ოპტიმალური რაოდენობა და მათი რაციონალური განლაგების სქემა. აღნიშნული მეთოდით საკითხის ასეთი გადაწყვეტა მიზან-შეწონილია და მისაღები.

HYDRAULIC ENGINEERING

M. I. GOGOBERIDZE, N. V. KAVTUASHVILI, A. G. CHANTURIA

THE USE OF THE THEORY OF GAMES IN FIELD HYDRAULIC INVESTIGATIONS WHEN CAVITATION TRANSDUCERS ARE PLACED ON THE WASTEWEIRS OF HYDROELECTRIC POWER STATIONS

Summary

An attempt is made to use the theory of games to determine the optimum number of cavitation transducers and their rational arrangement on structures. The obtained results show that this method of approach to the problem is advisable and rational.

ლიტერატურა — ЛИТЕРАТУРА — REFERENCES

1. Н. П. Розанов. Вопросы проектирования водопропускных сооружений, работающих в условиях вакуума и при больших скоростях потока. М., 1959.
2. Труды координационных совещаний по гидротехнике, вып. 52, 1969.
3. Дж. Мак-Кинси. Введение в теорию игры. М., 1960.
4. Г. Оуэн. Теория игр. М., 1971.
5. М. И. Гогоберидзе, Н. В. Кавтуашвили. Труды ТНИСГЭИ, вып. III, 1971.
6. Б. М. Чиквашвили. Изв. ТНИСГЭИ, № 15, 1963.
7. В. М. Ляхтер. Турбулентность в гидросооружениях. М., 1968.
8. Применение теории игр в военном деле. М., 1961.
9. Е. С. Вентцель. Элементы теории игр. М., 1961.

А. Г. ЧАНТУРИЯ

К ВОПРОСУ ОПРЕДЕЛЕНИЯ КОЭФФИЦИЕНТА УДЕЛЬНОГО УПРУГОГО ОТПОРА ГОРНЫХ ПОРОД ВОКРУГ НАПОРНЫХ ГИДРОТЕХНИЧЕСКИХ ТУННЕЛЕЙ ПЕРЕМЕННЫХ СЕЧЕНИЙ

(Представлено академиком К. С. Завриевым 9.3.1972)

Известно, что подземные напорные гидротехнические сооружения проектируются с особой тщательностью, так как значительное место в их работе принадлежит окружающей горной породе, деформативные свойства которой предопределяют назначение рациональных конструкций обделок. Весьма важно дальнейшее изучение коэффициента удельного упругого отпора горной породы K_0 — основной деформативной характеристики, определяющей фактические размеры облицовки напорного туннеля [1—6].

В настоящей работе на основе проведенных нами лабораторных экспериментальных исследований и последующего сопоставления полученных результатов с теоретическими решениями некоторых задач [7, 8], а также с рядом результатов натурных исследований туннельных выработок предлагается эмпирическая зависимость для определения коэффициента удельного упругого отпора горной породы с учетом радиуса выработки, величины внутреннего давления и степени анизотропии массива.

Исследования проводились методом эквивалентного моделирования на 12 крупномасштабных моделях размерами $100 \times 100 \times 20$ см с переменными радиусами опытных выработок ($r_0 = 2,5; 5,0; 7,5$ см) и с различной степенью анизотропии материала массива ($E = 0,5; 1; 2; 4$).

Плоские модели, построенные из хрупких материалов, эквивалентных горным породам (типа ингурских), позволили получить некоторые данные о влиянии радиуса и напора в туннеле на величину коэффициента удельного упругого отпора и картину деформации толщи породы, расположенной непосредственно вокруг кольца выработки.

Кривые $K_0 = f(r_0)$, представленные на рис. 1, соответствуют внутреннему давлению в выработках моделей $P = 2$ атм и качественно одинаково выражают характер изменения коэффициента удельного упругого отпора K_0 . Однако количественная сторона изменения, как и следовало ожидать, зависит от степени анизотропии материала массива.

В результате подробного анализа полученных экспериментальных данных и при помощи аналитических методов подбора эмпирической зависимости на основании критериев ее существования [5] с учетом

влияния всех входящих переменных факторов получена формула для определения коэффициента удельного упругого отпора кругового контура горной выработки:

$$K_0 = \eta \frac{r_0}{\alpha r_0 - \beta} \cdot \quad (1)$$

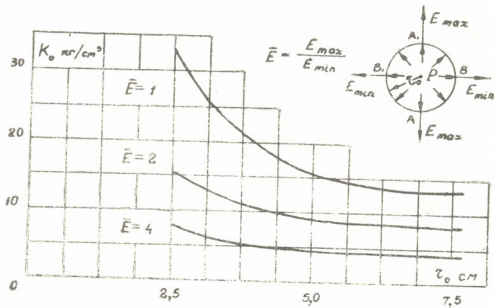


Рис. 1. Экспериментальный график изменения коэффициента удельного упругого отпора в зависимости от радиуса опытных выработок моделей

Помимо влияния радиуса выработки r_0 на величину K_0 , уравнение (1) учитывает коэффициент влияния внутреннего давления η , который выведен нами на основе анализа полученных экспериментальных данных, а также результатов натурных исследований опытных выработок [6]:

$$\eta = \sqrt{\frac{P_{\max}}{P_0}} \cdot \quad (2)$$

В выражении (2) P_{\max} соответствует принятому максимальному давлению внутри выработки, P_0 — заданное давление.

Коэффициенты α и β выражают влияние условия залегания напорной круговой выработки на величину K_0 :

$$\alpha = 0,00325 (\bar{E} + 0,540), \quad (3)$$

$$\beta = 0,075 (\bar{E} + 1,333). \quad (4)$$

В табл. 1 приведены данные проведенных экспериментов и результаты теоретических решений некоторых задач с расчетными схемами, подобными экспериментальным [7, 8] (плоские модели считаются неограниченными пластинками [9, 10]).

Теоретические и экспериментальные эпюры смещений контуров качественно однообразны. В количественном же отношении (по табл. 1) наблюдаются некоторые отклонения экспериментальных значений сме-

щений контуров выработок от теоретических ($\delta = 25\%$), что объясняется как рядом допущений теоретического характера, так и определенными погрешностями экспериментов.

Таблица 1

Сопоставление теоретических (U_T) и экспериментальных (U_s) значений смещений (мк) характерных точек контуров отверстий (рис. 1)

Радиус отверстия r_0 , см	Точки контура	$E=1$				$E=2$				$E=4$			
		U_T	U_s	ΔU	$\delta \%$	U_T	U_s	ΔU	$\delta \%$	U_T	U_s	ΔU	$\delta \%$
2,5	A	18	14	+4	22	13	11	+2	15	13	12	+1	8
	A_1	21	14,5	+6,5	31	13	11	+2	15	13	10	+3	23
	B	20	14,5	+5,5	27	48	34	+14	29	95	65	+30	31
	B_1	20	14,5	+5,5	27	48	32	+16	33	95	63	+32	33
5,0	A	34	31	+3	9	25	30	-5	20	25	31	-6	24
	A_1	50	65	-15	30	25	33	-8	32	25	34	-9	35
	B	41	49	-8	20	97	100	-3	33	190	247	-57	30
	B_1	41	49	-8	20	97	110	-13	13	190	239	-49	25
7,5	A	48	41	+7	14	38	45	-7	18	38	50	-12	31
	A_1	85	115	-30	35	38	48	-10	26	38	49	-11	28
	B	61	57	+4	6	145	175	-30	20	285	361	-76	26
	B_1	61	57	+4	6	145	180	-35	24	285	324	-39	14

С целью сопоставления эмпирической зависимости (1) с натурными данными полевых экспериментов в данной работе использованы результаты испытаний пяти опытных выработок, расположенных в районе строительства Ингурской ГЭС.

В табл. 2 приведены данные натурных испытаний опытных выработок K_0^e и результаты K_0^Φ по эмпирической зависимости (1).

Таблица 2

Опытная выработка	Радиус выработки r_0 , см	K_0^e кг/см ³	K_0^Φ кг/см ³	ΔK_0 кг/см ³	$\delta \%$
Штрек № 1	105	640	570	+70	11
Шурф № 1	125	475	520	-45	9
Ш. рф № 2	125	475	520	-45	9
Шурф № 3	125	475	520	-45	9
Штрек № 2	200	425	460	-35	8

Таким образом, зависимость (1), предназначенная для инженерных расчетов, достаточно хорошо согласуется с результатами теоретических и натурных экспериментальных исследований.

Грузинский институт энергетики и гидротехнических сооружений

(Поступило 9.3.1972)

୧୦୮

ცხალებაზე კვეთის დაწევითი პილოტური გვირაბების გარ-
შემო მდებარე მთის ჟანერის ძრეკაზე ზონალობის ხელითი
კოეფიციენტის განსაზღვრის საჭიროებისათვის

ՀԵՂՈՎՐԾԱՅԻ

წარმოდგენილია ემპირიული ფორმულა მთის ქანების ღრეუადი წინალობის ხელშეკრულების განსაზღვრისათვის, პილოტური გვირაბის ჩადიუსის გავლენის, მისი განლაგების პირობებისა და შიდა წნევის გათვალისწინებით. მიღებული შედეგები შედარებულია ზოგიერთი თეორიული ამოცანის გადაწყვეტასთან და დაწნევითი პილოტური გვირაბების ნატურული გამოცდით მიღებულ მონაცემებთან.

HYDRAULIC ENGINEERING

A. G. CHANTURIA

ON THE DETERMINATION OF THE SPECIFIC ELASTIC COUNTERPRESSURE COEFFICIENT OF ROCKS AROUND HYDRAULIC PRESSURE TUNNELS OF VARIABLE SECTIONS

Summary

An empirical formula is presented for determining the specific elastic counterpressure coefficient of rocks with regard to the working radius effect, bedding conditions and internal pressure.

The obtained results are compared with the theoretical solution of some problems and with the experimental data of field studies of hydraulic pressure tunnels.

ଲେଖକାତ୍ମକା — ЛИТЕРАТУРА — REFERENCES

1. С. А. Роза, Б. Д. Зеленский. Исследование механических свойств скальных оснований гидротехнических сооружений. М., 1967.
 2. К. Терцаги. Теория механики грунтов. М., 1961.
 3. Б. Д. Зеленский. Труды Гидропроекта. М., 1970.
 4. А. Г. Чантурия, Б. Ш. Туркция. Сб. докладов VII объединенной сессии НИИ закавказских республик по строительству. Баку, 1971.
 5. Б. П. Демидович, И. А. Марон, Э. З. Шувалова. Численные методы анализа. М., 1962.
 6. Г. П. Завриев. Изв. ТНИСГЭИ, № 10, 1958.
 7. С. Г. Гутман. Изв. НИИ гидротехники, XXV, 1939.
 8. С. Г. Лехницкий. Анизотропные пластинки. М.—Л., 1947.
 9. Г. Н. Савин. Концентрация напряжений около отверстий. Л.—М., 1951.
 10. Справочник «Прочность, устойчивость, колебания». М., 1968.

М. Г. ЭДИБЕРИДЗЕ

ВОПРОСЫ ПРОГНОЗИРОВАНИЯ СЕЗОННЫХ РЕЖИМОВ ГЭС И ОЦЕНOK ФУНКЦИИ РАСПРЕДЕЛЕНИЯ СРЕДНЕМНОГО-ЛЕТНЕЙ ВЫРАБОТКИ ЭЛЕКТРОЭНЕРГИИ

(Представлено членом-корреспондентом Академии Н. В. Габашвили 28.12.1971)

В работах [1, 2] излагалась методика получения оптимальных политик управления на основе управляемых марковских процессов, максимизирующих среднемноголетнюю выработку электроэнергии. Решение соответствующих уравнений динамического программирования дает лишь значения оптимальных управлений

$$\alpha_k(z_k, x_{k-1}) \quad (1)$$

и соответствующих максимальных средних выработок энергий

$$\rho^*(z_1, x_0) \quad (2)$$

при всевозможных начальных условиях — уровне водохранилища z_1 и объеме стока x_0 в нулевом интервале. Однако эти величины представляют собой только одну (важнейшую) характеристику оптимальных энергий, являющихся случайными величинами. Но, как известно, при энергоэкономических расчетах требуются также такие показатели, как обеспеченность величины средних отклонений основных параметров и др. Полную вероятностную информацию дала бы функция распределения оптимальных выработок энергий, теоретическое нахождение которой сопряжено с большими аналитическими трудностями. Для их преодоления воспользуемся методом статистических испытаний (Монте-Карло).

В первую очередь рассмотрим вопрос моделирования случайных последовательностей речного стока. По принятой нами модели сток представляет собой марковский однородный процесс N -класса с переходной функцией распределения:

$$F(x_n/x_{n-1}, \dots, x_{n-k}) = Pr \{ \xi'_n < x_n / \xi'_{n-1} = x_{n-1}, \dots, \xi'_{n-k} = x_{n-k} \} = \\ = \frac{1}{\sqrt{2\pi}} \int_{-\infty}^A \exp \left\{ -\frac{t^2}{2} \right\} dt. \quad (3)$$

Здесь

$$A = \sigma^{-1} \left(\frac{\Lambda_k}{\Lambda_{kk}} \right)^{-1/2} \left[\ln(x_n - a) - m - \sum_{j=1}^{k-1} \frac{\Lambda_{kk-j}}{\Lambda_{kk}} (\ln(x_{n-j} - a) - m) \right], \quad (4)$$



где a — параметр сдвига одномерной функции распределения ξ'_i ; m — математическое ожидание; σ — среднеквадратичное отклонение нормально распределенной последовательности

$$\tau_i = \ln(\xi'_i - a). \quad (5)$$

Однако для моделирования лучше всего исходить непосредственно из структуры случайной последовательности ξ_i , которая представляет собой последовательность случайных величин стока, связанных в марковскую цепь с одномерной, логнормальной функцией распределения и с параметрами a , m , σ и корреляцией на один шаг r . Из этого следует, что последовательность представима в виде

$$\xi_i = \exp\{\sigma\xi'_i + m\} + a, \quad (6)$$

где ξ'_i — последовательность случайных величин с распределением $N(0,1)$ и корреляцией r , связанного с r по формуле

$$r = \frac{1}{\sigma^2} \ln [(\exp\{\sigma^2\} - 1) \rho_i + 1]. \quad (7)$$

Таким образом, достаточно смоделировать последовательность ξ'_i . Для плотности условного распределения ξ'_i будем иметь

$$f_r(y/x) = \frac{1}{\sqrt{2\pi}\sqrt{1-r^2}} \exp\left\{-\frac{1}{2(1-r^2)}(rx-y)^2\right\}. \quad (8)$$

Отсюда же вытекает, что величины

$$\xi_i^2 = \frac{\xi_i^1 - r\xi_{i-1}^1}{\sqrt{1-r^2}} \quad (9)$$

представляют собой последовательность независимых случайных величин с распределением $N(0,1)$.

Итак, окончательно с помощью формул

$$\xi_i^1 = r\xi_{i-1}^1 + \sqrt{1-r^2}\xi_i^2, \quad (10)$$

а также (6) задача моделирования ξ_i сведена к моделированию последовательности ξ_i^2 , которое осуществимо стандартными способами.

Для получения величин энергий, соответствующих данной реализации входного процесса при управлении оптимальной политикой, надо иметь также последовательность объемов воды в водохранилище ζ_i , соответствующую смоделированной последовательности ξ_i^1 . Для их вычисления необходимо в уравнение баланса водохранилища [1] подставить вместо α_i значения оптимальных уравнений α_i (ζ_i , ξ_{i-1}). Таким образом, будем иметь рекуррентное соотношение

$$\zeta_{i+1} = (\zeta_i + \zeta_i - \alpha_i(\zeta_i, \xi_{i-1}))_0^\beta. \quad (11)$$

Далее, имея двумерную реализацию случайной последовательности (ξ_i, ζ_i) , по формуле

$$L(\zeta_i, \eta_i) = 8,5 \eta_i H_i = \Theta_i \quad (12)$$

вычисляем соответствующую реализацию регулирования водохранилища ГЭС в виде выработок энергии по разыгранным методом Монте-Карло длинному ряду (N лет). Для получения эмпирических функций распределения оптимальных энергий внутри каждого цикла регулирования, а также интегральной энергии за год, опираясь на свойства эргодичности, накладываем годичные реализации друг на друга, получая реализации выработок энергии в каждом интервале:

$$\Theta_i, \Theta_{i+16}, \Theta_{i+32}, \dots, \Theta_{i+(N-1)16} \quad i = 1, 12, \dots, 16. \quad (13)$$

Теперь строим эмпирическую функцию распределения $F_i^N(x)$ для i -го интервала: $F_i^N(x) = \frac{v_i}{N}$, представляющую собой оценку теоретической функции

$$F_i(x) = P[\Theta_i < x], \quad (14)$$

где v_i — количество значений из ряда (13) не превышающих по величине x , а N — объем выборки.

Грузинский институт энергетики
и гидротехнических сооружений

(Поступило 10.2.1972)

მნიშვნელობა

მ. ედიბერიძე

კოსტავ სიმონიშვილი რეზიგნის პროგნოზირებისა და სამუშალო მრა-
ვალფლიური ელექტრომენაგრის გამოვლებავების განაწილების
ფუნქციების შეფასების საკითხები

რეზიუმე

განხილულია ჰესების პიდრო-ენერგეტიკული რეჟიმების პროგნოზირების ზოგიერთი ასპექტი, რომლებიც დაყრდნობილია მონტი-კარლოსა და მათე-
მატიკური მოდელირების მეთოდებზე. დამუშავებულია ალგორითმი ენერგიის გამომუშავების ემპირიული განაწილების ფუნქციის აგებისა, ოპტიმალური რეგულირების პოლიტიკაზე დაყრდნობით.

POWER ENGINEERING

M. G. EDIBERIDZE

PROBLEMS OF PREDICTING THE SEASONAL REGIMES OF POWER STATIONS AND OF ASSESSMENTS OF THE DISTRIBUTION FUNCTIONS OF LONG-TERM AVERAGE ANNUAL OUTPUT OF ELECTRIC POWER

Summary

Some aspects of predicting the hydroenergetic regimes of power stations are considered on the basis of the Monte-Carlo and mathematical

modelling methods. The algorithm for constructing the empirical distribution function of power output has been worked out with respect to the optimal policy of regulation.

ლიტერატურა — REFERENCES

1. М. Г. Эдибериձե. Сообщения АН ГССР, т. 50, № 1, 1968.
2. Г. Г. Сваниձե, А. Ф. Торонджадзе и др. Сообщения АН ГССР, т. 53, № 1, 1969.

Т. Г. ЛЕКИШВИЛИ

ЭКСПЕРИМЕНТАЛЬНАЯ УСТАНОВКА ДЛЯ ИССЛЕДОВАНИЯ
ВЛИЯНИЯ КОЛЕБАНИЙ НАПРЯЖЕНИЯ НА АСИНХРОННЫЕ
ДВИГАТЕЛИ

(Представлено членом-корреспондентом Академии Л. Г. Абелишвили 17.12.1971)

Большую часть электроэнергии, вырабатываемой в энергосистеме, потребляют асинхронные двигатели, поведение которых при отклонениях питающего напряжения изучено достаточно хорошо. Однако за последние годы в связи с увеличением протяженности электрических сетей, возрастанием количества и мощности быстроизменяющихся нагрузок в распределительных сетях имеют место колебания напряжения, влияющие на характеристики асинхронных двигателей. Ввиду актуальности вопроса влияния колебаний напряжения на асинхронные двигатели экспериментальное изучение переходных процессов приобретает важное значение. С целью экспериментального исследования влияния колебаний напряжения на асинхронные двигатели была осуществлена установка, позволяющая воспроизводить неустановившиеся процессы в машине при ее питании колеблющимся напряжением.

Экспериментальная установка делает возможным исследование колебания асинхронных двигателей при их питании модулированным напряжением. В установке предусмотрены измерения электромагнитного момента, момента на валу исследуемого асинхронного двигателя, а также скорости вращения. Кроме того, регистрируются питающее напряжение, ток и активная мощность. Установка позволяет изучать распределение потерь в разных частях статора и ротора.

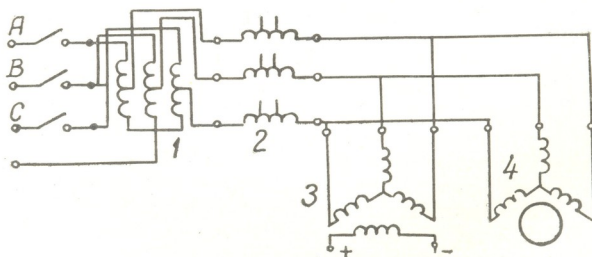


Рис. 1

Силовая часть установки содержит источник модулированного напряжения мощностью до 20 квт (рис. 1). Колебания напряжения осуществляются с помощью быстроизменяющейся нагрузки, в качестве

которой используется трехфазный управляемый реактор с вращающимся полем, потребляющий от сети синусоидальный ток [1]. Для увеличения быстродействия реактора в его управляемую обмотку введено регулируемое сопротивление значительной величины. В блоке управления реакторов используются тиристоры и диоды, собранные по мостовой схеме. Частота открывания тиристоров регулируется с помощью задающего генератора инфразвуковых частот. Внутреннее сопротивление питающей сети имитируется индуктивным сопротивлением 2. Установка дает возможность создавать колебания напряжения до 10% от номинального значения. Частота колебания питающего напряжения регулируется в диапазоне 0—10 гц. С целью регулирования общего уровня питающего напряжения в установке используются автотрансформаторы 1. В качестве нагрузки исследуемой асинхронной машины 4 применен генератор постоянного тока, нагруженный на активное сопротивление.

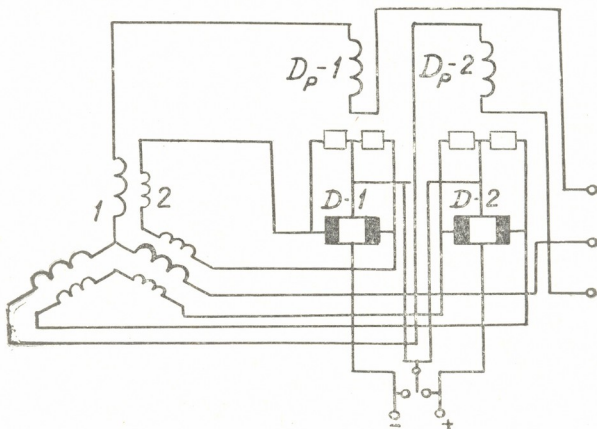


Рис. 2

При исследовании колебательных процессов в асинхронном двигателе к измерительной системе предъявляются более жесткие требования, чем при измерениях в стационарных режимах. Поэтому при выборе методов и устройств должна учитываться вышеуказанная особенность. Измерительная система объединяет устройства и приборы, предназначенные для измерения вращающего момента, скорости вращения, температуры и т. д. Ниже дается их краткое описание и рассматривается эффективность их применения при изучении колебательных процессов в асинхронном двигателе.

Измерение момента. Как известно, момент двигателя определяется или непосредственно на валу, или путем электрического моделирования формул с использованием контролируемых параметров режима машины.

Для измерения момента на валу используется тензометрический метод. При измерении момента тензометрическим способом тензодатчики, составляющие измерительный мост и наклеенные на окружности вала исследуемой машины, при деформации последнего на выходе моста дают напряжение, пропорциональное моменту на валу двигателя. Применяемые полупроводниковые тензодатчики отличаются от обычных проволочных высоким уровнем выходного сигнала, а также высокой чувствительностью [2].

Методика измерения электромагнитного момента основана на воспроизведении выражения

$$M = \frac{3}{2 \cdot \omega_c} (i_a e_{ab} + i_c e_{cb}),$$

где ω_c — угловая синхронная скорость; e_{ab} — значение линейной э. д. с. между фазами А и В; e_{bc} — значение линейной э. д. с. между фазами В и С; i_a , i_c — линейные токи в соответствующих фазах.

Датчики Холла Д-1 и Д-2 помещаются в воздушном зазоре дросселей Др-1 и Др-2, обмотки которых обтекаются током статора испытуемой машины. Созданные магнитные потоки в фазах А и С пропорциональны питающим двигатель токам. К токовым электродам датчика подводится э.д.с., индукируемая в измерительных витках 2 соответствующих фаз статора 1. В каждом измерительном витке наводится э.д.с., пропорциональная суммарной э.д.с. соответствующей фазы. Таким образом, напряжение на холловских выводах датчика пропорционально электромагнитному моменту. С целью устранения напряжения небаланса с частотой 50 Гц введен узел балансировки 3. Погрешность измерения электромагнитного момента с помощью указанного метода во всем диапазоне изменения момента, как и в аналогичных схемах, не превышает 2,5–5% [3].

Измерение скорости вращения. Для измерения колебаний угловой скорости применен униполярный тахогенератор, постоянная времени которого настолько мала, что при колебании скорости вращения с частотой до 10 Гц инерционность не влияет на результаты измерений [4]. При записи скорости вращения была использована схема сравнения, позволяющая выделять только колебания скорости вращения.

Измерение температуры. Для определения теплового режима исследуемого асинхронного двигателя при его питании колеблющимся напряжением в экспериментальной установке использованы термометры сопротивления и расширения. Для измерения температуры в разных частях статора и ротора применены термометры сопротивления. Термодатчики уложены в пазы статора — между витками обмотки и на дне, что соответствует измерению температуры обмотки и железа. В роторе термоэлектрические вклейки вклеены в просверленные части коротко-замкнутой обмотки и активной стали. Измерение температуры охлаждающего воздуха осуществляется с помощью термометров расширения, расположенных вокруг исследуемого асинхронного двигателя на расстоянии 1,5 м на уровне половины его высоты [5].

При непрерывных измерениях момента на валу и температуры в роторе асинхронной машины неискажающаяся электрическая связь между вращающимися измерительными преобразователями и измеритель-



ной аппаратурой осуществлена с помощью ртутного токосъемника, дающего высокую точность.

Таким образом, указанная экспериментальная установка позволяет полностью исследовать характеристики двигателей различных мощностей при их питании колеблющимся напряжением. Установка также может быть использована с целью исследования влияния колебаний напряжения и на другие виды потребителей электрической энергии, например, на освещение, статические конденсаторы, ионные электроприводы.

Грузинский институт энергетики
и гидротехнических сооружений

(Поступило 6.1.1972)

ელექტროტექნიკა

თ. ლეკიშვილი

ასინქრონულ ძრავებზე ძაბვის მოდულაციის გავლენის
შესრულების მარატინიზაციული დანადგარი

რეზიუმე

ასინქრონულ ძრავებზე ძაბვის მოდულაციის გავლენის გამოსაკვლევად შექმნილია ექსპერიმენტული დანადგარი, რომელიც საშუალებას იძლევა მოგვცეს მანქანაში ისეთი არამდგრადი პროცესები, როგორსაც აღვილი აქვს მკვებავი ძაბვის რყევის დროს. ექსპერიმენტული დანადგარი შეიძლება გამოყენებულ იქნეს ძაბვის მოდულაციის გავლენის შესასწავლად სხვა მომხარებლებზედაც, მაგალითად: განათება, სტატიური კონდენსატორები, იონური ამძრავი.

ELECTROTECHNICS

T. G. LEKISHVILI

AN EXPERIMENTAL INSTALLATION FOR STUDYING THE EFFECT OF VOLTAGE FLUCTUATION ON INDUCTION MOTORS

Summary

In order to study the effect of voltage fluctuation on induction motors an experimental device has been developed enabling to produce unsteady processes in the motor similar to those occurring in the feeding voltage fluctuation. This experimental device installation can be used in investigating the effect of voltage fluctuation on other consumers: such as, lighting, static capacitors, ionic electric drives, etc.

ლიტერატურა — REFERENCES

1. М. С. Либкинд. Управляемые реакторы для линии электропередач. М., 1961.
2. Л. С. Ильинская и А. Н. Подмарков. Полупроводниковые тензодатчики. М.—Л., 1966.
3. В. А. Мясников. Электромеханика, № 10, 1961.
4. В. И. Долина. Электричество, № 2, 1957.
5. Г. К. Жерве. Промышленные испытания электрических машин. М.—Л., 1968.

АВТОМАТИЧЕСКОЕ УПРАВЛЕНИЕ И ВЫЧИСЛИТ. ТЕХНИКА

Д. И. ЦУЛАЯ

НЕКОТОРЫЕ ВОПРОСЫ ПРИМЕНЕНИЯ ЦВМ
В САМОНАСТРАИВАЮЩИХСЯ СИСТЕМАХ

(Представлено членом-корреспондентом Академии Н. В. Габашвили 1.2.1972)

Одна из основных трудностей разработки систем автоматического управления (АУ) часто заключается, с одной стороны, в непредвиденных изменениях в широких пределах характеристик внешних воздействий и свойств управляемых объектов, а с другой, в неполноте априорной информации как о свойствах объекта, так и о внешних воздействиях. Для преодоления имеющихся трудностей системам АУ следует придать свойства адаптивности.

Аналитические самонастраивающиеся системы (АСС), или, как еще часто их называют, беспоисковые самонастраивающиеся системы (СНС), представляют один из классов адаптивных систем АУ. Основные черты этих систем были впервые рассмотрены в работах [1, 2]. В настоящее время известны многие типы СНС управления, которые могут быть отнесены к классу беспоисковых СНС.

В настоящей работе рассматриваются вопросы применения ЦВМ в беспоисковых СНС с моделями. Опыт эксплуатации систем с моделями показывает, что с введением моделей значительно улучшается качество работы всей системы в целом [3].

В основе функционирования беспоисковых СНС, как известно, лежит критерий первичной оптимизации Е, обусловленный конкретной целью управления, а цепи самонастройки работают в соответствии с критериями вторичной оптимизации Q.

Самонастройка состоит в изменении динамических свойств системы управления (СУ) при помощи изменения параметров корректирующего устройства (КУ). Наличие цепей самонастройки параметров составляет отличительную особенность СНС от обычных систем АУ.

Процесс самонастройки СУ обычно разбивают на три основных этапа: определение текущего значения критерия качества протекания процесса; определение какой-либо характеристики системы, достаточно полно отражающей ее текущее состояние; определение и реализация необходимых воздействий на систему с целью обеспечения требуемого режима (качества) ее работы в новых условиях.

Выполнение всех перечисленных этапов может быть осуществлено с помощью подстраиваемых моделей. При этом следует принять во внимание, что даже эталонная модель при наличии ЦВМ может быть рассмотрена как модель с подстраиваемыми параметрами.

Каждый отдельный этап самонастройки в СНС с применением ЦВМ будет осуществляться соответствующими алгоритмами,ложенными в ЦВМ в виде программ: 1 — алгоритмом определения критерия качества (АОКК) для выявления текущего значения критерия, 2 — алгоритмом идентификации (АИ) для определения динамических харак-

теристик системы или объекта управления (ОУ), 3 — алгоритмом перестройки параметров (АПП), с помощью которого будут вычисляться оптимальные значения подстраиваемых параметров.

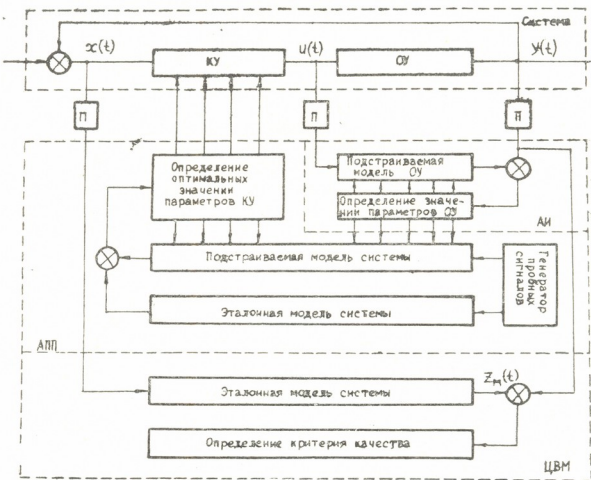


Рис. 1

На рис. 1 представлены блок-схема СНС при наличии ЦВМ с указанием взаимосвязей упомянутых алгоритмов с основной системой.

Входные, выходные и промежуточные ($U(t)$) сигналы, снимаемые с соответствующих выходов системы в дискретные моменты времени, подаются в ЦВМ после преобразования в цифровую форму. Алгоритм определения критерия качества производит сравнение выходных сигналов Y_t системы и Z_t эталонной модели. Последняя представлена в виде передаточной функции основной системы. Если рассогласование

$$\varepsilon_t = Z_t - Y_t$$

больше допустимого, управление передается блоку идентификации.

Алгоритм идентификации с подстраиваемой моделью ОУ определяет истинные значения параметров ОУ. Эти значения вводятся в подстраиваемую модель системы, которая входит в состав блока перестройки параметров.

С генератора пробных сигналов одновременно подаются сигналы на входы подстраиваемой и эталонной моделей системы. С помощью алгоритма перестройки параметров, аналогично АИ, находятся такие значения изменяемых параметров КУ, при которых переходные процессы на выходах эталонной и подстраиваемой моделей системы будут идентичны.

Как видно, в обоих случаях процесс вычисления значений подстраиваемых параметров сводится к задаче оптимизации, т. е. к нахожде-

нию оптимальных значений параметров, обуславливающих минимальное значение критерия оптимизации. В качестве такого критерия в данном случае выступает функция рассогласования.

Оптимальные значения параметров КУ, определяемые АПП, вводятся в КУ с помощью исполнительного механизма. Этим процесс самонастройки заканчивается.

Если вследствие тех или иных причин параметры системы вновь изменятся, цикл самонастройки (определение текущего значения критерия качества, идентификация ОУ и нахождение оптимальных значений параметров КУ) производит корректировку системы заново.

В рассматриваемой системе в качестве АИ применяются алгоритмы, предложенные в работах [4, 5]. Эти же алгоритмы без особых изменений могут быть использованы и для определения оптимальных значений параметров КУ, т. е. могут составить основу АПП.

Применение ЦВМ в качестве контура самонастройки создает большие возможности, поскольку аналитическая интерпретация процессов, протекающих в реальных системах, позволяет ускорить и значительно удешевить нахождение оптимального управления самим объектом.

Грузинский политехнический институт
им. В. И. Ленина

(Поступило 17.2.1972)

ავტომატური მართვა და გამოყენების ზოგიერთი საკითხი

დ. ჭულაია

თვითაჯობად სისტემებში ცვა გამოყენების ზოგიერთი საკითხი

რეზიუმე

განხილულია ციფრული გამომოვლელი მანქანის გამოყენების შესაძლებლობა თვითაჯობად სისტემებში მოღელებით. ქვე მოყვანილია ასეთი სისტემის ბლოკ-სქემა და ნაჩვენებია ძირითადი ალგორითმების ურთიერთკავშირი. სისტემასთან აღნიშნული ბლოკ-სქემის საფუძველზე იხსნილია სისტემის მუშაობის პრინციპი.

AUTOMATIC CONTROL AND COMPUTER ENGINEERING

D. I. TSULAIA

SOME PROBLEMS RELATED TO THE APPLICATION OF DIGITAL COMPUTERS IN SELF-ALIGNING SYSTEMS

Summary

The feasibility of applying digital computers in self-aligning systems with models is considered. The block diagram of such a system is presented and the interrelation of its basic algorithms with the system is indicated. The operation principle of the system is explained on the basis of given block diagram.

ლიტერატურა — ЛИТЕРАТУРА — REFERENCES

1. А. М. Батков, В. В. Соловьевников. Автоматика и телемеханика, т. 18, № 5, 1957.
2. В. В. Соловьевников. Сб. «Автоматическое регулирование и управление». М., 1956.
3. Е. П. Маслов, Л. М. Осовский. Автоматика, № 6, 1966.
4. К. Н. Камкадзе, Д. И. Цулая, Т. М. Джваришвили. Труды XV и/т конференции ГПИ им. В. И. Ленина, вып. 17, 1970.
5. დ. ჭულაია. საქართველოს კ. ლენინის სახელობის პოლიტექნიკური ინსტიტუტის შრომები, № 6, 1971.



АВТОМАТИЧЕСКОЕ УПРАВЛЕНИЕ И ВЫЧИСЛИТ. ТЕХНИКА

М. М. КЛЕМЕНТЬЕВ, Ю. М. ОРКОДАШВИЛИ, Я. Ш. ПАЛАГАШВИЛИ,
О. К. ХОМЕРИКИ, А. Н. ШААНОВ

МИКРОМИНИАТЮРНЫЕ КРЕМНИЕВЫЕ ДАТЧИКИ ХОЛЛА

(Представлено членом-корреспондентом Академии Н. В. Габашвили 16.2.1972)

Одним из наиболее прогрессивных направлений развития современных устройств автоматики, вычислительной и измерительной техники является микроминиатюризация элементов этих устройств на основе применения планарной технологии производства полупроводниковых приборов и последних достижений физики и техники полупроводников. В последние годы все большее техническое применение получают элементы, принцип действия которых основан на использовании гальваниомагнитных эффектов, в частности эффекта Холла [1].

При исследовании топографии магнитных полей в малых объемах, для «точечных» замеров магнитных полей, для создания магнитных головок специального назначения (как однодорожечных, так и многодорожечных), для измерения качественных и количественных характеристик магнитных полей цилиндрических доменов в монокристаллических ферромагнетиках, а также для создания устройств считывания информации с логических и переключающих элементов, выполненных на магнитных интегральных схемах, весьма эффективным является применение микроминиатюрных датчиков Холла [1, 2].

Для изготовления микроминиатюрных датчиков Холла могут быть использованы возможности современной технологии и методы формирования полупроводниковых структур. Одним из основных и наиболее перспективных методов формирования полупроводниковых структур для изготовления микроминиатюрных датчиков Холла является эпитаксиальный метод, так как он позволяет получать монокристаллические пленки полупроводникового материала на монокристаллических пластинках-подложках из изолирующего материала со сходной кристаллической структурой [3].

Датчики Холла, изготовленные на основе эпитаксиальных пленок, обладают большой удельной чувствительностью вследствие малой толщины слоя (2—3 мкм) и высокой подвижности носителей зарядов. Кроме того, наличие пластины-подложки обеспечивает хороший отвод тепла от датчика Холла, что позволяет работать при высоких значениях управляющего тока i_1 . Это, в свою очередь, позволяет повысить чувствительность датчика Холла к магнитной индукции.

Авторами были разработаны и изготовлены опытные образцы микроминиатюрных датчиков Холла на основе выпускаемых промышленностью структур КНС — эпитаксиальная пленка кремния на сапфировой подложке. Следует отметить, что отличительной особенностью кремниевых датчиков Холла является их устойчивость к ядерному излучению [1]. Прозрачность монокристаллической сапфировой подложки обеспечивает возможность совмещения под микроскопом центра 11. „მთამბეჭდი“, ტ. № 1, 1972



датчика Холла с объектом, магнитное поле которого необходимо измерить, например, с цилиндрическим доменом в пластинке монокристаллического ферромагнетика.

Использованные структуры КНС имели эпитаксиальный слой кремния толщиной 3 мкм с удельным сопротивлением 0,1 ом·см. Толщина сапфировой подложки — 250 мкм.

На основе анализа различных вариантов конструктивного исполнения и исходя из условия наибольшей технологичности изготовления была выбрана симметричная крестообразная форма датчиков Холла [1].

Крестообразные участки кремния получались методом фотолитографии. Активная площадь датчиков определяется размерами перекрестья и в описываемых датчиках была равна 60×60 мкм². На концах крестообразной пластины Холла расположены алюминиевые электроды (рис. 1).

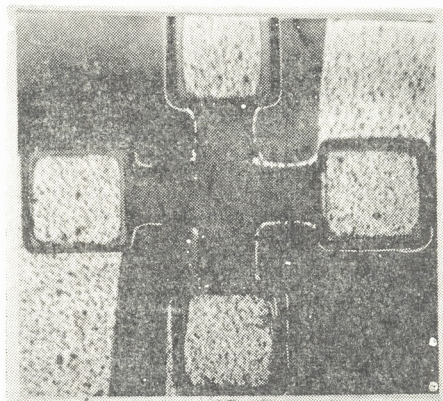


Рис. 1. Макроминиатюрный кремниевый датчик Холла на сапфировой подложке (X 120)

С целью получения невыпрямляющих контактов алюминиевых электродов с соответствующими участками пластины Холла на концах креста с помощью фотолитографии вскрывались окна под диффузию фосфора (для создания низкоомных участков). После диффузии фосфора производилось напыление тонкого алюминиевого слоя (1 мкм) с последующей фотолитографией под разводку электродов. Для обеспечения омического контакта с низкоомными областями п-типа и лучшего сцепления алюминиевых электродов с подложкой производился процесс вжигания. Для получения внешних выводов к датчикам Холла к алюминиевым электродам методом термокомпрессии присоединялась золотая микропроволока диаметром 40 мкм.

На рис. 2 представлена экспериментально полученная зависимость остаточного напряжения микроминиатюрных датчиков Холла при различных значениях управляющего тока i_1 . Как видно из характеристики-

ки, величина остаточного напряжения почти линейно увеличивается с возрастанием управляющего тока и сравнительно велика, но легко компенсируется при шунтировании высокоомным резистором соответствующего плеча датчика [1].

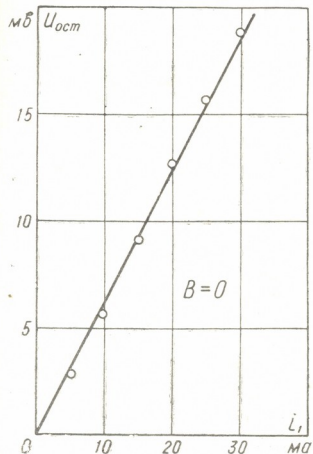


Рис. 2. Зависимость остаточного напряжения от величины управляющего тока

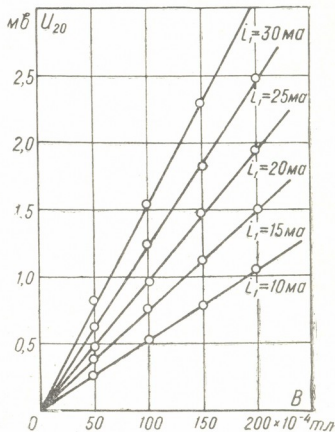


Рис. 3. Зависимость э. д. с. Холла от индукции магнитного поля при различных значениях управляющего тока

На рис. 3 представлены зависимости э. д. с. Холла U_{20} от индукции В при различных значениях управляющего тока i_1 (при комнатной температуре). Компенсация остаточного напряжения производилась при каждом значении управляющего тока.

Опытные образцы микроминиатюрных датчиков Холла имели следующие параметры: номинальное значение управляющего тока — 20 мА, входное и выходное сопротивления — 400–500 ом, удельная чувствительность — 4,5 в/а·тл. Температурный коэффициент удельной чувствительности в диапазоне температур от -50 до 70°C не превышал 0,1 %/град.

Получить более высокую чувствительность кремниевых датчиков Холла при указанной толщине эпитаксиального слоя невозможно из-за меньшей подвижности носителей зарядов в эпитаксиальных пленках, по сравнению с подвижностью в массивных совершенных монокристаллах. Это связано с тем, что структура и совершенство кремниевых пленок на сапфире определяются ориентировкой и качеством поверхности подложки [3]. По данным [3], подвижность носителей зарядов понижается с возрастанием плотности дислокаций. В пленках кремния на сапфире подвижность носителей составляет около 50% величины, характерной для совершенных монокристаллов кремния, что объясняется низким качеством кристаллов-подложек с плотностью дислокаций 10^5 – 10^6 см^{-2} , а также деформацией пленок вследствие неодинакового теплового расширения кремния и сапфира.



Полученные результаты свидетельствуют о том, что опытные образцы микроминиатюрных кремниевых датчиков Холла обладают высокой чувствительностью и линейностью, а также хорошей стабильностью параметров в широком диапазоне температур.

Академия наук Грузинской ССР
Институт систем управления

(Поступило 17.2.1972)

ავტომატური მართვა და გამოთვლითი ტექნიკა

ა. პლაგანტივი, ი. რეზოუზვილი, ი. ფალაგაშვილი, მ. ხომერიკი, ა. შაანოვი

კაზბაძის მიკრომინიატურული ჰოლის გადამოწევი

რეზიუმე

დამუშავებულია და გამოცდილია მიკრომინიატურული ჰოლის გადამწოდების ნიმუშები კაჯბაძის ეპიტაქსიური ფენებიდან საფირონის ფირფიტებზე. გადამწოდის აქტიური ფართობია $60 \times 60 \mu\text{m}^2$, ხოლო სისქე — 3 μm . გადამწოდების შესავალი და გამოსავალი წინააღმდეგობა შეადგენს 400–500 Ω , ძუთრი მგრძნობიარობა — 4,5 $\text{V}/\text{A}\cdot\text{T}$. მგრძნობიარობის ტემპერატურული ძოვფიციენტი არ ჭარბებს 0,1 %/გრად.

AUTOMATIC CONTROL AND COMPUTER ENGINEERING

M. M. KLEMENTIEV, Yu. M. ORKODASHVILI, Ya. Sh. PALAGASHVILI,
O. K. KHOMERIKI, A. N. SHAANOV

MICROMINIATURE SILICON HALL GENERATORS

Summary

Specimens of microminiature Hall generators based on epitaxial silicon films on sapphire substrate have been developed and investigated. Some properties of these Hall generators are: active area $\approx 60 \times 60 \mu\text{m}^2$; thickness $\approx 3 \mu\text{m}$; input and output resistance ≈ 400 to 500Ω ; specific sensitivity $\approx 4.5 \text{ V}/\text{A}\cdot\text{T}$; temperature coefficient of specific sensitivity does not exceed 0.1 %/degree.

ლიტერატურა — ЛИТЕРАТУРА — REFERENCES

1. О. К. Хомерики. Применение гальваномагнитных датчиков в устройствах автоматики и измерений. М., 1971.
2. М. А. Боярченков. Приборы и системы управления, № 8, 1971.
3. Л. С. Палатник, И. И. Папиров. Эпитаксиальные пленки. М., 1971.

АВТОМАТИЧЕСКОЕ УПРАВЛЕНИЕ И ВЫЧИСЛИТ. ТЕХНИКА

Г. С. ЦИРАМУА, Г. Н. ГАБАШВИЛИ

К ВОПРОСУ ИТЕРАЦИИ КОМПОНЕНТОВ ЦВМ IV ПОКОЛЕНИЯ— БОЛЬШИХ ИНТЕГРАЛЬНЫХ СХЕМ (БИС)

(Представлено членом-корреспондентом Академии Л. Г. Абелишвили 10.3.1972)

Одной из основных проблем, возникших на данном, начальном этапе перехода на создание ЭЦВМ IV поколения, построенных на больших интегральных схемах (БИС), является максимизация итеративности ($J \rightarrow \text{max}$) функционально законченных цифровых узлов—больших интегральных схем. Большая номенклатура БИС создает известные трудности схемотехнического и технологического характера, отрицательно влияющие на темпы и масштабы их массового производства. Низкая повторяемость функциональных узлов при прочих разных условиях влечет за собой увеличение стоимости вычислительных машин. Между тем, известно, что посредством уменьшения номенклатуры ($J \rightarrow \text{max}$) компонентов можно достигнуть снижения стоимости проектирования, производства и эксплуатации как БИС, так и ЦВМ в целом.

Вопрос итеративности ряда параметров, как например видов и уровней сигналов, логических функций, геометрических размеров, величины питающего напряжения и некоторых других, для БИС решается аналогично интегральным схемам (ИС). Что касается вопроса повторяемости БИС, по такому параметру, как размер функционального узла по длине разрядной сетки (n), то до настоящего времени он не решен.

Выпускаемые в настоящее время предприятиями СССР и зарубежными фирмами БИС по параметру n далеко не итеративны. Согласно опубликованным данным, серийно и малосерийно выпускаемые БИС имеют значения $n=4, 5, 6, 8, 10, 12, 15, 16, 20, 25$ и т. д. Это можно объяснить в основном тем, что до появления БИС при конструировании ЦВМ размеры этого параметра не имели принципиального значения из-за существующего мелкомодульного принципа построения функциональных узлов ЦВМ. С увеличением интеграции интегральных схем и постепенным переходом на производство БИС параметр n приобретает особое значение.

На пути решения поставленного вопроса возникли определенные трудности ввиду отсутствия методики расчета БИС по вышеуказанному параметру. Однако, если применить методы математической статистики, проблема решится весьма просто.

Будем исходить из того, что разрядность (n) БИС как основного компонента ЦВМ находится в прямой зависимости от разрядности



ЦВМ. Назовем параметр n информативным размером. Известно, что информативный размер ЦВМ любого поколения зависит главным образом от диапазона и способа представления чисел, которые, в свою очередь, определяются назначением вычислительной машины. Величина этого параметра (так же как и величина некоторых других параметров) в каждом частном случае обоснована, рассчитана и для каждого заданного типа машины является детерминированной. Однако при рассмотрении большой совокупности типов ЦВМ, разработанных в разное время, в разных местах, разными конструкторскими группами, для различных задач, независимо от физической основы конструирования элементов параметр n приобретает характер случайных величин. Следовательно, на основе статистического анализа параметров n выпущенных за прошедший период ЦВМ (период машины I, II и III поколения), используя метод экстраполяции, вполне возможно прогнозировать появление ЦВМ с определенной информативной длиной в будущем. На основании прогнозируемых размеров составим приемлемый для БИС ряд размеров n с учетом итеративности, т. е. выполнением условий $m \rightarrow \min$ (m — количество номенклатуры). Предполагается при этом, что за прогнозируемый период в машинной арифметике существенных изменений не произойдет.

В таблице помещены собранные нами сведения о информативной длине (ni) 1180 марок (Mi) универсальных и специализированных малых и больших ЭЦВМ II и III поколения, выпущенных как в СССР, так и за рубежом за период 1964—1970 гг. [1, 2].

ni	7	8	11	12	13	14	15	16	17	18	19	20	21	22	24	25	26	27	28	30	
Mi	1	44	1	81	9	8	11	127	1	95	3	37	4	6	353	12	10	21	13	26	
ni	31	32	33	34	36	37	38	39	40	41	42	43	44	45	48	50	54	56	60	64	96
Mi	7	82	2	274	2	1	5	10	1	17	1	5	2	60	1	3	5	18	16	3	

В результате анализа статистического ряда (см. таблицу) было обнаружено следующее: плотность распределения типов машин по n далеко не равномерная — из всех 90 возможных вариантов в диапазоне варьирования (от 7 до 96 двоичных разрядов) использовано $m=41$ различных размеров; машины с числом двоичных разрядов 9, 23, 29 и некоторые другие вовсе не встречаются; из всей совокупности 93,2% машин имеет четное число n . Наиболее часто встречающиеся информативные размеры (8, 12, 16, 20, 24, 32, 36 и 48 двоичных разрядов), доля которых составляет 78,5%, имеют общие признаки — они без остатков де-

ляются на четыре, т. е. $\frac{n_i}{4} = k$ ($k=1, 2, \dots$); с отклонением в пределах ± 1 разряд $\frac{n_i \pm 1}{4} = k$ встречается 1011 (87%) типов машин

Из проведенного анализа следует, что с погрешностью 13% и ± 1 разряд шаг градиента (Δn) статистического ряда равен четырем. Если исключить начальный размер $n=7$ (его доля составляет меньше 0,1%), то статистический ряд можно начать с $n=n_0=8$ (с первого максимума частоты вариантов).

Таким образом, можно утверждать, что с допустимой погрешностью статистический ряд представляет собой ряд $n_i = 8 + 4 \cdot i$ ($i = 0, 1, 2, \dots$).

Исходя из принципа экстраполяции в качестве нормального ряда информативных размеров БИС можно принять ряд, построенный на основе $\bar{n}_i = 8 + 4 \cdot i$ ($i = 0, 1, 2, \dots$).

В данном случае, по параметру p номенклатура (m) создаваемых БИС все же получается недопустимо большой — условие по критерию $m \rightarrow \min$ не выполняется (в диапазоне от 8 до 96 разрядов $m=23$).

Однако тот же самый ряд \bar{n}_i можно получить, если ограничиться двумя базовыми размерами БИС \bar{n}_{01} и \bar{n}_{02} и путем их различного сочетания обеспечить получение нормального ряда, максимально близкого к статистическому (условие подобия): $\bar{n}_i = j \cdot \bar{n}_{01} + k \cdot \bar{n}_{02} = \bar{n}_0 + i \cdot \Delta \bar{n}$ ($i, j, k = 0, 1, 2, \dots$). Очевидно, если $\bar{n}_{01} = \bar{n}_0 = 8$ и $\Delta \bar{n} = 4$, то $\bar{n}_{02} = 12$. Следовательно, $\bar{n}_i = 8 \cdot j + 12 \cdot k = 8 + 4 \cdot i$ ($i, j, k = 0, 1, 2, \dots$).

При этом итеративность БИС по параметру n получается достаточно высокой (количество номенклатуры $m=2$), т. е. условие $m \rightarrow \min$ выполняется.

Эти результаты совпадают с полученными ранее [3] информативными размерами ЦВМ, выпущенных за период 1947—1964 гг.

Таким образом, с помощью минимального ассортимента БИС по информативным размерам можно компоновать малые, средние и большие универсальные или специализированные вычислительные системы IV поколения.

К сказанному следует добавить, что каждый из получаемых размеров имеет определенные предпочтительные признаки. Восемь двоичных разрядов приняты стандартной единицей машинного слова, равной одному байту. Двенадцать двоичных разрядов позволяют без остатка изобразить число в двоично-восьмеричной (триодами) и двоично-десятичной (тетрадами) системе счисления. При одновременном применении обоих размеров можно получать одно, полтора, два и т. д. кратных полбайту слова.

Можно утверждать, что, несмотря на то что физические основы построения пока не совсем ясны, полученный результат будет приемлем и для ЦВМ V поколения, если, конечно, при их появлении машинная арифметика не претерпит существенного изменения.

Грузинский политехнический институт
им. В. И. Ленина

(Поступило 9.3.1972)

გ. ცირამუა, გ. გაბაშვილი

IV თაობის ციფრული გამოთვლელი განვითარის ძობა და განვითარების —
დიდი ინტეგრირებული სერიების იტერაციულობის შესახებ

რეზიუმე

ამ ამაღლ ათვისებული ციფრული ტექნიკის კომპონენტების დიდი ინტეგრალური სქემების გაუმართლებლად ფართო ასორტიმენტი თანრიგთა რაოდენობის მიხედვით ქმნის ცნობილ სინერგებს, როგორც ინტეგრალური სქემების შექმნისას, ისე IV თაობის ციფრული გამომთვლელი მანქანების აგებაში. მანქანის კომპონენტების იტერაციულობის გაზრდის მიზნით ჩატარებულ იქნა 1180 ანალიზი სხვადასხვა ტიპის გამომთვლელი მანქანებისა, რომლებიც გამოშვებულია 1964—1970 წლებში (II და III თაობის მანქანები) და მათგან ტიყური სტატისტიკის მეთოდით შემუშავდა ამ კომპონენტის ზომების ნორმალური მწყრივი თანრიგთა რაოდენობის ფარავაზრისთვით. მიღებულ მწყრივს აკმაყოფილებს დიდი ინტეგრალური სქემების მინიმალური ასორტიმენტი აღნიშნული პარამეტრის ზომების მიხედვით.

AUTOMATIC CONTROL AND COMPUTER ENGINEERING

G. S. TSIRAMUA, G. N. GABASHVILI

ON THE ITERATION OF BIG INTEGRATED CIRCUITS OF DIGITAL COMPUTER COMPONENTS OF THE 4TH GENERATION

Summary

The low iteration of big integrated circuits (BIC) in respect of a number of parameters, including digit design values, creates certain technical difficulties that have an adverse effect on the designing, production and exploitation of both BIC and digital computers of the 4th generation. With a view to increasing BIC iteration an analysis was made of 1180 digital computers of various types manufactured throughout the world over the 1964—1970 period (computers of the 2nd and 3rd generations). The normal bit series of BIC according to digit design value has been determined by the method of mathematical statistics and interpolation. The obtained series contains the necessary dimensions for assembling a large assortment of digital computers with a minimal list of BIC by the prescribed parameter.

ლითერატურა — ЛИТЕРАТУРА — REFERENCES

1. В. К. Зейденберг, Е. В. Тарасова. Обзор зарубежной вычислительной техники по состоянию на 1964—1970 гг. М., 1970.
2. В. И. Горбунов, В. С. Кирдан. Электронные вычислительные машины и моделирующие устройства. Киев, 1969.
3. Г. С. Цирамуа. Труды Тбилисского НИИ приборостроения и средств автоматизации, VII. М.—Л., 1966.

6. პეტრიაშვილი

ახალციხის ძვაბულის მთა-ტყეთა და ტყე-ველის ნიადაგების
მინდობრობის შეფასება

(წარმოადგინა აკადემიკოსმა გ. საბაშვილმა 10.2.1972)

ნიადაგების მინერალოგიური შედგენილობის შესწავლის აუცილებლობაზე
მიუთითებდნენ ვ. დოკუჩი ვ. [1], კ. გელრო ც. [2], ა. ზემია ტ-
ჩენ ს. გ. [3]. თანამდროვე მეცნიერებიდან აღსანიშნავია ნ. გორგუ-
ლივის [4] შრომები.

კვლევის ობიექტებიდან შევარჩიეთ ახალციხის ქვაბულის ნიადაგები, რომელთა-
საერთო დახასიათება და ვერტიკალური ზონების მიხედვით გავრცელების კა-
ნონზომიერებანი განხილულია ბ. კლოპოტოვსკის [5] და მ. საბაშვილის [6]
[6] შრომებში.

ჩვენ შევსწავლეთ ტყის ყომრალი, ტყის ყავისფერი (გამოტუტვილი და
კარბონატული), რუხი ყავისფერი და მდელოს ყავისფერი ნიადაგების რო-
გორც მსხვილი ($>0,001$ მმ), ისე წვრილი ($<0,001$ მმ) ფრაქციის მინერალო-
გიური შედგენილობა მაპოლიარიზებელი მიკროსკოპის საშუალებით, გრძელვა-
თერმული, ელექტრომიკროსკოპული და რენტგენოგრაფიული მეთოდებით.
ამასთანავე ჩატარდა როგორც ნიადაგის, ისე მისი ლექის ფრაქციის მთლიანი
ქიმიური ანალიზი.

მსუბუქი მინერალების (ხვედრითი წონა $<2,8$) ძირითადი მასა შედგენი-
ლია მინდვრის შპატების, კვარცისა და ძლიერ სახეშეცვლილი გულგანოგენური
მასალისაგან. მინდვრის შპატების შედგენილობაში ჭარბობს პლაგიოკლაზების
მარცვლები, რომელებზეც შეინიშნება აპატიტის. ცირკონისა და რუტილის
მიკროსკოპული კრისტალების ჩანართები. აღსანიშნავია, რომ მყელა ნიადაგში
გვხვდება ბიოგენური სილიციუმება (ფიტოლიტარია).

პირველადი მინერალების მარცვლები და აუთენტულია და არ ატარებს ნა-
გორავების ნიშნებს, ეს კი იმაზე მიგვითოთებს, რომ მათი წარმოქმნა და გა-
მოფიტვა მიმდინარეობდა აღიანვებით.

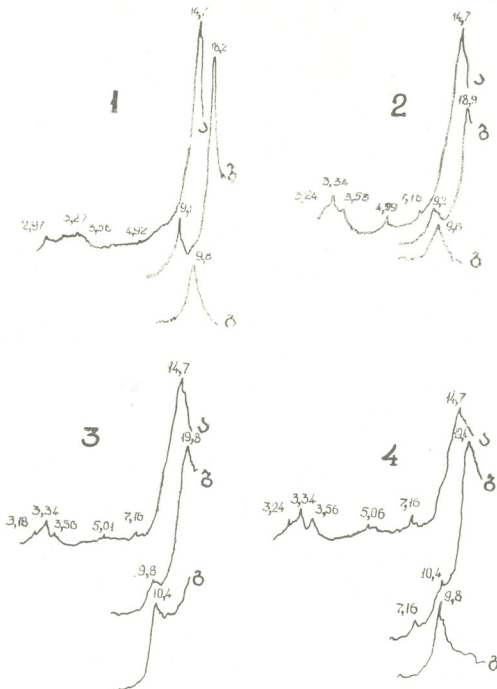
მძიმე მინერალები (ხვედრითი წონა $>2,8$) წარმოდგენილია ამფიბოლის
მარცვლებით, რომელთა შორის გამოიჩინა ჩვეულებრივი ჩქატყუარა, ეპი-
დოტი და ცეოზინი, დაქვემდებარებულ როლს ასრულებენ კარგად შენახული
ავგიტის ტიპის პიროქსენის მარცვლები. არაგამშვირვალე მინერალებიდან აღ-
სანიშნავია მაგნეტიტი, ილმენიტი და რუტილი.

ნიადაგების მთლიანი ქიმიური ანალიზის მიხედვით SiO_2 ნიადაგში (58—
64%) უფრო მეტი რაოდენობითა, ვიდრე ლექის ფრაქციაში (50—59%). ტყის
ყავისფერი და მდელოს ყავისფერი ნიადაგების წვრილდასპერსიულ ნაწილში-
მალილია Al_2O_3 -ის (24—25%), ტყის ყომრალ ნიადაგში კი Fe_2O_3 -ის (13—14%)
შემცველობა. Ca -ის რაოდენობა აღწევს 12%—ს, რაც პირველადი მინერალები-
თავა განპირობებული. ტყის ყომრალ ნიადაგში კალციუმის უანგი მთლიანად სი-
ლიკატური ფორმისა (3—4%). მაგნიუმის შესამჩნევი რაოდენობით არაებობა
საკვლევი ნიადაგების შთანმთქავ კომპლექსში (4—12%) განპირობებულია ძი-
რითადად მონტმორილონიტის ჭვეულის მინერალებით.

K_2O -ის საერთო შემცველობა ტყე-ველის ნიადაგებში და მათს ლექის ფრაქ-
ციაში არ აღმატება 2%—ს. ყველაზე ნაკლებია იგი ტყის ყომრალი ნიადაგის
წვრილდისპერსიულ ნაწილში (0,9%), რაც შიუთითებს იმაზე, რომ პილოქარ-

სები ამ ნიაღაგებში, მონტმორილინტან შედარებით, მცირე რაოდე ამასვე აღასტურებს დიფრაქტომეტრული კვლევის შედეგები (ნახ. 1).

მონტმიკრილონიტის ჯგუფის მინერალები ნიმუშების ბუნებრივ (ჰაერ-მჟღალ) პირობებში გადაღებისას იძლევიან $14,7 \text{ \AA}$ გამოსახულებას. ორიენტირებული აგრეგატების გლიცერინით დამუშავების შემდეგ ბაზალური რეფლექსი გადაინაცვლებს $18,2$ — $19,4 \text{ \AA}$ -ის მიმართულებით, ხოლო ნიმუშების 550 — 600°C -ზე გახურების შემდეგ გამოსახულება $9,8$ — $10,4 \text{ \AA}$ -მდე ვიწროვდება.



ნახ. 1. $<0,001$ მდ. ორაქციის დიფერენტომეტრული მრუდები: ა—ჰაერში-ლი, ბ—გაელემილი გლიცერინით, გ—გასტრებული 600°-ზე . 1—ტყას კომ-ჩალი, ჭრ. 230, ასასოფნი; 2—ტყის ყავისფერი, ჭრ. 52, ანა; 3—რტხი-ყავისფერი, ჭრ. 20, ბოლო ჯური; 4—მდელოს ყავისფერი, ჭრ. 42, ვალი.

საქართველოს ტყის ყომრალი ნიადაგების მაღალდისპერსიული ფაზის მინერალოგიურ შედეგენილობაში გ. ტარასაშვილი [7] და ლ. ნაკაშიძე [8] აღნიშნავენ მონტმორილონიტის დიდი რაოდენობით არსებობას, ბ. გრა-

დუსოვი და თ. ურუშაძე [9] კი მონტმორილონიტისა და ჰიდროქარბონიტების ასოციაციის სიჭარებს. ტყის ყავისფერი ნიაღაგების შედეგენილობაში ი. ანჯაფარიძე მიუთითებს ბეიდელიტისა და ჰიდროქარსების არსებობაზე, ე. ნაკაძე კი ჰიდროქარსების მონტმორილონიტთან შედარებით მეტ რაოდენობას აღნიშნავს [10].

ჩვენი მონაცემებით, ახალციხის ქვაბულის ტყის ყომრალი და ტყის ყავისფერი ნიაღაგების შთანმთქავი კომპლექსი წარმოდგენილია ძირითადად მონტმორილონიტის გვუფის მინერალებით. ჰიდროქარსები შედარებით მცირე რაოდენობითაა. გვხვდება აგრეთვე ერთნახევარი უანგეულების მინერალები, ამორფული ნივთიერებები, კალციტი და კვარცი.

ჩუხ ყავისფერ და მდელოს ყავისფერ ნიაღაგებში მონტმორილონიტი და ჰიდროქარსები თითქმის თანაბარი რაოდენობითაა. არ არის გამორიცხული, რომ ზემოთ აღნიშნული მინერალები წარმოდგენილი იყოს შერეულშრიანი მონტმორილონიტ-ჰიდროქარსიანი წარმონაქმნებით.

პირველადი მინერალები ძირითადად სალადა შენახული, ვულკანოგენური მასალა კი ძლიერა დაშლილი და სახეშეცვლილი, რაც იმაზე მიგვითითებს, რომ ახალციხის ქვაბულის ნიაღაგების თიხოვანი მინერალების წარმოქმნაში მთავარი აღვილი უკავია ვულკანური წარმოშობის ქანებს და მათი გამოფიტვის პროცესებს, რომელიც შეიცავს ვულკანური ფერფლის ტიპის წვრილ პიროვნებას.

ნიაღაგებში აღწერილი მინერალების ასოციაციათა ურთიერთშეფარდება, ორგანული ნივთიერებებს საკმაო რაოდენობით შემცველების პირობებში, განსაზღვრავს საკვლევი ნიაღაგების მაკრო- და მიკროლემენტებით სიმდიდრეს და მათს დადებით ფიზიკურ თვისებებს, რაც სასოფლო-სამუშაოების უზრუნველყოფის უხვი და მყარი მოსავლის საფუძველია.

საქართველოს სსრ ნიაღაგმცოდნების, აგროქიმიისა და

მელიორაციის ინსტიტუტი

(შემოვიდა 11.2.1972)

ПОЧВОВЕДЕНИЕ

Р. А. ПЕТРИАШВИЛИ

МИНЕРАЛОГИЧЕСКИЙ СОСТАВ ГОРНОЛЕСНЫХ И ЛЕСОСТЕПНЫХ ПОЧВ АХАЛЦИХСКОЙ ҚОТЛОВИНЫ

Резюме

Основными компонентами фракции $>0,001$ мм изучаемых почв (бурых лесных, коричневых лесных, серо-коричневых, лугово-коричневых) являются плагиоклазы, амфиболы, пироксены, биотиты, кварц и др. Вулканогенный материал сильно изменен.

Основными глинистыми минералами илистой фракции ($<0,001$ мм) являются минералы монтмориллонитовой группы. В подчиненном количестве присутствуют минералы гидрослюды.

R. A. PETRIASHVILI

MINERAL COMPOSITION OF MOUNTAIN-WOODLAND AND WOODLAND-STEPPE SOILS FROM THE AKHALTSIKHE BASIN

Summary

The principal components of the clay fraction (>0.001 mm) of the investigated soils (brown woodland, cinnamonic woodland, gray-brown, meadow cinnamonic) are plagioclases, amphiboles, pyroxenes, biotites, quartz, etc. The igneous material is drastically changed. The principal clay minerals of the silty fraction (<0.001 mm) belong to the montmorillonite clay group. Hydromica is represented in smaller quantities.

ლიტერატურა — REFERENCES

1. В. В. Докучаев. Труды Вольно-экономич. общества, т. I, вып. 2. СПб., 1880.
2. К. К. Гедройц. Учение о поглотительной способности почв. М., 1933.
3. А. И. Земятченский. Почвоведение, № 5, 1934.
4. Н. И. Горбунов. Высокодисперсные минералы и методы их изучения. М., 1963.
5. Б. А. Клопотовский. Труды Ин-та географии АН ГССР, 4, 1. Тбилиси, 1950.
6. ს. პ ეტ რ აშვილი. საქართველოს სხრ ნადგები. თბილისი, 1965.
7. Г. М. Тарасавили. Горно-лесные и горно-луговые почвы Восточной Грузии. М., 1956.
8. Л. Е. Накаидзе. Некоторые особенности твердой фазы бурых почв Восточной Грузии. Фонды Груз. СХИ, 1949.
9. Б. П. Градусов и Т. Ф. Урушадзе. Почвоведение, № 2, 1968.
10. Э. К. Накаидзе. Микроморфологический метод в исследовании генезиса почв. М., 1966.

ც. წირითაძე

რენტგენის სეივებითა და მიკროელემენტ მოლიგდენით თესლებზე
ერთდროული ზემოქმედების გაცლენა ლოგიოზი ასკორბინებას
შემცველობასა და კატალაზას აძტივობაზე

(წარმოადგინა ეკადემიკოსმა | ლ. ჯაფარიძემ | 30.1.1972) !

ცნობილია, რომ მცხვარეზე როგორც მოლიბდენის, ისე მაიონიზებელი რადიაციის ერთმანეთისაგან დამოუკიდებელი მოქმედება გარევაულ გარეუნას აქცენტს მათში მიმდინარე ჟანგვა-ალდგენითი ფერმენტების აქტივობასა და სცკორპიონმედის შემცველობაზე [1—9]. მაგრამ ამ ორი ფაქტორის ერთდროული ზემოქმედების გაცლენა მცხვარეზე ნაკლებად არის შესწავლილი. ამიტომ საინტერესოდ მივიჩნიერ ამ ორი ფაქტორის ერთდროული მოქმედების გაცლენის შესწავლა მცხვარეში მიმდინარე ზემოაღნიშნულ პროცესზე. ქერძოდ, ჩვენ მიზნად დავისახეთ შეგვესწავლა რენტგენის სხივებითა და მიკროელემენტ მოლიბდენით თესლების ცალ-ცალკე და ერთდროული თესლების დამუშავების გაცლენა ლობითს პარკის კედელში და მოუმწიფებელ (მწვანე) თესლებში ასკორბინმედისა და ფერმენტ კატალაზას აქტივობაზე.

ცდები წარმოებდა 1968—1969 წწ. ნატახტარის სასელექციო საღურის ნაკვეთზე, რომლის ფართობია 600 მ². საცდელად აღებული ლობითს ორი ჯიშის (ცანავა-3 და საპარკე-75) მშრალი თესლები დავყავთ თთხ ვარიანტად.

პირველი ვარიანტი საკონტროლოა. მეორე ვარიანტში მშრალი თესლები დავასხივეთ 10 000 რენტგენით. დასხივებას ვახდენდით საქ. სსრ მეცნიერებათა აქადემიის ფიზიოლოგიის ინსტიტუტის რადიობიოლოგიის განყოფილებაში. ვასხივებდით რუტ-11-ის შესწყვილებული აარატებით (200 კვტ 20 მა პირობებში უფილტროდ 1 მმ Al). ღოზის სიმძლავრე უდრიდა 1 000 რ/წ. მესამე ვარიანტის თესლებს ვალბობით მოლიბდენმედის ამონიუმის მარილის 0,025%—იან წყალსნარში. მეოთხე ვარიანტის თესლები დავამუშავეთ რენტგენის სხივებითა და მოლიბდენით. მშრალი თესლები ჯერ დავასხივეთ 10 000 რენტგენით, ხოლო შემდეგ დავამუშავეთ მოლიბდენმედის ამონიუმის 0,025%—იან წყალსნარში 10—10 საათის განმავლობაში. საცდელი მცხვარეების პარკის კედელში და მოუმწიფებელ (მწვანე) თესლებში განვსაზღვრეთ კატალაზას აქტივობა და ასკორბინმედის შემცველობა. ასკორბინმედისა შემცველობას ვასზღვრავდით ტილმანსის მოდიფიცირებული მეთოდით, ხოლო კატალაზას — გაზიმეტრული მეთოდით [10].

ჩატარებულმა ანალიზმა გვიჩვენა, რომ საცდელ მცხვარეებში ასკორბინმედის შემცველობა და კატალაზას აქტივობა საკონტროლო ვარიანტებთან შედარებით მნიშვნელოვან ცვლილებებს განიცდის. შედეგები წარმოდგენილია ცხრილებში. პირველ ცხრილში მოცემულია ასკორბინმედის შემცველობაზე თესლების დამუშავების გაცლენა.

ორივე ჯიშის (ცანავა-3 და საპარკე-75) მოუმწიფებელ (მწვანე) თესლებში ასკორბინმედის რაოდენობა საკონტროლოსთან შედარებით ყველა ვარიანტში მომატებულია. ასეთივე სურათს ეხდედებით ორივე ჯიშის კედელში. ვარიანტებს შორის ორივე ჯიშის მოუმწიფებელ (მწვანე) თესლება და პარკის კედელში ასკორბინმედის შემცველობანი მატებით გამოიჩინა რენტგენ+მოლიბდენით დამუშავებული მცხვარეები.



ଅସୁନ୍ଦରମେଳାଙ୍ଗାରୀ ଶ୍ରୀତ୍ୱେଳିନୀରୀ ପ୍ରାଣିକା-୩-ଟି, ସାହରାର୍ଜୀ-୭୫-ଟି ମନ୍ଦିରମୁଣ୍ଡିଲ୍‌ପ୍ରେସ୍ ଟ୍ରେସଲ୍‌ବ୍ସା
ଲ୍ଯା ପାର୍କ୍‌ଟି କ୍ଷେତ୍ରପ୍ରେସ଼ନ୍ ଭାବୀ (୧୮% -ଟି ନେଇଲ୍ ଚିନାନ୍ତିର)

გარიბობები	1968				1969			
	პარკის კედელი		მოუმწიფებელი თესლები		პარკის კედელი		მოუმწიფებელი თესლები	
	საპარკე-75	ცანვა-3	საპარკე-75	ცანვა-3	საპარკე-75	ცანვა-3	საპარ-კე-75	ცანვა-3
1. საკონტ- რაქტო	38,9	27,4	72,3	27,3	46,5	25,4	55,2	28,6
2. რენტენი	61,5	38,3	72,7	52,1	49,4	39,6	74,2	51,5
3. მოლიდენი	61,5	30,2	73,5	38,3	46,5	30,3	71,1	34,3
4. რენტენ- ნი + მოლიდ- ენი	66,5	87,6	79,9	57,5	58,0	62,1	78,4	52,8

ცხრილი 2

ଓজ্যুর মেট্রিক কাৰ্ত্তিলাশীস এক্সেলিগণৰা প্ৰাণবা-৩-ৰ সাৰাৰ্কৃতি-৭৫-ৰ মেলুমনিক্ষেপৰূপে ট্ৰেসলেব্বেশন
ডে প্ৰক্ৰিয়া ক্ৰমলগ্নিক্ষেপ (মৰ্ল-০১)

ვარიანტები	1968				1969			
	პარკის კედელი		მოუმწიფებელი თესლი		პარკის კედელი		მოუმწიფებელი თესლი	
	საპარკე-75	ცანვა-3	საპარკე-75	ცანვა-3	საპარკე-75	ცანვა-3	საპარკე-75	ცანვა-3
1. საქონტ-როლო	18,4	12,7	29,6	27,3	12,0	8,8	18,6	17,2
2. რეზტეგნი	19,5	15,0	29,3	27,1	19,5	10,0	22,5	19,8
3. მოლიადენი	18,4	13,4	31,0	27,5	19,8	10,5	23,3	18,5
4. რეზტეგ-ნი+მოლია-დენი	19,0	17,7	31,9	28,0	20,9	13,4	24,1	21,6

უნდა აღინიშვნოს, რომ ასკორბინმეუავს შემცველობა საპარკე-75-ში ჭარბობს ცანავა-3-ის ასკორბინმეუავს შემცველობას როგორც თესლებში, ისე პარტიის კედელში. განსაკუთრებით დიდი რაოდენობით შეიცავს ასკორბინმეუავს საპარკე-75-ის მოუმწოდებელი (მწვანე) თესლები.

ლობიოს (კანვა-3 და საპარე-75) ყველა ვარიანტის მოუმწიფებელ (მწვანე) თესლსა და პარკის კედელში აღინიშნება ფერმენტ კატალაზას აქტივობის ცვლილება საკონტროლო ვარიანტთან შედარებით (ცხრ. 2). კატალაზას აქტივობა ორივე ჯიშის მოუმწიფებელ თესლებში დასხივების შედეგად გარეკაცულ ცვლილებას განიცდის. საცდელი ჯიშების მოუმწიფებელ თესლებში კატალაზას აქტივობის მატებით გამოიჩინება ონენტგენ + მოლიბდენით დამუშავებული ვარიანტი. ასეთივე სურათს ცხვდებით ლობიოს პარკის კედელში. კატალაზას აქტივობა საკონტროლოსთან შედარებით ყველა ვარიანტში მოძრაობულია.

ცერილიდან ჩას, რომ რენტგენ + მოლიბდენით დამუშავებულ ვარიანტზე ადგილი აქვს ფერმენტის პეტიციაზე მატებას ორივე ჭიშის მცენარეებში, როგორც მოუმწიფებელ თესლში, ისე პარკის კედელში.

დამუშავებული გარიანტებიდან აღებულ მცენარეთა პარკის ქედელსა და მოუმწიფებელ თესლში ასკორბინმუარას შემცველობისა და ფერმენტ კატიაზას აწრიყობის განსაზღვრისას შეიმჩნევა გარკვეული კანონზომიერება: ყველა

ლა ვარინტში ასკორბინმევანი შემცველობა საგრძნობლად მომატებულია საკონტროლოსთან შედარებით. იგივე ითქმის კატალაზის მიმართაც. ფერმენტის აქტივობა მატულობს როგორც მოუმწიფებელ თესლში, ისე პარკის კადელში.

ჩვენი მონაცემების შედეგად შეიძლება დავასკრპტით, რომ მიკროლეგინტ მოლიბდენითა და ონტგენის სხივებით თესლების თესვისწინა დამუშავებამ გავლენა იქნია ნივთიერებათა ცვლაზე საცდელ მცენარეებში და განსაკუთრებით ონტგენ+მოლიბდენით დამუშავებული ვარიანტის მცენარეებში, რამაც განაპირობა ლობის მოუმწიფებელ თესლსა და პარკის კედელში ასკორბინმჟავას შემცველობისა და კატალაზის აქტივობის მატება.

თბილისის სახელმწიფო უნივერსიტეტი

(შემოვიდა 11.2.1972)

ФИЗИОЛОГИЯ РАСТЕНИЙ

Ц. Г. ЦЕРЕТЕЛИ

ВЛИЯНИЕ РЕНТГЕНОВЫХ ЛУЧЕЙ, МОЛИБДЕНА И ИХ СОВМЕСТНОГО ПРИМЕНЕНИЯ НА СОДЕРЖАНИЕ АСКОРБИНОВОЙ КИСЛОТЫ И АКТИВНОСТЬ КАТАЛАЗЫ В ФАСОЛИ

Резюме

Предпосевная обработка семян фасоли (Цанава-3, Сапарке-75) молибденом и рентгеновыми лучами влияет на обмен веществ в опытных растениях, в особенности в тех растениях, семена которых были обработаны одновременно как рентгеновыми лучами, так и молибденом. Полученные нами данные показали, что предпосевная обработка семян фасоли вышеупомянутыми веществами вызывает увеличение содержания аскорбиновой кислоты и усиление активности каталазы в бобах и в незрелых (зеленых) семенах фасоли.

PLANT PHYSIOLOGY

Ts. G. TSERETELI

THE EFFECT OF X-RAYS AND MOLYBDENUM AND THEIR JOINT USE ON THE CONTENT OF ASCORBIC ACID AND THE ACTIVITY OF CATALASE IN THE HARICOT-BEAN

Summary

Pre-sowing treatment of haricot-bean seeds (*Tsanava-3* and *Saparke-75*) with molybdenum and X-rays affects the metabolism in experimental plants. The data obtained indicate that such treatment of the seeds leads to an increase of the contents of ascorbic acid and of the activity of catalase in the beans and unripe (green) seeds of the haricot-bean.



ლიტერატურა — ЛИТЕРАТУРА — REFERENCES

1. а. კობერიძე, ნ. ბენდიანიშვილი, თ. აბრამიშვილი. საქართველოს სასოფლო-სამეცნიერო ინსტიტუტის შრომები, 50, 49, 47—66.
 2. გ. მატვიაშვილი, თ. კეჭელი. საქართველოს სსრ მეცნიერებათა აკადემიის მოამბე, IX, 1948, 9—10.
 3. ნ. ე. მაძე. საქართველოს სსრ უმაღლესი სასწავლებლების ბორტანიკური დისციპლინების კათედრათა 1 რესპ. სამეც. მეთოდ. კონფერენციის თეზისები. თბილისი, 1964.
 4. ნ. ა. ღრაძე. საქართველოს სსრ უმაღლესი სასწავლებლების ბორტანიკური დისციპლინების კათედრათა III რესპუბლიკური სამეცნიერო მეთოდური კონფერენციის თეზისები. თბილისი, 1969.
 5. И. А. Буркин. Физиологическая роль и сельскохозяйственное значение молибдена. М., 1968.
 6. А. В. Манорик. Сб. «Применение микроэлементов, полимеров и радиоактивных изотопов в сельском хозяйстве», вып. 1. М., 1962, 201—204.
 7. Т. А. Кезели. Витамины в растениях Грузии. Тбилиси, 1966.
 8. А. М. Кузин. Очерки по радиобиологии. М., 1956, 7—96.
 9. К. Е. Цхакая. Тезисы докладов всесоюзного межвузовского совещания по проблеме микроэлементов и естеств. радиоактивности, ч. II. Петрозаводск, 1965.
 10. А. И. Ермаков, В. В. Арасимович, М. И. Смирнова-Иконникова, И. К. Мурри. Методы биохимического исследования растений. М.—Л., 1952,



ФИЗИОЛОГИЯ ЧЕЛОВЕКА И ЖИВОТНЫХ

А. В. АСАТИАНИ, А. Н. БАҚУРАДЗЕ (член-корреспондент АН ГССР)

О РОЛИ СТВОЛА МОЗГА В РЕГУЛЯЦИИ ПИЩЕВОЙ ДЕЯТЕЛЬНОСТИ

Изучению роли различных структур и областей ствола мозга в регуляции пищевой деятельности посвящено немало исследований [1, 2]. Однако многое остается неясным, спорным, поэтому дальнейшее исследование этого вопроса сохраняет свою актуальность.

Роль ствола мозга в регуляции пищевой деятельности исследовалась нами путем изучения влияния раздражения и разрушения различных структур ствола мозга на пищевую деятельность собак и двигательную активность крыс; путем изучения реакции самораздражения некоторых областей ствола мозга у крыс; в аспекте анализа нейрохимических механизмов ствола мозга, для чего было изучено влияние некоторых нейтроптических фармакологических веществ (аминазин, атропин, амицил) на двигательную активность крыс.

Оценка пищевой деятельности осуществлялась по различным поведенческим, соматическим и вегетативным показателям. В частности, у собак вырабатывалось автоматизированное пищевое поведение по И. С. Бериташвили [3]. Двигательная активность крыс изучалась в аппаратах типа Рихтера и Уанга [4]. Для электрического самораздражения крыс были использованы основные методические указания Олдса [5].

Результаты опытов на собаках указывают, что электрическое раздражение (пороговой силы) различных областей ретикулярной формации (РФ) ствола мозга, в том числе и таких каудальных структур, как РФ продолговатого мозга, каудальное и оральное ядра моста, активирует поиск, реакцию овладения и акт приема пищи, усиливает слюнную и желудочную секрецию. Причем эффекты стимуляции проявляются не в изолированном облегчении одного какого-либо компонента, а, как правило, в усилении всего сомато-вегетативного комплекса реакций, наступающего при подразнивании животных пищей и ее поедании. Опыты с раздражением РФ на голодных и предварительно насыщенных собаках показывают, что стимуляция ретикулярных структур сказывается на пищевой деятельности только в том случае, если она развивается в данный момент в соответствии с доминирующей мотивацией.

Результаты опытов с электрическим раздражением ядра одиночного пучка, полученные как на интактном мозге, так и на мозге с билатерально разрушенными пищевыми центрами латерального гипоталамуса, указывают на возможность получения с этого уровня продолговатого мозга относительно интегрированной сомато-вегетативной реакции, связанный с осуществлением процесса приема пищи (автоматизм акта еды, возбуждение желудочной секреции). Это позволяет, как нам кажется, рассматривать ядро одиночного пучка как структуру каудального отдела ствола, в которой может происходить первичная интеграция процессов, необходимых для начальной обработки потребляемой пищи.



При раздражении центрального серого вещества на уровне среднего мозга после ориентировочной реакции развивается поиск (принюхивание), который обычно беспрепятственно распространяется на поднесенную пищу и сразу перерастает в акт ее поедания. Важно, что подобная деятельность в виде поедания пищи развивается даже у предварительно насыщенной собаки. С прекращением раздражения акт еды прерывается. Центральное серое вещество среднего мозга, очевидно, следует рассматривать как структуру, которая в составе «лимбико-среднемозговой» системы Наута [6] играет определенную роль в формировании реакции поиска и в активировании механизмов потребления пищи.

Развивая данные ранее проведенного исследования [7, 8], результаты новых экспериментов с раздражением и ограниченным двусторонним повреждением «пищевых центров» гипоталамуса указывают на необходимость выделения в латеральном отделе гипоталамуса двух областей, характеризующихся различной спецификой функциональной организации.

Раздражение наружно-латеральной области у собак (стереотаксические координаты $R=18-20$, $T=5-9$, $V=9-12$) воспроизводит движение акта еды, возбуждает секрецию слюны и желудочного сока или отчетливо усиливает эти реакции при приеме пищи и, вместе с тем, тормозит условнорефлекторный запуск автоматизированного пищевого поведения, не вызывает какого-либо увеличения количества потребляемой пищи. Двустороннее разрушение указанной области у собак ведет к афагии с неспособностью осуществить акт приема пище. Однако при этом автоматизированное пищевое поведение не изменяется, сохраняются реакции поиска и добывания пищи. В известной степени совпадающие данные были получены в опытах на крысах, когда при двустороннем разрушении наружно-латерального участка гипоталамуса наступала афагия с резким возрастанием величины суточного пробега.

Стимуляция внутренне-латеральной области гипоталамуса у собак ($R=18-29$, $T=3-5$, $V=6-9$) обычно вызывает ориентировочную реакцию с последующим перерастанием в поиск (принюхивание), а из вегетативных компонентов отмечается усиление периодических сокращений желудка. На фоне раздражения заметно активируется весь сомато-вегетативный комплекс реакций, наступающий при подразнивании животных пищей и ее поедании. Эмоционально окрашено и стремительно протекает автоматизированное пищевое поведение; в день стимуляции отмечается увеличение количества потребляемой пищи. Двустороннее разрушение данной области может вызвать полную афагию с «исчезновением» предварительно прочно выработанного автоматизированного поведения. В аналогичных опытах на крысах также можно получить афагию с потерей веса животным при резко подавленной двигательной активности. Заметим, что внутренне-латеральная область гипоталамуса в наших опытах имела наивысшую частоту самораздражения (до 4000 в час).

Результаты опытов с применением нейротропных веществ, в частности, когда холинолитики атропин и амизил подавляли «голодный» бег крыс только в течение первых двух суток после лишения пищи, а введение в этот же период аминазина — препарат с подкорковым адренолитическим действием — эффекта не давало, по всей вероятности,

указывают, что пищевое мотивационное возбуждение у голодных животных в 1—2-е сутки голодаия должно строиться на основе преимущественного использования холинэргического субстрата ствола мозга.

Тбилисский государственный
медицинский институт

(Поступило 12.4.1972)

ადამიანისა და ცენზურითა ფიზიოლოგია

ა. АСАТИАНИ, ა. БАКУРАДЗЕ (საქართველოს სსრ მეცნიერებათა აკადემიის წევრ-კორესპონდენტი)

თავის ტვინის ღიროს როლი კვებითს მოძმევებაში

რ ე ზ ი უ მ ე

ტვინის ღეროს სხვადასხევა სტრუქტურის, მათ შორის მოგრძო ტვინის ბაზებრივი ფორმაციის (ტვ) და ერთხელობრივი კონის ბირთვის, ნიდის ბირთვების, შუა ტვინის ცენტრალური რუხი ნივთიერების ელექტრული გაღიზიანება ას დაზიანება იწვევს დამასასიათებელ ცვლილებებს კვებითს შეცვაში, რაც მიუთითებს ტვინის ამ სტრუქტურის მონაწილეობაზე საკვების მიღების და მოხსერების რეგულაციასა და ცნოველთა კვებითი ცვევის ფორმირებაში.

ჩვენი ცდები მიუთითებს აგრეთვე, რომ ჰიპოთალამუსის ლატერალურ განყოფილებაში უნდა გავარჩიოთ ორი მიღამო, რომელიც ფუნქციური ორგანიზაციის ერთმნენებისაგან განსხვავებული სპეციფიკოთ ხასიათდება. ერთი მათგანი წარმოადგენს სტრუქტურას, რომლის თვითგაღიზიანებას მიმართავს ცხოველი უდიდესი სიხშირით (4000-მდე საათში), თუ გამლიზიანებელი ელექტროლი მოთავსებულია ამ სტრუქტურაში (ცდები ვიზუალურად მიხედვით).

კვებითი მოტივაციური აგზება მშექრ ცხოველებში უნდა უფუძნებოდეს ტვინის ღეროს ქოლინერგიული სუბსტრატის უპირატეს გამოყენებას (ცდები ვიზუალურად ნეიროტროპულ ნივთიერებათა გამოყენებით).

HUMAN AND ANIMAL PHYSIOLOGY

A. V. ASATIANI, A. N. BAKURADZE

ON THE ROLE OF THE BRAIN STEM IN THE ALIMENTARY ACTIVITY

Summary

Electrical stimulation and lesion of different structures of the brain stem, including the bulbar reticular formation and the pontine nuclei, nuclei of a single bundle of the medulla oblongata, the central gray matter of the midbrain, produce characteristic changes in the animal's alimentary behaviour. This indicates that the above structures are responsible for the regulation of the food consumption and for the performance of feeding behaviour. The present experiments show that in the lateral hypothalamus there are two different areas with varying functional organization. One of them, in experiments on rats, is characterized by the highest frequency for self-stimulation (up to 4000 per hr).



Food motivational excitation in hungry animals must be accomplished with a preferential utilization of the cholinergic substrate of the brain stem (experiments on rats using neurotropic drugs).

ლიტერატურა — REFERENCES

1. П. К. Анохин, К. В. Судаков. Успехи физиол. наук, т. 2, № 1, 1971.
2. Р. Morgane. Ann. N. Y. Acad. Sci., 157, 2, 1969.
3. И. С. Бериташвили. Нервные механизмы поведения высших позвоночных животных. М., 1961.
4. S. Richter, J. Wang. J. Lab. Clin. Med., 12, 1926.
5. Дж. Олдс. Сб. «Механизмы целого мозга». М., 1963.
6. У. Наута. Сб. «Механизмы целого мозга». М., 1963.
7. А. В. Асатиани. Материалы Всесоюзной конференции по физиол. и патол. пищеварения. Гагра, 1963.
8. А. В. Асатиани. Материалы и рефераты докл. I Республ. конфер. по проблемам физиол. вузов ГССР. Батуми, 1968.

ФИЗИОЛОГИЯ ЧЕЛОВЕКА И ЖИВОТНЫХ

М. Г. КАВКАСИДЗЕ, Т. Н. ОНИАНИ (член-корреспондент АН ГССР)

ДИНАМИКА ЭЛЕКТРИЧЕСКОЙ АКТИВНОСТИ РАЗЛИЧНЫХ
ОБЛАСТЕЙ НОВОЙ КОРЫ ПРИ ЦИКЛЕ БОДРСТВОВАНИЕ—СОН

Со времен классических работ Бергера [1] известно, что в динамике электронеокортиограммы закономерно отражается переход сонного состояния в бодрствование и бодрствования в сон. Это выражается в десинхронизации медленной электрической активности, характерной для сонного состояния, и в ее замене высокочастотными и низкоамплитудными волнами, характерными для бодрствования. Подобное качественное различие в характере электроэнцефалограммы между состояниями сна и бодрствования долгое время считалось строгой закономерностью, но затем оказалось, что во время сна регулярно повторяются периоды десинхронизации электроэнцефалограммы без поведенческого пробуждения [2, 3]. Подобные периоды были названы парадоксальной или десинхронизированной фазой сна [4].

И по сей день считается, что во время парадоксальной фазы сна наступает такая же десинхронизация электронеокортиограммы, как при бодрствовании [5, 6]. Однако в литературе есть данные и о том, что различные ритмы электронеокортиограммы могут показывать различную динамику во время бодрствования и парадоксальной фазы сна. Киона и Ивама [7] методом спектрального анализа электронеокортиограммы показали, что во время парадоксальной фазы сна в сенсомоторной и слуховой областях коры медленные волны в диапазоне 1—12 в сек бывают более выраженным, нежели при бодрствовании. В ассоциативной и зрительной областях новой коры наблюдаются уменьшение сравнительно высокочастотных ритмов во время парадоксальной фазы, по сравнению с бодрствованием. Причины и значение этих различий в вышеуказанной работе не обсуждаются. Кроме того, авторы данной работы при сравнении не дифференцируют медленный сон на стадии. Тем не менее известно, что так называемый медленноволновой сон у животных делится на две стадии — поверхностный и глубокий медленный сон [8]. Имеются данные о том, что и парадоксальная стадия сна делится на эмоциональную и неэмоциональную стадии [9].

В данной работе анализируются факты, полученные на кошках с хронически вживленными электродами. Производился спектральный анализ и интегрировались отдельные ритмы электронеокортиограммы. Полученные данные обрабатывались статистически, и достоверность изменений определялась Т-критерием Стьюдента [10].

На рис. 1 иллюстрируется динамика электрической активности зрительной (А) и слуховой (Б) областей новой коры при различных периодах цикла бодрствование—сон. Во время бодрствования без эмоционального напряжения в обеих областях имеется десинхронизированный фон электронеокортиограммы. Наступление дремотного состояния выражается в усилении медленных ритмов в δ -, Θ - и α -диапазоне, но вместе с тем, в зрительной коре увеличиваются преимущественно δ -, Θ -

и α -ритмы, тогда как в слуховой коре во время дремотного состояния превалируют δ и Θ -ритмы, а α -ритм плохо выражен.

Дремотное состояние при оптимальных условиях для сна переходит в глубокий медленный сон. В это время животное ложится на пол, засыпает и статический тонус у него сильно угнетается. В зрительной коре резко усиливается δ -ритм, по сравнению с дремотным состоянием. Что касается Θ - и α -ритмов, они, напротив, претерпевают значительное уменьшение. В слуховой же коре на фоне глубокого медленного сна все медленные ритмы δ -, Θ - и α -диапазона значительно усиливаются, по сравнению с дремотным состоянием.

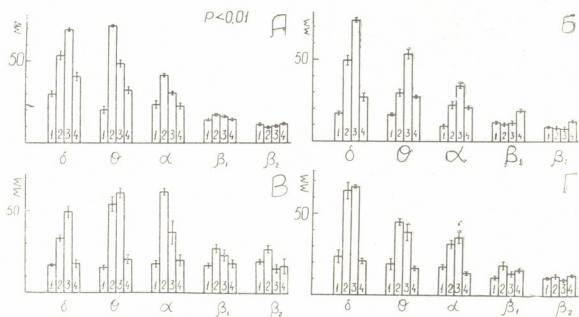


Рис. 1. Результаты спектрального анализа различных ритмов зрительной (А), слуховой (Б), сенсомоторной (В) и ассоциативной (Г) областей новой коры при различных фазах цикла бодрствование—сон. Столбики: 1—бодрствование, 2—дремотное состояние, 3—глубокий медленный сон, 4—парадоксальная фаза сна

Глубокий медленный сон периодами сменяется парадоксальной или десинхронизированной фазой сна. При этом медленные ритмы δ -, Θ - и α -диапазона угнетаются, по сравнению с дремотным состоянием и глубоким медленным сном, как в зрительной, так и в слуховой областях. Но особое внимание привлекает то обстоятельство, что во время парадоксальной или десинхронизированной фазы сна δ - и Θ -ритмы в зрительной и слуховой областях неокортика выражены значительно интенсивнее, чем при бодрствовании. Это является наиболее типичным различием электрической активности зрительной и слуховой областей при парадоксальной фазе, по сравнению с бодрствованием.

Сравнительно высокочастотные ритмы электронеокортиковограммы при различных фазах цикла бодрствование — сон не показывают значительной вариабельности. Лишь в некоторых случаях в слуховой коре наблюдается усиление β_2 -ритма при парадоксальной фазе (рис. 1, Б).

Усиление δ - и Θ -ритмов в слуховой и зрительной коре во время парадоксальной фазы, по сравнению с бодрствованием, без эмоционального напряжения можно объяснить, с одной стороны, возникновением понто-геникуло-окципитальных спайков в зрительной коре, а с другой,

развитием синхронизации в диапазоне δ - и Θ -ритмов в слуховой коре. Оба эти феномена характерны для эмоциональной стадии парадоксальной фазы сна [8]. В неэмоциональной стадии парадоксальной фазы сна подобное явление не наблюдается. Различие электрической активности при бодрствовании и парадоксальной фазе сна также не наблюдается, если сравниваются бодрствование на фоне эмоционального напряжения и эмоциональная стадия парадоксальной фазы сна.

Изменение электрической активности в сенсомоторной и ассоциативной областях новой коры во время стадии медленного сна протекает в основном так же, как и в зрительной и слуховой областях (рис. 1, В, Г). Иной характер динамики наблюдается только при сравнении бодрствования и парадоксальной фазы сна. В этих областях, в отличие от зрительной и слуховой коры, в парадоксальной фазе сна развивается такая же десинхронизация медленной электрической активности, как при бодрствовании. Специфической деталью электрической активности сенсомоторной коры является преимущественное развитие α - и β_1 -ритмов при дремотном состоянии, по сравнению с другими фазами цикла бодрствование — сон.

Таким образом, парадоксальная фаза сна динамикой электронеокортиковограммы отличается только от простого бодрствования без особого эмоционального напряжения, и то если для сравнения берется эмоциональная стадия парадоксального сна. Подобное различие не обнаруживается при сравнении простого бодрствования с неэмоциональной стадией парадоксальной фазы сна или эмоциональной стадии парадоксальной фазы сна с бодрствованием на фоне эмоционального напряжения.

В опытах Кино и Ивама [7], видимо, сравнивались электронеокортиковограммы при простом бодрствовании и эмоциональной стадии парадоксальной фазы сна, на основе чего авторы пришли к неправильному выводу о принципиальном различии динамики электронеокортиковограммы при этих двух состояниях.

Академия наук Грузинской ССР

Институт физиологии

(Поступило 10.3.1972)

ადამიანისა და ცემოლებთა ფიზიოლოგია

ა. კავკასიონი, თ. ონიანი (საქართველოს სსრ მეცნ. კადემიის წევრ-კორსპონდენტი)

ახალი შერჩის სეცაციასა უგნის ელექტროლი აპტივობის ღინამიკა
და გადამდინარებული ძირის გადამდინარებული ძირის და გადამდინარებული ძირის

რეზოუმე

სპექტრალური ანალიზის მეშვეობით ნაჩვენებია, რომ კატის ახალი ქერქის ელექტროლი ძეტივობა ემოციური ღვიძილისას და ძილის პარადოქსული ფაზის ემოციური სტადიის ღროს ერთხანირად იცვლება. ასევე ერთმანეთის მსგავსია ელექტროკორტიკოგრამის ის ცვლილებები, რომლებიც მიიღება არა-ემოციურ ღვიძილისას და ძილის პარადოქსული ფაზის არაემოციურ სტადიის ღროს. განსხვავდება შეიძლება შეიძლება მხოლოდ არაემოციური ღვიძილისა და ძილის პარადოქსული ფაზის ემოციური სტადიის შედარებისას ან პირქით, როცა დარღდება ემოციური ღვიძილი და ძილის პარადოქსული ფაზის არაემოციური სტადია.

M. G. KAVKASIDZE, T. N. ONIANI

DYNAMICS OF THE ELECTRICAL ACTIVITY OF DIFFERENT NEOCORTICAL AREAS IN THE WAKING-SLEEP CONTINUUM

Summary

Spectral analysis has revealed similar changes in the electrical activity of the cat's neocortex during emotional wakefulness and the emotional stage of paradoxical sleep. Identical changes are also observed in the electrocortical records during nonemotional wakefulness and in the nonemotional stage of paradoxical sleep. Some difference is noted only when nonemotional wakefulness and the emotional stage of paradoxical sleep are compared, or vice versa, when comparison is made of emotional wakefulness and the nonemotional stage of paradoxical sleep.

ლიტერატურა — ЛИТЕРАТУРА — REFERENCES

1. H. Berger. Arch. Psychiat. Nervenkr., 87, 1929, 527.
2. Л. Р. Цкипурдзе. Труды Ин-та физиол. АН ГССР, 8, 1950, 209.
3. F. Aserinsky, N. Kleitman. J. Appl. Physiol., 8, 1955.
4. M. Jouvet. Physiol. Rev., 47, 1967, 117.
5. W. Dement. Electroenceph. Clin. Neurophysiol., 10, 1958, 291.
6. M. Jouvet, J. Courjon. C. R. Soc. Biol., 153, 1959, 1024.
7. S. Kiyono, K. Iwama. Jap. J. Physiol., 15, 1964, 366.
8. R. Hess. Electroenceph. Clin. Neurophysiol., 5, 1953, 75.
9. Т. Н. Ониани, П. П. Мольнар, Т. Л. Нанешвили. Физиол. журнал СССР, 56, 1970, 6.
10. Г. Ф. Лакин. Биометрия. М., 1968.

БИОФИЗИКА

З. А. ЭРИСТАВИ, З. А. ЗУРАБАШВИЛИ, Г. Г. ЦАНАВА, М. Л. ДВАЛИ

К ХАРАКТЕРУ ТЕЧЕНИЯ СТРИКЦИИ ПЛАЗМЫ ПРИ ПОЗДНЕМ
ТОКСИКОЗЕ БЕРЕМЕННОСТИ

(Представлено академиком А. Д. Зарабашвили 1.2.1972)

В вопросах разработки теории набухания, являющегося одним из характерных свойств эластических гелей, исключительное значение имеет структурная организованность взаимодействующих фазовых компонентов, которая характеризуется их внешней формой или микроскопически видимой частью и распространяется вплоть до молекулярного уровня их строения. Роль биологических структур в жизнедеятельности организма заключается в пространственном отделении, внутренней организации, полезном использовании энергии в механической, химической, электрической формах и т. д.

Под набуханием принято понимать поглощение жидкости микроскопически гомогенным телом, объем которого при этом увеличивается, а сцепление уменьшается. Сохранение микроскопической однородности (как при потере, так и при связывании жидкости), а также противоположное изменение объема и сцепления является отличительным критерием набухания. Кинетика указанного процесса зависит от состава соприкасающихся друг с другом фаз.

Согласно представлениям современной физико-химии, адсорбированные на поверхности мицелл в силу общих условий адсорбционного равновесия растворимые примеси не могут находиться в абсолютном равенстве с концентрацией тех же веществ в растворе. Интермицелярная жидкость всегда содержит в определенном количестве те же электролиты, которые являются активной частью мицелл, определяющей их электрическое свойство.

Примеси кристаллоидных электролитов, удерживаемых в определенных количествах на поверхности коллоидных частиц, оказывают существенное влияние на их поведение, определяя собой электрическое строение мицеллы. Необходимо подчеркнуть, что кинетика набухания общей массы тесно связана с коллоидным состоянием его отдельных компонентов, причем каждое измененное состояние отдельных компонентов отражается на поведении всего геля, а именно на степени, скорости и плавности набухания.

Под степенью набухания понимают величину, определяемую количеством жидкости, поглощаемой единицей веса или объема коллоида. Она зависит в основном от сольватации мицелл, эластичности геля, прочности и способности к последующему растворению, а также от температуры. Скорость набухания определяется количеством жидкости, поглощенной при набухании за единицу времени. Она зависит от внутреннего трения поглощенной гелем жидкости и практически очень мало от температуры.

Чувствительность гелей исключительна велика. Малейшие изменения физико-химических параметров нарушают ход (степень, скорость,



плавность и т. д.) набухания. Огромное влияние оказывают электролиты, содержащиеся в омывающей среде даже при минимальной концентрации.

Методом Б. Н. Тарусова нами изучена кинетика стрикции (скорость, плавность течения, скачки) плазмы крови 60 женщин, страдающих поздним токсикозом беременности (30 женщин с легкой формой нефропатии — первая группа исследования и 30 женщин с тяжелой формой нефропатии — вторая группа), и проведено сравнение полученных данных с биофизическими показателями крови 25 женщин с физиологически протекающей беременностью тех же сроков (контрольная группа). Материал обработан методом математической статистики.

Имеющийся в нашем распоряжении фактический материал показывает, что кинетика стрикции плазмы крови при позднем токсикозе беременности (легкая и тяжелая формы нефропатии) значительно отличается от таковой, имеющей место при физиологически протекающей беременности тех же сроков. Если при физиологически протекающей беременности (контрольная группа) скорость стрикции составляла во втором колене 2,35, в третьем колене — 2,53 и в четвертом колене — 2,41 условных единиц, то при легкой форме нефропатии беременности — соответственно 13,71, 24,29 и 30,07 условных единиц.

Аналогичные сдвиги наблюдались у больных с тяжелой формой нефропатии беременности, однако увеличение скорости течения стрикции выступало менее резко: во втором колене — 13,67, в третьем колене — 30,40 и в четвертом колене — 24,53 условных единиц.

Таким образом, стрикция плазмы крови больных с легкой и тяжелой формами нефропатии беременности протекает неравномерно, скорость стрикции увеличена. Заслуживает внимания то обстоятельство, что увеличение скорости стрикции при легкой форме нефропатии беременности более рельефно выступает во второй фазе стрикции, в то время как при тяжелой форме — в первой. Вместе с тем, скачкообразность движения мениска в обеих группах исследования по мере течения стрикционного процесса (в каждом последующем колене) постепенно слаживается. Статистическая обработка подтверждает высокую достоверность различия ($p < 0,001$).

Согласно представлениям современной физико-химии, изменение кинетики стрикции (скорость, плавность течения) в основном зависит от сольватационных изменений набухающего геля. Последнее может происходить за счет дезагрегации высокомолекулярных соединений, появления свободных ионов, повышения дисперсности коллоидов и возрастания количества связанной жидкой фазы.

Таким образом, при токсикозах второй половины беременности (легкая и тяжелая формы нефропатии) биофизические сдвиги в основном разыгрываются на границах раздела фаз и проявляют определенную корреляцию с клинической тяжестью заболевания.

Институт акушерства
и гинекологии
МЗ ГССР

Институт психиатрии
им. М. М. Асатиани
МЗ ГССР

ჭ. ერისთავი, ჭ. ზურაბაშვილი, გ. ცანავა, მ. დვალი

სტრიქციის ზოგიერთი თავისებურების შესახებ
ორსულთა გვიანი ტოქსიკოზების დროს

რეზიუმე

ჩატარებულია დინამიკური დაკვირვება პლაზმის სტრიქციის კინეტიკაზე (სისწრავე, ნახტომები და მიმდინარეობის გრძონია) 60 ქალზე, რომელთაც აღენიშნება ორსულთა მეორე ნახევრის ტოქსიკოზი (მსუბუქი და მძიმე ფორმის ნეფროპათია). მონაცემები შედარებულია ფიზიოლოგიურად მიმდინარეორსულ ქალთა სისხლის მაჩვენებლებთან. სტრიქცია სისხლის პლაზმისა მსუბუქი და მძიმე ფორმის ნეფროპათიის დროს მიმდინარეობს არათანაბრად, სტრიქციის სისწრავე მომატებულია. ნახტომისებური მოძრაობა მენისკისა რჩივე ჯგუფში სტრიქციის პროცესის განვითარებასთან შეფარდებით თანდათან იშლება:

ორსულობის მეორე ნახევრის ტოქსიკოზების დროს აღინიშნება კორელაცია დაავადების კლინიკური სიმძიმისა, მის ბიოფიზიკურ მონაცემებთან.

BIOPHYSICS

Z. A. ERISTAVI, Z. A. ZURABASHVILI, G. G. TSANAVA, M. L. DVALI

ON THE CHARACTER OF THE PLASMA STRICKTION COURSE IN
LATE PREGNANCY TOXICOSIS

Summary

A dynamic examination has been made of the striction kinetics (velocity, smoothness of flow, spasmodicity) of the blood plasma of 60 women with late toxicosis of pregnancy, (mild and grave forms of nephropathy). The material is compared with the blood indices of 35 women with a physiological course of pregnancy of the same duration. The blood plasma striction of patients with mild and grave forms of pregnancy nephropathy proceeds irregularly, the striction velocity being increased. The increase of meniscus movement in patients with a mild form of nephropathy is more pronounced in the second phase of striction, while in a grave form of nephropathy of pregnancy such increase occurs in the first phase. The spasmodicity of meniscus movement in both groups gradually smooths out with the development of the strictional process.

БИОХИМИЯ

М. А. АЛЬТШУЛЬ, [В. С. АСАТИАНИ] (академик АН ГССР),
В. П. ЧАНТУРАЯ, Л. С. СИЛАГАДЗЕ

ОБ АКТИВНОСТИ ФЕРМЕНТОВ В СЕРДЦЕ И ПЕЧЕНИ КРОЛИКОВ В РАЗЛИЧНЫХ УСЛОВИЯХ

Целью нашей работы являлось изучение влияния относительной гипоксии (опыты в барокамере) на активность ферментов. Активность гексокиназы изучалась методом Лонга [1], активность фосфорилазы — по Херсу [2], активность глюкозо-6-фосфатазы — по В. С. Ильину и Д. Быстрицкой [3], активность трансамина — методом Умбрейта в модификации Пасхиной.

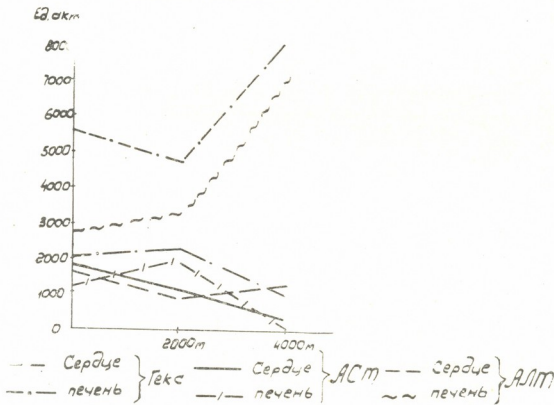


Рис. 1. Гексокиназа, АСТ, АЛТ в сердце и печени кроликов до и после барокамеры

Исследовались кролики обоего пола весом 2—2,5 кг. Кислородное голодание вызывалось помещением кроликов в барокамеру на «высоту» 2000 и 4000 м на 6 часов. Кролики были разделены на три группы (по шесть кроликов в каждой): I — контрольная группа, II — кролики, подвергнутые подъему на высоту 2000 м, III — на высоту 4000 м. Кролики забивались декапитацией. Из сердца и печени готовились гомогенаты на холода.

Активность гексокиназы в сердце кроликов достоверно снижается на высоте 2000 м и поднимается до нормального уровня на высоте

4000 м; в печени она остается без изменения на высоте 2000 м и снижается на высоте 4000 м.

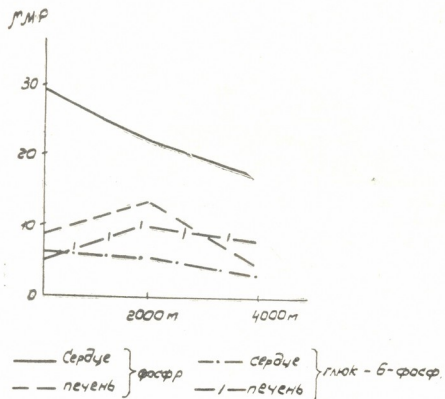


Рис. 2. Фосфорилаза и глюкозо-6-фосфатаза в сердце и печени кроликов до и после барокамеры

Активность глюкозо-6-фосфатазы в сердце кроликов в норме составляет 6 $\mu\text{M}\text{P}$, на высоте 2000 м — 6,6 $\mu\text{M}\text{P}$ и на высоте 4000 м снижается до 3,3 $\mu\text{M}\text{P}$, в печени она равна соответственно 5,4 $\mu\text{M}\text{P}$; 10,3 $\mu\text{M}\text{P}$; 7,6 $\mu\text{M}\text{P}$.

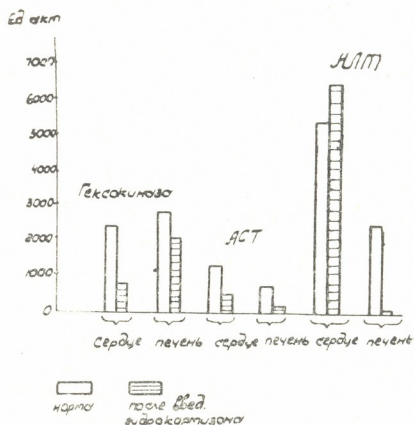


Рис. 3. Гексокиназа, АСТ и АЛТ в сердце и печени кроликов до и после введения гидрокортизона

Активность фосфорилазы в сердце кроликов до барокамеры составляет 29 $\mu\text{M}\text{P}$, на высоте 2000 м — 22 $\mu\text{M}\text{P}$, на высоте 4000 м — 17 $\mu\text{M}\text{P}$; в печени 9,1 $\mu\text{M}\text{P}$; 14 $\mu\text{M}\text{P}$; 5,4 $\mu\text{M}\text{P}$ соответственно.

Активность глутамико-аспарагиновой трансаминазы в сердце кроликов до барокамеры равна 1850 ед. акт., на высоте 2000 м — 1180 ед. акт., на высоте 4000 м — 304 ед. акт. В печени активность АСТ резко снижается (до 83 ед. акт. на высоте 4000 м). Активность глутамико-аланиновой трансаминазы в сердце кроликов составляет до барокамеры 5604 ед. акт., на высоте 2000 м — 4738, а на высоте 4000 м она возрастает до 8760 ед. акт. Активность АЛТ в печени также возрастает на высоте 4000 м — от 2705 до 7122 ед. акт.

Наряду с изучением влияния относительной гипоксии, исследовалось также влияние гидрокортизона на активность ферментов. 12 кроликам вводилось в течение 10 дней утром и вечером по 12 мг гидрокортизона. Кролики худели, становились вялыми, два из 12 погибли. Остальные через 18 часов после последней инъекции гидрокортизона были забиты. Для исследования брались сердце и печень. Активность фосфорилазы в сердце и печени снижается по сравнению с контролем. Активность гексокиназы в сердце составляет 2360 ед. акт., после введения гидрокортизона она снижается в сердце до 730 ед. акт., а в печени до 2080 ед. акт. Активность глюкозо-6-фосфатазы в сердце мало изменяется, а в печени возрастает. Активность АСТ в сердце и печени снижается. Активность АЛТ в сердце не изменяется, а в печени снижается с 2487 до 151 ед. акт.

Академия наук Грузинской ССР

Институт фармакохимии
им. И. Г. Кутателадзе

(Поступило 13.1.1972)

ბიოქიმია

მ. ალტშული, [ვ. ასათიანი] (საქართველოს სსრ მეცნიერებათა აკადემიის აკადემიკოსი),
ვ. განტურაია, ლ. სილაგაძე

სსრ და სსრ კიბრის კურდოლის ქსოვილების ფიზიონომიკის
აქტივობის გასახვება

რეზიუმე

დადგენილია, რომ ბაროკამერაში მოხვედრა სხვადასხვა სიმაღლეზე იწვევს.
გულისა და ღვიძლის ფერმენტების აქტივობის კანონზომიერ ცვლილებებს.
დღემდე ნაკლებადა შემოწმებული ფერმენტების აქტივობის ცვლილებები
ჰიტროკორტიზონის შეტანით.

BIOCHEMISTRY

M. A. ALTSHUL, [V. S. ASATIANI], V. P. CHANTURAIA, L. S. SILAGADZE

ON THE ACTIVITY OF THE RABBIT TISSUE ENZYMES UNDER
VARIOUS CONDITIONS

Summary

The presence of rabbits in an altitude chamber at various altitudes has been found to cause regular changes in the activity of the heart- and



liver enzymes. Changes of enzymic activity under the action of hydrocortisone have thus far been inadequately verified.

ЛІТЕРАТУРА — REFERENCES

1. L. Long. Biochem. J., v. 50, 1952, 407—414.
2. Y. Hers, F. Hoof. Methods in Enzymology, 8, 1966, 526.
3. В. С. Ильин, Д. Бистрицкайт. Вопр. мед. химии, 13, вып. 2, 1967, 149.



БИОХИМИЯ

Н. Г. АЛЕКСИДЗЕ, Д. Ф. МЕШВЕЛИШВИЛИ, Р. П. БЕЛЕЦКАЯ

О ВЛИЯНИИ ТРАНСАМИНА НА МОНОАМИНОКСИДАЗНУЮ АКТИВНОСТЬ И НА ПСИХОНЕРВНОЕ ПОВЕДЕНИЕ КРЫС В ЛАБИРИНТЕ

(Представлено академиком П. А. Кометиани 12.1.1972)

В литературе приводятся данные, указывающие на то, что биогенные амины и ферменты, принимающие участие в их обмене, вовлекаются в механизмы памяти [1—5]. К сожалению, в большинстве работ отсутствует анализ взаимосвязи поведения животных с активностью ферментов в динамике. Более того, имея в виду ингибиторное свойство трансамина, часто не определяли активность моноаминооксидазы (MAO).

Исходя из вышесказанного, представляло интерес изучить влияние трансамина, ингибитора MAO, на психонервное поведение крыс в зависимости от продолжительности и степени ингибирования MAO. Психонервное поведение изучалось методом свободного поведения в лабиринте Т по ранее описанной методике [6]. Крыса должна была запомнить местонахождение открытой двери в левом или в правом плече лабиринта. Активность MAO определялась спектрофотометрически [7, 8], ацетилхолинэстеразная активность — по Эльману и др. [9].

Как видно из таблицы, через 40 минут после интраперитонеального введения трансамина психонервное поведение крыс ухудшается с 9,17 до 5,30 балла, т. е. приблизительно на 58%. На 2-й день память животных улучшается, но при этом остается достоверно уменьшенной, составляя 8,25 единиц ($P > 0,001$).

Через 48 часов после введения трансамина способность крыс решать лабиринтные задачи приближается к норме (8,70; $P < 0,5$). Параллельно с изучением поведенческих реакций в лабиринте Т нами была исследована активность MAO разных областей коры и белого вещества подкорки головного мозга в динамике (см. рис. 1).

Было найдено, что через 40 минут после интраперитонеального введения трансамина происходит резкое торможение MAO активности во всех изученных нами областях головного мозга крыс. MAO остается ингибированной и через 24 часа. Степень ингибирования в коре и в подкорке головного мозга практически одинакова на 40-й минуте и через 24 часа после введения трансамина. Через 48 часов наблюдается тенденция восстановления MAO активности. Интересно заметить, что лишь на 72-й часу достоверное восстановление MAO происходит в белом веществе подкорки лобной, теменной и затылочной областей, основная часть которых состоит из глиальных клеток. Возможно, это является одним из проявлений пластического обеспечения нейронов глиальными клетками. Следует отметить, что трансамин не оказывает влияния на ацетилхолинэстеразную активность разных областей головного мозга крыс.

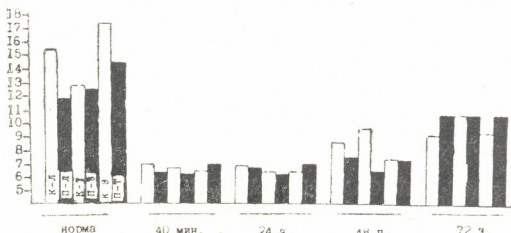


Рис. 1. Влияние интраперитонеального введения трансамина (4 мг/кг) наmonoаминоксидазную активность лобной (Л), теменной (Т) и затылочной (З) областей коры (белые столбки) и белого вещества подкорки (черные столбки) головного мозга крыс. Активность МАО определялась в норме, через 40 минут, 24, 48 и 72 часа после введения трансамина. За единицу ферментативной активности принималось увеличение оптической плотности на $0,001 \times 10^{-3}$ за 1 мин/г влажной ткани

Нарушение поведения крыс в лабиринте временно совпадает с ингибированием МАО.

Как выясняется, на 48 часу после введения трансамина психонервное поведение крыс восстанавливается на фоне ингибиции МАО.

Влияние интраперитонеального введения трансамина (Т) (4 мг/кг) на поведение белых крыс в лабиринте Т. Память животных оценивалась 10-балльной системой.

$M \pm t$ —количество правильных решений из 10 испытаний, t —средняя ошибка, p —достоверность, N —количество опытов.

Контроль (N = 12)	Через 40 минут после введения Т (N = 24)	Через 24 часа после введения Т (N = 16)	Через 48 часов после введения Т (N = 7)
M 9,17	5,30	8,25	8,70
m $\pm 0,27$	$\pm 0,42$	$\pm 0,01$	$\pm 0,36$
p —	>0,02	>0,001	<0,5

Таким образом, в опытах с трансамином не удалось обнаружить корреляционную зависимость между психонервным поведением и уровнем МАО активности разных областей коры и белого вещества подкорки головного мозга крыс.

Тбилисский государственный университет

(Поступило 13.1.1971)

800000000

ნ. ალექსიძე, გ. მარგალიაშვილი, რ. ბელეცკაია
მონოამინოქსიდაზურ აქტივობაზე და ლაბირინთში ვირთაგვას
ფიზიოლოგულ ჩვევაზე ტრანსამინის გავლენის უსახებ
რეზიუმე

ტრანსამინის ინტრაპერიტონეალური შეყვანის შედეგად გაცუდებული მეხსიერების აღდგენა ნაჩვენებია ცდის ისეთ პირობებში, როცა ვირთაგვას თავის ტვინის ქერქისა და ქერქვეჭა თეორი ნივთიერების მონამინოქსიდაზური აქტივობა კვლავ შეკავებულია.

N. G. ALEKSIDZE, D. F. MESHVELISHVILI, R. P. BELETSKAIA

**CONCERNING THE EFFECT OF TRANSAMINE ON THE
MONOAMINOIDASE ACTIVITY AND PSYCHONEURAL
BEHAVIOUR OF RATS**

Summary

Restoration of disturbed memory is demonstrated as a result of intra-peritoneal administration of transamine under conditions of an inhibition of the MAO activity of the rat's cortical and subcortical areas.

ლიტერატურა — REFERENCES

1. Е. А. Громова. Серотонин и его роль в организме. М., 1966.
2. Е. А. Громова. Успехи физиол. наук, 1, 1970, 25.
3. D. W. Wolley, Th. V. Der. Holoen. Science. 139, 1963, 611.
4. M. N. Aprison, C. B. Ferster. J. Neurochem., 6, 1961, 350.
5. В. М. Банщиков, Г. В. Столляр. Ж. невропатологии и психиатрии, 61, 1961, 934.
6. Н. Г. Алексидзе, И. Д. Ломоури. Сообщения АН ГССР, 48, 1967, 351.
7. Л. В. Брусовая, Л. А. Вьюгова, В. З. Горкин. Укр. биохим. ж., 37, 1965, 463.
8. Н. Г. Алексидзе, Р. П. Белецкая. Сообщения АН ГССР, 58, 1970, 441.
9. G. L. Ellman *et al.* Biochem. Pharmacol., 7, 1961, 88.

Н. А. БЕБУРИШВИЛИ, Т. Б. НЕРСЕСОВА

ВЛИЯНИЕ ПАНГАМОВОЙ КИСЛОТЫ НА ГИПОКСИЮ ПЛОДА

(Представлено академиком | В. С. Асатиани | 17.12.1971)

Гипоксия плода является одним из грозных осложнений во время родов, которое приводит как к мертворождаемости, так и к заболеваемости и смертности в периоде новорожденности и раннего детства.

Среди методов профилактики и борьбы с асфиксиией плода наиболее успешно применяются методы, предложенные в работах [1—4].

Несмотря на применение всех этих методов, значительно снизивших частоту асфиксии, она все-таки остается грозным осложнением во время родов и основной причиной травматизма. Поэтому поиски новых средств борьбы с асфиксиией стоят в центре внимания.

Среди веществ, имеющих значение для предотвращения асфиксии, особого внимания заслуживают витамины. Большая роль принадлежит сложной группе витаминов В, принимающих участие в окислительно-восстановительных процессах.

В 50 гг. нашего столетия рядом авторов был обнаружен новый витамин — пангамовая кислота (витамин В₁₅), обладающая липотропным и детоксицирующим действием и обусловливающая активирование кислородного обмена в клетках тканей. Благодаря своему разнообразному действию, пангамовая кислота быстро вошла в медицинскую практику и стала применяться с очень широкими показаниями.

Хотя пангамовая кислота применяется в различных отраслях медицины, однако мы не нашли указаний о применении ее в акушерстве с целью профилактики и лечения асфиксии плода. Поэтому представляло интерес изучить влияние пангамовой кислоты на течение асфиксии плода в эксперименте.

Опыты ставились на 35 небеременных и беременных крысах. Показателем асфиксии служило изменение pH тканей матери или плода. Измерение pH производилось при помощи pH-метра МВО-60. Определялся pH мышц крысы (для чего активный электрод вшивался в мышцы бедра) или ее плода (путем подведения активного электрода к плоду через надрез в роге матки). После установления фона pH тканей вызывалась асфиксия крысы путем накладывания маски или только плода путем прижатия зажимом Диффенбаха кровеносных сосудов, подходящих к матке. По прекращении асфиксии pH тканей измерялся в разные отрезки времени до восстановления исходного уровня. После установления фона колебания pH в ответ на асфиксию животному вводился под кожу раствор пангамата кальция в количестве 5—10 мг на 100 г веса животного и через 20—30 минут вызывалась асфиксия и замерялись показатели pH.

Первая серия опытов была проведена на небеременных крысах, у которых производилось измерение pH мышц и наблюдалось изменение показателей pH после асфиксии, вызванной наложением маски, пре-

пятствующей доступу кислорода. Как показали наши опыты, асфиксия животного выражалась в снижении рН мышц. Так, если рН мышц в норме составляло 7,04, то после вызова асфиксии он снизился до 6,9. Измерение рН, как правило, продолжалось до тех пор, пока не восстанавливался первоначальный уровень. Обычно это восстановление происходило за 25—60 минут.

Иные результаты были получены в случаях, когда асфиксия вызывалась после предварительного введения под кожу пангамата кальция. Время восстановления рН тканей крысы после вызова асфиксии значительно сокращалось и колебалось от 5 до 25 минут.

Следующая серия опытов была поставлена на беременных крысах. В части опытов асфиксия вызывалась у крысы и производились замеры рН тканей крысы и ее плода. В этих опытах изменения рН в тканях крысы предшествовали изменениям рН в тканях плода, однако рН тканей у плода выравнивался позже, чем у крысы. рН тканей крысы в данном случае восстанавливался через 25 минут, а тканей плода — через 35 минут. На фоне же пангамата кальция восстановление наступало через 15 и 25 минут соответственно.

В другой части опытов после установления фона рН тканей крысы и ее плода вышеописанным способом мы производили временное пережатие подходящих к рогу матки кровеносных сосудов, вызывая таким образом асфиксию только у плода, и следили за изменением рН тканей крысы и плода до его полного восстановления. Описанный эксперимент затем был проведен на животных с предварительным введением пангамата кальция. Как показали наши эксперименты, восстановление рН тканей внутриутробного плода происходило раньше, если крысе предварительно вводился пангамат кальция. На рН тканей крысы асфиксия плода в большинстве случаев не отражалась. рН тканей плода без введения пангамовой кислоты восстанавливался в течение 1 часа 20 минут, а на фоне пангамовой кислоты — через 10 минут. Таким образом, на основании наших данных асфиксия, вызванная на фоне пангамата кальция, сопровождалась более кратковременным сдвигом рН тканей, чем без него.

Естественно ставится вопрос, как следует объяснить механизм действия пангамата кальция.

Как известно, под влиянием пангамовой кислоты происходит активирование ферментов дыхания, причем Кребс [6] допускает возможность коферментной роли пангамовой кислоты. В [7] было установлено участие пангамовой кислоты в окислительно-восстановительных процессах путем повышения активности сукцинатдегидрогеназы, играющей важную роль в тканевом дыхании. По-видимому, повышение активности сукцинатдегидрогеназы повышает резистентность клеток в гипоксии и их способность использования кислорода возрастает. Это согласуется с данными исследователей [8], считающих, что одним из механизмов действия пангамовой кислоты является более экономное использование кислорода в единицу времени, благодаря которому повышается резистентность животных к гипоксии.

Полученные данные, конечно, не могут быть безоговорочно перенесены в клинику, однако считаем вполне целесообразным рекомендовать применение пангамовой кислоты по соответствующим показаниям в акушерской практике с целью предотвращения асфиксии плода.

Институт акушерства и гинекологии
МЗ ГССР

(Поступило 4.2.1971)

୬. ଧୀରଣନ୍ଦାଶ୍ଵରି, ଟ. କୋରମେଲୁଆ

პანგამის მუნიციპალიტეტის ნაწილების ჰიდროგრაფიული მდგრადი მოვალეობის მიზნებისთვის

Հ Յ Ց Օ Ե Յ

ექსპერიმენტი მაკვ თეთრ ვირთაგვებზე შესწავლილია პანგამის მჟავას (კოტამინი B15) გავლენა დედისა და ნაყოფის ქსოვილების pH-ს ცვლილებებზე. დედისა და ნაყოფის ქსოვილების pH-ის ფონის დაღვენის შემდეგ ვაწვევდით ასფიქსის დედის ან მხოლოდ ნაყოფის (ნიღაბის დაღვენით ან ნაყოფთან მიმავალი სისხლის ძალვების გადასტრიოთ), რის შემდეგ pH მცირდებოდა. ყოველ 5 წუთში წარმოებდა pH-ს განსაზღვრა მის აღდგენამდე. იგივე მცირდებოდა ცხვველის 100 გ წონაზე კანკევეშ 5—10 მგ კალციუმის პანგამატის შეკვანიდან 20—30 წუთის შემდეგ. გამოიჩკვა, რომ, თუ ქსოვილთა pH-ს აღდგენა ასფიქსის გამოწვევის შემდეგ წარმოებდა 25—60 წუთის შემდეგ, კალციუმის პანგამატის ფონზე მისი აღდგენა ხდებოდა 5—25 წუთის შემდეგ.

გამოითქმულია მოსაზრება, რომ პანგამის შეავა შეიძლება გამოვიყენოთ სამეცნიერო კრიტიკული ნაკლილის ასფერისის პროცესს.

BIOCHEMISTRY

N. A. BEBURISHVILI, T. B. NERSESOVA

THE EFFECT OF PANGAMIC ACID ON FOETAL HYPOXIA

Summary

The effect of pangamic acid on the alteration of tissue pH in response to asphyxia has been studied experimentally. The restoration of tissue pH—disturbed by asphyxia—was found to take place faster against the background of pangamic acid. It is suggested that pangamic acid can be used in obstetrics as a prophylactic means against foetal asphyxia.

ლიტერატურა — ЛИТЕРАТУРА — REFERENCES

- И. С. Легеченко. Акушерство и гинекология, 4, 1947, 38—43.
 - В. Н. Хмелевский. Тезисы докладов X Всесоюзного съезда акушеров и гинекологов. М., 1957, 24—36.
 - А. П. Николаев. Сб. «Практическое акушерство». Киев, 1958.
 - Л. С. Персианинов. Акушерство и гинекология, 5, 1967, 3—8.
 - Л. С. Персианинов. Вопросы охраны материнства и детства, 10, 1, 1965, 51—58.
 - Е. М. Krebs *et al.* Patent, 2, 1955, 710, 876.
 - Ю. Ф. Удалов. ДАН СССР, 143, 3, 1962, 734.
 - С. В. Андреев, А. П. Роде. Сб. «Витамин B₁₅». М., 1965, 73—79.
 - И. И. Яковлев, Л. Г. Лешкевич и др. Сб. «Витамин B₁₅». М., 1965, 48—63.



БИОХИМИЯ

Я. П. ЛЕЖАВА

О 17-ГИДРОКСИКОРТИКОСТЕРОИДАХ И ПЕПСИНОГЕНЕ ПЛАЗМЫ КРОВИ И МОЧИ БОЛЬНЫХ ЯЗВЕННОЙ БОЛЕЗНЬЮ ДВЕНАДЦАТИПЕРСТНОЙ КИШКИ

(Представлено академиком В. С. Асатиани 1.12.1971)

Мы задались целью изучить у больных язвенной болезнью 12-перстной кишки глюокортикоидную функцию коры надпочечников (КН), а также для выявления местных механизмов, реализующих расстройство нервно-гормональной регуляции пищеварения, кислотообразующую функцию желудка и активность протеолитического фермента — пепсиногена в плазме крови и моче.

Под нашим наблюдением находились 160 больных (85 мужчин и 21 женщина) в возрасте от 19 до 61 лет, из которых 85 лечились консервативно и 21 оперативно. Преобладали больные до 40 лет — 61 больной (57,5%) и с давностью заболевания до 5 лет — 68 (64,1%).

Функциональное состояние КН исследовалось путем определения свободных 17-гидроксикортикоидов (17-ГОКС) в плазме периферической крови по Порттеру и Сильберу в модификации [1] и суммарных 17-ГОКС в суточной моче по Порттеру и Сильберу в модификации [2]. Активность пепсиногена в плазме крови определялась методом [3] в модификации [4], а в суточной моче — методом, описанным в [5] и [6], в модификации [7].

У больных при поступлении в клинику исследовалась также кислотность желудочного сока в титрационных единицах (химический раздражитель — 300 мл 5% раствора алкоголя).

Содержание 17-ГОКС и активность пепсиногена в плазме крови, а также активность уропепсиногена в суточной моче определены у всех больных, содержание же 17-ГОКС в моче — у 49 больных (46,2%). Обследования проводились на 3—4-день поступления больного в клинику (в период обострения) и за 2—3 дня перед выпиской из стационара (в период клинической ремиссии заболевания). Больные находились в стационарных условиях 30—35 дней. Обострение болезни длилось до 1 месяца.

Диагноз заболевания ставился на основании клинической картины и рентгенологического симптома «ниши».

Для контроля было обследовано 40 человек. У доноров (20 человек) изучались активность пепсиногена и содержание 17-ГОКС в плазме крови. У другой группы практически здоровых лиц (20 человек) определялось активность уропепсиногена и содержание 17-ГОКС в моче. Возраст обследованных лиц колебался от 24 до 64 лет, в основном это были лица в возрасте до 40 лет. Среди доноров преобладали женщины (16), а среди практически здоровых лиц другой группы — мужчины (15).

У больных язвенной болезнью 12-перстной кишки в период обострения заболевания имеет место достоверное повышение всех показателей

лей, что согласуется с данными [8, 9, 10] в отношении глюкокортикоидной функции КН и с данными [3, 11, 12, 13] в отношении активности пепсиногена плазмы крови и уропепсиногена. Возраст, пол и давность заболевания существенного влияния на эти показатели не оказывают.

Исследование кислотообразующей функции желудка показало, что приблизительно у 60% больных обнаруживается кислотность больше 40 ед. свободной соляной кислоты, а средняя величина ее составляет 44,8 ед. Ни в одном случае не наблюдалось отсутствия свободной соляной кислоты, а ниже 20 ед. было всего у 8% больных. Придавая главное значение не максимальной величине свободной соляной кислоты — величине кривой, полученной путем фракционного исследования желудочного сока, а форме этой кривой [14], находим, что более чем у 60% больных отмечается удлиненная или восходящая кривая кислотности, что свидетельствует об увеличенной секреторной способности при данной форме заболевания.

Для определения связи и установления характера зависимости между изучаемыми показателями мы вычисляли и коэффициент корреляции.

Оказалось, что достоверные положительные коррелятивные связи существуют между активностями пепсиногена плазмы крови и уропепсиногена, между 17-ГОКС плазмы крови и мочи.

При изучении зависимости между концентрацией 17-ГОКС и активностью пепсиногена в плазме крови, а также между содержанием 17-ГОКС и активностью уропепсиногена в суточной моче как у лиц контрольной группы, так и у больных нами не было выявлено достоверной коррелятивной связи. Достоверная положительная коррелятивная связь была обнаружена между свободной соляной кислотой желудочного сока и активность уропепсиногена, а связь между свободной соляной кислотой и содержанием 17-ГОКС в моче недостоверна.

В период клинической ремиссии заболевания все изучаемые показатели снижаются, но если 17-ГОКС плазмы и мочи снижаются до нормальных величин и даже ниже, то активность пепсиногена и уропепсиногена остается все еще на весьма высоком уровне — у больных с консервативным лечением. У больных же с субтотальной резекцией желудка активность пепсиногена плазмы снижается ниже нормы, а активность уропепсиногена находится в пределах нормы.

Имеющиеся в период обострения коррелятивные связи сохраняются и в период клинической ремиссии заболевания, за исключением связи между 17-ГОКС плазмы и мочи у оперированных больных. Несмотря на высокий коэффициент корреляции ($r = +0,61$), малое количество наблюдений ($n=9$) не позволяет нам считать такую связь статистически достоверной ($P > 0,05$).

Наличие определенных коррелятивных связей при язвенной болезни 12-перстной кишки делает возможным использование одних показателей для суждения о величине других.

Нормальные показатели (а в некоторых случаях ниже нормы) концентрации 17-ГОКС и высокие показатели активности пепсиногена в плазме крови и моче в период клинической ремиссии заболевания указывают на то, что в этом периоде продолжают действовать те механизмы язвенной болезни, которые вызывают повышение активности фермента, и прекращается действие тех, которые приводят к повышению концентрации гормона. Это, а также отсутствие коррелятивных связей между 17-ГОКС и пепсиногеном плазмы крови и мочи (и между 17-ГОКС и свободной соляной кислотой желудочного сока) говорит о том, что

кислотно-пептическая активность при язвенной болезни 12-перстной кишки обусловлена в основном нервными механизмами и в незначительной степени гормональными сдвигами, уровнем кортикостероидных гормонов. Повышение 17-ГОКС плазмы и мочи в период обострения заболевания, по всей вероятности, является результатом ответной реакции надпочечников на болевые ощущения, который следует рассматривать как общий синдром адаптации. Такого же мнения придерживается и М. А. Алекперов [9].

Тбилисский государственный медицинский институт

(Поступило 4.2.1972)

გიორგიშვილი

ი. ლეზავა

თორმეტგოჯა ნაწლავის ფაზულოვანი დაავადებით შეკარობილ ავადგაოვთა აიახლის პლაზმისა და ჟარდის 17-ჰიდროკორტი- კოსტეროიდების და პეპსინოგენის შესახებ

რეზიუმე

დადგენილია, რომ პეპსინოგენის აქტივობა მომატებულია როგორც დაავადების გამწვავებისას, ისე რემისიის დროს. 17-ჰიდროკორტიკოსტეროიდების კონცენტრაცია კი მომატებულია მხოლოდ გამწვავების პერიოდში, რემისიის დროს ნორმის ფარგლებშია. ასაკი, სქესი და დავადების ხანგრძლივობა შესწავლილ მაჩვენებლებზე არსებით გავლენას არ ახდენს. დადგენილია დადგებითი კორტიკოსტეროიდის კავშირის არსებობა სისხლის პეპსინოგენისა და უროკეპსინოგენის აქტივობას შორის, და 17-ჰიდროკორტიკოსტეროიდის პლაზმასა და ჟარდში. 17-ჰიდროკორტიკოსტეროიდის პეპსინოგენის აქტივობას შორის კორტიკოსტეროიდის კავშირი არ არსებობს.

BIOCHEMISTRY

Ya. P. LEZAVA

ON THE 17-HYDROXYCORTICOSTEROIDS AND PEPSINOGEN OF THE BLOOD PLASMA AND URINE OF PATIENTS WITH DUODENAL ULCER

Summary

It has been ascertained that pepsinogen activity is heightened both during exacerbation of the disease and remission. The concentration of 17-OHCS (hydroxycorticosteroids) is heightened only during the period of the exacerbation, while in the period of remission it is within the norm. The age, sex and duration of the disease have no significant influence on the indices studied. A positive correlation has been found between blood pepsinogen activity and uropepsinogen, as well as between the contents of 17-OHCS in the blood plasma and urine. There is no correlation between 17-OHCS contents and pepsinogen activity.



ЛЛЮЧИЛСАТЫРЫ — ЛИТЕРАТУРА -- REFERENCES

1. Н. А. Юдаев, Ю. А. Панков. Пробл. эндокринол. и гормонотер., 2., 1958, 35.
2. М. А. Крехова. Пробл. эндокринол., 2, 1960, 55.
3. I. Mirsky *et al.* J. Lab. Clin. Med., 40, 1952, 188—199.
4. H. Spiro *et al.* New Engl. J. Med., 253, 7, 1955, 261—266.
5. G. Bucher. Gastroenterology, 8, 1947, 627—647.
6. M. Anson, A. Mirsky. J. Gen. Physiol., 16, 1943, 59—63.
7. S. Gray *et al.* New Engl. J. Med., 251, 21, 1954, 835—843.
8. S. Gray *et al.* Gastroenterology, 25, 1953, 156—172.
9. М. А. Алекперов. Сб. трудов Азерб. гос ин-та усоверш. врачей. Баку, т. 4, 1960.
10. И. И. Крыжановская, С. И. Петий. Врачебное дело, 4, 1970, 112.
11. I. Mirsky *et al.* J. Clin. Invest., 27, 1948, 818—824.
12. B. Hirschowitz. J. Lab. Clin. Med., 46, 1955, 568—579.
13. С. М. Рысс. Вестник АМН СССР, 7, 1962, 41—47.
14. Зд. Маржатка. Практическая гастроэнтерология. Прага, 1967.

Л. Н. ДВАЛИ, Г. Е. ЦУЛАЯ

ЗНАЧЕНИЕ ИЗУЧЕНИЯ АКТИВНОСТИ НЕКОТОРЫХ ФЕРМЕНТОВ
ПРИ ЗЛОКАЧЕСТВЕННЫХ НОВООБРАЗОВАНИЯХ В БОЛЕЕ
ПОЗДНИЕ ПЕРИОДЫ

(Представлено академиком В. С. Асатиани | 1.3.1972)

Изучение активности некоторых ферментов в сыворотке крови при злокачественных новообразованиях молочной железы в динамике лечения выявило, что до лечения активность ферментов аспартатамино-трансферазы (АСТ), аланинаминотрансферазы (АЛТ), лактатдегидрогеназы (ЛДГ), фруктозо-1,6-дифосфатальдолазы (АД), щелочной фосфатазы (ЩФ), сорбидегидрогеназы (СДГ) повышенна.

К концу лечения у обследованных больных раком молочной железы активность изученных ферментов в сыворотке крови оставалась повышенной.

Для выяснения вопроса, нормализуется ли активность изученных в сыворотке крови ферментов в более поздние сроки после выписки из стационара, а также для изыскания тестов, помогающих своевременно выявлять рецидивы и скрытые метастазы, были обследованы 29 больных раком молочной железы в разные сроки после выписки из стационара (2,5 месяца — 3 года).

В зависимости от сроков обследования были выделены три основные группы: 1 — спустя 2,5 месяца — 1 год после выписки из стационара; 2 — спустя 1—2 года; 3 — спустя 2—3 года.

Полученные результаты оценивались отдельно при относительно благоприятном течении болезни и при наличии рецидивов и явных метастазов.

Спустя 2,5 месяц — 1 год у больных раком молочной железы с благоприятным течением болезни активность изученных ферментов осталась повышенной, а в ряде случаев еще больше повысилась (АД, ЩФ, АСТ). У больных, которые поступили с явными метастазами и рецидивами, наблюдалось еще большее повышение активности изученных ферментов. Так, активность АД еще больше повысилась у 8 из 9 больных, а у одной отмечалась тенденция к понижению, однако норма не была достигнута. Повысилась также активность АСТ (у 7 из 9 больных).

Спустя 1—2 года после выписки у больных с относительно благоприятным течением болезни активность изученных ферментов осталась повышенной, но при наличии явных метастазов и рецидивов повышение активности ферментов было выражено более явно. Так, активность АД, СДГ и АСТ еще больше повысилась у 4 больных из 6, а активность ЛДГ и АЛТ — у 5 из 6 больных.

Спустя 2—3 года после выписки из стационара у больных с метастазами и рецидивами, в отличие от больных с относительно благопри-



ятым течением болезни, активность АД, ЩФ и ЛДГ повысились еще больше.

Так как в доступной нам литературе мы не встретили работ, в которых были бы изучены в комплексе активность вышеотмеченных ферментов у больных раком молочной железы в сыворотке крови в динамике лечения и в более отдаленные сроки после выписки из стационара, наши данные не сопоставимы.

Таким образом, изучение активности ферментов в сыворотке крови больных раком молочной железы в более поздние сроки после выписки из стационара выявило, что повышенная активность изученных нами ферментов, имевшая место после выписки из стационара, не нормализовалась и в более поздние сроки наблюдения.

При относительно благоприятном течении процесса (без рецидивов и метастазов) активность изученных ферментов держится приблизительно на одном уровне, тогда как при наличии явных метастазов и рецидивов активность всех изучаемых нами ферментов резко повышается, причем наиболее чувствительными являются ферменты АСТ, АЛТ, ЛДГ.

Институт онкологии
МЗ ГССР

(Поступило 2.3.1972)

ბიოქიმია

ლ. დვალი, გ. ცულაია

ზოგიერთი ფერმენტის აძლიერების შესავალის მნიშვნელობა
ავთვისებიანი სიმსიმეს უორეულ პერიოდში

რეზიუმე

იმის გასარკვევად, უბრუნდება თუ არა ნორმას სისხლის შრატში შესწავლითი ფერმენტების (ასპარტატამინოტრანსფერაზას), ალანინამინოტრანსფერაზას, ფრუქტოზი 1,6-დიფოსფატ ალდოლაზას, ტუტე ფოსფატაზას, ლაქტატ-დეკარბოგენაზას, სორბიტდეკარბოგენაზას) მოძარებული აქტივობა სტაციონარიდან გაწერის შორეულ პერიოდში, აგრეთვე მიმსათვის, რომ აგმოგენულ დამხმარე ტესტი რეციდივისა და მეტასტაზის დროულად გამომელაგებისათვის, შესწავლით იქნა სარძევი გირკვლის ავთვისებიანი სიმსივნით დავადებული 29 ავადმყოფ სტაციონარიდან გაწერის სხვადასხვა პერიოდში (2,5 თვიდან 3: წლამდე). გამოიჩვა, რომ აღნიშნული ფერმენტების მოძარებული აქტივობა სისხლის შრატში არ უბრუნდება ნორმას სტაციონარიდან გაწერის შორეულ პერიოდში. ამასთან რეციდივისა და მეტასტაზის დროს ადგილი აქვს ყველა ფერმენტის აქტივობის მკვეთრად მომატებას; განსაკუთრებით კი მგრძნობიარება ფერმენტები: ასპარტატამინოტრანსფერაზა, ალანინამინოტრანსფერაზა, და ლაქტატ-დეკარბოგენაზა.

BIOCHEMISTRY

L. N. DVALI, G. E. TSULAIA

THE SIGNIFICANCE OF STUDYING SOME ENZYMES IN PATIENTS WITH MALIGNANT TUMOURS IN SOME LATER PERIOD AFTER TREATMENT

Summary

The follow-up study involved 29 patients with cancer of the breast. They were examined at various times after discharge from the hospital.

($2\frac{1}{2}$ months to 3 years). The study had two objectives: a) to ascertain whether the increased aspartateaminotranspherase (AST), alanineaminotranspherase (ALT), fructose 1.6 diphosphate aldolase (AD), lactic dehydrogenase (LDG), sorbitol dehydrogenase (SDG), and alkaline phosphatase (AP) activities in the blood serum of the patients had normalized at some later period after treatment, b) to develop some adjuvant tests for early detection of tumor recurrence and obscure metastases.

It was found that the activity of the above enzymes did not normalize for a long time after treatment. The activity of all the enzymes increased drastically in the presence of obvious metastases and recurrence of the disease. AST, ALT, and LDG being most sensitive in this respect.

БИОХИМИЯ

Р. Г. АХАЛКАЦИ, Н. И. ДОЛИДЗЕ, Д. И. ДЖОХАДЗЕ

О ГЛЮТАМИНАЗНОЙ АКТИВНОСТИ ИЗОЛИРОВАННЫХ КЛЕТОЧНЫХ ЯДЕР РАЗЛИЧНЫХ ТКАНЕЙ

(Представлено академиком П. А. Кометиани 15.12.1971)

Дифференцировка клетки в специфически функционирующем органе затрагивает не только цитоплазму, но и ядро. Тканевая дифференцировка клеточных ядер в определенной степени обусловлена их ферментным составом [1, 2]. Поэтому исследование ферментов в ядрах клеток может помочь в выяснении специфики функциональной активности соответствующих тканей и органов.

В настоящем сообщении приводятся данные о глютаминазной активности изолированных ядер головного мозга и печени крысы. Была изучена также глютаминазная активность гомогенатов вышеназванных тканей.

Ядра мы выделяли по методу Шово и др. [3]. Чистоту ядер контролировали микроскопически. Препараты ядер сусpendировали в 0,32 М сахарозе, содержащей 0,001 М $MgCl_2$ и 0,001 М К-фосфатный буфер, рН 6,6. В таком же растворе готовили гомогенаты тканей мозга и печени.

Глютаминазную активность определяли по прописи С. Мардашева и др. [4] и Твейта и др. [5]. Инкубационная среда объемом 1,0 мл содержала 50 mM Na_2 -фосфата и 0,2 М ЭДТА (рН 8,0), 20 мкмоль глютамина, ядра или тканевой гомогенат, содержащий 1—10 мг белка. Пробы инкубировали в течение 30 мин при 37°. Реакцию останавливали добавлением 0,5 мл холодной 20% трихлоруксусной кислоты.

Образовавшийся аммиак определяли методом прямой несслеризации. Для этого после осаждения белков к 0,25 мл инкубационной пробы добавляли 4,75 мл дистиллированной воды, 0,5 мл реактива Несслера и подчас измеряли развившееся окрашивание на спектрофотометре СФ-4А при 420 ммк. Активность выражали в количествах NH_3 , выделившегося за 30 мин 1 мг белка. Белок определяли по Лоури [6].

На рис. 1 приведены результаты исследования временной зависимости глютаминазной активности тканевых гомогенатов и изолированных ядер головного мозга и печени крысы. Установлено, что временная зависимость глютаминазной активности при инкубации гомогената головного мозга имеет почти линейный характер от 0 до 90 мин. Во всех других случаях после 30 мин инкубации кривая активности идет более полого. Исходя из этих данных в дальнейших исследованиях продолжительность инкубации была равна 30 мин.

В следующей серии опытов мы исследовали зависимость глютаминазной активности тканевых гомогенатов и изолированных ядер головного мозга и печени крысы от концентрации белка. Из данных, приведенных на рис. 2, можно заключить, что глютаминазная активность изолированных ядер головного мозга и печени крысы увеличивается с

увеличением количества ядер (по общему белку). Но это увеличение носит различный характер: в случае мозга активность быстро достигает плато (2—3 мг белка на пробу), тогда как в случае печени ак-

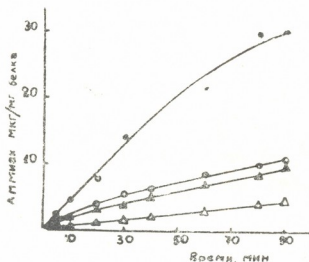


Рис. 1. Еременная зависимость глютамина-зной активности тканевых гомогенатов и изолированных ядер головного мозга и печени крысы (темными и светлыми кружочками обозначены гомогенат и ядра мозга, темными и светлыми треугольниками—гомогенат и ядра печени)

тивность растет линейно. Такая же картина наблюдается и в опытах по изучению глютамина-зной активности гомогената головного мозга и печени (рис. 3).

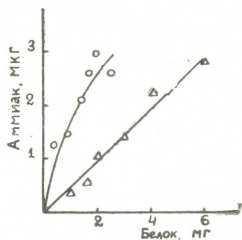


Рис. 2. Зависимость глютамина-зной активности от концентрации изолированных ядер головного мозга (светлый кружочек) и печени крысы (светлый треугольник)

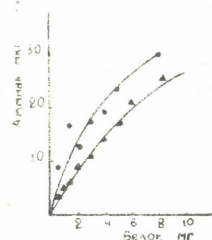


Рис. 3. Зависимость глютамина-зной активности от концентрации тканевых гомогенатов мозга (темный кружочек) и печени (тёмный треугольник)

Данные рис. 2 и 3 говорят о том, что глютамина-зная активность в пересчете на единицу белка в тканевых гомогенатах приблизительно в 3—5 раз выше, чем в ядрах. Кроме того, выясняется, что глютамина-зная активность как в гомогенате, так и в изолированных ядрах головного мозга выше, чем в печени крысы.

Литературные сведения о глютамина-зной активности изолированных ядер немногочисленны. Известны данные о высокой активности этого фермента в изолированных ядрах гладких мышц при отсутствии та-ковой в ядрах скелетных и сердечных мышц [7]; при этом указано, что глютамина-зная активность выше в функционально более активных мышцах, в частности в сердечной мышце, а также в скелетной мышце.

Поскольку превращения глютамина занимают важное место в сложной цепи биохимических реакций в мозговой ткани, представляет

интерес выяснить, как отражаются изменения функционального состояния на глутаминазную активность клеточных ядер.

Тбилисский государственный университет

(Поступило 3.3.1972)

გიორგი ბაძიშვილი

რ. ახალქაცი, ნ. დოლიძე, დ. ჯოხაძე

სსრადასხევა ქსოვილთა უჯრედების იზოლირებული გირთვების
გლუტამინაზური აქტივობის შესახებ

რ ე გ ი უ მ ე

შესწავლითა ვირთაგვას თავის ტვინისა და ღვიძლის ქსოვილების და მათ-
გან გამოყოფილ უჯრედთა ბირთვების გლუტამინაზური აქტივობა. აღმოჩნდა,
რომ თავის ტვინის ქსოვილსა და მისგან გამოყოფილ უჯრედთა ბირთვებს 3—5-
ჯერ მეტი გლუტამინაზური აქტივობა აქვთ ღვიძლის ქსოვილსა და მისგან გა-
მოყოფილ ბირთვებთან შედარებით. დახასიათებულია გლუტამინაზური აქტი-
ვობის ზოგიერთი კინეტიკური მხარე ზემოთ აღნიშნულ ქსოვილებსა და მათ-
გან გამოყოფილ უჯრედთა იზოლირებულ ბირთვებში.

BIOCHEMISTRY

R. G. AKHALKATSI, N. I. DOLIDZE, D. I. JOKHADZE

ON THE GLUTAMINASE ACTIVITY OF ISOLATED CELL NUCLEI OF VARIOUS TISSUES

Summary

The glutaminase activity of rat brain and liver tissue homogenates and of cell nuclei isolated from them has been studied. It has been found that the brain tissue and cell nuclei isolated from it have 3 to 5 times as higher glutaminase activity as the liver tissue and nuclei isolated from them. Some kinetic aspects of glutaminase activity in the tissues in question and in the cell nuclei isolated from them are described.

ლიტერატურა — REFERENCES

1. H. Stern, A. Alfrey, A. Mirsky, H. Saetren. J. Gen. Physiol., 35, 1952, 559.
2. H. Stern, A. Mirsky. J. Gen. Physiol., 37, 1953, 177.
3. I. Shauveau, J. Moule, C. Rouillier. Exptl. Cell Res., 11, 1956, 317.
4. С. Мардашев, А. Николаев, Л. Евсеев, В. Еременко. Биохимия, 32, 1967, 1093.
5. B. Tweit, G. Svensenby, E. Kvamme. Eur. J. Biochem., 14, 1970, 373.
6. H. Lowry, T. Rosebrugh, G. Farr, R. Randall. J. Biol. Chem., 193, 1951, 265.
7. А. Силакова, С. Полещук, Г. Бекир-заде. Сб. «Структура и функция клеточного ядра». М., 1967, 131.

Э. Г. КИРТАДЗЕ

НЕКОТОРЫЕ ИСТОЧНИКИ ОБРАЗОВАНИЯ ОРГАНИЧЕСКИХ КИСЛОТ В ПРОЦЕССЕ ВТОРИЧНОГО СПИРТОВОГО БРОЖЕНИЯ

(Представлено академиком С. В. Дурмишидзе 27.3.1972)

В условиях вторичного спиртового брожения дрожжи частично усваивают и превращают основные и вторичные продукты брожения [1—3]. Углероды этилового спирта и CO_2 , подвергаясь разнообразным превращениям, принимают участие и в образовании огранических кислот вина [4, 5].

Целью настоящей работы являлось изучение участия некоторых вторичных и побочных продуктов брожения в образовании органических кислот.

Вторичное брожение проводилось в приготовленной тиражной смеси по ранее опубликованной методике [1]. В качестве бродильного агента были использованы винные дрожжи *Sacch. vini* Кахури-7. В среду вторичного брожения вносились 2C^{14} -глицерин, 2C^{14} -уксусная кислота, 3C^{14} -серин, 4C^{14} -аспарагиновая и 5C^{14} -глютаминовая кислоты. Брожение проводилось при температуре 14—16°C. Анализ вина и дрожжей начинался по окончании основного брожения — спустя 3 недели после закладки опытных образцов. Отдельные органические кислоты идентифицировались хроматографией на бумаге с последующей авторадиографией. Радиоактивность пятен определялась на сцинтилляционном спектрометре СЛ-20.

Определение радиоактивности выделенных к концу брожения дрожжей показало, что несмотря на одинаковые условия брожения, все изученные соединения с различной интенсивностью включаются в биомассу дрожжей. Особенно интенсивно усваивается уксусная кислота. Включение в биомассу дрожжей исследованных соединений сопровождалось выделением радиоактивного углекислого газа от 0,4 до 5%. Аналогичные результаты были получены при первичном брожении [6]. Следовательно, вторичные продукты брожения — глицерин, уксусная кислота, а также аминокислоты вина — серин, аспарагиновая и глютаминовая кислоты — участвуют в конструктивном и энергетическом обмене веществ дрожжей при вторичном спиртовом брожении.

Изучение образования радиоактивных органических кислот показало, что при превращении глицерина, серина, аспарагиновой и глютаминовой кислот образуются как летучие, так и нелетучие органические кислоты (табл. 1). Из всех исследованных соединений в синтезе органических кислот интенсивнее используется 5C^{14} -глютаминовая кислота. Высокая радиоактивность летучих кислот обнаруживается при внесении в среду 3C^{14} -серина. Серин, как известно, тесно связан с обменом пировиноградной кислоты, за счет превращения которого в среде может накапливаться уксусная кислота.



Таблица 1

Включение меченых углеродов некоторых вторичных и побочных продуктов брожения в органические кислоты

Радиоактивность органических кислот, %	Соединения, внесенные в тиражную смесь до начала брожения				
	2C ¹⁴ -глицерин	2C ¹⁴ -уксусная кислота	3C ¹⁴ -серин	4C ¹⁴ -аспарагиновая кислота	5C ¹⁴ -глютаминовая кислота
От общей радиоактивности вина	12,2	—	4,0	2,9	28,9
От общей радиоактивности органических кислот					
а) летучие	9,5	—	79,8	10,3	6,3
б) нелетучие	90,4	3,0	20,2	89,7	93,7
От общей радиоактивности нелетучих органических кислот					
а) четырехуглеродные кислоты	38,7	66,8	43,7	74,2	78,9
б) двухуглеродные кислоты	61,2	33,1	56,2	25,7	21,0

Идентификацией нелетучих органических кислот обнаружено, что за счет превращения исследованных соединений в процессе вторичного брожения образуются как кислоты цикла Кребса, так и его разновидности глиоксалатного цикла.

Углероды уксусной, аспарагиновой и глютаминовой кислот в основном включаются в кислотах цикла Кребса, а глицерин и серин преимущественно участвуют в образовании двухуглеродных кислот.

Следует отметить, что почти все изученные соединения в большом количестве образуют янтарную кислоту (табл. 2). Особенно высокорадиоактивным оказалась янтарная кислота при внесении в среду 5C¹⁴-глютаминовой кислоты.

Таблица 2

Радиоактивность идентифицированных органических кислот в % от их суммы

Соединения, внесенные в тиражную смесь до начала брожения	Радиоактивность нелетучих органических кислот в % от их суммы					Число идентифицированных кислот	
	Янтарная кислота	Фумаратная кислота	Яблочная кислота	Глиоксалевая кислота	Гликоловая кислота		
2C ¹⁴ -глицерин	8,1	4,5	26,2	25,0	36,1	—	5
2C ¹⁴ -уксусная к-та	34,1	19,1	10,2	21,9	8,4	6,2	8
3C ¹⁴ -серин	28,9	8,9	0,7	48,9	1,9	10,6	7
4C ¹⁴ -аспарагиновая к-та	26,0	7,1	37,6	24,7	0	4,5	7
5C ¹⁴ -глютаминовая к-та	42,8	7,6	24,4	15,7	4,9	4,5	10

Образование янтарной кислоты из глютаминовой при первичном брожении раньше было показано [7]. В наших опытах глютаминовая кислота так же подвергается окислительному дезаминированию. Радиоактивность янтарной кислоты в большинстве случаев превосходит сум-



му радиоактивности соседних кислот в цикле Кребса. По-видимому, в условиях наших опытов действие сукцинатдегидрогеназы подавлено. На активное функционирование глиоксалатного цикла указывает высокая радиоактивность идентифицированной глиоксилевой кислоты. Интенсивное образование глиоксилевой кислоты из $^{3}C^{14}$ -серина, очевидно, связано с превращением серина в глицин, которая путем дезаминирования образует глиоксилевую кислоту.

Полученные данные показывают, что в процессе вторичного спиртового брожения в образовании органических кислот участвуют как вторичные продукты брожения — глицерин и уксусная кислота, так и побочные продукты — серин, аспарагиновая и глутаминовая кислоты, среди которых основными источниками органических кислот являются глутаминовая и аспарагиновая кислоты.

Академия наук Грузинской ССР
Институт биохимии растений

(Поступило 7.4.1972)

გირობიოლოგია

გ. კირთაძე

ორგანული მჟავების ჯარმოვობის ზოგიერთი ფაზით მორიცხვის
სპირტული დუღილის პროცესში

რეზიუმე

მეორეული სპირტული დუღილის პროცესში ორგანულ მჟავათა წარმოქმაში მონაწილეობას ღებულობს როგორც დუღილის მეორეული პროდუქტები — გლიცერინი და ძმარმჟავა, ისე გარეშე პროდუქტები — სერინი, ასპარაგინმჟავა და გლუტამინმჟავა. შესწავლილი ნაერთებიდან ორგანული მჟავების წარმოქმნის ძირითად წყაროს გლუტამინმჟავა და ასპარაგინმჟავა წარმოადგენს.

MICROBIOLOGY

E. G. KIRTADZE

SOME SOURCES OF THE FORMATION OF ORGANIC ACIDS IN THE SECONDARY ALCOHOLIC FERMENTATION

Summary

Both the secondary products of fermentation—glycerine and acetic acid—and other products, as serine, aspartic acid and glutamic acid take part in the formation of organic acids during the process of alcoholic fermentation. Of the compounds studied glutamic acid and aspartic acid represent the main source of organic acid formation.

ლიტერატურა — REFERENCES

1. Э. Г. Киртадзе. Сообщения АН ГССР, 49, № 2, 1968.
2. Э. Г. Киртадзе. Сообщения АН ГССР, 52, № 1, 1968.
3. Э. Г. Киртадзе. Сообщения АН ГССР, 55, № 2, 1969.
4. Э. Г. Киртадзе. Сообщения АН ГССР, 64, № 3, 1971.
5. Э. Г. Киртадзе. Сообщения АН ГССР, 66, № 3, 1972.
6. С. В. Дурмишидзе. Труды Тбил. ботан. ин-та, АН ГССР, XXIII, 1962.
7. В. З. Гваладзе и С. В. Дурмишидзе. Труды Грузинского СХИ, XIII, 1941.

ФИТОПАТОЛОГИЯ

Г. С. КАЛИЧАВА

НОВЫЙ КОМПЛЕКС СВОБОДНОРАДИКАЛЬНЫХ ЦЕНТРОВ,
ОБНАРУЖЕННЫЙ В РАСТИТЕЛЬНЫХ ТКАНЯХ

(Представлено академиком Л. А. Кацхавели 1.2.1972)

В зеленых водорослях, листьях и хлоропластах высших растений наблюдаются два характерных сигнала ЭПР. Один из них, так называемый «световой сигнал», представляет собой синглетную линию, появляющуюся на свету с g-фактором 2,002 и $\Delta H = 9$ э. Второй сигнал, наблюдаемый в темноте и поэтому именуемый „темновым сигналом“, имеет g-фактор 2,004—2,005 и $\Delta H = 10$ э [1—4].

Обнаруженный нами сигнал присущ всем исследуемым нами растительным тканям (лимоны, сосна, виноград, табак, папоротник) и четко регистрируется при температуре -180°C . Особенно четко она проявляется у хвои пицундской сосны (*Pinus Pithysa strangw*) и у папоротников. Исходя из этого объектом исследования мы брали хвоя пицундской сосны. Эксперименты проводили на радиоспектрометре РЭ-1301, g-фактор определяли приближенным методом Кнобеля [5]. Спектры ЭПР регистрировали при температуре -180°C . При этом для сигналов комплексов марганца наблюдалось появление дополнительного квартетного расщепления каждой компоненты СТС сигналов марганца. Наиболее четко это дополнительное расщепление проявляется на первой низкополевой компоненте сигнала марганца. Судя по тому, что расстояние между компонентами этого расщепления одинаково и со-

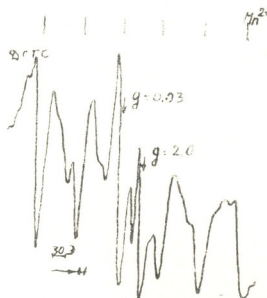


Рис. 1. Спектр ЭПР хвои пицундской сосны *Pinus Pithysa Strangw* с четко разрешенной СТС марганца

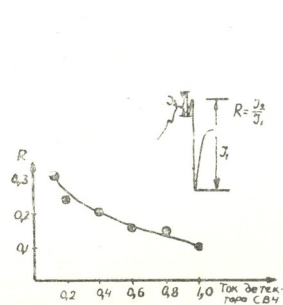


Рис. 2. Зависимость амплитуды сигнала ЭПР от мощности (эффект насыщения) для дополнительной СТС марганца

ставляет 20 э, можно утверждать, что оно представляет собой дополнительную СТС. При обработке сосновой хвои этилксантогенатом калия и додецилсульфатом натрия разрешенность дополнительной СТС улучшается. В этих случаях при низких значениях поля появляются дополнительно три пика с расстоянием между ними порядка 90 э. При повышении уровня СВЧ мощности, падающей на образец, и при 77°К наблюдается снижение разрешенности дополнительной СТС, вплоть до ее исчезновения. В результате наблюдается обычный сигнал комплексов марганца (рис. 1).

Таким образом, мы имеем наложение двух сигналов, один из которых (с дополнительной СТС) насыщается быстрее (рис. 2). Сигнал с дополнительной СТС обусловлен также комплексом марганца. Об этом говорит тот факт, что он представляет собой также сумму шести компонентов, каждый из которых имеет дополнительную СТС. Однако, в отличие от обычного сигнала марганца, для которого центр расположен при $g=2,0$, второй тип комплексов марганца имеет центр при $g=2,02$. Следует заметить, что пропорционально увеличению интенсивности второго сигнала комплексов марганца с шестью компонентами и дополнительной СТС возрастает интенсивность трех пиков при низких значениях поля (рис. 3).

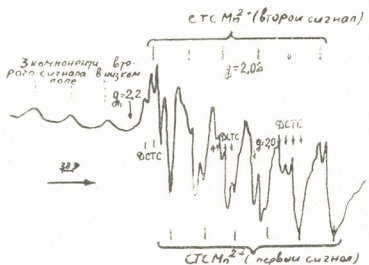


Рис. 3. Спектр ЭПР хвои пицундской сосны с четко выраженной дополнительной СТС марганца

Исходя из этого, можно думать, что эти три пика относятся ко второму сигналу комплексов марганца. Отсюда ясно, что второй тип сигналов марганца — это широкий сигнал, характеризующийся анизотропией g -фактора, близкой к аксиальной. При этом $g_1=2,02$, а $g_2=2,2$. Оценка последнего сделана из предположения, что три пика при низких значениях поля — это первые три компонента СТС марганца для параллельной ориентации, остальные три пика маскируются интенсивным поглощением при перпендикулярной ориентации.

Судя по появлению дополнительной СТС на каждом из компонентов СТС марганца, можно утверждать, что в этом парамагнитном центре марганец координируется с атомом лиганда, имеющим магнитное ядро. Неспаренный электрон локализуется частично на атоме марганца и частично на атоме лиганда, имеющем магнитное ядро. При этом возникают два СТ расщепления. Далее, судя по тому, что дополнительная СТС имеет четыре компонента, атом лиганда имеет ядро с магнитным моментом $I=3/2$. Из элементов периодической системы, естественные изотопы которых имеют ядро с таким магнитным моментом, представлен только хлор. Таким образом, за обнаруженный сигнал ответствен комплекс, в котором марганец ковалентно связан с хлором. Этот вывод весьма интересен, поскольку и марганец, и хлор абсолютно необ-

ЛІТЕРАТУРА — REFERENCES

1. M. V. Allen, L. H. Piette, I. C. Murrchio. Biochem. Biophys. Res. Commun., 4, 1961, 272.
2. Advances in Radiation Biology. Acad. Press. VI, New York and London, 1964.
3. Л. А. Қанчавели, Г. С. Каличава. Сообщения АН ГССР, 64, № 2, 1971, 471.
4. Г. С. Каличава. Сообщения АН ГССР, 42, № 3, 1966, 693.
5. F. K. Klemm. J. Chem. Phys., v. 33, 1960, 1074.
6. Биохимия и биофизика фотосинтеза. М., 1965.



ГИСТОЛОГИЯ

Г. Г. САМСОНИДЗЕ

МЕТОД ОПРЕДЕЛЕНИЯ ПЛОЩАДИ БИОЛОГИЧЕСКИХ СТРУКТУР

(Представлено членом-корреспондентом Н. А. Джавахишвили 9.2.1972)

В морфологических исследованиях последних лет участилось применение количественного анализа биологических структур на тканевом и клеточном уровне. В том случае, когда эти структуры имеют неправильную геометрическую форму и их величина мала, исследователь вынужден прибегать к специальному методу. Этот метод в принципе давно известен, но он мало популяризирован и исследователю недостаточно ясно представляется способ выражения анализируемых структур в истинные величины — в мк^2 [1]. Часто изучаемые структуры приравниваются к различным геометрическим фигурам, площадь которых рассчитывается соответствующими линейными промерами. Однако в этом случае не избежать порой больших погрешностей, особенно когда контур этих структур сложен.

В монографии Я. Е. Хесина [2] приведены многочисленные методы и приемы измерения в основном ядер, описаны известные методы определения величин структур на проекциях с гистологических препаратов или с фотонегативов путем измерения винтовым окулярмикрометром или прозрачной линейкой. Одновременно показана возможность определения площади структур на тех же проекциях путем наложения различных решеток с последующим подсчетом числа тест-точек или тест-линий. Следует отметить, что этот метод довольно прост, но менее точен, чем метод планиметрии, который позволяет не только определять площадь зарисованных проецированных структур в планиметрических единицах, но и переводить их в абсолютные значения. Однако величина измеряемых структур в ряде случаев настолько мала, что точность измерений искажается. Немало трудностей представляет часто и сложная форма микроструктур. Кроме того, не всегда может оказаться под рукой этот прибор. Предложена довольно сложная конструкция микропланиметра, который позволяет производить планиметрию непосредственно под микроскопом [3]. Однако, помимо сложности такого прибора, при его помощи невозможно измерять такие маленькие структуры, как например, ядрышко.

Учитывая все вышеприведенное, мы пришли к выводу, что наиболее простым, общедоступным и точным является метод измерения площади биологических структур путем зарисовки их контуров, вырезывания и взвешивания. Проецированные с гистологических препаратов или фотонегативов на бумагу однородной плотности структуры зарисовываются, вырезываются по контурам и взвешиваются на достаточно чувствительных весах.

Полученный цифровой материал, выражющий вес этих фигур, дает возможность лишь сравнительного анализа, не поставляя чрезвычайно важной для исследовательских целей информации об истинных

величинах структур. Для устранения этого недостатка мы предлагаем способ пересчета этих условных по существу единиц в абсолютные размеры. Сперва определяется средний вес 1 см² бумаги (примерно с 20 образцов) — величина a . Важно, чтобы применялся один сорт бумаги однородной плотности. Затем зарисовывается интересующая нас структура (при помощи рисовального аппарата, микропроектора, фотоувеличителя, аппарата Эдингера или какой-либо другой установки), вырезается по контуру и определяется ее среднее весовое значение (из 50—100 взвешиваний — величина b). Далее определяется средний размер (примерно из 20 измерений) одного деления шкалы объектмикрометра, проецированной на бумагу той же плотности установкой, при помощи которой проводилась зарисовка — величина c . Расстояние от объекта до бумаги должно быть таким же, как и при зарисовке. В случае зарисовки с негативов следует получать снимок шкалы микрометра при том же увеличении. Так как цена деления объект-микрометра равна 10 мк, то 1 мк (линейный) будет выражаться как $c/10$, а квадратный микрон как $c^2/100$. Далее пересчитывается площадь изучаемой структуры в мк².

Ввиду того что 1 см² бумаги весом в a мг имеет площадь 100 000 000 мк², бумага с фигурой исследуемой структуры весом в b мг будет иметь площадь, скажем, d мк². Отсюда

$$d = \frac{100\ 000\ 000}{a} \cdot b = \frac{10^8}{a} \cdot b \text{ мк}^2.$$

Далее, ввиду того, что $c^2/100$ мк² на бумаге соответствует 1 мк², площадь рисунка структуры, т. е. d мк², будет соответствовать x — искомой площади изучаемой структуры, выраженной в мк². Следовательно,

$$x = \frac{d}{c^2} = \frac{\frac{10^8}{a} \cdot b}{\frac{c^2}{100}} = \frac{10^{10}}{a \cdot c^2} \cdot b \text{ мк}^2,$$

где a — средний вес 1 см² бумаги, мг; b — вес вырезанной из бумаги фигуры исследуемой структуры; c — среднее расстояние между двумя делениями проекции объектмикрометра, мк; $10^{10}/a \cdot c^2$ при заданных значениях a и c будет являться постоянной величиной. Обозначим ее через K — коэффициент пересчета, где $K=\text{const}$ и выражен в мк²/мг. Далее путем перемножения величины K на весовое значение фигуры изучаемой структуры b получим площадь данной структуры в мк². Следовательно, при постоянных условиях работы $x=K \cdot b$ мк².

Пример. Если средний вес 1 см² используемой бумаги $a=5$ мг, средний размер одного деления проекции шкалы объектмикрометра на бумаге $c=33$ мм = 33000 мк и вес бумаги, на которой зарисована фигура исследуемой структуры, $b=2$ мг, то искомая площадь изучаемой структуры будет

$$x = \frac{10^{10}}{5 \cdot 33\ 000^2} \cdot b = \frac{10^{10}}{5 \cdot 1089 \cdot 10^6} \cdot b = \frac{10^4}{5445} \cdot b = 1,8 \cdot b \text{ мк}^2.$$

Следовательно, по данному примеру коэффициент пересчета $K=1,8$ мк²/мг, а $x=K \cdot b=1,8 \text{ мк}^2/\text{мг} \cdot 2 \text{ мг}=3,6 \text{ мк}^2$:



Рассмотренный метод определения площади биологических структур успешно применяется в отделе гистологии Института экспериментальной морфологии АН ГССР с 1965 г. В результате количественного изучения морфологических показателей на тканевом и клеточном уровне в ряде работ изучены тонкие сдвиги, происходящие в органах и тканях при их регенерации [4—6] повреждении других органов [7, 8] и других состояниях [9, 10]. Такое изучение дало возможность более глубоко проникнуть в суть регенераторных и компенсаторно-приспособительных процессов.

Все вышеизложенное дает право широко рекомендовать метод определения площади биологических структур как простой, общедоступный и довольно точный количественный подход в изучении тканевых и клеточных структур при их любых состояниях.

Академия наук Грузинской ССР
Институт экспериментальной морфологии
им. А. Н. Натишивили

(Поступило 10.2.1972)

პისტოლებია

გ. სამსონიძე

პიოლოგიური სტრუქტურების ფართობის განსაზღვრის მეთოდი

რეზიუმე

მოცემულია პისტოლოგიური პრეპარატებიდან ქალალდზე პროეცირებული ფიგურების ჩახატვისა და აწონვის შემდეგ მიღებული მონაცემების გადანგარიშების მეთოდი. ნაჩვენებია, რომ მოცემულ პირობებში შესაძლებელია მუდმივი სიღიღის (გადანგარიშების კოეფიციენტის) დადგენა. ამ სიღიღის გამრავლებით ქალალდიდან გამოჭრილი შესასწავლი სტრუქტურის წონის მნიშვნელობაზე (მგ-ით) შესაძლებელია ამ სტრუქტურის ჭეშმარიტი ზომის მიღება მკ²-ით.

HISTOLOGY

G. G. SAMSONIDZE

A METHOD FOR DETERMINING THE AREA OF BIOLOGICAL STRUCTURES

Summary

A method is presented for the recalculation of weight data obtained by the method of sketching and weighing of cut-out figures projected on paper from histological preparations. It is shown that with present conditions of work determination of the constant value i. e. the coefficient of recalculation, is feasible. Multiplication of this value by the weight value (in mg) will yield the real area in sq.m² of the figure of the structure in question cut-out from paper.

ლიტერატურა — ЛИТЕРАТУРА — REFERENCES

1. Г. И. Роккин. Микроскопическая техника. М., 1946, 300.
2. Я. Е. Хесин. Размеры ядер и функциональное состояние клеток. М., 1967.
3. T. Caspersson, T. Fredriksson, K. G. Thorsson. *Hereditas* (Lund), Bd. 39, N. 1—2, 1953, 201—208.
4. М. И. Чичинадзе. Морфофункциональный анализ регенерирующей поджелудочной железы. Автореферат, Тбилиси, 1969.
5. Г. Г. Самсонидзе, Б. А. Гегидзе и др. Сб. «Механизмы регенерации и клеточного деления». М., 1971.
6. Г. Г. Самсонидзе. Бюлл. эксп. биол. и мед., № 12, 1970.
7. Г. Г. Самсонидзе, К. Н. Барабадзе и др. Сб. «Механизмы регенерации и клеточного деления». М., 1971.
8. Г. Г. Самсонидзе, К. Н. Барабадзе, М. И. Чичинадзе. Труды Горьковского мед. ин-та, вып. 32. Горький, 1970.
9. О. Р. Комахидзе. Эпителиальные ходы и кисты крестцово-копчиковой области. автореферат, Тбилиси, 1970.
10. Г. Г. Самсонидзе, С. А. Кемоклидзе. Труды Ин-та эксп. и клин. хирургии, т. XII. Тбилиси, 1970,

О. М. ХАРЛЗЕИШВИЛИ

НЕКОТОРЫЕ МЕТРИЧЕСКИЕ ОСОБЕННОСТИ КЛЕТОК НЕРВНОЙ ТКАНИ, ПРЕТЕРПЕВАЮЩИХ МИТОЗ НА РАЗНЫХ ЭТАПАХ РАЗВИТИЯ ЭМБРИОНА КУРИЦЫ

(Представлено академиком И. Я. Татишвили 10.2.1972)

Изучение метрических особенностей делящихся клеток нервной ткани эмбриона на разных стадиях развития имеет большое значение для установления специфических морфологических критериев, характерных для нервных клеток, претерпевающих митоз.

Имеется довольно обширная литература, посвященная морфологической характеристике клеток, находящихся в состоянии деления. Однако в доступной нам литературе мы не нашли работ, содержащих данные о метрических способностях делящихся клеток вообще и нервных в частности.

Целью настоящего исследования является установление показателей площадей делящихся клеток нервной ткани куриных эмбрионов возраста от 3 до 18 суток включительно. Материал брался с 24-часовым интервалом. После фиксации в жидкости Карнуга приготавливались парафиновые срезы толщиной 3—5 μ , окрашивающиеся гематоксилином-эозином и железным гематоксилином по Гейденгайну. Производилось определение площадей клеток нервной ткани, находящихся в различных стадиях митоза. Измерения проводились с помощью микросетки, вложенной в окуляр микроскопа.

Результаты исследования показали, что в нервной ткани куриных эмбрионов всех возрастов по показателям площадей можно выделить девять классов клеток, находящихся в разных стадиях митоза.

I класс составляют клетки площадью 23—25 μ^2 , II класс — 26—29 μ^2 , III класс — 30—33 μ^2 , IV класс — 35—40 μ^2 , V класс — 41—50 μ^2 , VI класс — 51—60 μ^2 , VII класс — 61—70 μ^2 , VIII класс — 71—80 μ^2 , IX класс — 81—90 μ^2 .

Результаты исследования показали также, что в нервной ткани куриного эмбриона разных возрастов клетки, находящиеся в каждой фазе митоза, характеризуются определенными показателями площадей.

Клетки, находящиеся в стадии профазы, характеризуются площадями, составляющими IV, V, VI, VII, VIII классы. При этом все названные классы клеток встречаются в нервной ткани эмбрионов в возрасте от 3 до 6 суток включительно. На 4-е сутки VII и VIII классы составляют 70% профазных клеток нервной ткани. С 5-х суток происходит резкое снижение количества профазных клеток VII и VIII классов, составляющих в названный срок лишь 23%; на 6-е сутки названные классы клеток составляют 16% всех профазных клеток. На 7-е сутки инкубации клетки VIII класса отсутствуют и имеются клетки VII класса, составляющие лишь 10% всех профазных клеток нервной ткани. С 8-х суток инкубации до возраста 18 суток включительно в нервной ткани



эмбриона встречаются профазные клетки, составляющие IV, V, VI классы. В возрасте 3 суток количество клеток VII и VIII классов, находящихся в состоянии профазы, составляют 90% всех профазных клеток нервной ткани. С 11-х суток инкубации резко снижается число профазных клеток и VI класса, составляющих 10% (в названном сроке 90% составляют клетки IV и V классов). Почти то же самое выявляется на 12 и 13-е сутки инкубации, однако с возраста 14 суток подавляющее большинство (77%) составляют профазные клетки IV класса, которые нарастают в количестве с возрастом, достигая 94% на 18-е сутки инкубации.

Клетки, находящиеся в стадии метафазы, характеризуются площадями, составляющими V, VI, VII, VIII классы. При этом все названные классы клеток встречаются в нервной ткани эмбриона в возрасте от 3 до 7 суток включительно. На указанном фоне количество клеток, находящихся в стадии метафазы, представленных VII и VIII классами, составляют 90% всех метафазных клеток нервной ткани эмбрионов возраста 3 суток. К 4-м суткам названные клетки составляют 80% метафазных клеток нервной ткани. С 5-х суток происходит резкое снижение количества метафазных клеток VII и VIII классов, составляющих в названный срок 32%. На 6-е сутки инкубации эти клетки составляют 19%, а на 7-е сутки — 8%. На 8-е сутки инкубации клетки VII и VIII классов отсутствуют. С 9-х суток инкубации резко снижается число метафазных клеток VI класса (35%). Клетки V класса в названном сроке составляют 65% всех метафазных клеток. В последующие сроки инкубации количество метафазных клеток VI класса прогрессивно снижается и к концу 18-х суток составляет 1% всех метафазных клеток. С указанным снижением количества метафазных клеток VI, VII, VIII классов с 9-х суток инкубации происходит параллельное увеличение количества метафазных клеток V класса, составляющих к 17—18-м суткам 99% всех метафазных клеток.

Клетки, находящиеся в стадии анафазы, характеризуются площадями, составляющими V, VI, VII, VIII, IX классы. При этом все названные клетки встречаются в нервной ткани эмбрионов в возрасте от 3 до 5 суток включительно. На указанном фоне количество клеток VII, VIII, IX классов, находящихся в стадии анафазы, составляет 85% всех анафазных клеток нервной ткани эмбрионов возраста 3 суток. На 4-е сутки названные клетки составляют 80% всех анафазных клеток нервной ткани. На 6 и 7-е сутки анафазные клетки IX класса отсутствуют и имеются клетки VII и VIII классов, составляющие на 6-е сутки 21%, а на 7-е сутки — 9% всех анафазных клеток. С 11-х суток резко снижается число анафазных клеток VI класса, 80% составляют клетки V класса. В последующие сроки развития эмбрионов, т. е. на 12, 13, 14, 15, 16 сутки инкубации количество клеток VI класса продолжает снижаться и к 17—18-м суткам составляет 1%.

Клетки, находящиеся в стадии телофазы, характеризуются площадями, представляющими I, II, III, IV, V классы. При этом все названные классы клеток встречаются в нервной ткани эмбрионов в возрасте от 3 до 6 суток. На указанном фоне в возрасте 3 суток эмбриональной жизни количество клеток, находящихся в стадии телофазы, представлено IV и V классами, составляющими 86% всех телофазных клеток. На 4-е сутки названные клетки составляют 83% всех телофазных клеток нервной ткани. С 5-х суток происходит резкое снижение телофазных клеток IV и V классов, составляющих в названный срок 46%, на 6-е сутки — 32%. На 7-е сутки клетки V класса отсутствуют и имеются лишь клетки IV класса, составляющие всего 20% всех телофазных клеток.

нервной ткани. С 11-х суток инкубации резко снижается число телофазных клеток II и III классов и к 18-м суткам инкубации они составляют 12% всех телофазных клеток.

Исходя из данных [1, 2] о том, что делящиеся нервные клетки обладают большими размерами, чем клетки нервной ткани другого гистогенеза, претерпевающие митоз, следует полагать, что профазные, метафазные, анафазные клетки VII ($61-70 \mu^2$), VIII ($71-80 \mu^2$), IX ($81-90 \mu^2$) классов и телофазные клетки IV ($35-40 \mu^2$) и V ($41-50 \mu^2$) классов являются нервными клетками. Данные о резком уменьшении профазных, метафазных, анафазных клеток VII, VIII, IX классов у куриных эмбрионов с возраста 8 дней сходны с данными [2] о резком уменьшении клеток с плоидностью три и выше у этих эмбрионов с возраста 8 дней, показывая, что в процессе развития куриного эмбриона интенсивность размножения нервных клеток резко уменьшается с возраста 8 дней.

Тбилисский государственный
медицинский институт

(Поступило 11.2.1972)

ციტოლოგია

თ. ხარბეიშვილი

ნერვული ჩსოვილის მიზოზური უჯრედების ზოგიერთი მეტრიული
თავისებურებები ჩათვალის ებარიონის განვითარების სეგადასევა
ეტაპზე

რეზუმე

ქათმის ემბრიონის განვითარების პროცესში ვლინდება IV ($35-40 \mu^2$), V ($41-50 \mu^2$), VI ($51-60 \mu^2$), VII ($61-70 \mu^2$), VIII ($71-80 \mu^2$), IX ($81-90 \mu^2$) კლასების პროფაზური მეტაფაზური, ანაფაზური და I ($23-25 \mu^2$), II ($26-29 \mu^2$), III ($30-33 \mu^2$), IV ($35-40 \mu^2$), V ($41-50 \mu^2$) კლასების ტელოფაზური უჯრედები. აღნიშნული იძლევა საფუძველს ვითიქროთ, რომ VII, VIII, IX კლასების პროფაზური, მეტაფაზური, ანაფაზური და IV, V კლასების ტელოფაზური უჯრედები წარმოადგენს გაყოფად ნერვულ უჯრედებს. ემბრიონული განვითარების მე-8 ღლეზე მკვეთრად მცირდება VII, VIII, IX კლასების პროფაზური, მეტაფაზური, ანაფაზური და IV, V კლასების პროფაზური, მეტაფაზური, ანაფაზური და IV, V კლასების ტელოფაზური უჯრედების რიცხვი.

CYTOTOLOGY

O. M. KHARDZEISHVILI

SOME METRIC PECULIARITIES OF MITOTIC CELLS OF THE NERVOUS TISSUE IN VARIOUS STAGES OF HEN EMBRYO DEVELOPMENT

Summary

Prophasic, metaphasic and anaphasic cells of the IV ($35-40 \mu^2$), V ($41-50 \mu^2$), VI ($51-60 \mu^2$), VII ($61-70 \mu^2$), VIII ($71-80 \mu^2$) and IX ($81-90 \mu^2$) classes and telophasic cells of the I ($23-25 \mu^2$), II ($26-29 \mu^2$), III ($30-33 \mu^2$), IV ($35-40 \mu^2$) and V ($41-50 \mu^2$) classes are identifiable in the course of hen embryo development. There is ground to assume that



prophasic, metaphasic and anaphasic cells of the VII, VIII, IX classes and telophasic cells of the IV and V classes are dividing nervous cells. The number of prophasic, metaphasic and anaphasic cells of the VII, VIII and IX classes and of telophasic cells of the IV, V classes is drastically reduced on the 8th day of embryo development.

ლიტერატურა — REFERENCES

1. Я. М. Соскин. Архив анатомии, гистологии и эмбриологии, т. XLIX, № 7, 1965, 75—82.
2. О. М. Хардзеишвили. Сообщения АН ГССР, 65, № 3, 1972, 717—720.

ЭКСПЕРИМЕНТАЛЬНАЯ МОРФОЛОГИЯ

Л. И. ДЗАГНИДЗЕ, П. Н. КРАСНЯНСКАЯ

ИЗУЧЕНИЕ ВОЗМОЖНЫХ КАНЦЕРОГЕННЫХ И
КОКАНЦЕРОГЕННЫХ СВОЙСТВ ПЕРЕЖАРЕННЫХ МАСЕЛ

(Представлено академиком И. Я. Татишвили 6.12.1971)

В литературе имеются указания об образовании в нагретых жирах веществ, обладающих токсическим действием [1, 2] или способных вызвать раздражение пищеварительного тракта [3]. Отмечалось также канцерогенное и коканцерогенное действие жиров, подвергнутых воздействию высокой температуры (пережарка,копчение и т. д.) [4—6].

В большинстве проводившихся исследований температура нагревания масел достигала 300° и выше, т. е. была гораздо выше, чем наблюдающаяся в бытовых и промышленных условиях их обработки (180—200°).

Исследования жиров, использовавшихся для жарки в домашних условиях или в условиях, близких к ним, при нагревании до 160—180° в литературе почти не отражены.

Целью настоящего исследования является изучение возможной канцерогенной или коканцерогенной роли наиболее часто употребляемых в бытовых условиях масел (сливочного и подсолнечного), нагреваемых до 160—180° в течение 30—40 минут.

Опыты проводились в двух сериях на 390 белых беспородных крысах в возрасте от 3 до 5 месяцев. Животным I серии внутримышечно вводились 6 раз натуральные и пережаренные масла в дозе 2 мл с 10-дневным интервалом как в отдельности, так и на фоне однократного введения 1 мг 3,4-бензпирена (0,5% бензольный раствор), животным II серии — 8 раз пережаренные масла в дозе 1 мл с 10-дневным интервалом как в отдельности, так и на фоне однократного введения 0,5 мг 3,4-бензпирена (0,2% бензольный раствор).

Животные I серии (160 крыс) были разделены на девять групп. Крысам I группы внутримышечно однократно был введен 1 мг 3,4-бензпирена, II — натуральное подсолнечное масло, III — перегретое подсолнечное масло, IV — натуральное сливочное масло, V — перегретое сливочное масло, VI — канцероген и перегретое подсолнечное масло, VII — канцероген и перегретое сливочное масло, VIII — канцероген и натуральное сливочное масло, IX — канцероген и натуральное подсолнечное масло. Таким образом, каждое животное получило всего 12 мл пережаренного масла.

Животные II серии (230 крыс) были разделены на пять групп. Крысам I группы внутримышечно однократно было введено 0,5 мг 3,4-бензпирена, II — перегретое подсолнечное масло, III — перегретое сливочное масло, IV — канцероген и перегретое подсолнечное масло, V — канцероген и перегретое сливочное масло. Каждое животное получило всего 8 мл пережаренного масла. Продолжительность эксперимента 2 года.

В результате опытов в I группе I серии из 15 выживших животных опухоли были обнаружены у 2, во II — из 14 ни у одного, в III из 15



у 5, в IV — из 13 ни у одного; в V — из 17 — у 3, в VI — из 11 — у 2, в VII — из 10 у 5; в VIII — из 10 у 2; в IX — из 11 ни у одного; в I группе II серии из 30 животных ни у одного, во II — из 35 у 2, в III — из 43 у 7, в IV — из 31 у 15, в V — из 38 у 27.

Как видно из результатов опытов I серии, к моменту появления первой опухоли (через 4 месяца) выжило 116 крыс, из них опухоли были обнаружены у 19. Во II серии из 177 выживших животных опухоли были обнаружены у 51. Основной процент опухолей приходится на животных, которым вводились пережаренные масла на фоне однократного введения канцерогена. Наибольшее число опухолей (в обеих сериях) отмечено при введении канцерогена и пережаренного сливочного масла, наименьшее — при введении малых доз канцерогена. Развитие опухолей не отмечалось в группах животных, получавших натуральные масла.

Латентный период опухолеобразования в группах животных с однократным введением канцерогена, пережаренного подсолнечного масла и пережаренного сливочного масла почти одинаков (3—4 месяца).

При изучении морфологии полученных новообразований было обнаружено, что по своей структуре полученные опухоли являлись рабдомиобластомами, полиморфонклеточными и веретеноклеточными саркомами, гистологическое строение которых не зависело от природы индуцирующих агентов.

Известно, что вредность действия перегретых масел усугубляется тем, что в обжариваемых продуктах адсорбируются продукты окисления. По методике, предложенной М. Я. Бренц [7], мы определяли содержание продуктов окисления жира, которое для пережаренного подсолнечного масла составляло 1,84%, для пережаренного сливочного масла — 1,53%; для натурального сливочного масла — 1,29% и для натурального подсолнечного масла — 0,6%.

Из литературы данных (М. Я. Вышеславова и др.) видно, что степень канцерогенности масла усиливается с увеличением степени окисления. По данным, полученным в лаборатории биофизики Института онкологии им. Н. Н. Петрова, содержание 3,4-бензпирена в наших пробах пережаренных (подсолнечного и сливочного) масел составило 1 мкг/кг.

На основании полученных результатов можно заключить, что пережаренные масла обладают концерогенными и коканцерогенными свойствами. Ввиду того что испытанные нами перегретые масла содержат мало 3,4-бензпирена (1 мкг/кг) и такая доза редко вызывает развитие опухоли при подкожном введении, мы склонны думать, что в наших опытах развитие опухоли было обусловлено повышением образования вторичных термостабильных продуктов окисления жира (о чем свидетельствует повышение процента окисления пережаренных масел).

Институт онкологии

МЗ ГССР

(Поступило 12.1.1972)

0532040000657000 0000000000000000

ლ. բաթոნი, პ. գալასიანეგაძია

გადამჯვარი ცხილების კანცეროგენული და კოკანცეროგენული

თვისებების შესწავლის საკითხისათვის

რეზიუმე

საყოფაცხოვრებო პირობებში ხშირად ხმარებული ცხიმების (კარაქი და შესუმზირას ზეთი) კანცეროგენული და კოკანცეროგენული თვისებების შეს-

წავლის მიზნით 390 უჯაშო თეთრ ვირთავებს კუნთში ვუკეთებდით ნატურალურ და გადამწვარ ცხიმებს როგორც ცალკე, ისე 3,4-ბენზპირენის ერთჯერადი დოზის ფონზე.

ცოცხლად დარჩენილი 293 ვირთავებან სიმსივნე განუვითარდა 70-ს, ძირითადად იმ ცხრველებს, რომელთაც შეკეთდებოდა გადამწვარი ქარაჭი ქანკეროგენის ერთჯერად დოზასთან ერთად. სიმსივნეები თავისი შენებით წარმოადგენებ რაბდომიობლასტომებს (ბოლიმორტფულუფრელოვან და თითისტარუჯრელოვან სარკომებს). ამგვარად, აღნიშნულ პირობებში (160—180-ზე 30—40' განმავლობაში) გადამწვარ ცხიმებს აქვს კანკეროგენული და კოკანკეროგენული თვისებები, რაც არაა დაკავშირებული მასში არსებული 3,4 ბენზპირენის არსებობასთან (ამ შემთხვევაში იგი შეაღენდა 1γ/კგ-ზე). ეს ისეთი მცირე დოზაა, რაც იშვითად იძლევა სიმსივნის განვითარებას კუნთებში შეყვანის დროს, საფიქრებელია, რომ ამ შემთხვევაში განვითარებული სიმსივნეები განპირობებულია ცხიმების დაუანგვის მეორადი თერმოსტაბილური პროდუქტებით.

EXPERIMENTAL MORPHOLOGY

L. J. DZAGNIDZE, P. N. KRASNYANSKAYA

A STUDY OF POSSIBLE CANCEROGENIC AND COCANCEROGENIC PROPERTIES OF OVERFRIED OILS

Summary

In order to study cancerogenic and cocancerogenic properties of oil and butter, 390 common albino rats received intramuscular injections of overfried and natural oil and butter, both separately and in conjunction with single injections of 3,4-benz-pyrene. Of the surviving 293 rats 70 animals developed tumours. These were mainly those rats which had received both overfried oil and butter together with single injections of the cancer producing agent. The structure of the tumours was that of rhabdomyoblastomas (polymorphous cellular and spindle cellular sarcomas). It may thus be concluded that overfried oil and butter have cancerogenic and cocancerogenic properties.

ლიტერატურა — ЛИТЕРАТУРА — REFERENCES

1. H. P. Morris, C. D. Larsen, J. W. Lippincott. J. Nat. Cancer Inst., 4, 1943.
2. E. C. Parkins, F. A. Kummerow. J. Nutr., 68, 1959, 101.
3. A. W. Kay. Gastroenterologia, v. 76, 1950—1951, 97.
4. Н. Д. Горелова, Д. П. Дикун. Вопросы онкологии, 4, 1958, 398—405.
5. М. Я. Вышеславова. Вопросы питания, 4, 1966, 88—93.
6. А. Оррис, Б. Л. Вандуурен, Н. Нельсон. Труды 8 Международного противоракового конгресса, т. 2, 1963, 305.
7. М. Я. Бренц. Вопросы питания, 1, 1969, 70—73.

ЭКСПЕРИМЕНТАЛЬНАЯ МОРФОЛОГИЯ

Зиг. А. ЗУРАБАШВИЛИ, Л. А. ЭЛИАВА

ВЛИЯНИЕ ПЛАЗМЫ КРОВИ БОЛЬНЫХ ШИЗОФРЕНИЕЙ
НА ГЕМОКУЛЬТУРУ

(Представлено академиком А. Д. Зурабашвили 1.2.1972)

Методом культуры ткани изучены некоторые особенности действия плазмы крови больных шизофренией на тканевую культуру лейкоцитов. Параллельно проведены контрольные опыты, исследована плазма крови здоровых людей (доноров). В одних случаях плазма крови больного или донора прибавлялась к донорской лейкоцитарной пленке, в других случаях плазма больного или донора прибавлялась к лейкоцитарной пленке больного шизофренией. С целью изучения действия плазмы крови больных шизофренией на гемокульттуру в условиях применения некоторых психотропных веществ к донорской лейкоцитарной пленке прибавлялись растворы аминазина и плазма крови больного шизофренией или донора.

Культура ставилась под покровным стеклом по методу Максимова и во флаконах Карреля. Всего были поставлены 24 серии опытов. В каждой серии гемокульттура исследовалась на 1, 2, 4, 6, 8, 10 и 12-е сутки. Длительность жизни культур не превышала 1—1,5 недели. Изучение культуры производилось на живых и фиксированных тотальных препаратах. Материал окрашивался по методу Крюкова—Папенгейма, проводились гистохимические реакции на ДНК, РНК, гликоген и липиды.

Результаты исследования выявляют определенную разницу между действиями плазмы крови больных шизофренией и доноров. Плазма крови больных шизофренией обнаруживает значительно более сильное действие, по сравнению с плазмой донора; отмеченное явление выражается в изменении интенсивности «зоны роста». «Зона роста» приобретает на «патологическом» материале пилообразный характер с далеко идущими зубцами.

Большие различия обнаруживаются в морфологической структуре эксплантированных клеток при добавлении плазмы крови больных шизофренией и донорской плазмы. Если к 4-му дню эксплантации культуры на «патологическом» материале количество нейтрофилов составляет 10%, то к 8-му оно снижается до 6%. Клеточные элементы (нейтрофилы) после прибавления плазмы больного шизофренией уже со 2-го дня претерпевают резко выраженные дегенеративные изменения, проявляющиеся в виде сильнейшего набухания и вакуолизации цитоплазмы перинуклеарного отека, набухания ядра, его фрагментации, эктопии и т. д. Часто встречаются нейтрофильные клетки, в которых на общем фоне интенсивно набухшей цитоплазмы все тело клетки представлено в виде общей «гигантской» вакуоли, а цитоплазма представляет собой лишь маленькие мостики, окружающие вакуолии. Выброс ядер из тела клетки приводит к появлению «клеток-теней», число «клеток-теней»



растет с днями. На одном и том же препарате можно видеть различные стадии дегенерации нейтрофилов.

Небезынтересно отметить, что в нейтрофильных клетках обнаруживается перераспределение хроматина. Интенсивность окраски хроматина и его крупноглыбчатость обычно отмечается на «патологическом» материале лишь с той стороны ядра, которая стоит ближе к краю цитоплазмы, т. е. в той части ядра, которая первой должна претерпеть эктопию. Другая часть ядра, обращенная вовнутрь цитоплазмы, более светлая, хроматин здесь мелкоглыбчатый (крупноглыбчатых зерен крайне мало) и распределен по ядру довольно равномерно.

При изучении донорской плазмы в нейтрофилах отсутствует перинуклеарный отек, хроматин в основном мелкоглыбчатый и распределен довольно равномерно; «клетки-тени» на донорском материале не обнаруживаются.

При прибавлении плазмы больного уже на 2-е сутки после посева материала отмечается 3—4% «клеток-теней», на 4-е сутки — 25%, а на 6-е — более 50% «клеток-теней».

Изучение лимфоцитов показало, что определенная часть их не трансформируется, а постепенно дегенерирует и погибает. Если на 2-е сутки культивирования отмечается 65% лимфоцитов, то на 4-е сутки количество их снижается до 40%, а на 6-е — до 30%. При этом часть лимфоцитов превращается в полиблэсты-макрофаги и развивающиеся из них клеточные элементы. На 2-е сутки отмечается до 3% культуры макрофагов, на 4-е сутки — 6%, а на 6-е — до 10%. Часть лимфоцитов трансформируется в пролимфоциты, лимфобласти, появляются также лимфоидно-ретикулярные клетки с четко выраженной фрагментацией ядра; количество последних резко возрастает к 5—6-м суткам экспланации культуры (2-е сутки — 3%, 6-е сутки — 10%).

На препаратах обнаруживаются проплазмобласти с формами, переходными в типичные плазматические клетки, а также миелобласти, промиелоциты и т. д. Отмечаются единичные митозы.

Изменение морфологической структуры клеток белой крови (при действии плазмы крови больных шизофренией), превращение в менее дифференцированные элементы говорит об изменении биохимических процессов, происходящих в форменных элементах.

Повышение гликогена в нейтрофилах на 2-е сутки на «патологическом» материале и на 6-е сутки на донорском указывает на изменение гликогенового обмена в сторону его снижения. Резкое накопление гликогена в «патологических» культурах должно свидетельствовать о снижении диссимиляторных процессов, что согласуется с данными А. Б. Чомского (1967), М. Е. Вартаняна (1969) и др.

Увеличение гликогена должно быть связано одновременно с изменением нормальной белковой структуры. Указанное положение особенно важно, когда речь идет об интоксикации.

Найдено, что средние числовые значения ГПС (гистохимический показатель содержания) в нейтрофилах в лимфоцитах (особенно в нейтрофилах) нуклеиновых кислот возрастают ко 2-м суткам экспланации культуры на «патологическом» материале и к 6-м — на донорском. Далее отмечается снижение показателей ГПС, причем на «патологическом» материале оно интенсивнее, чем на донорском. При окраске на ДНК на «патологическом» материале зерна хроматина крупные и распределены в основном по краю ядра, зерна ДНК единичные. На донорском материале общее количество зерен ДНК больше, чем на «патологическом», однако зерна ДНК здесь мелкие (крупных зерен почти нет) и распределены по ядру довольно равномерно.

Изучение материала на РНК (лимфоциты) показало, что на «патологическом» материале зерна РНК крупные и распределены неравномерно. На донорском материале отмечается мелкозернистость зерен РНК.

На основании собственных наблюдений и данных литературы мы приходим к выводу, что вместе со снижением обмена нуклеиновых кислот снижается и энергия, необходимая для построения белковых молекул.

На «патологическом» материале наблюдается резкое увеличение количества липидов, особенно в нейтрофилах. Лимфоциты подвергаются жировому перерождению позже, чем нейтрофилы. Зафиксированы первые признаки липидного перерождения лейкоцитов на 6—7-е сутки после прибавления плазмы донора и на 3—4-е сутки после прибавления плазмы больных шизофренией. Как в нейтрофилах, так и лимфоцитах липидные гранулы обнаружены нами лишь в цитоплазме, вакуоли липидов не содержат.

Интенсивность «токсического» действия в случаях, когда плазма крови донора прибавляется к лейкоцитарной пленке больного шизофренией, приравнивается к таковой в случаях, когда плазма крови больного шизофренией прибавляется к лейкоцитарной пленке донора.

Прибавление плазмы крови больного шизофренией к лейкоцитарной пленке больного обнаруживает несколько менее интенсивную «токсическую» реакцию, по сравнению с действием плазмы крови больного шизофренией, прибавленной к донорской лейкоцитарной пленке.

Изучение действия аминазина в культуре ткани показало, что в случаях прибавления препарата к плазме крови больных шизофренией имеет место перераспределение зерен ДНК, гликогена и изменение морфологической структуры клетки. Зерна гликогена становятся крупными и покрывают все тело нейтрофильной клетки. Со стороны нуклеинового обмена (ДНК) имеет место резкое укрупнение зерен хроматина, количество их больше, чем после прибавления плазмы крови больного шизофренией, что указывает на резкое снижение нуклеинового обмена, при этом зерна хроматина распределены более равномерно по ядру нейтрофильной клетки.

Институт психиатрии
им. М. М. Асатиани
МЗ ГССР

(Поступило 4.2.1972)

ପ୍ରକାଶନକାରୀ ମନ୍ତ୍ରମଳୀ

၁၀၃ နုအမြတ်သာဆောင် ၂၇ ရက်စွဲ၁၉၈၅

ଶର୍ଦ୍ଦିନେ କାହାର କାହାର

డ్రెస్‌ఎ

ქსოვილის კულტურის მეთოდით შესწავლილია შიზოფრენიით დაავადებულთა სისხლის პლაზმის მოქმედება ლეიკოციტების კულტურაზე. შიზოფრენიით დაავადებულთა სისხლის პლაზმა ლეიკოციტების უჯრედში ქსოვილის კულტურის პირობებში იწვევს გარკვეულ ცელილებებს. ამ დროს აღვილი აქვს ციტოპლაზმის გაუზოლიზაციას, ბირთვის ფრაგმენტაციას და ექ-

ტოპიას, ჩნდება „უჯრედი-ჩრდილები“. იმატებს პოლისახარიდების ლიპიდების და ნუკლეიინის მევარათა ჰისტოქიმიურ შენაერთა მაჩვენებელი. აღნიშნული ცვლილებები უფრო ნათლადაა წარმოდგენილი ქსოვილის კულტურის გესპლანტაციის მეორე დღეს.

 EXPERIMENTAL MORPHOLOGY

Zig. A. ZURABASHVILI, L. A. ELIAVA

THE ACTION OF THE BLOOD PLASMA OF SCHIZOPHRENIC PATIENTS ON HEMOCULTURE

Summary

The blood plasma of schizophrenic patients provokes definite changes in the cells of white blood in conditions of tissue culture. Cytoplasm vacuolization, nuclear fragmentation and ectopia and the appearance of "cell-shadows" take place. The HIC of nucleic acids, polysaccharides and lipids increases. These changes most—pronounced in neutrophilic cells—attain their highest level within twenty-four hours of the tissue explanation.

ЭКСПЕРИМЕНТАЛЬНАЯ МЕДИЦИНА

И. Л. ЛАЗАРИШВИЛИ, Э. Г. ВЕЙНБЕРГ, Р. Ш. ХУНТУА

НАРКОЗ И ВЕДЕНИЕ ПОСЛЕНАРКОЗНОГО ПЕРИОДА
ПРИ ТОТАЛЬНОЙ АДРЕНАЛЭКТОМИИ

(Представлено академиком И. К. Пипиа 19.1.1972)

Известное еще с давних пор положение о неизбежной гибели организма в случае удаления надпочечных желез казалось непреодолимым препятствием на пути развития хирургии надпочечников. Успехи в этом наиболее молодом разделе хирургии желез внутренней секреции самым тесным образом связаны с достижениями биохимии стероидных гормонов, ферментологии, витаминологии. Только с появлением синтетических препаратов кортикоидного ряда стало возможным поддержание жизнедеятельности организма, лишенного адреналовой ткани, что и послужило мощным стимулом к разработке хирургического лечения различных заболеваний, связанных с первичной или вторичной гипертрофией надпочечников.

Внедрение в клиническую практику достижений современной анестезиологии и реаниматологии еще более способствовало развитию хирургии надпочечников, в значительной мере снижая операционный риск и предупреждая тяжелые, а подчас и смертельные осложнения, развивающиеся во время операции и в послеоперационном периоде.

В основу настоящего сообщения положены наблюдения над 14 больными женского пола (в возрасте от 18 до 47 лет), находившимися на лечении в отделении клинической эндокринологии НИИ физиологии и патологии женщины им. И. Ф. Жордания.

Тактика анестезиолога в хирургии надпочечников не может быть понята без хотя бы краткого изложения клиники заболевания.

Полиморфная симптоматика болезни Иценко—Кушинга может быть сведена к различным обменным и трофическим нарушениям, поражениям сердечно-сосудистой, опорно-двигательной и нервной систем. Весь этот симптомокомплекс в конечном счете связан с гиперпродукцией гормонов коры надпочечников с преобладанием глюкокортикоидов. Высокий уровень экскреции с мочой 17-оксикортикоидов был характерен и для наших больных.

Внешний вид больных довольно характерен. Они отличаются выраженным ожирением с типичным перераспределением подкожной жировой клетчатки. Почти у всех больных отмечается недостаточность функции внешнего дыхания, связанная, по всей вероятности, с мышечной слабостью (являющейся одним из основных признаков заболевания), в частности со слабостью дыхательной мускулатуры. Об этом свидетельствует и часто наблюдавшаяся у этих больных гипокалиемия. Гипертония является одной из причин, способствующих поражениям сердечной мышцы. Если к этому добавить влияние на сердечную мышцу высокого уровня глюкокортикоидов, которые могут вызвать многочисленные точечные некрозы миокарда, и гипокалиемию, также приводящую к некрозам сердечной мышцы, то станут понятными и основные



причины значительных сердечно-сосудистых расстройств у этих больных. Наличие подобных расстройств подтверждается данными ЭКГ: у 50% больных обнаружены более или менее выраженные изменения в основной конечной части желудочного комплекса. Явления стероидного диабета имели место у 4 больных, у некоторых была снижена толерантность к глюкозе.

В настоящее время большинство хирургов выскаживается в пользу полного удаления надпочечников. Мы являемся принципиальными сторонниками двухмоментной адреналэктомии. Все наши больные подверглись тотальной адреналэктомии, за исключением одной, у которой операция ограничилась удалением одного надпочечника из-за ее отказа от второй операции. В этом случае эффекта от операции мы не получили. У всех остальных больных, перенесших тотальную адреналэктомию, имели место нормализация артериального давления, веса, сердечно-сосудистых расстройств, восстановление менструальной функции, а у женщин, живших половой жизнью, — к беременности и родам.

Выраженные обменные и висцеропатические нарушения, характерные для этих больных, чрезмерная тучность, явления остеопороза со склонностью к патологическим переломам позвоночника, нарушения основных физиологических параметров уже до операции создают чрезвычайно неблагоприятный фон для проведения наркоза. Одновременно с этим имеется благодатная почва для развития тяжелых послеоперационных осложнений, обусловленных самим заболеванием, операционной травмой и развивающимся после операции гипокорттизмом. Все сказанное выше настоятельно диктует необходимость в выборе наиболее рациональной предоперационной подготовки, индукции и обезболивания, а также профилактики и лечения послеоперационных осложнений. Совершенно очевидно, что предоперационная подготовка и послеоперационное ведение этих больных отличается при выполнении первого и второго моментов операции.

Предоперационная подготовка наших больных включала: 1) нормализацию белкового обмена введением анаболиков (нерабол или нераболил), которые одновременно способствовали приостановке остеопороза (в литературе описаны случаи перелома позвоночника в положении на боку в связи с остеопорозом), 2) борьбу с гноеродной инфекцией (карбункулез, фурункулез), 3) компенсацию стероидного диабета инсулином или сульфаниламидными препаратами. 4) нормализацию электролитного баланса.

Премедикация: необходимость максимального щажения психики больных на всех этапах подготовки их к операции не требует разъяснений. В качестве седативных могут применяться транквилизаторы. Премедикация состоит в назначении одного из анальгетиков (промедол). Для усиления седативного эффекта анальгетика показаны небольшие дозы антигистаминных веществ (пипольфен). Наркоз начинается с внутривенного введения гексенала 1% концентрации в дозе 0,2—0,3. Индукцию и наркоз у этих больных выгодно проводить на фоне легкой гипокапнии и предельного насыщения крови кислородом. Перед инъекцией релаксанта и интубацией следует непрерывно насыщать кровь кислородом, а после куаризации — быстро переключаться на гипервентиляцию легких. Выбор наркотика для этих больных весьма ограничен. Большинство исследователей указывает, что все наркотизирующие вещества в большей или меньшей степени повышают уровень 17-ОКС в плазме, однако наиболее активно в этом отношении действует эфир. Под влиянием эфирного наркоза активность коры надпочечников возрастает в 2—3 раза.

По мнению П. Н. Дьяченко, В. М. Виноградова и др., циклопропан по действию на гипофизарно-надпочечниковую систему близок к эфиру, флюотан влияет на нее в меньшей степени. Минимальное действие оказывает закись азота. Более того, авторы отмечают, что наркоз закисью азота с кислородом снижает функциональную активность коры надпочечников, что проявляется в уменьшении секреции кортикоэстриоидов. Таким образом, все агенты, повышающие тонус симпато-адреналовой системы (эфир, циклопропан, хлорэтил), а также спинномозговая анестезия расцениваются как неподходящие. Следовательно, наиболее безопасным агентом для поддержания наркоза считается закись азота в сочетании с тотальной куарализацией. Не рекомендуется пользоваться тубокуарином, который освобождает гистамин в тканях и таким образом усиливает секрецию надпочечников.

Наиболее тревожным для анестезиолога симптомом является гипертензия, которая послеэкстирпации второго надпочечника может смениться внезапным снижением артериального давления. Поэтому необходима длительная трансфузия, с тем чтобы в любое время через ту же систему можно было ввести гидрокортизон. Но так как введение больших количеств физиологического раствора иногда приводит к усилению потерь калия и задержке натрия, необходимо строго регулировать число капель.

Важное значение мы придаем положению больного на операционном столе в связи с наличием остеопороза и нарушения функции внешнего дыхания; последнее после интубации и перевода на искусственную вентиляцию сводится к минимуму. Следует также отметить затрудненную интубацию из-за чрезмерной тучности и короткой шеи у этих больных. Слабость дыхательного аппарата из-за миоатрофии следует также учесть при экстубации. При втором моменте операции утром до операции вводилось 50 мг гидрокортизона, а во время операции — 50—75 мг того же препарата внутривенно. Затем, в послеоперационном периоде вводился гидрокортизон через каждые 6 часов по 50 мг. В течение 6—7 дней постепенно уменьшалась доза препарата, с тем, чтобы к концу недели больных можно было перевести на пероральный прием кортикоэстриоидов. Гипокортицизм проявлялся только в падении артериального давления, и прибавления дозы гидрокортизона было достаточно для ликвидации этого осложнения. Быстрое повышение давления крови после его введения являлось дифференциально-диагностическим тестом для отрицания наличия кровотечения у оперированного.

Из осложнений описаны эмболии легочной артерии, панкреатиты, кровотечения в послеоперационном периоде. Мы потеряли одну большую, у которой на 6-й день после операции развились явления эмболии легочной артерии.

Таким образом, эндотрахеальный наркоз закисью азота с кислородом на фоне тотальной куарализации релаксантами короткого действия, ввиду наименьшей токсичности наркотика, отсутствия сахара-повышающего эффекта и угнетающего действия на печень и сердце, является методом выбора при оперативных вмешательствах по поводу болезни Иценко—Кушинга.

Тбилисский государственный
медицинский институт

(Поступило 20.1.1972)



୦. ଲୋକାନନ୍ଦପାତ୍ର, ମ. ବୀଜପୁରାଖିର, ର. କୁଣ୍ଡଳା

କେନ୍ଦ୍ରପାତ୍ରଙ୍କିଳା ଏବଂ ମିଶ୍ର ଶୋଭାଗ୍ରହ ପାରିଷଦଙ୍କ ଶାଖାବଳୀ ତଥାତିଲ୍ଲିଖିତ
ଅଧିକାରୀଙ୍କର ପାଇଁ ଉପରେ ଉପରେ ଉପରେ

ՀԵՂՕԾԵՐ

განხილულია ორმომენტიანი აღრენალექტომია. აღწერილია ნარკოზის მსვლელობის თავისებურება და ოპერაციის შემდგომი ჰერიოლის კომპლექსური მუტრნალობის საკითხები. ყველა ოპერაცია ჩატარებულია აზოტის ქვეუანგის ენდოტრაქეალური ნარკოზით ხანმოკლე ტიპის რელაქსანტების გამოყენებით.

— არჩევით მეთოდად უნდა ჩაითვალოს აზოტის ქვეყანების ნარკოზის გამოყენება ენდოტრაქეიალური წესით, მასი ნაკლებად ტრაქსეკტრობის გამო.

EXPERIMENTAL MEDICINE

I. L. LAZARISHVILI, E. G. VEINBERG, R. Sh. KHUNTUA

A STUDY OF NARCOSIS AND THE POSTNARCOSIS PERIOD IN TOTAL ADRENALECTOMY

Summary

A double moment adrenalectomy is described. The peculiarities of the course of narcosis and postnarcosis period and the problems of a complex treatment are described. All operations have been carried out under endotracheal narcosis by nitrous oxide with the use of relaxants of short action. Endotracheal narcosis by nitrous oxide is to be considered the method of choice due to its lower toxicity.



ИСТОРИЯ ЛИТЕРАТУРЫ

Л. А. ЛОРИЯ

О ПРОБЛЕМАХ ФОРМЫ, ПОСТРОЕНИЯ И ХУДОЖЕСТВЕННОГО ЕДИНСТВА «ПЕСЕН МАЛЬДОРОРА» ЛОТРЕАМОНА

(Представлено членом-корреспондентом Академии Ш. В. Дзидзигури, 2.4.1972)

Проблема определения формы «Песен Мальдорора» представляет значительную сложность в связи с тем, что книга разрывает традиционные нормы литературы и с трудом поддается жанровому и стилистическому определению.

Жанр небольших стихотворений в прозе был распространен во французской литературе 19 в. как проявление «бунта» против традиционных поэтических форм. Бунтарство поэзии Лотреамона вело его к поискам новых средств выражения. Лирическая проза Лотреамона возникла в ходе отрицания романтически напыщенного беллетристического романа для широкой публики и штампов романтической поэзии.

«Песни Мальдорора» предваряют новые нетрадиционные формы поэзии 20 в. В отличие от поэзии предшествующего времени, главным формообразующим моментом является не повторяемость формальных элементов, а в первую очередь страстное выражение негодования поэта против несправедливо устроенного мира, саркастическая ироничность текста, прямые обращения к читателю. Лотреамон достигает впечатления поэтичности за счет внесения в поэму подлинного или мнимого автобиографического элемента, за счет внутренней содержательности и крайней эмоциональной перенасыщенности текста.

Все песни поэмы разбиты на отдельные эпизоды самим автором. Ритмически они не поддаются систематизации. Здесь определенно нет такой ритмической последовательности, как в версэ Клоделя или Сен-Жон Перса. В некоторых эпизодах весьма относительная ритмическая последовательность и элементы строфичности достигаются повторением через приблизительно равные промежутки одних и тех же, иногда варьирующихся, фраз.

Эпизоды поэмы, поскольку они имеют определенный сюжет, можно мыслить и как отдельные поэтические произведения, но с наибольшей полнотой они воспринимаются в контексте всей поэмы. При этом иногда эпизод бывает связан не со стоящими рядом, а с отдаленными от него эпизодами. Отсюда возникает нелинейность, прерывистость поэтической композиции, при которой следующий эпизод не всегда продолжает мысль предыдущего и может намеренно нарушать логическую последовательность предыдущих звеньев, вводить образы, которые должны поразить своей неожиданностью. Намеренная непоследовательность, прием, который часто встречался в романтическом искусстве, доведена Лотреамоном до крайней парадоксальности.

Однако на самом деле цельность разрываемого поэтом эпизода до конца не утрачивается, хотя это может и не быть ясным при беглом чтении поэмы.



В «Песнях Мальдорора» в конечном счете могут быть выделены два типа эпизодов: те, в которых при всем их интенсивном лиризме есть повествовательная линия, — «повествовательные эпизоды» и чисто лирические эпизоды, размышления, саркастические или гневные обращения к читателю.

При всей сложности поэмы, вопреки первому впечатлению, она тщательно продумана. Достижение такой формальной неуловимости композиции может рассматриваться как еще более сложная задача, чем пострение произведения с ясно выраженной композиционной обдуманностью сюжета.

Внутренняя связь «Песен Мальдорора» основана на обусловленном гневным бунтарством поэта стилистическом единстве больше, чем на сюжетной преемственности в обыкновенном смысле слова. Порой связь между песнями может полностью ускользать, ибо понятие преемственности для Лотреамона — это, скорее, известная последовательность в нарушении преемственности. Произведение представляет собой нечто цельное в смысле единства его лиризма.

Общее единство поэмы построено, в частности, на том, что в ней господствует несколько основных тем: борьба с богом, обличие социального зла и прямое утверждение гуманистической морали. Все эти три идеи в большинстве случаев утверждаются через образ главного героя Мальдорора, и этот образ также является фактором, создающим единство всей поэмы.

Образ Мальдорора не представляет собой нечто постоянное с точки зрения классической литературы. Он варьируется и нередко сливаются с лирическим «я» самого автора. В поэме параболически показан путь перехода Мальдорора от наивного отношения к миру к борьбе, от нравственной немоты к поэзии.

Одна из важнейших тем поэмы — это бунт против бога. Лотреамон следует романтической традиции, но превосходит романтических поэтов дерзкой необузданностью своего богооборчества.

Бог «Песен Мальдорора» — продукт самого гневного, может быть, беспрецедентно гневного для большой французской литературы атеистического воображения. Образ бога у Лотреамона вбирает в себя дантовское изображение сатаны и бесов.

В «Песнях Мальдорора» есть характерные эпизоды, в которых недвусмысленно выражена социальная позиция автора, дано прямое обличие буржуазного общества, высказаны гуманистические идеалы и даже выдвинуты на первый план положительные герои.

«Песни Мальдорора» утверждают новые пути в поэзии. Главным формообразующим моментом здесь является сам напряженный лиризм поэта. Таким образом, Лотреамон ведет к поэзии 20 в., в которой нередко различные внешние признаки формы, строгая последовательность рифм, ритм отступают перед организующей ролью единства самой лирической настроенности и содержания.

Лотреамон, хотя и писал задолго до 20 в., дал как бы квинтэссенцию этого направления в поэзии, отказавшись не только от строгой правильности стиха, но и почти от всех признаков поэтической формы как таковой. Можно сказать, что пример Лотреамона не получил буквального подражания в поэзии 20 в. и очень редки случаи, когда целые поэмы написаны прозой, как «Песни Мальдорора». Но значение «Песен Мальдорора» в том, что они в принципе предугадали путь, по которому развивается поэзия 20 в. в ряде стран.

Тбилисский государственный университет

(Поступило 2.4.1972)

ლ. ლორია

ლოტრეამონის „მალდორორის ცოდლერიგის“ ფორმის, აგიგულებისა
და მხატვრული ერთიანობის პროგლემიგის შესახებ

ჩ ე ზ ი უ მ ე

„მალდორორის სიმღერების“ კომპოზიცია საქმაოდ რთულია. მას ვერ მი-
ვაკუთვნებთ პოეზიის რომელსამე განსაზღვრულ სახეობას. ძნელია ამ ნაწარ-
მოებს მოქებნოს უანრული შესატყვევისობა და განმარტება. პოემა ეპიზოდე-
ბადაა დაყოფილი. ჩვენ აქ ვერ ვხედავთ ჩიტმის სისტემატურობას. ამ შემ-
თხვევაში ორგანულ ფორმად გვევლინება არასისტემატურად·რიტმული, მაგ-
რამ ხატოვანებით დატვირთული პოეტური პროზა.

პოემაში ყოველი ეპიზოდი ყოველთვის როდი აგრძელებს წინა ეპიზო-
დის აზრს. ახალ ეპიზოდში ზოგჯერ ვითარდება აღრე, შუა გზაზე მიტოვებუ-
ლი თემა. მიუხედავად ამისა, პოემა ქმნის მთლიანობის, განუწყვეტლობის,
ერთიანობის შთაბეჭდილებას. პოემის მთლიანობას ქმნის პრობლემატიკის ერ-
თიანობა, თემებისა და მოტივების მონაცვლეობა, ავტორისეული ლირიკული
განწყობა. ამიტომ ჩვენ ვთვლით, რომ „მალდორორის სიმღერები“ არის
პოეზიაში ახალი გზების დამკვიდრების დრა.

HISTORY OF LITERATURE

L. A. LORIA

THE PROBLEMS OF FORM, COMPOSITION AND ARTISTIC UNITY
IN *LES CHANTS DE MALDOROR* BY LAUTRÉAMONT

Summary

The poetic form of *Les Chants de Maldoror* is rather complicated. It is difficult to attribute it to a definite literary genre. The poetic techniques of Lautréamont show certain independence and rejection of traditional literary forms. The poem is divided into prosaic themes. At first sight there is no connection between them. But the composition of the poem represents an organic whole, amalgamating themes and plots into a major unified piece of poetry.

გ. გამულია

ფარნავაზიანთა და ბაგრატიონთა სახლთა ურთიერთობა VIII—IX
საუკუნეთა მიჯნაზე

(ჭარმალგინა ყადემიის წევრ-კორესპონდენტის შ. ვესიამ | 16.2.1972)

ლიტერატურაში გამოთქმული მოსაზრების თანახმად, ბაგრატიონთა სახლი ფარნავაზიანთა ქართლის სამეფო დინასტიის უმცროსი სახლის განტერებას წარმოადგენს და იმის შეგნება, რომ ბაგრატიონები და ფარნავაზიანები ერთ-სა და იმავე სახლს ეკუთვნოდნენ, არსებობდა არა მხოლოდ V საუკუნეში [1], არამედ VIII—IX საუკუნეთა მიჯნაზეც. ჭუანშერის ცნობით, არჩილის „მეფობის“ (736—786) უამს მოვიდა „მთავარი ერთი, რომელი იყო ნათესავის-გან დავით წინასწარმეტყუელისგან, სახელით ადარნასე, ძისწული ადარნასე ბრძისა, რომლის მამა შზანებულ იყო ბაგრატონიანთადვე, და ბერძენთა მიერ დაგნინებულ იყო ერისთავიად არეთა სომხითასათ... თხოვა არჩილისგან და რქუა: შეკორი ინებო და მყო მე ვითარცა მკვდრი შენი, მომევ ქუეყანა. და მისცა შულავერი და არტანი“ ([2], გვ. 243). ჭუანშერის მიერ მოხსენებული ადარნასე, ქართლის ერისმთავრის აშორ დიაკონ კურაბალატის (გარდ. 826 წელს) მამა არის. ადარნასე კი სომხეთის მთავრის აშორ ბრძის ბაგრატიონის (გარდ. დაახლ. 761 წელს) შეილიშვილი იყო [3] (ჭუანშერი შეცდომით აშორ ბრძის ადარნასე ბრძის უწოდებს — გ. შ.), რომელიც მისივე სახლისშვილების თანამონაწილეობით მამიკონიანებმა დააბრძმავს ([4], გვ. 350). ადარნასე არჩილთან 772 წლის შემდგომ ხანებში მივიდა, როდესაც არაბებმა ბაგრატიონთა სახლის წინააღმდეგ სასტიკ რეპრესიულ ზომებს მიმართეს ([4], გვ. 351).

შემდეგი ცნობა ადარნასე ბაგრატიონის შესახებ „მატიანე ქართლისახემ“ შემოგვინაბა. ამ ცნობის თანახმად, არჩილის (736—786) უფროსმა ძემ — ჭუანშერმა „შეირთო ცოლი ნათესავი ბაგრატიონიანთა, მული ადარნასესი, სახელით ლატავრი, უა აბრალა დედამან მისმან მოყვანება მისი ცოლად: არა-თურე კეთილად მეცნიერი იყო, ვითარმედ არიან იგინი ნათესავნი დავით წინასწარმეტყუელისანი, რომელი იგი ჭორციელად მამად ღმრთისად იწოდა. და ვითარ იხილა ძის ცოლი თვისი, შეუყუარდა, ყურადღება და დალოცა“ ([2], გვ. 251).

ამრიგად, ჭუანშერის ჭორწინება ბაგრატიონთა სახლისშვილთან — ლატავრისთან ჭუანშერის დედას არ მოსწონებია. გამორიცხულია, რომ ჭუანშერის დედას თავისი ძის ჭორწინებაში მეზალიანი დაწენას. ბაგრატიონთა სახლის ძლიერება კარგად იყო ცნობილი კავკასიაში და ჭუანშერის დედა ლატავრის სახლისშვილობას ვერ დაუშუნებდა, არც XI საუკუნის „მატიანე ქართლისახეს“ ვეტორი გაბედავდა იმის დაწერას, რომ სულ რაღაც ორიოდე საუკუნის წინ ჭორწინება ბაგრატიონთა სახლისშვილზე ვინმესთვის სათავილ შეიძლება ყოფილიყო.

სავარაუდებელია, რომ „მატიანე ქართლისახეს“ ავტორი ამ ცნობაში სხვა შინაარსს დებდა, რაც გამოსჭვივის მისივე განმარტებიდან, რადგან ჭუანშერის დედამ შვილს არ მოუწონა ჭორწინება იმის გამო, რომ მან კარგად არ იცოდა ბაგრატიონთა სახლის დავით წინასწარმეტყუელისგან წარმომავლობის შესახებ. კონსტანტინე პორფიროგენეტის ცნობის თანახმად კი ბაგრატიონები ურთიერთზე ჭორწინებას იმით ამართლებდნენ, რომ ისინი, როგორც დავით



წინასწარმეტყველის ჩამომავალნი, ამით თავისივე ძელ, ებრაულ წეს-ჩვენებისა იცავდნენ ([4], გვ. 414—415, [5]). დასადგნია, თუ როგორ ნათესაურ ურთიერთობაში იმყოფებოდნენ ადარნასეს ქალიშვილი ლატავრი და არჩილის ძე ჯუანშერი ერთმანეთან.

სიკვდილის წინ ქართლის „მეფე“ მირი ანდერძს უბარებს თავის ძმას არჩილს (736—786), რომ არჩილმა მისი ქალიშვილები (მირს ვაჟი არ ჰყავდა — გ. მ.) მიათხოვოს ქართლის ერისთავებს და საგანგებოდ აფრთხილებს მას, რომ არჩილმა მის ქალიშვილს კლარჯეთი მისკენს. მისი ნების თანახმად, „არჩილ მოუწოდა ერისთავთა ქართლისათა, და მისცა ძმისწულნი მისნი: ერთი მისცა მამის ძმისწულსა მისსა, შვილსა გუარამ კურაპალატისასა, რომელსა ჰქონდა კლარჯეთი და ჯავახეთი“ ([2], გვ. 241).

ამრიგად, არჩილმა თავისი ძმის შვილი მიათხოვა თავისსავე ბიძაშვილს, ანუ მირის ქალიშვილი გათხოვდა თავისივე მამის ბიძაშვილზე, მირისა და არჩილის ბიძა კი კლარჯეთისა და ჯავახეთის ერისთავი იყო და ჩამომავალი ვახტანგ გორგასლის უმცროსი სახლისა, რომელსაც VI საუკუნის მძიურულის ქართლის ერისმთავარმა გუარამ კურაპალატმა ჩაუყარა საფუძველი.

არჩილის ბიძას — გუარამიანთა მიწა-წყლის ერისთავს — ძის გარდა ჰყავდა ქალიშვილიც, რომელიც თვით არჩილმა შეირთო ცოლად ([2], გვ. 243), ანუ არჩილი თავისისავე ბიძაშვილზე დაქორწინდა, ე. ი. არჩილის ბიძას, გუარამიანთა მიწა-წყლის ერისთავი რომ იყო, ორი მემკვიდრე ჰყავდა და ორივენი თავისივე უფროს სახლის შვილებზე დაქორწინდნენ (მირი და არჩილი ჯახტანგ გორგასლის უფროსი ძის — დაჩის ჩამომავალნი იყვნენ — გ. მ.). არჩილის ბიძას, გუარამიანთა მიწა-წყლის ერისთავს, კიდევ უნდა ჰყოლოდა ერთი მემკვიდრე, რადგან მისი მამული სამად გაიყო და ეს მემკვიდრე მისი მეორე ქალიშვილი ადარნასე ბაგრატიონის ცოლი უნდა ყოფილიყო, ვისი წყალობითაც გუარამიანთა მიწა-წყლის მესამედს ადარნასე ბაგრატიონი დაეუფლა.

„მატიანე ქართლისაას“ ცნობით, „სიცოცხლესავე ჯუანშერისსა იცვალა ადარნასე ბაგრატიონიანმან ნასამალი კლარჯეთისა, შავშეთისა, აჭარისა, ნიგალისა, ასისოფორისა, არტანისა და ქუემოსა ტაოსა, და ციხეთაგანცა რომელნი ჰქონდეს შვილის შვილთა ვახტანგ მეფისათა. და წარვიდა ადარნასე კლარჯეთად და მუნ მოკუდა“ ([2], გვ. 251).

ადარნასე ბაგრატიონის მეუღლის წილი ქვეყანა მნიშვნელოვნად ჩამოუვარდებოდა არჩილის უფროსი ძის — ჯუანშერის წილს, რომელიც ჯუანშერს, როგორც არჩილისა და დედამისის — გუარამიანთა მიწა-წყლის ერისთავის ქალიშვილის შვილს ერგო. თავისი ძმის მირის ანდერძის თანახმად, როდესაც არჩილმა მირის ქალიშვილები ქართლის ერისთავებს მიათხოვა, ქვეყნის ნახევარი არჩილმა ერისთავებს მევიდრად და სამამულოდ გადასცა, ხოლო მეორე ნახევარი კი სამეფო საკუთრებად დაიტოვა ([2], გვ. 241—242). მისი გამო გუარამიანთა მიწა-წყლის ნახევარი არჩილს იმთავითვე ეკუთვნოდა, რაც იმას ნიშნავს, რომ სამ ნაწილად გუარამიანთა მიწა-წყლის მეორე ნახევარი დაიყო, რომელიც არჩილმა საერისთავო ქვეყნად გასცა. ამიტომ არის, რომ თუ კი ვინმე მოისურვებდა გუარამიანთა მიწა-წყლის ხელში ჩაგდებასა და ფარნავაზიანთა უფროსი სახლის კანონიერ მემკვიდრედ გახდომას, მას აუცილებლად არჩილის სახლის კუთვნილი მიწა-წყალი უნდა მიეღო.

ადარნასე ბაგრატიონის მიერ თავისი ქალიშვილის — ლატავრის გათხოვება არჩილის უფროს ვაზზე ჯუანშერზე ამ ჩანაფიქრის განხორციელებას ისახავდა მიზნად. წყაროებში არ მოიპოვება არავითარი მითითება, რომ არჩილის რომელიმე შვილს მემკვიდრე დარჩენოდა, თვით ჯუანშერისა და ლატავრის მემკვიდრეთა შესახებაც არავითარი ცნობა არ არსებობს და, საბოლოოდ, ჯუანშერისა და ლატავრის ქორწინებამ ადარნასეს ძეს — უმოტს გზა გაუხსნა როგორც ქართლის ერისმთავრობისკენ, ისე კურაპალატიონისკენ, რადგან ბიზანტიის იმპერიაში შემავალი გუარამიანთა მიწა-წყლის მემკვიდრედ ადარნასეს ძე აშოტი დარჩა.

დავუბრუნდეთ იმ საკითხს, თუ რატომ არ მოუწონა დედამ ჯუანშერს ქორწინება ლატავრიზე. არჩილსა და ადარნასეს დები ჰყავდათ ცოლებად და

ჯუანშერის დედამ შშევენივრად იცოდა, რომ ჯუანშერი თავის დეიდაშვილზე დაქორწინდა. ეს კი მართლმადიდებლური ეკლესიის თვალსაზრისით ყოვლად დაუშვებელი იყო, მაგრამ ეკლესიის ნორმებიდან „გამონაკლისის“ მოძებნა ბაგრატიონთა სახლის შვილთათვის სიძნელეს არ წარმოადგენდა, როდესაც საქმე „თავისი ქვეყნისათვის“ „სხვისი ქვეყნის“ მიერთებას ეხებოდა და ლეგენდაც ბაგრატიონთა სახლის შვილთა დავით წინასწარმეტყველისაგან წარმომავლობის შესახებ თვით ბაგრატიონთა სახლის შვილთა შორის მიმდინარე ბრძოლის ნიადაგზე შეიქმნა.

ისმის კითხვა: თუ გუარამიანთა მიწა-წყლის ერისთავის ორი მემკვიდრე თავის ახლო ნათესავებზე — არჩილზე და არჩილის ძმის — მირის ქალიშვილზე დაქორწინდნენ და აღნიშნული „სისხლის აღრევის“ მიზეზი იმაში მდგრმარეობდა, რომ არჩილი თავის უმცროს სახლის შვილთა — გუარამიანთა მიწა-წყლის ფარნავაზიანთა სახლში შენარჩუნებას ცდილობდა, ნუთუ ადარნასე ბაგრატიონი, რომელსაც, როგორც გუარამიანთა მიწა-წყლის ერისთავის სიძეს, საერისთავო ქვეყნის მესამედი ერგო, არაფარნავაზიანთა სახლის შვილი იყო? ჯუანშერის ცნობა მიუთიებს, რომ ადარნასე ბაგრატიონი ისეთივე ფარნავაზიანი იყო, როგორც მისი მეუღლე, რომელიც ფარნავაზიანთა უმცროს სახლს — გუარამიანთა სახლს ეკუთვნოდა. ჯუანშერი აღნიშნავს, რომ ადარნასეს მამა „მზანებულ იყო ბაგრატიონიანთადე“ ([2], გვ. 243), ანუ ადარნასეს მამის რძლის, ე. ი. ადარნასეს მეუღლის სახლი ([წყაროთა მიხედვით ადარნასეს მამას დასაკას მხოლოდ ერთი ძე ჰყავდა — გ. მ.) ბაგრატიონთა სახლს ეკუთვნოდა, ადარნასეს მეუღლე კი ფარნავაზიანთა უმცროსი სახლის — გუარამიანთა სახლის შვილი იყო. ეს იმას ნიშნავს, რომ გუარამიანთა სახლის შვილები ბაგრატიონთა სახლის შვილებად ითვლებოდნენ და ბაგრატიონთა სახლის ისტორიები სუმბატ დავითის-ძე სრულიადაც არ ტყუფიდა, როდესაც გუარამიანთა სახლის ფუძემდებელს გუარამ კურაპალატს საქართველოს სამეფო დინასტიის — ბაგრატიონთა სახლის წინაპრად აცხადებდა ([2], გვ. 373).

საქართველოს სსრ მეცნიერებათა აკადემია

აკად. ივ. ჯავახიშვილის სახელმძღვანელო

ისტორიის, არქეოლოგიისა და ეთნოგრაფიის ინსტიტუტი

(შემოვიდა 3.3.1972)

ИСТОРИЯ

Г. С. МАМУЛИЯ

ВЗАИМООТНОШЕНИЯ ФАРНАВАЗИДОВ И БАГРАТИДОВ НА РУБЕЖЕ VIII—IX ВВ.

Резюме

Доказывается, что «дети» рода Багратидов одновременно являлись и «детьми» династии Картлийского (Иверийского) царства — Фарнавазидов. Этим объясняется наследование Багратидами на рубеже VIII—IX вв. земель, принадлежащих династии Фарнавазидов.

G. S. MAMULIA

RELATIONS BETWEEN THE PHARNAVAZIDS AND THE BAGRATIDS AT THE TURN OF THE 8th-9th CENTURIES

Summary

It is shown that the "children" of the house of the Bagratids were at the same time held to be the "children" of the Pharnavazids, i. e. the dynasty of the ancient Kingdom of Kartli (Iberia). This accounts for the inheriting by the Bagratids at the turn of the 8th-9th centuries A. D. of the domains belonging to the dynasty of the Pharnavazids.

ლიტერატურა — ЛИТЕРАТУРА — REFERENCES

1. გ. მამულია. მნათობი, № 2, 1971, 179—191.
2. ქართლის ცხოვრება. ტ. I. ღმილისი, 1955.
3. შეძლენ ქართანთ ჭაომატების თქმებრალან 1861, 103, 106, 111—112.
4. C. Toumanoff. Studies in Christian Caucasian History, Georgetown University Press, 1963.
5. ლ. ყაფუხიშვილი. გეორგია, ტ. IV, ნაკვ. II, 1952, 255-256.

ეთნოგრაფია

ნ. პრეზენტ

სიტყვის — „ყანა“ — ერთი მნიშვნელობის ჟესახებ

(წარმოადგინა ავალემიკოსმა გ. ჩიტაიმ 18.2.1972)

სიტყვა „ყანა“ ძევლთაგანვე იხმარებოდა როგორც მიწის, სახნავ-სათე-
სის, ისე პურეულის ნათესის აღსანიშნავად. თანამედროვე ქართულ-
მაც ორივე მნიშვნელობით შემოინახა იგი. თუმცა, რაიონების მიხედვით ყა-
ნა ზოგან მხოლოდ ერთ-ერთი ზემოალნიშნული გაგებით იხმარება, ზოგან კი
ორივეს შესატყვისია. ამასთან, ზოგ აღილას იგი ნებისმიერი პურეულის
(თავთავიანთა ან ფეტვისნაირთა), ზოგან კი მხოლოდ ხორბლის ნათესს აღნიშ-
ნავს [1—4].

ახალი ეთნოგრაფიული მონაცემებით გამოვლინდა ამ სიტყვის კიდევ უფ-
რო კონკრეტული მნიშვნელობა. ერწო-თიანეთში მოპოვებული მასალის მი-
ხედით იგი იხმარება მხოლოდ და მხოლოდ ხორბლის საშემოლგომზე ჯიშის —
დოლის პურის (¹—ნათესის შესატყვისად. ხორბლის რომელიმე სხვა ჯიშს ყა-
ნას არ უწოდებენ, რაც არა ერთგზის იქნა დამოწმებული ველზე მუშაობი-
სას. მაგალითად, მთხორბელი იქვე, ყანაში, მოწყვეტილ თავთავის ნიმუშს
შემდეგნაირად განმარტავს: „ეს ყანაა. ყანა შემოღომის მოსავალია — პური,
დოლის პური. ყანას დოლის პურს ვეძახით მარტო. ყანა ერთნაირაა, ვეტყ-
ვით დოლის პურს, შემოღომით რომელიც ითესება“. ან მთხორბელი აშეა-
რად უპირისპირებს ერთმანეთს, ერთი მხრივ, ყანის ქვეშ ნაგულისხმევ დო-
ლის პურს, და მეორე მხრივ, სხვა პურეულს: „ყანა იყო დოლის პური. არა
იმაც (ლაპარაკია დიკაზე² — ნ. ბ.) დიკას ვეტყოდით. დიკა გვითხვია. ყანა —
არა“; „დიკასა ვთესდით. ისა ჰაირს შეიგუებდა. თუ ის ვერ მოვიდოდა (დო-
ლის პურზეა საუბარი — ნ. ბ.), ის ყანები ვერ მოვიდაო და დიკა მაინც მოვი-
დოდა. თუ ყანები (დოლის პური) მოცდებოდა, დიკა არ მოცდებოდა“; „დიკა
ყანა არ არის, არც ქერი, არც ფეტვი, არც ასლი. ეგ არის გაზაფხულის ნათე-
სი. წინავ ახალთესლს ეძახდენ. მამა-პაპანი ნიმარბდენ ახალთესლს“ და სხვ.

აღნიშნულის პარალელური მასალა დამოწმდა დამანისისა და თეთრი წყა-
როს რაიონებშიც. იქაც საველე-ეთნოგრაფიული მონაცემების მიხედვით ზო-
გი მთხორბელი ყანად მიიჩნევს სწორედ დოლის პურის საშემოღომო და
არა სხვა რომელიმე ხორბლის ნათესს.

ყანა რომ სწორედ საშემოღომო ნათესის მნიშვნელობით იხმარება, მოწ-
მდებარება თიანეთის მხარეთმცოდნების მუზეუმში დაცული 1907 წლის გაყოფის
საბუთითაც (№ 2052), სადაც ყანა, ისევე როგორც ზემომოტანილ საველე მა-
სალაში, ახალთესლს (ე. ი. საგაზაფხულო ნათესს) უპირისპირდება. მაგალი-
თად: „...რაც წლეულს მოსავალი აქვთ ყანები თუმც ახალთესლი სულ-
ბი სულზედ გაიყონ...“.

დოლის პურს ანუ ყანას ერწო-თიანეთში ანეულიც ეწოდება. თავისთა-
ვად გარემოება, რომ ანეულის ნახნაში შემოღომაზე ნათეს ხორბალს ანე-
ული ეწოდება, ისევე კანონზომიერია, როგორც ამავე ხორბლის ძველთეს-
ლად (რაც საშემოღომო ჯიშის აღმნიშნელია [1]) მოხსენიება და ეს თითქოს

(¹ *Tr. vulgare* Vill.

(² *Tr. ibericum*.



საგანგებო ყურადღების ღირსი არც კი უნდა გამხდარიყო. მავრამ აქ სხვა გარემოება იქცევს ყურადღებას. სახელფობრ, თუ გაეიხსენებთ, რომ აკად. ივ. ჯავახიშვილის ვარულით, სიტყვა „ანეული წარმომდგარი უნდა იყოს ყანეულისაგან (უფრო პირველდელი ნაყანეულისაგან)“ [1], გამოჩნდება ამ სიტყვების (ანეული და ყანა) საკვლევ რაობნში დამოწმებული სინონიმური მნიშვნელობის საფუძველი. ეს გარემოება მხრივ მხრივაცაა სინტერესო. კერძოდ, როგორც ბოსტანში მოსულ კულტურას ბოსტნეული უწოდება, იქნებ ასევე, ყანაში (იგულისხმება სახნავ-სთესი მიწა) მოსულ კულტურას ყანეული შერქმევია, რისი ანარეკლიც დღესისდღეს ყოფას შემორჩენია ანეულის, რიგ შემთხვევაში კი ყანისავე სახით.

აღნიშნულთან დაკავშირებით შეიძლება წამოიჭრას სხვა კითხვაც — რატომ შეერქვა ანეული მაინცდამანც საშემოდგომო ნათესა თუ მისთვის ნახნავს? ბოლოს და ბოლოს, გარკვეული გაგებით ხომ ყველა ხორბალი ყანეულია? ფაქტი, რომ ძველი სახელწოდებები — ანეული და ყანა — შეინარჩუნა სწორედ საშემოდგომო ხორბალმა, თავის მხრივ, იქნებ კიდევ ერთხელ მიგვითითებს აკად იც. ჯავახიშვილის მიერ აღნიშნულ გარემოებაზე, რომ ქართველი მიწასმოქმედისათვის სწორედ საშემოდგომო თესვის წესი უფრო ძველია [1]. ზემოაღნიშნული კი თავის მხრივ წამოჭრის სხვა არააკლებ მნიშვნელოვან საკითხს: თუ საქართველოში (რომელიც წარმოადგენს კულტურული ხორბლის წარმოშობის ერთ-ერთ კერას [5—8]) შემოდგომის ნათესი უფრო ძველია, მაშინ სამწათმოქმედო კულტურის წარმოშობის ცენტრი უნდა გვძებოთ ისეთ რაიონში, სადაც ბუნებრივი პირობები ხელს უწყობს საშემოდგომო მარცვლეულის მოყვანასაც, ხოლო რამდენადაც სადღეისოდ მეცნიერებაში დადგენილია მთის მიწათმოქმედების პირველადობა [8—10], ასეთად კერ ჩავთვლით ბარის ზონას. მთის პირობებში კი ამ თვალთახედით გამოიჩინება შეუზრუნველყოფის არეალი. მართლაც, მცენარეთა ეკოლოგიის გათავალისწინებით მეცნიერებაში გამოთქმული მოსაზრების მიხედვით, შეუზრუნველყოფის მიწას ზოლს შეიძლება დაუკავშირდეს ქართული უძველესი პურეული კულტურების გაჩენა და პირველი მიწათმოქმედების ჩასახვა-განვითარება [11].

ყოველივე აღნიშნულის შეჯერების შედეგად ცალი ხდება, რომ სიტყვის „ყანა“ — ყოფაში დამოწმებული ზემოგანხილული მნიშვნელობა თავის მხრივ საფუძველს უმაგრებს და ასაბუთებს მეცნიერებაში ადრე გამოთქმულ მოსაზრებებს საქართველოში საშემოდგომო ნათესის პირველადობისა და სამიწათმოქმედო კულტურის მთის შეუზრუნველყოფის მისახებ, გვიხმარება მიწათმოქმედების პირველადი კერების არალის გარკვეულ გეოგრაფიულ ზონაში ლოკალიზაციაში.

საქართველოს სსრ მეცნიერებათა აკადემია

ივ. ჯავახიშვილის სახელობის

ისტორიის, არქეოლოგიისა და ეთნოგრაფიის ინსტიტუტი

(შემოვიდა 3.3.1972)

ЭТНОГРАФИЯ

Н. А. БРЕГАДЗЕ

ОБ ОДНОМ ЗНАЧЕНИИ СЛОВА «КАНА»

Резюме

В древнегрузинском слово «каны» обозначало землю (пашня), а также посевы злаков (нива). Ныне это слово сохранило оба значения, хотя по отдельным районам оно употребляется в одном, а иногда в обоих вышеуказанных значениях. В одних местностях оно соот-

ветствует посевам любого злака, в других же — лишь посевам пшеницы.

Новый этнографический материал дает возможность еще больше конкретизировать значение этого слова как посева лишь определенного сорта озимой пшеницы («долис пури»)⁽¹⁾. Указанное значение слова должно быть более древним. Последнее обстоятельство рассматривается как подтверждение высказанных в научной литературе с учетом экологии растений мнений о первичности в Грузии культуры озимых хлебов и о возникновении земледелия в среднегорной полосе. Следовательно, рассматриваемое в статье значение слова «кана» помогает локализовать в определенной — среднегорной географической зоне ареал возникновения первичных земледельческих очагов.

ETHNOGRAPHY

N. A. BPEGADZE

ON THE MEANING OF THE WORD QANA

Summary

New ethnographical evidence concerning the Georgian word *qana* (a winter variety of *Tr. vulgar* Vill.) enables to trace the area of the origin of primary agricultural centres in Georgia to the middle mountain geographical zone.

ლიტერატურა — ЛИТЕРАТУРА — REFERENCES

1. ივ. ჯავახიშვილი. საქართველოს ეკონომიკური ისტორია, შ. I. ტფილისი, 1930.
2. სულხან-საბა თბილისი. სიტუვის კონკ. თბილისი, 1949.
3. ქართული ენის განმარტებითი ლექსიკონი, ტ. VII. თბილისი, 1962.
4. 6. ბრეგაძე. მთის მიწათმოქმედება დასავლეთ საქართველოში. თბილისი, 1969.
5. Л. Л. Декапрелевич. Сообщения АН ГССР, 2, № 10, 1941; 3, № 2, 5, 1942.
6. В. Л. Менабде. Пшеницы Грузии. Тбилиси, 1948.
7. П. М. Жуковский. Мировой генфонд растений для селекции. Мегацентры и эндемичные микрогенцентры. Л., 1970.
8. П. М. Жуковский. Культурные растения и их сородичи. М., 1964.
9. Н. И. Бавилов. Проблема происхождения мирового земледелия в свете современных исследований. М.-Л., 1932.
10. П. М. Жуковский. Происхождение культурных растений. М., 1956.
11. გ ე გ ე შ ი ძ ე. სარწყავი მიწათმოქმედება საქართველოში. თბილისი, 1961.

⁽¹⁾ *Tr. vulgar* Vill.

К СВЕДЕНИЮ АВТОРОВ

1. В журнале «Сообщения АН ГССР» публикуются статьи академиков, членов-корреспондентов, научных работников системы Академии и других ученых, содержащие еще не опубликованные новые значительные результаты исследований. Печатаются статьи лишь из тех областей науки, номенклатурный список которых утвержден Президиумом АН ГССР.

2. В «Сообщениях» не могут публиковаться полемические статьи, а также статьи обзорного или описательного характера по систематике животных, растений и т. п., если в них не представлены особенно интересные научные результаты.

3. Статьи академиков и членов-корреспондентов АН ГССР принимаются непосредственно в редакции «Сообщений», статьи же других авторов представляются академиком или членом-корреспондентом АН ГССР. Как правило, академик или член-корреспондент может представить для опубликования в «Сообщениях» не более 12 статей разных авторов (только по своей специальности) в течение года, т. е. по одной статье в каждый номер, собственные статьи—без ограничения, а с соавторами—не более трех. В исключительных случаях, когда академик или член-корреспондент требует представления более 12 статей, вопрос решает главный редактор. Статьи, поступившие без представления, передаются редакцией академику или члену-корреспонденту для представления. Один и тот же автор (за исключением академиков и членов-корреспондентов) может опубликовать в «Сообщениях» не более трех статей (независимо от того, с соавторами она или нет) в течение года.

4. Статья должна быть представлена автором в двух экземплярах, в готовом для печати виде, на грузинском или на русском языке, по желанию автора. К ней должны быть приложены резюме—к грузинскому тексту на русском языке, а к русскому на грузинском, а также краткое резюме на английском языке. Объем статьи, включая иллюстрации, резюме и список цитированной литературы, приводимой в конце статьи, не должен превышать четырех страниц журнала (8000 типографских знаков), или шести стандартных страниц машинописного текста, отпечатанного через два интервала (статьи же с формулами — пяти страниц). Представление статьи по частям (для опубликования в разных номерах) не допускается. Редакция принимает от автора в месяц только одну статью.

5. Представление академика или члена-корреспондента на имя редакции должно быть написано на отдельном листе с указанием даты представления. В нем необходимо указать: новое, что содержится в статье, научную ценность результатов, насколько статья отвечает требованиям пункта 1 настоящего положения.

6. Статья не должна быть перегружена введением, обзором, таблицами, иллюстрациями и цитированной литературой. Основное место в ней должно быть отведено результатам собственных исследований. Если по ходу изложения в статье сформулированы выводы, не следует повторять их в конце статьи.

7. Статья оформляется следующим образом: вверху страницы в середине пишутся инициалы и фамилия автора, затем — название статьи; справа вверху представляющий статью указывает, к какой области науки относится она. В конце основного текста статьи с левой стороны автор указывает полное название и местонахождение учреждения, где выполнена данная работа.

8. Иллюстрации и чертежи должны быть представлены по одному экземпляру в конверте; чертежи должны быть выполнены черной тушью на кальке. Надписи на чертежах должны быть исполнены каллиграфически в таких размерах, чтобы

подпись
запись
отдельном листе

даже в случае уменьшения они оставались отчетливыми. Подрисуночные сделанные на языке основного текста, должны быть представлены на отдельном листе. Не следует приклеивать фото и чертежи к листам оригинала. На полях оригинала автор отмечает карандашом, в каком месте должна быть помещена та или иная иллюстрация. Не должны представляться таблицы, которые не могут уместиться на одной странице журнала. Формулы должны быть четко вписаны чернилами в оба экземпляра текста; под греческими буквами проводится одна черта красным карандашом, под прописными — две черты черным карандашом снизу, над строчными — также две черты черным карандашом сверху. Карапашом должны быть обведены полукругом индексы и показатели степени. Резюме представляются на отдельных листах. В статье не должно быть исправлений и дополнений карандашом или чернилами.

9. Список цитированной литературы должен быть отпечатан на отдельном листе в следующем порядке. Вначале пишутся инициалы, а затем — фамилия автора. Если цитирована журнальная работа, указываются сокращенное название журнала, том, номер, год издания, а если цитирована книга, — полное название книги, место и год издания. Если автор считает необходимым, он может в конце указать и соответствующие страницы. Список цитированной литературы приводится не по алфавиту, а в порядке цитирования в статье. При ссылке на литературу в тексте или в сносках номер цитируемой работы помещается в квадратные скобки. Не допускается вносить в список цитированной литературы работы, не упомянутые в тексте. Не допускается также цитирование неопубликованных работ. В конце статьи, после списка цитированной литературы, автор должен подписаться и указать место работы, занимаемую должность, точный домашний адрес и номер телефона.

10. Краткое содержание всех опубликованных в «Сообщениях» статей печатается в реферативных журналах. Поэтому автор обязан представить вместе со статьей ее реферат на русском языке (в двух экземплярах).

11. Автору направляется корректура статьи в сверстанном виде на строго ограниченный срок (не более двух дней). В случае невозврата корректуры к сроку редакция вправе приостановить печатание статьи или напечатать ее без визы автора.

12. Автору выдается бесплатно 25 оттисков статьи.

(Утверждено Президиумом Академии наук Грузинской ССР 10.10.1968; внесены изменения 6.2.1969.)

Адрес редакции: Тбилиси 60, ул. Кутузова, 19, телефоны 37-22-16, 37-93-42.

Почтовый индекс 380060

Условия подписки: на год — 12 руб.

ପ୍ରାଚୀନ କବିତା ଓ ମହାକବିଦୀ

1. ეტრიალ „საქართველოს სსრ მცნობერებათა აკადემიის მომაბეჭიში“ შეკვენდება აკადემიისთვისთა და წერი-კორესპონდენტთა, აკადემიის სისტემაში მომუშავე და სხვა მცნობერთა მოყვალით წერილები, რომლებიც შეიცავს ახალ მნიშვნელოვან გამოკვლევათა ჯერ გამოიუშვებულებელ შედეგებს. წერილები ქვეყნდება მხოლოდ იმ სამცნობო ზღაპრებიდან, რომელთა ნომენკლატურული სია დამტკიცებულია აკადემიის პრეზიდიუმის მიერ.

2. „მოაბეში“ არ შეიძლება გამოქვეყნდეს პოლემიკური წერილი, იგრძეთვე მიმზინდეთი ან აღწერით ხასიათის წერილი ცხოველთა, მცნარეთა ან სხვათა სისტემატიკაზე, თუ მასში მოცემული არა მცნიდრებისათვის განსაკუთრებით სიინტერესო შელეგება.

3. საქართველოს სსრ მეცნიერებათა აკადემიის აკადემიკოსთა და წევრ-კორესპონდენტთა წერილები უშუალოდ გადაცემია გამოსაქვეყნებლად „მოამბის“ რედაქციას, ხოლო სხვა ავტორთა წერილები ქვეყნება აკადემიკოსთა ან წევრ-კორესპონდენტთა წარდგინებით. როგორც წესი, აკადემიკოს ან წევრ-კორესპონდენტს „მოამბეში“ დასაცემად წელიწადში შეუძლია წარმატებით სხვა აღტორთა არაუმეტეს 12 წერილისა (მხოლოდ თავისი სპეციალობის მიხედვით), ე. ი. ოთოოულ ნომერში თითო წერილი. საკუთარი წერილი — რამდენიც სურს, ხოლო თანავტორებთან ერთად — არაუმეტეს სამი წერილისა. გამონაკლის შემთხვევაში, როცა აკადემიკოს ან წევრ-კორესპონდენტი მოიხსენებს 12-ზე მეტი წერილის წარდგენას, სკოის შეკვეტს მთავარი რედაქტორი. წარდგინების გარეშე შემოულ წერილს „მოამბის“ რედაქცია წარმოსადგენად გადასცემს აკადემიკოსს ან წევრ-კორესპონდენტს. ერთსა და იმავე ავტორს (გარდა აკადემიკოსისა და წევრ-კორესპონდენტისა) წელიწადში შეუძლია „მოამბეში“ გამოსაქვეყნოს არა უმეტეს სამი წერილისა (სულ ერთა, თანავტორებთან იქნება იგი, თუ ცალკე).

4. წერილი წარმოდგენილი უნდა იყოს ორ ცალად, დასაბეჭდად საკეთი მზა სახით, ავტორის სურვილისამებრ ქართულ ან რუსულ ენაში. ქართულ ტექსტს თან უნდა აბლივეს რუსულ და მოკლე ინგლისური რეზიუმე, ხოლო რუსულ ტექსტს — ქართული და შოკლე ინგლისური რეზიუმე. წერილის მოცულობა იღესტრაციებითურთ, რეზიუმებითა და დამოწმებული ლიტერატურის ნუსხითურთ, რომელიც მას ბოლოში ერთვის, არ უნდა აღმარებოდეს კურნალის 4 გვერდს (8000 სასტამბ ნიშანი), ანუ საწერ მანქანაში ორი ინტერვალით გადაწერილ 6 სტანდარტულ გვერდს (ფორმულებიანი წერილი კი 5 გვერდს). არ შეიძლება წერილების ნაწილებათ დაყოფა სხვადასხვა ნომერში გამოსვეულისად. ვეტორისაგან რედაქტირა ლებლობს თვეში მხოლოდ ერთ წერილს.

6. წერილი ას უნდა იყოს გადატვირთული ჟესავლით, მიმოხილვით, ცხრილებით, ილუსტრაციებითა და დაზომულებული ლიტერატურით. მასში მთავარი ადგილი უნდა ჰქონდეს დათვის საკუთარი გამოკვლევის ჟესავებს. თუ წერილი გზადგზა, ქვეთავების შინედრით გამოიცემულია დასკვნები, მაშინ საჭიროა არა მათი გამშეობება, წერილის ბოლოს.

7. წერილი ასე ფორმდება: თავში ზემოთ უნდა დაწეროს ავტორის ინიციალები და გვარი, ქვემოთ — წერილის სათაური. ზემოთ მარჯვნა მხარეს, წარმომდგენმა უნდა ჭარტეროს, თუ მცურავების რომელ დარგს განკუთვნება წერილი. წერილის ძირითადი ტექსტის ბოლოს, მარცხნა მხარეს, ავტორმა უნდა აღნიშნოს იმ დაწესებულების სრული სახელწოდება და ადგილმდებარეობა, სადაც შესრულებულია შრომა.

8. ილუსტრაციები და ნახაზები შარმოლგენილ უნდა იქნეს თითო ცალად კონვერტით. ამასთან, ნახაზები შესრულებული უნდა იყოს კალაბზე ჟავით ტუშით. შარწერები ნახაზებს უნდა გაუკეთდეს კალიგრაფიულად და ისეთი ზომისა, რომ შემცირების შემთხვევაშიც კარგად.



იყითხებოდეს. ილუსტრაციების ქვემო წარწერების ტექსტი წერილის ძირითადი ტექსტის განვითარების წარმოდგენილ უნდა იქნეს ცალკე ფურცელზე. არ შეიძლება ფოტოებისა და ნახაზების დაწებება დედინის გვერდებზე. ეფტორმა დედინის კიდეზე ფანჯრით უნდა ონიშონს, რა დგინდას მოთავსდეს ესა თუ ის ილუსტრაცია. არ შეიძლება წარმოდგენილ იქნეს ისეთი ცხრილი, რომელიც უსრიალის ერთ გვერდზე ვერ მოთავსდება. ფოტომულები შელინით მკაფიოდ უნდა იყოს ჩაწერილი ტექსტის ორივე გვერდულში; ბერძნულ საობს ქვემოთ ყველაზე უნდა გაესდას თითო ხაზი წითელი ფანჯრით, მთავრულ საობს — ქვემოთ ორ-ორი პატარა ხაზი შავი ფანჯრით, ხოლო არამთავრულ ასობს — ზემოთ ორ-ორი პატარა ხაზი შავი ფანჯრით უნდა შემოიფარგლოს ნახევარწრით ნიშნავებიც და ხარისხის მაჩვენებლები. რეზიუმები წარმოდგენილ უნდა იქნეს ცალკეული ფურცელზე. წერილში არ უნდა იყოს ჩასწორებები და ჩამატებები ფანჯრით ან მელნით.

9. ღამოწებული ლიტერატურა უნდა დაიბეჭდოს ცალკე ფურცელზე. საჭიროა დაცულ იქნეს ასეთი თანმიმდევრობა: ეფტორის ინიციალები, გვარი. თუ ღამოწებულია საურნალო შრომა, ეუჩვენით უსრიალის შემოყვებული სახელწოდება, ტრიი, ნომერი, გამოცემის წელი. თუ ღამოწებულია წიგნი, აუცილებელია ეუჩვენით მისი სრული სახელწოდება, გამოცემის აღვალი და წელი. თუ აეტორი საჭიროდ მიიჩნევს, ბოლოს შეუძლია გვერდების ნუმერაციაც უჩვენოს. დამოწებული ლიტერატურა უნდა დალაგდეს არა ანაბაზური წესით, არამედ ღამოწების თანმიმდევრობით. ლიტერატურის მისათხოვებლად ტექსტია თუ შენიშვნებში კვალრატულ ფრჩხილებში ნაჩვენები უნდა იყოს შესაბამისი ნომერი ღამოწებული შრომისა. არ შეიძლება დამოწებული ლიტერატურის ნუსხაში შევიტაროთ ისეთი შრომა, რომელიც ტექსტში მითითებული არ არის. ასევე არ შეიძლება გამოიყენებოდენ შრომის ღამოწება. ღამოწებული ლიტერატურის ბოლოს აეტორმა უნდა მოაწეროს ხელი, აღნიშნოს სად მუშაობს და რა თანამდებობაში, უჩვენოს თავისი ზუსტი მისამართი და ტელეფონის ნომერი.

10. „მოამბეში“ გამოვეცნებული ყველა წერილის მოკლე შენარჩისი იძეპლება რეფერატულ უსრიალებში. ამიტომ აეტორმა წერილთან ერთად აუცილებლად უნდა წარმოადგინოს მის რეფერატი რუსულ ენაზე (ორ ცალი).

11. აეტორს წასაკითხად ეძლევა თავისი წერილის გვერდებად შეკრული კორექტურა შეაცრად განასაზღვრული ვალით (არაუმეტეს ორი ლისა). თუ დადგენილი ვალისათვის კორექტურა არ იქნა დამტუნებული, რედაქტიას უფლება იქნეს შეაჩეროს წერილის დაბეჭდვა ან დაბეჭდოს იგი აეტორის ვაზის გარეშე.

12. აეტორს უფასოდ ეძლევა თავისი წერილის 25 ამონაბეჭდი.

(დამტკიცებულია საქართველოს სსრ მეცნიერებათა აკადემიის პრეზიდიუმის მიერ 10.10.1968; შეტანილია ცელილებები 6.2.1969);

რედაქტიის მისამართი: თბილისი 60, კუტუროვის ქ. № 19; ტელ. 37-22-16, 37-93-42.

საფოსტო ინდექსი 330060

ხელმოწერის პირთხები: ერთი წლით 12 მან